



**MADE**

Mission Archéologique Départementale de l'Eure

RAPPORT D'OPÉRATION DE DIAGNOSTIC ARCHÉOLOGIQUE

PATRIARCHE N° (17) 3672  
CODE INSEE N° 27229  
PRESCRIPTION N° 28-2021-680  
OPÉRATION N° AP070J

**MADE**  
8, RUE DES THERMES  
27930 LE VIEIL-EVREUX  
02 32 31 94 78

**EVREUX (27),**

**« LA GRANDE PIÈCE »**

**SOUS LA DIRECTION DE NICOLAS GAUTIER**

**PAR MARION HUET ET NICOLAS GAUTIER**

AVEC LES CONTRIBUTIONS DE :

LÉA MAIRAVILLE  
ZOÉ SICARD-DELAGE  
DELPHINE THÉOLAS

**FÉVRIER 2025**

DÉPARTEMENT DE  
**L'EURE**  
*en Normandie*





**EVREUX (27)**  
**« La Grande Pièce »**

**Sous la direction de Nicolas Gautier**

**Par Marion Huet et Nicolas Gautier**

AVEC LES CONTRIBUTIONS DE :

LÉA MAIRAVILLE

ZOÉ SICARD-DELAGÉ

DELPHINE THÉOLAS

---

Code patriarche (17)3672

Code INSEE 27229

N° de l'arrêté de prescription 28-2021-680

N° de l'arrêté d'attribution 28-2021-737

N° de désignation du responsable 28-2024-472

Responsable d'opération GAUTIER Nicolas

N° (opérateur) de l'opération AP070j

---

**FÉVRIER 2025**

**Conseil départemental**

Hôtel du Département Bd Georges Chauvin

27021 Evreux cedex



## Sommaire

<b>DONNÉES ADMINISTRATIVES, TECHNIQUES ET SCIENTIFIQUES.....</b>	<b>3</b>
<b>Fiche signalétique.....</b>	<b>5</b>
<b>Mots-clés des thésaurus.....</b>	<b>6</b>
<b>Générique de l'opération .....</b>	<b>7</b>
<b>État de conservation du site .....</b>	<b>8</b>
<b>Notice scientifique .....</b>	<b>8</b>
<b>Localisation de l'opération.....</b>	<b>9</b>
<b>Arrêté de prescription.....</b>	<b>12</b>
<b>Projet scientifique d'intervention.....</b>	<b>17</b>
<b>Arrêté de désignation du responsable scientifique.....</b>	<b>20</b>
<b>Arrêté d'attribution de diagnostic.....</b>	<b>22</b>
<b>ÉTAT DES CONNAISSANCES ET RÉSULTATS.....</b>	<b>25</b>
<b>1. Présentation de l'opération archéologique .....</b>	<b>27</b>
1.1. Conditions de l'intervention .....	27
1.2. Environnement géographique, topographique et géologique .....	27
1.3. Environnement archéologique.....	27
1.4. Déroulement de l'opération et contraintes éventuelles .....	32
1.5. Méthode d'enregistrement .....	34
<b>2. Résultats.....</b>	<b>36</b>
2.1. Observations géomorphologiques (Léa Mairaville et Zoé Sicard-Delage) .....	36
2.1.1. <i>Introduction</i> .....	36
2.1.2. <i>Contexte géomorphologique</i> .....	36
2.1.3. <i>Méthodologie</i> .....	43
2.1.4. <i>Résultats</i> .....	44
2.1.4.1. La coupe .....	44
2.1.4.2. Corrélation des logs et transects.....	46
2.1.5. <i>Conclusion</i> .....	46

2.2. Observations archéologiques .....	48
2.2.1. <i>Paléolithique récent/final</i> .....	48
2.2.2. <i>Mobilier erratique néolithique/protobistorique ?</i> .....	62
2.2.3. <i>L'enclos gaulois (II<sup>e</sup> siècle av. J.-C.)</i> .....	64
2.2.3.1. Les fossés de l'enclos .....	64
2.2.3.2. Des indices d'activités métallurgiques .....	66
2.2.3.3. Le mobilier céramique des fossés (D. Théolas).....	71
2.2.3.4. Les aménagements internes .....	72
2.2.3.5. Les structures périphériques .....	74
2.2.3.6. Conclusion.....	77
2.2.4. <i>Les axes de cheminements historiques</i> .....	78
2.3. Conclusion.....	81
Bibliographie .....	83
<b>Table des figures</b> .....	85
<b>2 ÉTUDE DE LA CÉRAMIQUE</b> .....	87
<b>LES LOGS</b> .....	97
<b>LES INVENTAIRES</b> .....	119
<b>Inventaire du lithique</b> .....	121
<b>Inventaire des faits et des unités stratigraphiques</b> .....	139
<b>Inventaire général du mobilier archéologique</b> .....	151

**DONNÉES ADMINISTRATIVES,  
TECHNIQUES ET SCIENTIFIQUES**



FICHE SIGNALÉTIQUE		
<b>Localisation de l’opération</b>	<b>Statut du terrain au regard des législations sur le patrimoine et l’environnement</b>	<b>Nature de l’aménagement</b>
Région : Haute-Normandie		Déviation
Département : Eure		
Commune : Evreux		<b>Opérateur d’archéologie</b>
Adresse ou lieu-dit : La Grande Pièce	<b>Propriétaire du terrain</b>	Mission archéologique départementale de l’Eure (MADE) Site archéologique de Gisacum 8 rue des thermes 27930 Le Vieil-Evreux
	DREAL de Normandie	
<b>Codes</b>		
Code INSEE : 27229		
Codes Patriarche : 173672	<b>Références de l’opération</b>	<b>Responsable scientifique de l’opération</b>
	N° de l’arrêté de prescription	Nicolas GAUTIER
<b>Coordonnées géographiques et altimétriques (Lambert 93 et NGF 69)</b>	28-2021-680	
X =	N° de l’arrêté de désignation de l’opérateur	<b>Organisme de rattachement</b>
Y =	28-2021-737	Mission archéologique départementale de l’Eure (MADE) Site archéologique de Gisacum 8 rue des thermes 27930 Le Vieil-Evreux
Z =	N° de l’arrêté de désignation du responsable scientifique	
	28-2024-472	
<b>Références cadastrales</b>		
Commune : Evreux	<b>Maître d’ouvrage des travaux d’aménagement</b>	<b>Code opération MADE</b>
Année :		AP 70 j
Section(s) : BP		
Parcelle(s) : 34, 35, 62, 67		<b>Dates d’intervention sur le terrain</b>
Lieu-dit : La Grande Pièce		07/10/2024 au 31/10/2024



## MOTS-CLÉS DES THÉSAURUS

### Chronologie

- ☒ Paléolithique
  - ☐ Inférieur
  - ☐ Moyen
  - ☒ Supérieur
  - ☐ Mésolithique et Épipaléolithique
- ☒ Néolithique
  - ☐ Ancien
  - ☐ Moyen
  - ☐ Récent
  - ☐ Final
- ☒ Protohistoire
  - ☐ Age du bronze
    - ☐ Ancien
    - ☐ Moyen
    - ☐ Récent
  - ☒ Age du Fer
    - ☐ Hallstatt (premier Age du Fer)
    - ☒ La Tène (second Age du Fer)
- ☐ Antiquité romaine (gallo-romaine)
  - ☐ République romaine
  - ☐ Empire romain
    - ☐ Haut-Empire (jusqu'à 284)
    - ☐ Bas-Empire (de 285 à 476)
- ☐ Époque médiévale
  - ☐ Haut Moyen Age
  - ☐ Moyen Age central
  - ☐ Bas Moyen Age
- ☒ Temps Modernes
- ☐ Époque contemporaine
  - ☐ Ère industrielle

### Sujets et thèmes

- ☐ Édifice public
- ☐ Édifice religieux
- ☐ Édifice militaire
- ☒ Bâtiment
- ☒ Enclos
- ☒ Voirie
- ☐ Hydraulique
- ☒ Habitat rural
- ☐ Villa
- ☐ Bâtiment agricole
- ☐ Structure agraire
- ☐ Urbanisme
- ☐ Maison
- ☐ Structure urbaine
- ☐ Foyer
- ☒ Fosse
- ☐ Sépulture
- ☐ Silo
- ☐ Abri
- ☐ Mégalithe
- ☐ Artisanat
- ☐ Argile : atelier
- ☐ Atelier
- ☒ Trou de poteau
- ☒ Fossés
- ☒ Paléosol
- ☐ Autre

### Mobilier

- ☒ Industrie lithique
- ☐ Industrie osseuse
- ☒ Céramique
- ☐ Restes végétaux
- ☒ Faune
- ☐ Flore
- ☐ Métal
- ☐ Arme
- ☐ Outil
- ☐ Parure
- ☐ Habillement
- ☐ Trésor
- ☐ Monnaie
- ☐ Verre
- ☐ Mosaïque
- ☐ Peinture
- ☐ Sculpture
- ☐ Inscription
- ☐ Terre cuite architecturale

### Études annexes

- ☒ Géologie / Pédologie
- ☐ Datation
- ☐ Anthropologie
- ☐ Paléontologie
- ☐ Zoologie
- ☐ Botanique
- ☐ Palynologie
- ☐ Macrorestes
- ☒ An. de céramique
- ☐ An. de métaux
- ☒ An. de lithique
- ☐ Aca. des données
- ☐ Numismatique
- ☐ Conservation
- ☐ Mobilier 1914-1918
- ☐ Analyse sédimentaire

## GÉNÉRIQUE DE L'OPÉRATION

### Intervenants scientifiques

Frédérique BOURA	Directrice régionale des affaires culturelles	DRAC Normandie
Fabrice HENRION	Conservateur régional adjoint de l'archéologie	SRA-DRAC Normandie
Philippe FAJON	Ingénieur d'étude	SRA-DRAC Normandie
Daniele AURELI	Ingénieur d'étude	SRA-DRAC Normandie
Sabine MERY	Responsable de service	Made - CD 27
Vincent DARTOIS	Responsable adjoint	Made - CD 27
Marie LEMOINE	Logisticienne	Made - CD 27
Nicolas GAUTIER	Responsable d'opération	Made - CD 27

### Équipe de fouille

Nicolas GAUTIER	Responsable de l'opération	Made - CD 27
Marion HUET	Archéologue	Made - CD 27

### Équipe de post-fouille

Sébastien CORMIER	Régie des collections	Made - CD 27
Karine DUVAL	PAO	Made - CD 27
Nicolas GAUTIER	Lavage, DAO, inventaires, rédaction	Made - CD 27
Marion HUET	Lavage, DAO, inventaires, rédaction	Made - CD 27
Léa MAIRAVILLE	Géologue	Université de Rouen
Zoé SICARD-DELAGE	Géologue	Université de Rouen
Delphine THEOLAS	Etude céramique	Made - CD 27

7

### Intervenants techniques

Guillaume MESLIÈRES	Terrassement	Entreprise Drouet
Axel LE PRINCE	Topographie/cartographie	Made - CD 27

## NOTICE SCIENTIFIQUE

Cette intervention marque la fin des campagnes de diagnostics réalisées en amont du projet de contournement d'Évreux. Débutées en 1992 par l'AFAN, puis dans les années 2000 par l'INRAP et la MADE, plusieurs d'entre elles ont débouché sur des fouilles complémentaires, dont certaines sont en cours de réalisation, apportant de nouveaux éclairages sur les dynamiques d'occupation du bassin versant de l'Iton dès le Paléolithique.

Cette dernière portion à diagnostiquer s'inscrit au cœur du vallon sec *La Queue d'Hirondelle*, correspondant à un profond talweg évoluant parallèlement à la vallée de l'Iton sur 6 km, selon une direction SO/NE, avant de s'y connecter non loin de l'emprise. D'après la carte géologique, ce talweg d'âge Pliocène est comblé par des limons de pente et de bas de versant (LE). Plusieurs sondages profonds réalisés dans ces dépôts ont permis de documenter une séquence séquanienne, comprenant des sols noirs du Weichsélien ancien conservés sur plus d'un mètre d'épaisseur. Ces niveaux sont dépourvus d'artefacts, à l'exception d'un petit éclat lithique non discriminant et probablement remanié. Une telle séquence a été enregistrée, dans un contexte similaire à moins d'un kilomètre au NE, lors du suivi archéologique de la ZAC de Cambolle, mais elle reste malgré tout rarement observée.

D'un point de vue archéologique, l'emprise s'inscrit dans une zone "sensible", à la jonction entre les sites protohistoriques de la "Garenne de Navarre" au sud et du "Bois du Deffend" au nord, dont ce dernier a également livré de l'industrie lithique tardiglaciaire (fouilles de B. Aubry, INRAP, respectivement 2022 et 2024).

Ainsi, les résultats du présent diagnostic viennent confirmer l'intérêt archéologique du secteur, avec tout d'abord la découverte d'un locus tardiglaciaire inédit localisé en pied de versant nord. Le locus se présente sous la forme d'une nappe d'objets lithiques, parfois associés à des restes fauniques mal conservés, s'étendant sur une surface reconnue d'environ 30 m<sup>2</sup> dans la tranchée. Malgré l'état de dégradation avancé des témoins osseux, leur présence n'en demeure pas moins notable pour la période. Une dent de cheval a ainsi pu être identifiée parmi les restes prélevés. La nappe de vestiges est conservée dans un piège limoneux correspondant à une paléo-ravine, sous une épaisseur d'environ 1,30 m de sédiments colluviés. Le pointage des objets et leur projection en coupe montrent une dispersion verticale des objets sur environ 0,40 m avec quelques concentrations linéaires suggérant des remaniements par processus taphonomiques ou des phases de dépôt distinct.

Les observations préliminaires du corpus lithique, constitué de 211 pièces, illustrent un débitage lamino-lamellaire réalisé, notamment, par percussion directe à la pierre tendre, compatible avec les industries de la fin du Paléolithique. L'autre résultat significatif concerne la découverte d'un enclos gaulois implanté sur un dôme de lœss, lui conférant une position dominante au sein du vallon. Les trois fossés mis au jour, dont deux sont espacés de 35 m, déterminent un espace interne *a priori* incomplet, provisoirement estimé à 1300 m<sup>2</sup>. Cet espace comporte, en l'état des ouvertures, une possible structure de chauffe et au moins un bâtiment sur poteaux. Le dégagement des tronçons de fossés a permis de collecter plus de 4 kg de mobilier céramique en surface, appuyant une utilisation aux II<sup>e</sup> et I<sup>er</sup> siècles av. J.-C.

Enfin, plusieurs axes de cheminements, datant pour la plupart de la période moderne à contemporaine, à l'exception d'un tracé, peut-être antique, montrent à quel point ce vallon, par sa situation topographique et géographique, est un vecteur de circulation, une voie de passage privilégiée connectant la plaine du Neubourg à la vallée de l'Iton.

## ÉTAT DE CONSERVATION DU SITE

La profondeur de décapage est très variable et tributaire des éléments recherchés, les vestiges associés à l'enclos laténien sont peu profonds, entre 30 et 40 cm. Le mobilier du locus tardiglaciaire, au pied du versant, est quant à lui situé entre 1,30 m et 2 m de profondeur depuis le sol actuel.



LOCALISATION DE L'OPÉRATION

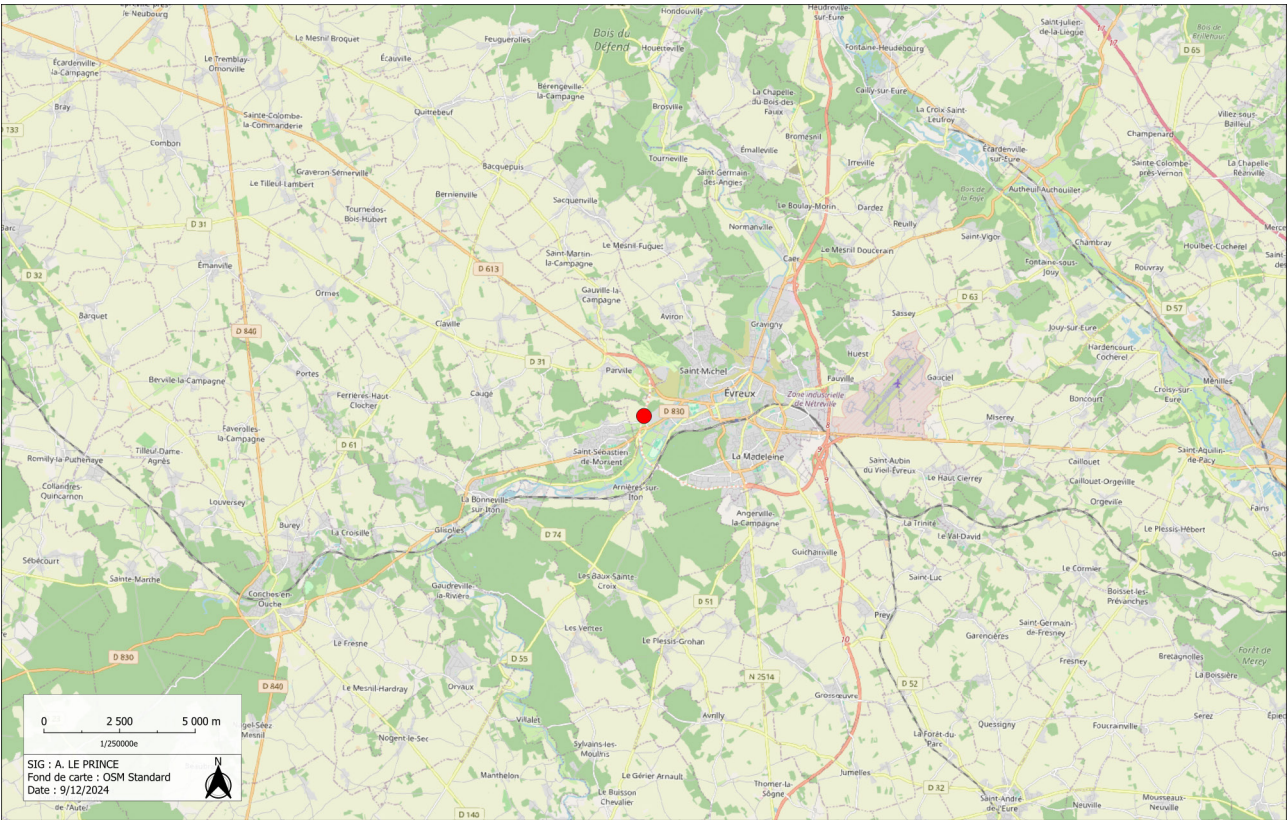


Figure 1 - Localisation de l'opération sur carte 1-250 000e

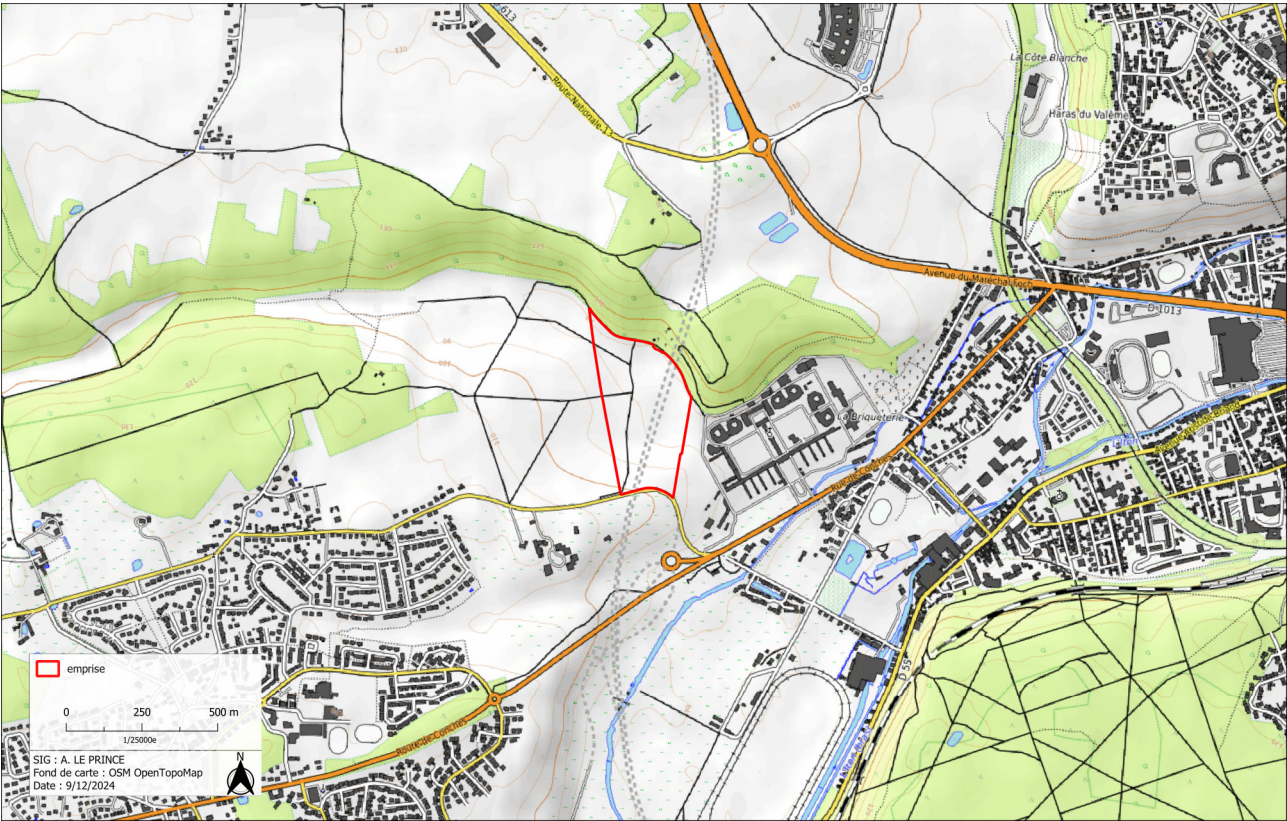


Figure 2 - Localisation de l'opération sur carte topographique 1-25000e





Figure 3 - Localisation de l'opération sur orthophotographie 1-10000e

10

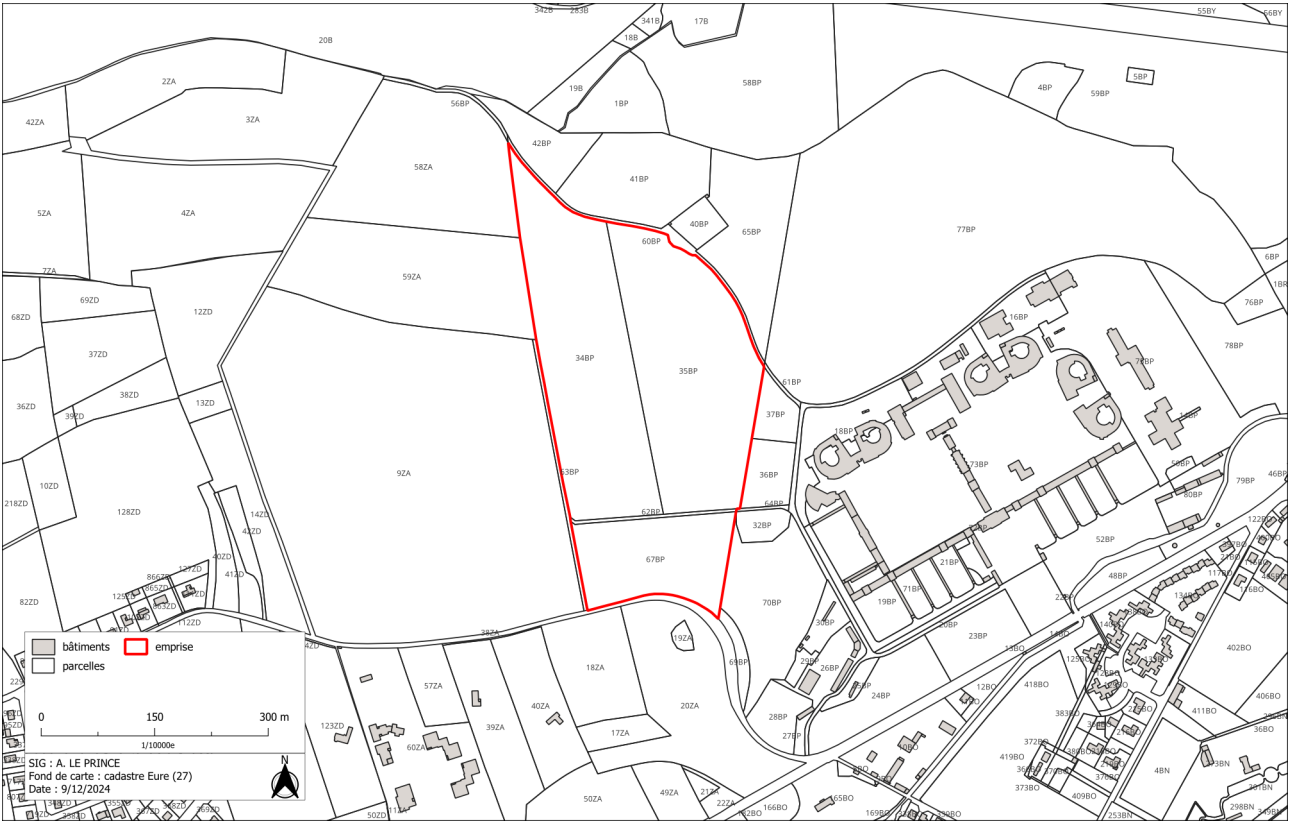


Figure 4 - Localisation de l'opération sur fond de plan cadastral 1-10000e



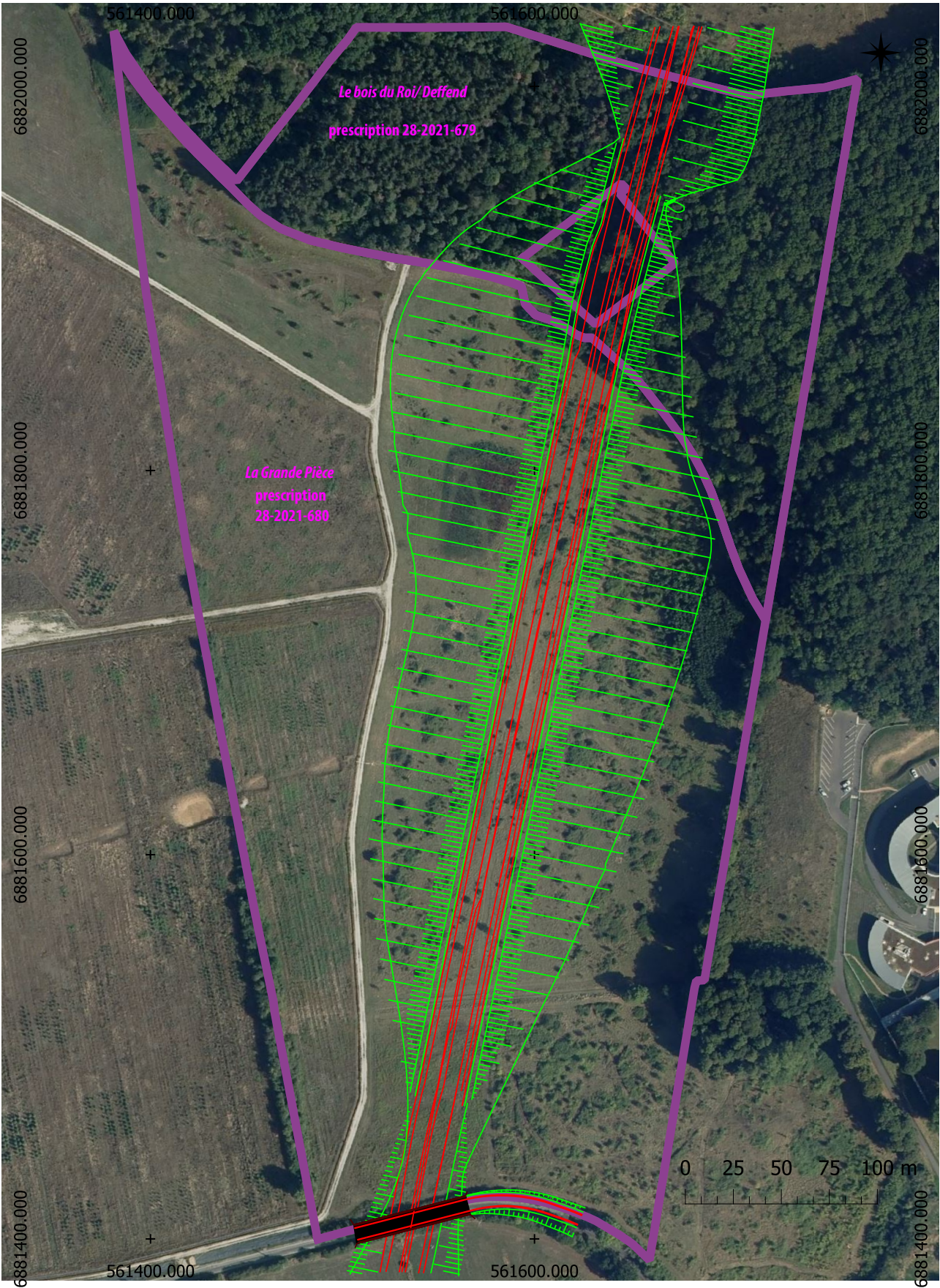


Figure 5 - Plan du projet au1-2500e



## ARRÊTÉ DE PRESCRIPTION

**PRÉFET  
DE LA RÉGION  
NORMANDIE***Liberté  
Égalité  
Fraternité*

Service régional de l'archéologie

DEPARTEMENT DE L'EURE

22 NOV. 2021

MISSION ARCHEOLOGIQUE

Le Préfet de région  
DEPARTEMENTALE**Direction régionale  
des affaires culturelles**Affaire suivie par :  
Philippe FAJON  
02.32.10.70.75

philippe.fajon@culture.gouv.fr

Références : IA0272292100010-2

à

Mission archéologique départementale de l'Eure  
8 Rue des Thermes  
27930 LE VIEIL-EVREUX

CAEN, le

15 NOV. 2021

**Lettre recommandée avec accusé de réception****Objet :** Notification d'une prescription de diagnostic d'archéologie préventive et consultation en vue de son attribution**Références :** EVREUX (EURE), 2020-Déviations Sud-Ouest d'Evreux, section Les Fayaux - Cambolle - Tranche 5 - secteur Sud  
IA0272292100010  
Livres V du Code du patrimoine**P.J. :** Arrêté n° 28-2021-680 du 15 NOV. 2021 portant prescription d'un diagnostic d'archéologie préventive

Je vous prie de trouver ci-joint un arrêté portant prescription de diagnostic préalable à la réalisation de l'aménagement « 2020-Déviations Sud-Ouest d'Evreux, section Les Fayaux - Cambolle - Tranche 5 - secteur Sud » situé La Grande Pièce à EVREUX.

Vous disposez d'un délai de 14 jours à compter de la réception de la présente pour me faire savoir si vous décidez de réaliser cette opération. À défaut de réponse dans ce délai, vous serez réputé y avoir renoncé.

À toutes fins utiles, je vous communique les coordonnées de l'aménageur concerné par cette prescription :

**DREAL de Normandie**  
**Division maîtrise d'ouvrage des projets routiers**  
**Cité administrative**  
**2 Rue Saint-Sever**  
**76032 ROUEN cedex**

Mes services se tiennent à votre disposition pour vous apporter toutes les informations que vous jugerez utiles.

Pour le Préfet de la région Normandie,  
Pour la directrice régionale des affaires culturelles,  
et par subdélégation,  
Le conservateur régional adjoint de l'archéologie.  
Fabrice HENRIONService régional de l'archéologie  
13 bis Rue Saint-Ouen 14052 CAEN CEDEX 4  
Téléphone 02 31 38 39 19 - Télécopie 02 31 23 84 65  
<http://www.culture.gouv.fr/Drac-NORMANDIE/>

## DEPARTEMENT DE L'EURE



**PRÉFET  
DE LA RÉGION  
NORMANDIE**

*Liberté  
Égalité  
Fraternité*

22 NOV. 2021

MISSION ARCHEOLOGIQUE  
DEPARTEMENTALE

**Direction régionale  
des affaires culturelles**

Arrêté n° 28-2021-680 du **15 NOV. 2021**  
portant prescription d'un diagnostic d'archéologie préventive

Le Préfet de région ;

Vu le code du patrimoine et notamment son livre V ;

Vu l'arrêté du 16 septembre 2004 portant définition des normes d'identification, d'inventaire, de classement et de conditionnement de la documentation scientifique et du mobilier issu des diagnostics et des fouilles archéologiques ;

Vu l'arrêté du 27 septembre 2004 portant définition des normes de contenu et de présentation des rapports d'opérations archéologiques ;

Vu l'arrêté n° SGAR/ 21-011 du 27 janvier 2021 portant délégation de signature générale du préfet de région en matière d'activités à Madame Frédérique BOURA, directrice régionale des affaires culturelles ;

Vu le dossier enregistré sous le n° IA0272292100010, aménagement soumis à EI et à autorisation administrative, déposé par – La DREAL de Normandie – pour le projet « 2020-Déviations Sud-Ouest d'Evreux, section Les Fayaux - Cambolle - Tranche 5 - secteur Sud » localisé à EVREUX, transmis par la DREAL Normandie, reçu en préfecture de région, Service régional de l'archéologie, le 17 août 2020 ;

Vu l'arrêté n° 28-2020-400 du 30 septembre 2020 définissant les modalités de saisine du préfet de région pour la mise en œuvre de mesures d'archéologie préventive préalables à un aménagement réalisé par tranches successives, et en particulier l'article 2 précisant la division en tranche de l'opération dite Déviations Sud-Ouest d'Evreux ;

Considérant que les travaux envisagés sont susceptibles d'affecter des éléments du patrimoine archéologique : présence récurrente d'occupations protohistoriques dans l'environnement immédiat de l'emprise concernée (500 m au Nord, 200 m au Sud) ;

Considérant que les modalités pratiques sont maintenant réunies pour organiser la réalisation de cette opération de diagnostic archéologique sur la partie Sud de la Tranche 5 (stricto-sensu) définie dans l'arrêté de phasage 28-2020-400 ;

Considérant qu'il est nécessaire de mettre en évidence et de caractériser la nature, l'étendue et le degré de conservation des vestiges archéologiques éventuellement présents afin de déterminer le type de mesures dont ils doivent faire l'objet.

**ARRÊTE**

**Article 1** - Une opération de diagnostic archéologique est mise en œuvre préalablement à la réalisation du projet « 2020-Déviations Sud-Ouest d'Evreux, section Les Fayaux - Cambolle - Tranche 5 - secteur Sud », sis en :

RÉGION : NORMANDIE  
DEPARTEMENT : EURE  
COMMUNE : EVREUX  
Lieudit ou adresse : La Grande Pièce  
Cadastre : Section : BP, Parcelles : 34, 35, 32, 67

Réalisé par : DREAL de Normandie

L'emprise soumise au diagnostic, d'une superficie de 125 401 m<sup>2</sup>, est figurée sur le document graphique annexé au présent arrêté.



Le diagnostic archéologique comprend, outre une phase d'exploration du terrain, une phase d'étude qui s'achève par la remise du rapport sur les résultats obtenus.

**Article 2 -** L'attribution de la réalisation du diagnostic fait l'objet d'une décision distincte du présent arrêté.

L'opérateur ainsi désigné soumettra un projet d'intervention élaboré sur la base des objectifs scientifiques et des principes méthodologiques définis par le présent arrêté

**Article 3 - Objectifs scientifiques**

Le diagnostic doit permettre de préciser la nature, la datation, la chronologie, l'extension et la puissance stratigraphique des structures archéologiques conservées.

Il doit fournir les informations nécessaires pour décider ou non de la réalisation d'une fouille archéologique et de ses modalités techniques.

**Article 4 - Principes méthodologiques**

La stratigraphie générale du site devra être reconnue grâce à la réalisation de sondages profonds à des emplacements définis en accord avec l'aménageur. Si nécessaire, le responsable d'opération pourra faire appel à l'avis d'un géomorphologue.

Le diagnostic devra être réalisé par ouverture de sondages en tranchée, avec le cas échéant réalisation de « fenêtres » de décapage à l'emplacement des structures archéologiques présentant une concentration ou une extension particulière. Le maillage d'espacement des tranchées pourra être réduit à l'emplacement de ces zones pour en définir l'extension.

Le responsable d'opération aura recours à une méthode d'échantillonnage des structures archéologiques, en pratiquant une vidange raisonnée et leur relevé systématique, ainsi qu'un relevé de la stratigraphie rencontrée, sous forme de dessins, fiches et photographies.

Les données archéologiques seront enregistrées selon les modalités classiques (plans, relevés, photographies). Le rapport devra comporter, outre les éléments requis pour le DFS, une étude (description, comptage et dessin) et un inventaire du mobilier récolté et des structures archéologiques rencontrées.

**Article 5 - Responsable scientifique**

Le responsable scientifique du diagnostic, dont la désignation fera l'objet d'un arrêté ultérieur, doit justifier des qualifications suivantes : de solides compétences pour les périodes protohistoriques au sens large (Néolithique à âge du Fer) sont indispensables pour conduire cette opération.

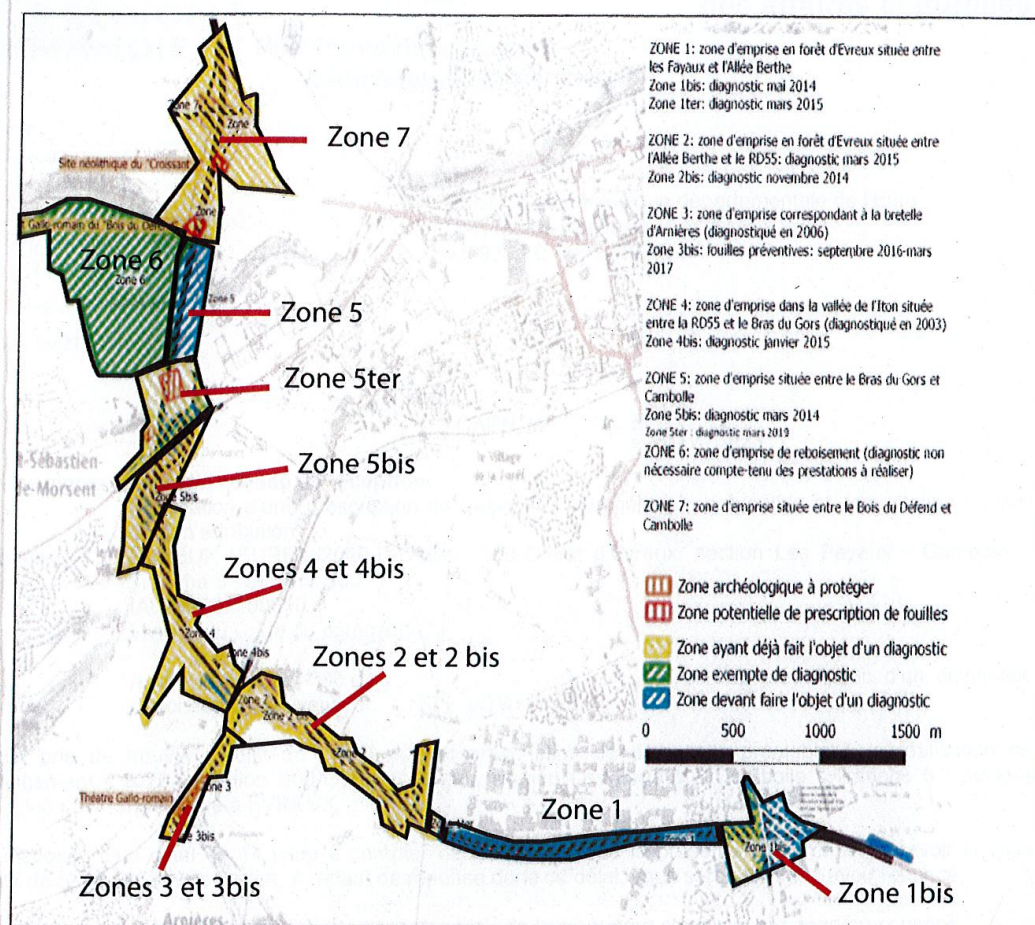
**Article 6 -** La Directrice régionale des affaires culturelles est chargée de l'exécution du présent arrêté, qui sera notifié à la DREAL de Normandie, à la Mission archéologique départementale de l'Eure et l'INRAP - Direction interrégionale Grand-Ouest.

Fait à CAEN, le 15 NOV. 2021

Pour le Préfet de la région Normandie,  
et par délégation,  
La Directrice régionale des affaires culturelles

Pour le préfet de la région Normandie et par délégation,  
La directrice régionale des affaires culturelles  
Frédérique BOURA

Frédérique BOURA



Annexe à l'arrêté 28-2020-400  
 Déviation sud-ouest d'Evreux - Dossier d'Autorisation environnementale  
 Définition des zones des interventions archéologiques  
 tenant compte de leur état d'avancement  
 (fonds de plan Dreal / Egis)



## DEPARTEMENT DE L'EURE

**PRÉFET  
DE LA RÉGION  
NORMANDIE***Liberté  
Égalité  
Fraternité*

Service régional de l'archéologie

Affaire suivie par :  
Philippe FAJON  
02.32.10.70.75

philippe.fajon@culture.gouv.fr

Références : IA0272292100012-2

22 NOV. 2021

MISSION ARCHEOLOGIQUE  
DEPARTEMENTALE**Direction régionale  
des affaires culturelles**

Le Préfet de région

à

Mission archéologique départementale de l'Eure  
8 Rue des Thermes  
27930 LE VIEIL-EVREUX

CAEN, le 15 NOV. 2021

**Lettre recommandée avec accusé de réception****Objet :** Notification d'une prescription de diagnostic d'archéologie préventive et consultation en vue de son attribution**Références :** EVREUX (EURE), 2020-Déviations Sud-Ouest d'Evreux, section Les Fayaux - Cambolle - Tranche 5 - cimetière  
IA0272292100012  
Livres V du Code du patrimoine**P.J. :** Arrêté n°28-2021-681 du 15 NOV. 2021 portant prescription d'un diagnostic d'archéologie préventive

Je vous prie de trouver ci-joint un arrêté portant prescription de diagnostic préalable à la réalisation de l'aménagement « 2020-Déviations Sud-Ouest d'Evreux, section Les Fayaux - Cambolle - Tranche 5 - cimetière » situé Cimetière de l'hôpital psychiatrique à EVREUX.

Vous disposez d'un délai de 14 jours à compter de la réception de la présente pour me faire savoir si vous décidez de réaliser cette opération. À défaut de réponse dans ce délai, vous serez réputé y avoir renoncé.

À toutes fins utiles, je vous communique les coordonnées de l'aménageur concerné par cette prescription :

**DREAL de Normandie**  
**Division maîtrise d'ouvrage des projets routiers**  
**Cité administrative**  
**2 Rue Saint-Sever**  
**76032 ROUEN cedex**

Mes services se tiennent à votre disposition pour vous apporter toutes les informations que vous jugerez utiles.

Pour le Préfet de la région Normandie,  
Pour la directrice régionale des affaires culturelles,  
et par subdélégation,  
Le conservateur régional adjoint de l'archéologie.

  
Fabrice HENRION

Service régional de l'archéologie  
13 bis Rue Saint-Ouen 14052 CAEN CEDEX 4  
Téléphone 02 31 38 39 19 - Télécopie 02 31 23 84 65  
<http://www.culture.gouv.fr/Drac-NORMANDIE/>

# PROJET SCIENTIFIQUE D'INTERVENTION

Projet d'intervention de diagnostic archéologique



## PROJET D'INTERVENTION DE DIAGNOSTIC ARCHEOLOGIQUE PREVENTIF

Arrêté n° 28-2021-680

Opération AP 70i

EVREUX (27)

Parcelles BP 34, 35, 62, 67

### Références

Commune : **EVREUX**

Adresse/ Lieu-dit : **La Grande Pièce**

Références cadastrales : **BP 34, 35, 62, 67**

Emprise du projet : **125401 m<sup>2</sup>**

Occupation du sol : **prairie arbustive**

Arrêté de diagnostic : **28-2021-680**

Date : 15/11/2021

Affaire suivie par : Daniele Aureli et Philippe Fajon Service régional de l'archéologie de Normandie

Aménageur : DREAL  
2, rue Saint Sever  
76032 Rouen Cedex

Date de réception de la prescription : 22/11/2021

Date d'engagement de la Mission archéologique départementale de l'Eure : 01/12/2021

Date d'attribution du diagnostic : 02/12/2021

Opérateur : Mission archéologique départementale de l'Eure  
Site archéologique de Gisacum  
8, rue des thermes – 27930 Le Vieil-Evreux  
Tél. : 02.32.31.93.72 – Fax : 02.32.29.86.56  
Mail : [sabine.mery@eure.fr](mailto:sabine.mery@eure.fr); [vincent.dartois@eure.fr](mailto:vincent.dartois@eure.fr)

## 2. Objectifs

Conformément à la prescription **28-2021-680** la Mission archéologique départementale de l'Eure s'attachera à préciser la nature, la chronologie, l'extension et la puissance stratigraphique des vestiges conservés. En outre, le diagnostic fournira les informations nécessaires à la prise de décision, dans la perspective de prescriptions ultérieures et de leurs prérequis scientifiques et techniques.

## 3. Méthodologie et techniques envisagées

Les agents de la Mission archéologique départementale réaliseront des sondages à l'aide d'une pelle mécanique sur chenilles munie d'un godet lisse large de 3 m. Ces sondages seront adaptés à la morphologie du terrain, aux contraintes liées à la pollution des sols, à l'accessibilité des parcelles et au projet d'aménagement. Des ouvertures complémentaires (sondages, fenêtres, ...) seront éventuellement réalisées autour des vestiges structurés. Des sondages profonds seront réalisés ponctuellement et dans le respect des futurs aménagements, afin d'apprécier la nature du sous-sol.

Dans la mesure du possible, la surface ouverte sera égale ou supérieure à 10 % de la surface totale de l'emprise prescrite. Au minimum, un quart des structures sera testé.

**Le rapport de diagnostic précisera :**

- la profondeur d'enfouissement ;
- l'épaisseur des niveaux archéologiques et leur stratigraphie ;
- la densité des vestiges ;
- la surface concernée ;
- l'état de conservation ;
- la chronologie.

## Projet d'intervention de diagnostic archéologique

**4. Moyens prévus****4.1 – Phase de préparation**

Pour la préparation de l'opération (commandes, DICT, contacts avec l'aménageur, ...), la MADE prévoit 1 jour de travail pour le responsable d'opération.

**4.2 – Phase de terrain**

Pour la phase de terrain, la MADE prévoit une équipe constituée de **2 archéologues**, dont le responsable. Cette configuration permettra d'assurer de manière optimale le suivi du terrassement, les tests de fouille, les relevés afférents et le traitement du matériel collecté. La topographe de la MADE assurera le levé topographique des sondages et des structures en X, Y et Z suivant les systèmes de géoréférencement en vigueur (Lambert 93).

Le détail des moyens prévus est donné dans les tableaux ci-après :

Activité	Qualité	Nom	Nombre	Durée	Jour/Ho
Encadrement, fouille	Responsable d'opération	Nicolas Gautier	1	10	10
Fouille	Technicien de fouille	Marion Huet	1	10	10
Planimétrie	Topographe	Axel Leprince	1	2	2
				<b>Total</b>	<b>22</b>

Moyens particuliers :

- Véhicule de service, moyens photographiques et de relevés internes.

Moyens mécaniques pour l'ouverture des sondages :

Activité	Qualité	Entreprise	Nombre	Durée	Jour/pelle
Ouverture	pelle sur chenilles de 20 T équipée d'un godet de curage de 3 m de large	Drouet	1	10	10
Rebouchage	pelle sur chenilles de 20 T équipée d'un godet de curage de 3 m de large	Drouet		10	10
				<b>Total</b>	<b>20</b>

**4.3 – Phase d'étude et réalisation du rapport**

Pour la phase d'étude, la MADE prévoit une équipe de 2 personnes pour réaliser le texte du rapport, le traitement graphique et les inventaires. Outre le responsable de l'opération, elle sera notamment constituée de techniciens spécialisés de la MADE pour les inventaires, la carte archéologique, les études spécialisées (céramique, lithiques, ...) ou le dessin, selon la répartition suivante :

Activité	Qualité	Nom	Nombre	Durée	Jour/Ho
Coordination, rédaction	Responsable d'opération		1	40	40
Traitement mobilier, inventaire, infographie	Technicien de fouille		1	20	20
Etude spécialisée	Archéologue spécialiste			20	0
Mise en page	Technicienne spécialisée		1	1	1
				<b>Total</b>	<b>61</b>

Moyens particuliers et lieu de dépôt provisoire du matériel archéologique et de la documentation :

Travaux réalisés dans les locaux de la MADE au Vieil-Evreux.



## ARRÊTÉ DE DÉSIGNATION DU RESPONSABLE SCIENTIFIQUE



**PRÉFET  
DE LA RÉGION  
NORMANDIE**

*Liberté  
Égalité  
Fraternité*

Service régional de l'archéologie

Affaire suivie par :  
Philippe FAJON  
02.32.10.70.75

philippe.fajon@culture.gouv.fr

Références : IA0272292100010-9

DEPARTEMENT DE L'EURE

22 OCT. 2024  
25976

MISSION ARCHEOLOGIQUE  
DEPARTEMENTALE

**Direction régionale  
des affaires culturelles**

Mission archéologique départementale de l'Eure  
8 Rue des Thermes  
27930 LE VIEIL-EVREUX

CAEN, le **14 OCT. 2024**

**Objet :** Notification d'arrêté de désignation de responsable scientifique d'un diagnostic d'archéologie préventive

**Références :** EVREUX (EURE), 2020-Déviations Sud-Ouest d'Evreux, section Les Fayaux - Cambolle - Tranche 5 - secteur Sud  
IA0272292100010  
Livre V du Code du patrimoine

**P.J. :** Arrêté n°28-2024-472 du **14 OCT. 2024** portant désignation du responsable scientifique d'un diagnostic d'archéologie préventive.

J'ai l'honneur de vous informer que, par arrêté n° 28-2024-472 du **14 OCT. 2024** dont vous trouverez copie ci-joint, Monsieur Nicolas GAUTIER a été désigné en qualité de responsable scientifique du diagnostic archéologique prescrit par l'arrêté n° 28-2021-680 du 15 novembre 2021.

Aux termes de l'article R.523-22 du code du patrimoine, le responsable scientifique est l'interlocuteur du préfet de région et le garant de la qualité scientifique de l'opération archéologique. À ce titre, il veille au respect des objectifs scientifiques de la prescription, à la mise en œuvre de votre projet d'intervention, assure la conduite effective de l'opération sur le terrain et prend les décisions relatives à l'élaboration du rapport d'opération dont il dirige la rédaction, dans les respects des normes fixées par les arrêtés des 16 et 27 septembre 2004.

Je vous invite à m'informer sans délai de toute circonstance qui pourrait remettre en cause cette désignation.

Mes services se tiennent à votre disposition pour vous apporter toutes les informations que vous jugerez utiles.

Pour le Préfet de la région Normandie,  
Le Directeur régional des affaires culturelles,  
et par subdélégation,  
Le conservateur régional adjoint de l'archéologie,

Fabrice HENRION

Service régional de l'archéologie  
13 bis Rue Saint-Ouen 14052 CAEN CEDEX 4  
Téléphone 02 31 38 39 19 - Télécopie 02 31 23 84 65  
<http://www.culture.gouv.fr/Drac-NORMANDIE/>



**PRÉFET  
DE LA RÉGION  
NORMANDIE***Liberté  
Égalité  
Fraternité***Direction régionale  
des affaires culturelles**

Décision n° 28-2024-472 du **14 OCT. 2024**  
portant désignation du responsable scientifique d'un diagnostic d'archéologie préventive

Le Préfet de région ;

Vu le code du patrimoine et notamment ses articles L.522-1 et R.522-1 ;

Vu l'arrêté SGAR/ 24-066 du 7 juin 2024 portant délégation de signature du préfet de région en matière d'activités à Monsieur Jean-Michel KNOP, directeur régional des affaires culturelles de Normandie ;

Vu l'arrêté du 13 juin 2024 portant subdélégation de signature à Monsieur Fabrice HENRION, conservateur régional adjoint de l'archéologie ;

Vu l'arrêté n° 28-2021-680 du 15 novembre 2021 portant prescription d'un diagnostic d'archéologie préventive (EVREUX, EURE, 2020-Déviations Sud-Ouest d'Evreux, section Les Fayaux - Cambolle - Tranche 5 - secteur Sud) ;

Vu l'arrêté n° 28-2021-737 du 2 décembre 2021 portant attribution de la réalisation d'un diagnostic à un opérateur d'archéologie préventive.

Vu le projet scientifique d'intervention de diagnostic présenté par la Mission archéologique départementale de l'Eure, reçu le 7 octobre 2024, approuvé le **14 OCT. 2024** ;

Vu la proposition de responsable scientifique d'opération présentée par la Mission archéologique départementale de l'Eure ;

Considérant que le responsable scientifique de l'opération proposé dispose de connaissances, références, qualifications et expériences lui permettant de garantir la qualité scientifique de l'opération archéologique et de prendre, dans le cadre de la mise en œuvre du projet scientifique d'intervention susvisé, les décisions relatives à la conduite scientifique de l'opération et à l'élaboration du rapport de diagnostic dont il dirigera la rédaction ;

**ARRÊTE**

**Article 1** - Monsieur Nicolas GAUTIER est désigné responsable scientifique du diagnostic prescrit par l'arrêté du 15 novembre 2021 susvisé. L'opération est enregistrée sous le code : 173672

**Article 2** - Le Directeur régional des affaires culturelles est chargé de l'exécution du présent arrêté qui sera notifié à la DREAL de Normandie, à Monsieur Nicolas GAUTIER et à la Mission archéologique départementale de l'Eure.

Fait à CAEN, le **14 OCT. 2024**

Pour le Préfet de la région Normandie,  
Le Directeur régional des affaires culturelles,  
et par subdélégation,  
Le conservateur régional adjoint de l'archéologie,

Fabrice HENRION



**ARRÊTÉ D'ATTRIBUTION DE DIAGNOSTIC****DEPARTEMENT DE L'EURE****PRÉFET  
DE LA RÉGION  
NORMANDIE***Liberté  
Égalité  
Fraternité*

Service régional de l'archéologie

Affaire suivie par :  
Philippe FAJON  
02.32.10.70.75

philippe.fajon@culture.gouv.fr

Références : IA0272292100010-6

**07 DEC. 2021****MISSION ARCHEOLOGIQUE  
DEPARTEMENTALE**

Le Préfet de région

à

Mission archéologique départementale de l'Eure  
8 Rue des Thermes  
27930 LE VIEIL-EVREUX**Direction régionale  
des affaires culturelles**CAEN, le **- 2 DEC. 2021****Lettre recommandée avec accusé de réception****Objet :** Notification de l'attribution d'un diagnostic d'archéologie préventive**Références :** EVREUX (EURE), 2020-Déviations Sud-Ouest d'Evreux, section Les Fayaux - Cambolle -  
Tranche 5 - secteur Sud  
IA0272292100010  
Votre courrier du 1er décembre 2021  
Livres V du Code du patrimoine**P.J. :** Arrêté n°28-2021-737 du **- 2 DEC. 2021** portant attribution de la réalisation d'un  
diagnostic à un opérateur d'archéologie préventivePar courrier du 1er décembre 2021 vous m'avez fait part de votre intention de réaliser le diagnostic prescrit par  
l'arrêté du 15 novembre 2021

En conséquence, j'ai l'honneur de vous notifier l'arrêté du vous attribuant la réalisation de l'opération.

La désignation du responsable scientifique de l'opération fera l'objet d'une décision ultérieure.

À cet égard, je vous rappelle qu'il vous appartient de préparer et de me soumettre, dans un délai d'un mois à  
compter de la réception de la présente notification, un projet d'intervention détaillant la mise en œuvre de la  
prescription. À compter de la réception de ce projet, je disposerai d'un délai d'un mois pour vous faire part de  
mes observations. À défaut, ce projet sera réputé approuvé.Vous disposez par ailleurs d'un délai de deux mois à compter de la réception de la présente pour adresser à  
l'aménageur ci-après désigné un projet de convention précisant les conditions de réalisation du diagnostic :**DREAL de Normandie  
Division maîtrise d'ouvrage des projets routiers  
Cité administrative  
2 Rue Saint-Sever  
76032 ROUEN cedex**Enfin, la convention de diagnostic doit être signée dans un délai de trois mois à compter de la réception de la  
présente. À défaut, vous ou l'aménageur êtes en droit de demander la fixation des délais de réalisation du  
diagnostic par l'État qui doit alors statuer dans un délai de quinze jours à peine de caducité de la prescription de  
diagnostic.

Je vous rappelle également que vous devez me transmettre une copie de la convention dès sa signature et que vous êtes tenu de me faire connaître les dates de début et de fin du diagnostic au moins cinq jours ouvrables avant le début de l'opération.

Sur ce point, je vous invite, tout comme l'aménageur, à être attentif au respect des délais fixés par l'article L.523-7 du code du patrimoine afin d'écarier tout risque de caducité de ma prescription.

La décision d'attribution du diagnostic peut être contestée devant le tribunal administratif compétent dans un délai de deux mois à compter de la réception de la présente.

Mes services se tiennent à votre disposition pour vous apporter toutes les informations que vous jugerez utiles.

Pour le Préfet de la région Normandie,  
Pour la directrice régionale des affaires culturelles,  
et par subdélégation,  
Le conservateur régional adjoint de l'archéologie.



Fabrice HENRION



**PRÉFET  
DE LA RÉGION  
NORMANDIE**

*Liberté  
Égalité  
Fraternité*

**DEPARTEMENT DE L'EURE**

**07 DEC. 2021**

**MISSION ARCHEOLOGIQUE  
DEPARTEMENTALE**

**Direction régionale  
des affaires culturelles**

Arrêté n° 28-2021-737 du **- 2 DEC. 2021**  
portant attribution de la réalisation d'un diagnostic à un opérateur d'archéologie préventive

Le Préfet de région ;

Vu le code du patrimoine et notamment son livre V ;

Vu l'arrêté n° SGAR/ 21-011 du 27 janvier 2021 portant délégation de signature générale du préfet de région en matière d'activités à Madame Frédérique BOURA, directrice régionale des affaires culturelles ;

Vu l'arrêté du 16 février 2021 portant subdélégation de signature à M. Fabrice HENRION, conservateur régional adjoint de l'archéologie ;

Vu l'arrêté n° 28-2021-680 du 15 novembre 2021 portant prescription d'un diagnostic d'archéologie préventive (EVREUX, EURE, 2020-Déviations Sud-Ouest d'Evreux, section Les Fayaux - Cambolle - Tranche 5 - secteur Sud) ;

Vu l'arrêté du 30 octobre 2017 portant habilitation en qualité d'opérateur d'archéologie préventive de la mission archéologique départementale de l'Eure ;

Vu la décision de la Mission archéologique départementale de l'Eure en date du 1er décembre 2021 de réaliser le diagnostic prescrit ;

Considérant que le projet d'aménagement susvisé n'entre pas dans le champ d'application de l'article R.523-28 du code du patrimoine,

**ARRÊTE**

**Article 1** - La réalisation de l'opération de diagnostic prescrite par l'arrêté du 15 novembre 2021 susvisé est attribuée à la Mission archéologique départementale de l'Eure.

**Article 2** - La Directrice régionale des affaires culturelles est chargée de l'exécution du présent arrêté, qui sera notifié à la DREAL de Normandie et la Mission archéologique départementale de l'Eure.

Fait à CAEN, le **- 2 DEC. 2021**

Pour le Préfet de la région Normandie,  
Pour la directrice régionale des affaires culturelles,  
et par subdélégation,  
Le conservateur régional adjoint de l'archéologie.

Fabrice HENRION

**ÉTAT DES CONNAISSANCES  
ET RÉSULTATS**





# 1. PRÉSENTATION DE L'OPÉRATION ARCHÉOLOGIQUE

## 1.1. CONDITIONS DE L'INTERVENTION

L'opération intervient dans le cadre de la prescription n° 28-2021-680 en amont du contournement de la ville d'Évreux (27). Il s'agit de la tranche 5, correspondant à la déviation sud-ouest, section Les Fayaux - Cambolle, secteur sud, au lieu-dit de La Grande Pièce. Elle comprend les parcelles BP 34, 35, 62 et 67, d'une surface totale de 125 401 m<sup>2</sup>. La zone à sonder est une prairie présentant des bosquets, arbres et arbustes qu'il s'agissait de contourner afin de répondre à l'impératif de préserver l'habitat de la pie-grièche.

L'intervention s'est déroulée dans la continuité du diagnostic mené sur le versant nord du Bois du Deffend/ Bois du Roi.

## 1.2. ENVIRONNEMENT GÉOGRAPHIQUE, TOPOGRAPHIQUE ET GÉOLOGIQUE

Cette portion de la future déviation se trouve à l'ouest d'Évreux, en limite communale de Parville et de Saint-Sébastien-de-Morsent, au lieu-dit "La Grande Pièce" (figures 1 à 5). Les parcelles se trouvent sur le versant sud d'un profond vallon sec dit *La Quene d'hirondelle*,

entaillant l'extrémité sud du plateau du Neubourg, et courant sur la commune de Saint-Sébastien-de-Morsent, pour rejoindre la plaine alluviale de l'Iton, au sud. Le vallon présente un profil asymétrique, le versant sud offre des reliefs contrastés avec une pente d'inclinaison inégale mais cependant continue, d'orientation nord-est/sud-ouest, de l'ordre de 4,5 % en moyenne. Une zone de léger replat s'insère entre deux accélérations du dénivelé au centre de l'emprise. Le fond du vallon est plat et large d'environ 70 m jusqu'au pied du versant nord dont la pente est supérieure à 18 % du nord au sud (figure 7).

D'après la carte géologique, le terrain est recouvert par des limons de pente et de bas de versant (LE - figure 6).

## 1.3. ENVIRONNEMENT ARCHÉOLOGIQUE

La synthèse des découvertes réalisées sur la commune d'Évreux et ses environs ne sera pas ici exhaustive, notamment pour ce qui concerne les nombreuses opérations menées en cœur de ville. Le propos sera davantage resserré autour de l'environnement proche de l'emprise du diagnostic et des opérations mitoyennes, fournissant de nombreuses fenêtres d'analyses susceptibles d'éclairer les résultats de cette campagne de sondages (figures 8 et 9).

27

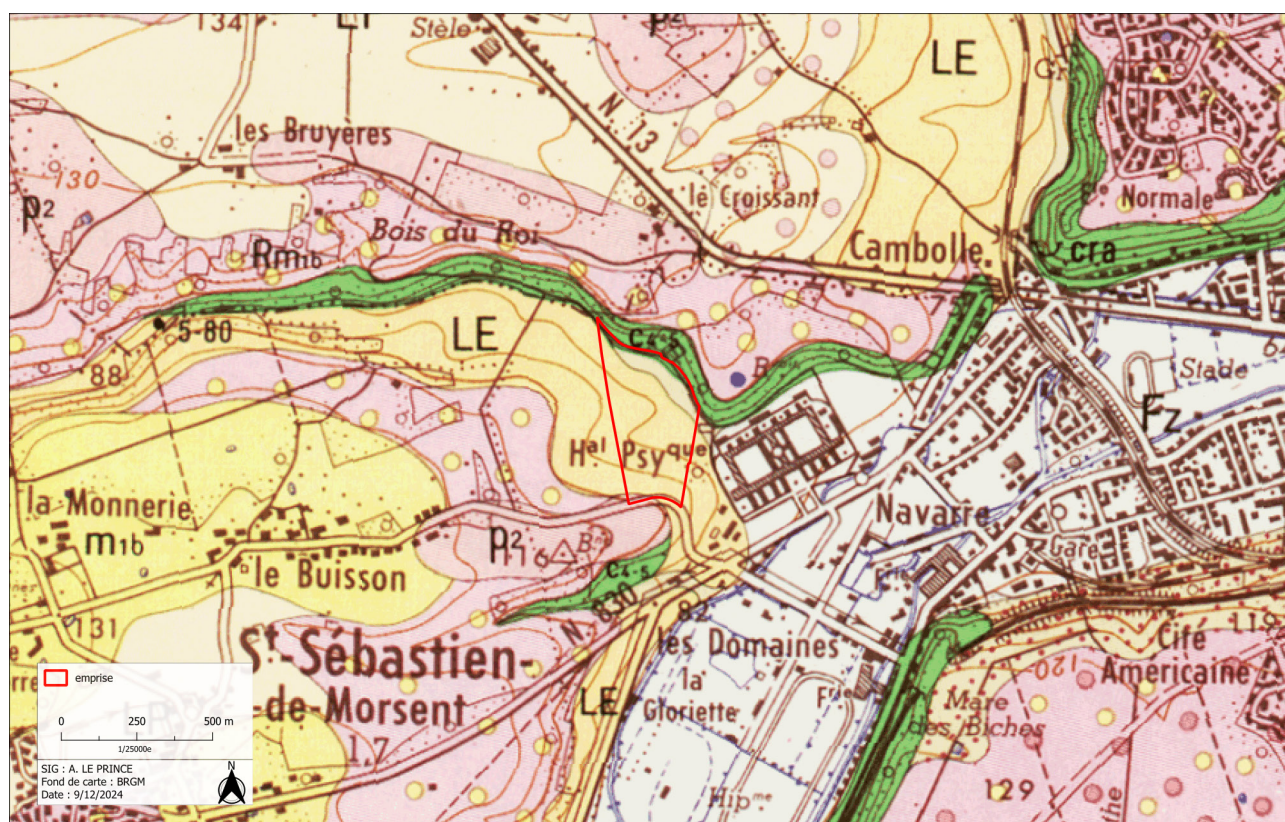


Figure 6 - Localisation de l'opération sur la carte géologique 1-25000e

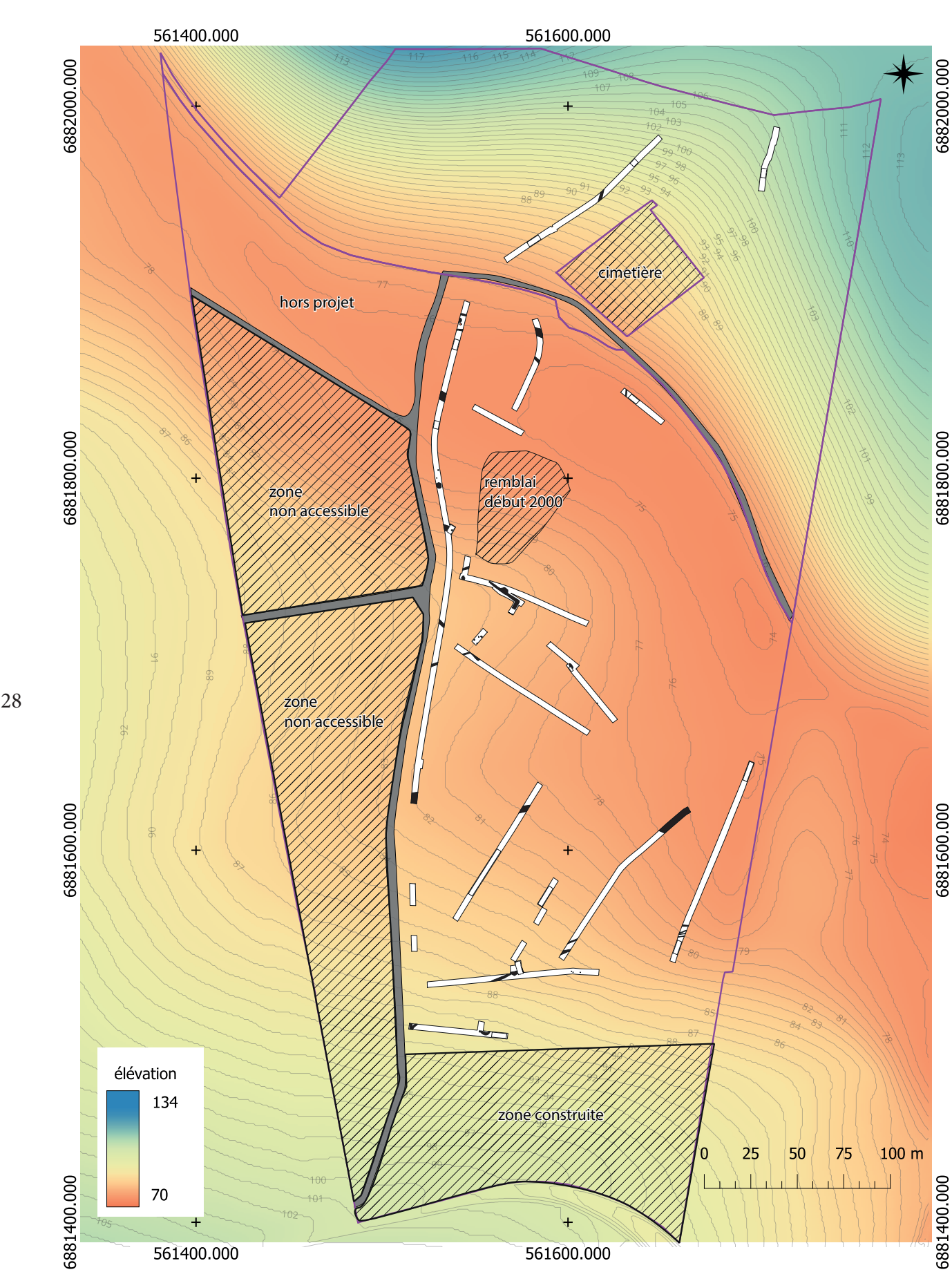


Figure 7 - Plan des sondages et MNT



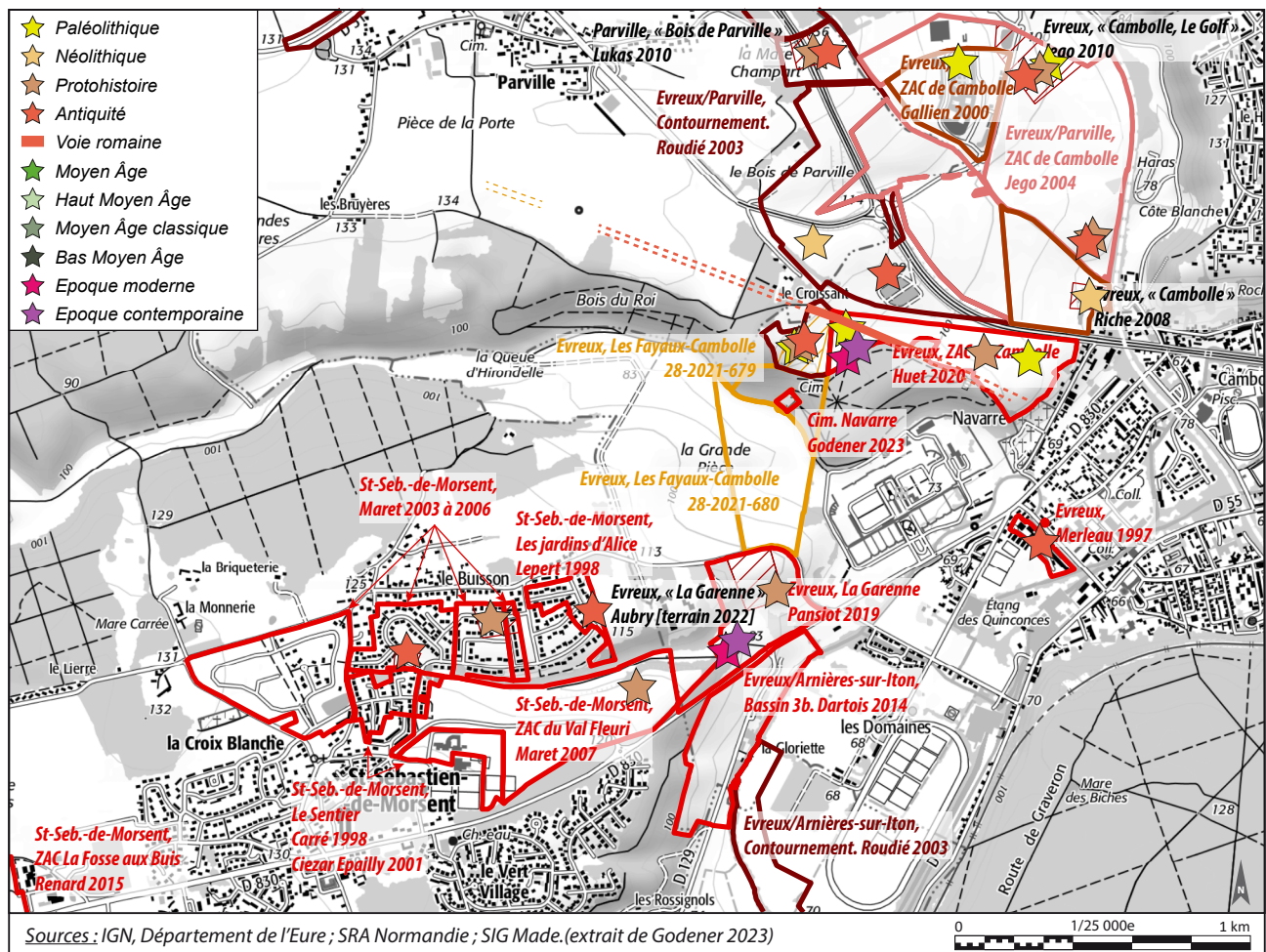


Figure 8 - Environnement archéologique

29

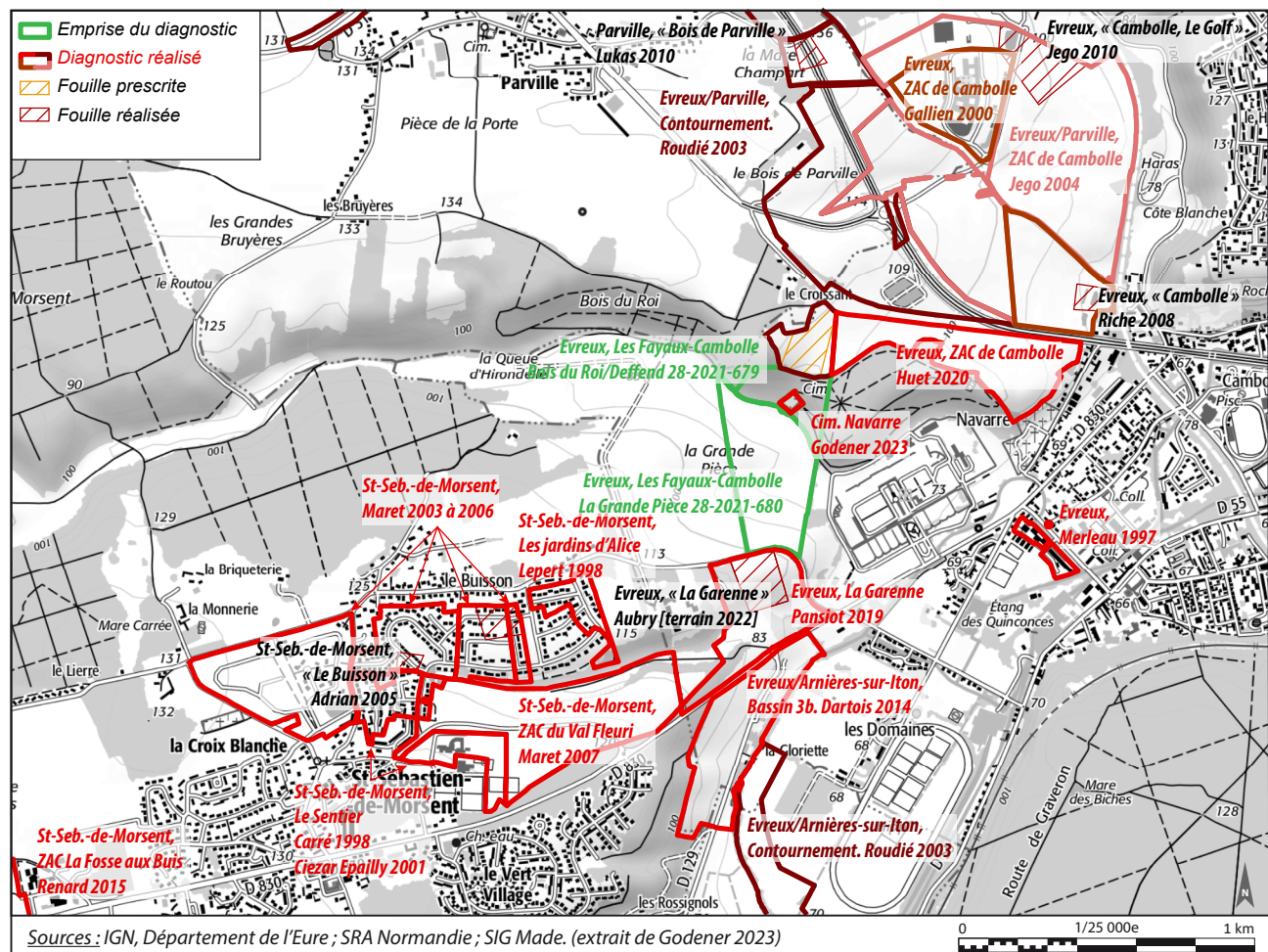


Figure 9 - Opérations archéologiques menées à proximité de l'emprise extrait de Godener 2023



## Paléolithique

La majorité des opérations menées au nord de l'emprise de diagnostic fournit de nombreux vestiges d'une fréquentation du plateau dès le Paléolithique. La plus ancienne semble être celle découverte lors des sondages menés en 2000 (Gallien 2000). Le secteur concerné pourrait couvrir 1000 m<sup>2</sup> et rassemble un lot conséquent de pièces lithiques (éclats, lames, bifaces) attribué au Paléolithique inférieur (Acheuléen). Dans la même zone, de nombreux indices d'occupations au cours du Paléolithique moyen ont été identifiés lors du diagnostic de 2005 (Jégo 2005), complétés lors de la fouille réalisée en 2010 (Jégo 2010). Si le mobilier n'apparaît pas strictement en place, celui-ci est tout de même regroupé de manière lâche et les pièces ne présentent pas d'altération de leur tranchant. Les sondages réalisés à mi-versant, sur une zone de replat lors du diagnostic de 2005 (Jégo 2005), ont également permis d'identifier un sol noir organique dans un contexte assez similaire à celui de la présente opération. Jean-Pierre Lautridou et Dominique Cliquet, qui ont analysé ces coupes, évoquent des paléosols isohumiques/séquences de sols du weichsélien ancien (Paléolithique moyen).

Les parcelles jouxtant l'emprise au nord ont également livré quelques éléments relatifs à cette période (Roudié 2003 et Huet 2020). Sur le diagnostic de 2020, deux secteurs fournissent une certaine quantité de pièces qui seraient relatives à la fin du Paléolithique moyen. Sur ces deux diagnostics, les artefacts sont découverts remaniés dans les niveaux cryoturbés, notamment dans les fentes de gel des sols polygonaux.

Si les contextes de découverte, des remaniements périglaciaires le plus souvent, ont bouleversé l'intégrité chronologique de ces ensembles, ils restent toutefois des témoins privilégiés documentant les occupations du plateau au Paléolithique moyen notamment.

Pour ce qui concerne le Paléolithique final, les indices de fréquentation étaient jusqu'ici assez discrets, avec la seule découverte d'un burin, lors du diagnostic de 2006 (Maret 2006d), sur la commune de Saint-Sébastien-de-Morsent. La fouille réalisée au nord de l'emprise par l'Inrap, sous la direction de Bruno Aubry, à la fin de notre diagnostic, a mis en évidence un petit locus datant de cette phase. Ces éléments, ajoutés à

ceux découverts sur l'emprise, viennent compléter les données concernant les occupations anciennes du secteur.

## Néolithique

De nombreux vestiges témoignent également d'une occupation soutenue au Néolithique et particulièrement au Néolithique ancien sur les terrains au nord de l'emprise. Ces vestiges se manifestent principalement par des creusements contenant un mobilier abondant et renvoyant certainement aux fosses latérales de bâtiments VSG. L'analyse de ce mobilier et du lieu d'implantation de ces structures conduirait à préciser les hypothèses de datation vers une phase récente ou finale du Villeneuve-Saint-Germain (Prost in Gallien 2000 et Riche 2008). La fouille menée par C. Riche au nord de l'emprise, à la suite du diagnostic de 2000 (Gallien 2000), confirme de manière limitée cette occupation et évoque également une occupation néolithique, peut-être plus tardive, sans possibilité de précision toutefois. Un bâtiment découvert lors du diagnostic de 2020 pourrait montrer des similitudes architecturales avec ceux de la fin du Néolithique ancien mais les éléments de datation à disposition évoqueraient davantage l'âge du Bronze.

Les mêmes indices de fosse latérale contenant du mobilier VSG ont été découverts à proximité immédiate du diagnostic, lors des sondages de 2003 (Roudié 2003), sur les parcelles dites du « Croissant », bordant l'opération au nord et donnant lieu à une prescription de fouille. Le mobilier prélevé lors de la même opération au Bois de Deffend, ainsi qu'à La Mare Prétrel, pourrait également être associé à une occupation tardive du Néolithique ancien. La fouille du site du Croissant a été initiée par l'Inrap consécutivement à la fin de ce diagnostic 2024.

Au sud-ouest de l'emprise, le diagnostic de 2006 (Maret 2006d) renseigne sur la présence de mobilier erratique, sans structures associées, datant du Néolithique ancien/moyen (Cerny ?).

Le diagnostic 2019 mené au sud de l'opération (Pansiot 2019) a distingué une zone de concentration mobilière, associant pièces lithiques et petits fragments de céramiques. Si ces éléments sont peu évocateurs, un frag-

ment de cuillère en céramique permettrait d'évoquer une fréquentation au Néolithique récent, et de manière plus générale, à la fin du Néolithique. Le même type de vestiges se rencontre à Chenappeville, où une couche de mobilier pouvant éventuellement s'accompagner de structures évoque des datations relativement similaires, autour du Néolithique final voire du Bronze ancien (Roudié 2003).

## Protohistoire et Antiquité

Plusieurs occupations de l'âge du Bronze semblent cerner l'emprise de l'opération. Au nord, sur le secteur de Cambolle, une occupation en aire ouverte du Bronze final a été découverte, elle est composée de bâtiments généralement localisés à proximité de fosses de prélèvement de matériaux limono-argileux, pouvant s'accompagner de palissades partitionnant les espaces. Une autre structure, située sur un promontoire, fournit quelques ossements ainsi que du mobilier en bronze, lui conférant peut-être un statut particulier (Huet 2020). Au sud de l'emprise, le diagnostic de 2019 a conduit à la fouille d'un habitat associé à une petite nécropole (fosses à dépôt secondaire de crémation), également du Bronze final (sous la direction de B. Aubry, Inrap, en cours d'étude), localisé sur le dôme et le versant de la "Garenne de Navarre".

Le secteur de Saint-Sébastien-de-Morsent, diagnostiqué en 2006 (Maret 2006a et 2006b), puis fouillé en 2007 (Michel 2008), a révélé un enclos curviligne incomplet de 8000 m<sup>2</sup> sur l'emprise traitée, abritant bâtiments de stockage, silos, fosses et témoignant d'une occupation entre la fin du I<sup>er</sup> âge du Fer et de La Tène ancienne. Des occupations plus tardives, au cours du I<sup>er</sup> siècle av. notre ère et le I<sup>er</sup> siècle de notre ère, ont également été perçues sur le site. Chacune de ces phases d'occupation témoigne d'activités métallurgiques assez importantes, liées à une production qui reste toutefois "domestique". Deux sépultures à dépôt secondaire de crémation du I<sup>er</sup> et du II<sup>e</sup> siècle de notre ère ont également été reconnues.

Les autres indices d'occupation détectés pour la Protohistoire concernent principalement la fin de la période. Les terrains périphériques nord sont fortement investis et voient l'implantation d'au moins quatre enclos à faible distance inter-site (environ 500 m). Elle s'ac-

compagne également de la mise en place d'une trame parcellaire et de voies de circulation à travers le réseau fossoyé mis au jour. Deux enclos comportent des vestiges exclusivement gaulois et sont abandonnés avant le I<sup>er</sup> siècle apr. J.-C., tandis que les deux autres perdurent durant la période gallo-romaine (Roudié 2003 ; Jégo 2005, 2010). Le site de Parville illustre également cette continuité d'occupation, avec un enclos d'origine laténienne évoluant en villa et perdurant ainsi jusqu'au IV<sup>e</sup> siècle ap. J.-C. Une nécropole à crémations a également été découverte à proximité de l'enclos (Lukas 2006).

Sur la parcelle immédiatement située en nord d'emprise, trois silos datant certainement de La Tène D2 et comblés à l'époque augustéenne, ont été mis au jour ; deux d'entre eux comportaient des restes humains. Si pour le premier, les fragments étaient mêlés dans le comblement à des os de faune, le deuxième contenait un squelette en connexion. Ce secteur est actuellement en cours de fouille par l'Inrap (dir. Bruno Aubry).

Exceptée l'occupation fouillée au Bois de Parville, précédemment évoquée, l'Antiquité est principalement représentée par la mise en évidence d'axes de circulation sur les parcelles situées au nord du diagnostic (Roudier 2003 ; Huet 2020). Des axes qui correspondraient au tracé de la voie Lisieux/Évreux, également repérés par prospection aérienne. On notera également la présence d'une officine de potier découverte au sud-ouest de l'emprise, sur la commune de Saint-Sébastien-de-Morsent (Adrian 2005).

## Autres phases d'investissements

Les périodes suivantes sont peu représentées sur les terrains périphériques de l'opération. Les principaux résultats concernent surtout les périodes modernes et contemporaines, avec de nombreux éléments parcellaires découverts régulièrement lors des différentes investigations. Plusieurs marnières et carrières d'extraction sont également détectées, notamment au nord. Sur l'emprise du présent diagnostic, une large excavation et exploitation est nettement visible en surplomb de l'ancien cimetière de l'hôpital de Navarre, s'accompagnant de plusieurs dépressions au nord de l'emprise mais également dans la forêt environnante (**figures 8 et 9**). L'emprise de ce cimetière est comprise sur la

phase d'intervention et a déjà fait l'objet d'un diagnostic (Godener 2023), puis d'une fouille (Eveha en cours d'étude) venant de s'achever juste avant le début de cette opération. Ce cimetière est associé à l'hôpital de Navarre dont la construction débute en 1856 par le Conseil général de l'Eure, pour répondre à la loi de 1838 qui oblige chaque département à prendre en charge les "aliénés indigents". Il ouvre en 1866 et est l'un des plus grands ensembles de ce type construit en France, avec une capacité d'accueil de 500 places (on note cependant un taux d'occupation nettement plus élevé, atteignant 900 places de 1900 à 1914) et un fonctionnement quasi autarcique. Le cimetière associé à l'hôpital semble également exister dès l'ouverture du site et fonctionnera jusqu'en 1974, date de la dernière inhumation (éléments extraits de Godener 2023).

Le diagnostic 2019 mené au sud d'emprise (Pansiot 2019), a également livré un grand nombre de vestiges en lien avec le château de Navarre et l'hôpital psychiatrique daté du XIXe siècle. Ont notamment été découverts une glacière du XVIIe siècle, comportant en surface un dépotoir des années 1930, livrant de nombreux éléments de mobilier, ainsi que des zones de carrière.

1.4. DÉROULEMENT DE L'OPÉRATION ET CONTRAINTES ÉVENTUELLES

L'opération de diagnostic s'est déroulée du 7 au 31 octobre 2024, rebouchage inclus. Les deux prescriptions, celles de la *Grande Pièce* et du *Bois du Roi* (ou *du Deffend*) ont été envisagées comme une seule opération pour des raisons pratiques de mise en œuvre. Les sondages ont été réalisés aux emplacements accessibles, avec pour impératif de ne pas toucher aux buissons et taillis servant d'habitat à la pie-grièche (**figure 10**). Les sondages ont été effectués par Guillaume Meslière de l'entreprise Drouet, à l'aide d'une pelle à chenilles de 24 tonnes, munie d'un godet lisse de trois mètres, sous la surveillance de deux archéologues.

Au total, 20 tranchées ont été ouvertes, équivalant à 4175 m², soit un taux d'ouverture de 3 % selon la surface prescrite initiale de 125 806 m² (**figures 10 et 11**). Toutefois la surface sondable est plus réduite car le tiers ouest est exempté de diagnostic, la parcelle 67 au sud est déjà aménagée (mais non diagnostiquée) et donc inaccessible. De même la présence de boisements, d'un remblai de terre (2183 m²) apporté dans

32

Tr	Surface (m²)	Longueur TR (m)	Profondeur min (cm)	Profondeur max (cm)	Profondeur moyenne (cm)
1	116	35	50	86	71
2	348	107	32	322	81
3	183	53	39	252	75
4	325	93	32	213	67
5	373	116	67	300	147
6	334	107	40	139	67
7	36	12	30	30	30
8	29	9	30	40	35
9	52,13	17	30	460	245
10	268,99	86	40	360	200
11	26,3	9	47	66	56
12	36,28	12	50	50	50
13	879,83	273,75	29	241	99
14	265,88	85	44	73	54
15	95,28	30,13	45	51	47
16	167,53	52	40	154	75
17	339,72	73	23	340	65
18	28,85	9	28	40	34
19	183,14	56	26	72	50
20	87,39	27,72	128	241	150
Total	4 175				

Figure 10 - Surface et profondeur



Figure 11 - Plan des contraintes et localisation des sondages au1-2500e

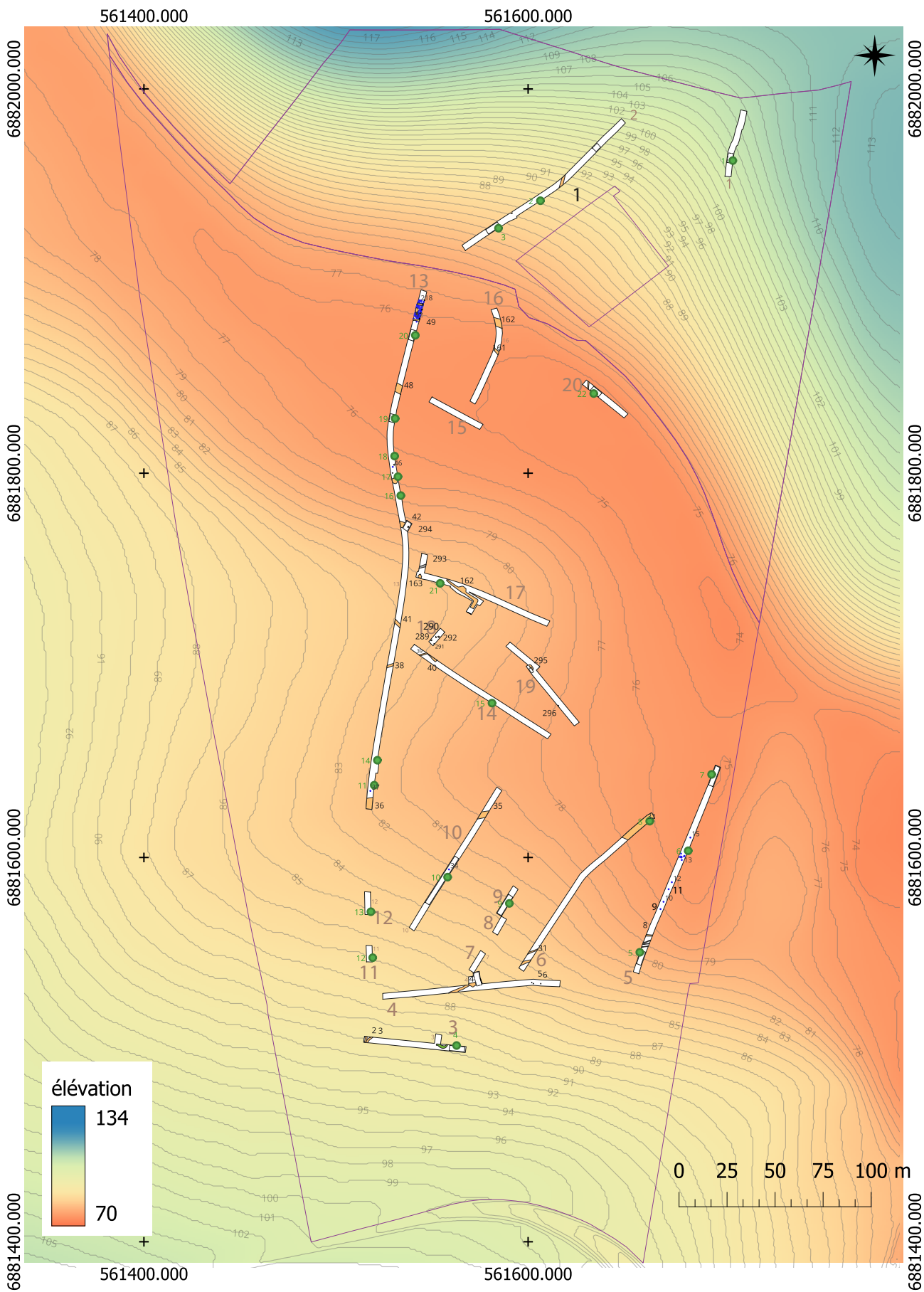
les années 2000, les nombreux buissons et arbustes à éviter, portent la surface diagnostiquable autour de 13 220 m<sup>2</sup>, amenant la surface sondée à 31.5% .

22 sondages profonds ont été effectués, afin de tester la présence d'occupations paléolithiques et de documenter les séquences de dépôts de pente (**figure 12**). À la demande de Daniele Aureli du Service Régional de l'Archéologie, l'étude préliminaire des séquences et divers prélèvements ont été confiés à Léa Mairaville et Zoé Sicard-Delage doctorantes en géographie physique au laboratoire IDEES, Université de Rouen.

## 1.5. MÉTHODE D'ENREGISTREMENT

Les deux opérations de diagnostic s'étant déroulées à la suite et étant traitées comme une seule et même intervention, l'enregistrement des tranchées ainsi que des faits archéologiques, est en numérotation continue, de 1 à n. Chaque structure a fait l'objet d'une couverture photographique et d'un levé topographique. Les structures fouillées manuellement ou mécaniquement ont été relevées au 1/20ème sur des minutes calques. Régulièrement, des profils stratigraphiques (ou logs) ont été réalisés, afin d'obtenir des transects des principales formations rencontrées et de repérer d'éventuelles traces d'occupations paléolithiques. Ils ont été nommés par ordre alphanumérique et figurent en annexes à la fin du rapport.





## 2. RÉSULTATS

Le diagnostic a permis la reconnaissance de 25 faits archéologiques et plus de 200 points de prélèvement de mobilier, généralement lithique (**figures 13 à 15**). Les vestiges découverts concernent principalement la Protohistoire et le Paléolithique, occupant chacun des secteurs relativement bien circonscrits. Ainsi, on trouve un enclos laténien implanté sur la zone de replat à mi-versant, et un paléosol à l'amorce du versant opposé. Pour partie remanié, le paléosol renferme une industrie lithique datée de la fin de la période paléolithique, parfois associée à des restes fauniques mal conservés. Du mobilier lithique plus récent, vraisemblablement néolithique ou protohistorique au sens large, a quant à lui été découvert dans les colluvions, sur les zones d'accélération de dénivelé du versant sud. À cela s'ajoutent plusieurs axes de cheminements, difficilement datables faute de mobilier, mais qui sont vraisemblablement d'Époques moderne et contemporaine, à l'exception de celui plus au sud qui pourrait être antique. La synthèse de ces résultats est résumée sur la **figure 16**.

36

Les observations géomorphologiques ont été confiées à Léa Mairaville et Zoé Sicard-Delage<sup>1</sup>, doctorantes en géographie physique au laboratoire IDEES, Université de Rouen. Leur étude préliminaire est restituée dans son intégralité dans la partie ci-dessous (§§ 2.1). L'ensemble des 22 logs relevés par la Made, ayant également servi de base de travail pour la réalisation des transects notamment, figurent en annexes à la fin de ce rapport.

### 2.1. OBSERVATIONS GÉOMORPHOLOGIQUES (LÉA MAIRAVILLE ET ZOÉ SICARD-DELAJE)

#### 2.1.1. INTRODUCTION

Cette contribution s'inscrit suite à la demande de Danielle AURELI (SRA) pour un passage sur le diagnostic pour des reconnaissances géomorphologiques préliminaires.

Compte tenu du temps extrêmement limité et sans connaissance particulière préalable sur la zone, nous sommes d'abord focalisées sur la description de la coupe 9 (TR 9). Au cours de l'après-midi et après les discussions avec D. Aureli, les objectifs ont été élargis à la description d'un maximum de coupes. Cela a donc impliqué de passer moins de temps sur chaque coupe, nous ne disposons en effet que d'une journée sur le terrain seulement.

Pour cette petite contribution, nous précisons le contexte géomorphologique du diagnostic. Nous aborderons la méthodologie employée sur le terrain et nous préconisons les analyses à faire sur les prélèvements effectués. Nous présenterons en résultats le log 9 que nous avons relevé dans le détail et nous proposerons 3 transects sédimentaires à partir des logs relevés par la MADE pour entamer une réflexion sur l'état d'érosion et sur le colluvionnement.

#### 2.1.2. CONTEXTE GÉOMORPHOLOGIQUE

L'emprise du diagnostic se situe à l'Ouest de la ville d'Evreux, sur le plateau de l'Eure (DREAL Normandie, 2011 ; DREAL Normandie 2018), qui se divise en deux unités paysagères : le Plateau du Neubourg et la Vallée de l'Iton. Le plateau du Neubourg se caractérise par de grandes plaines agricoles dont la limite Sud-Est est la Vallée de l'Iton ; cette dernière s'évase et permet le développement de la ville d'Evreux. L'occupation actuelle du sol est relativement simple, entre tissu urbain discontinu, terres arables et prairies et forêts (**figure 17A**). Les cartes anciennes de Cassini (18<sup>ème</sup> s.) et de l'état-Major (19<sup>ème</sup> s.) (**figure 17B&C**) ne montrent pas d'anthropisation particulière sur l'emprise qui semble boisée aux deux périodes. On peut préciser que le boisement semble s'être rétracté depuis le 18<sup>ème</sup> s. pour rester localisé sur les versants.

Le diagnostic se localise dans une petite vallée sèche sans écoulement permanent, entre 74 et 101 m NGF, à proximité du lieu-dit la Grande pièce. Le profil altimétrique (**figure 18**) montre un léger replat topographique situé au milieu de l'emprise du diagnostic qui comporte par ailleurs plusieurs faits archéologiques identifiés par la MADE.

<sup>1</sup> Nous tenons à remercier chaleureusement Léa Mairaville et Zoé Sicard-Delage pour leur investissement

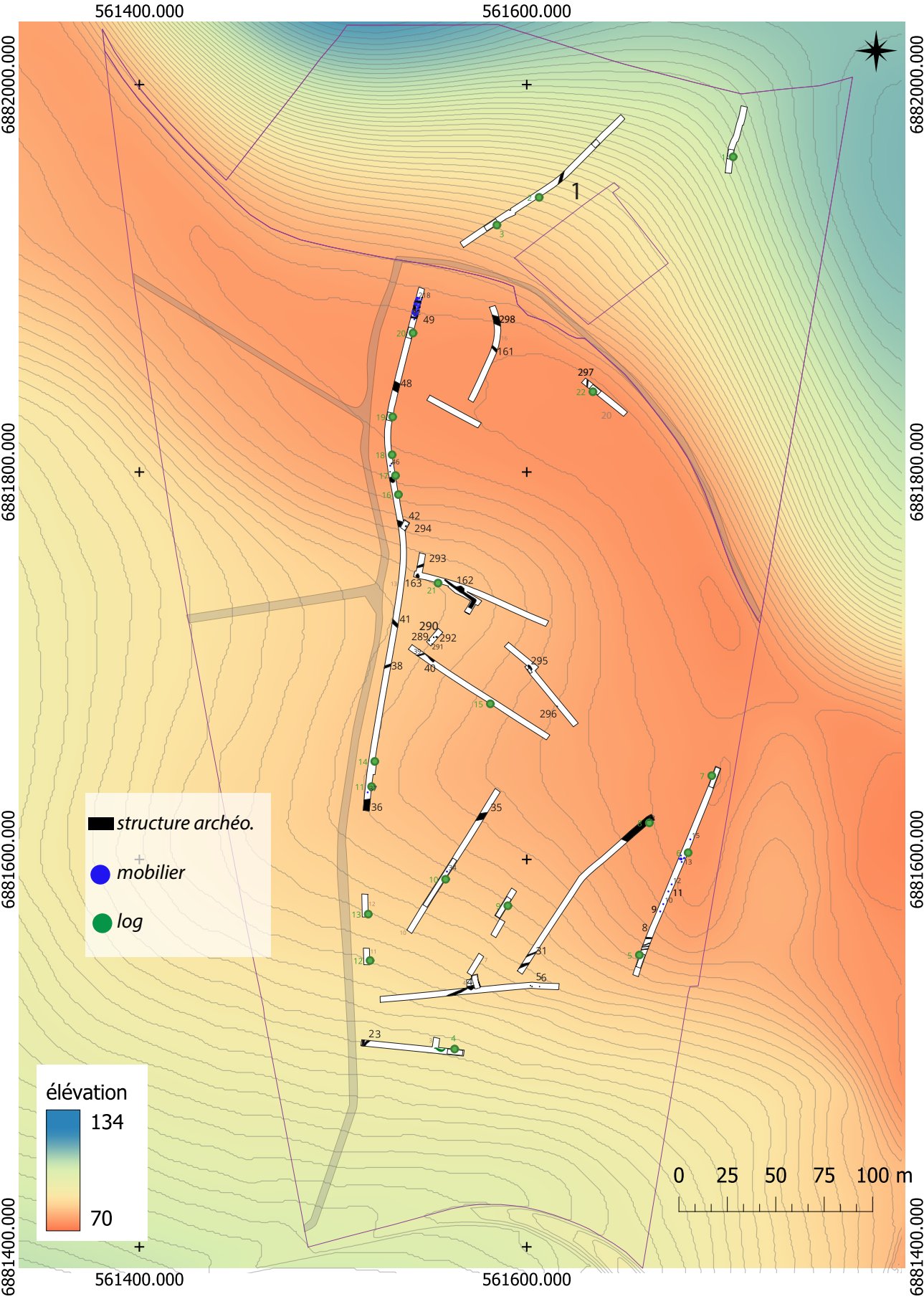


Figure 13 - Plan des vestiges au 1-2500e





Figure 14 - Résultats sur orthophotographie de l'emprise au 1-2500e



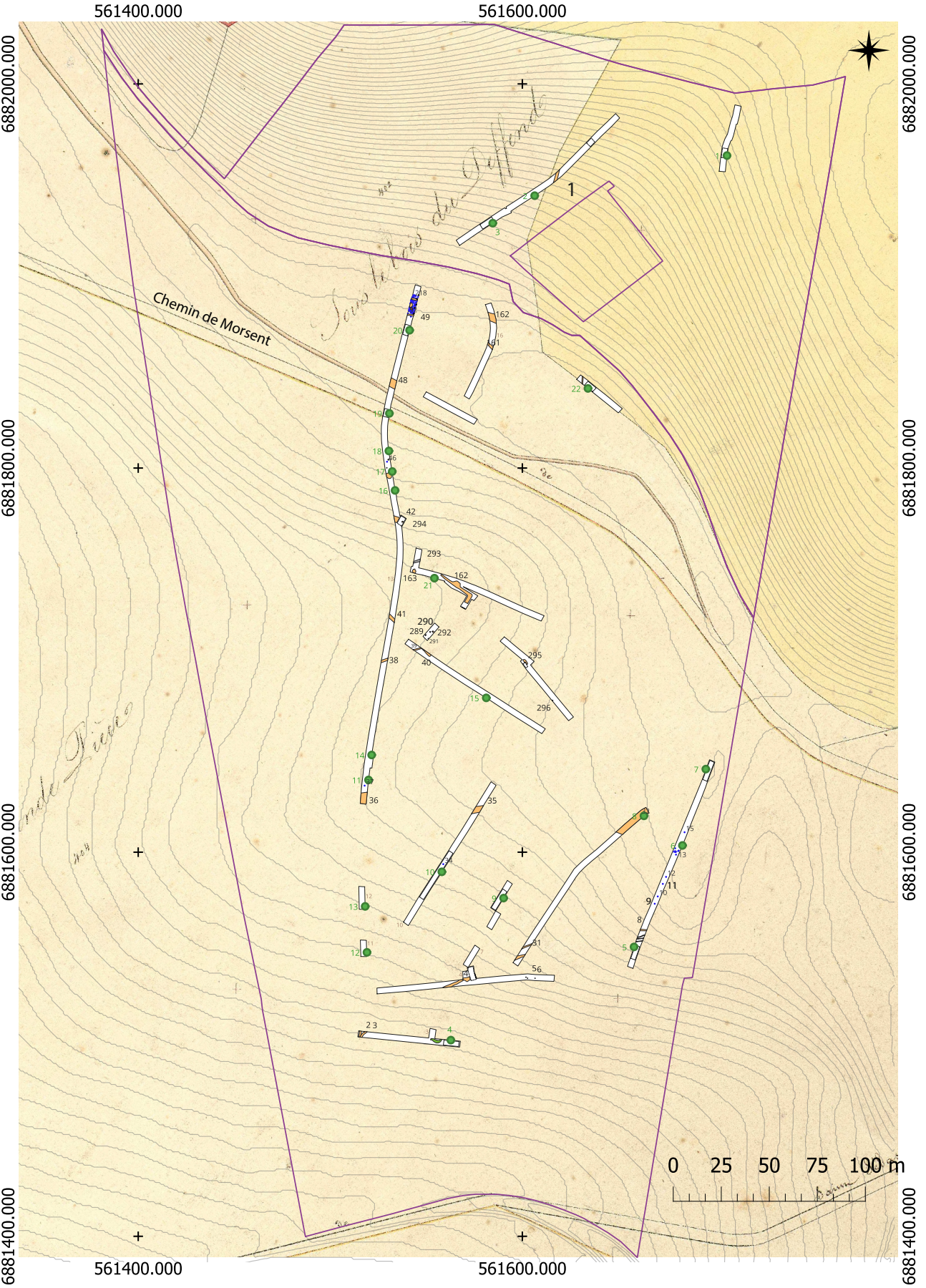


Figure 15 - Résultats sur fond de cadastral du XIXème au 1-2500e



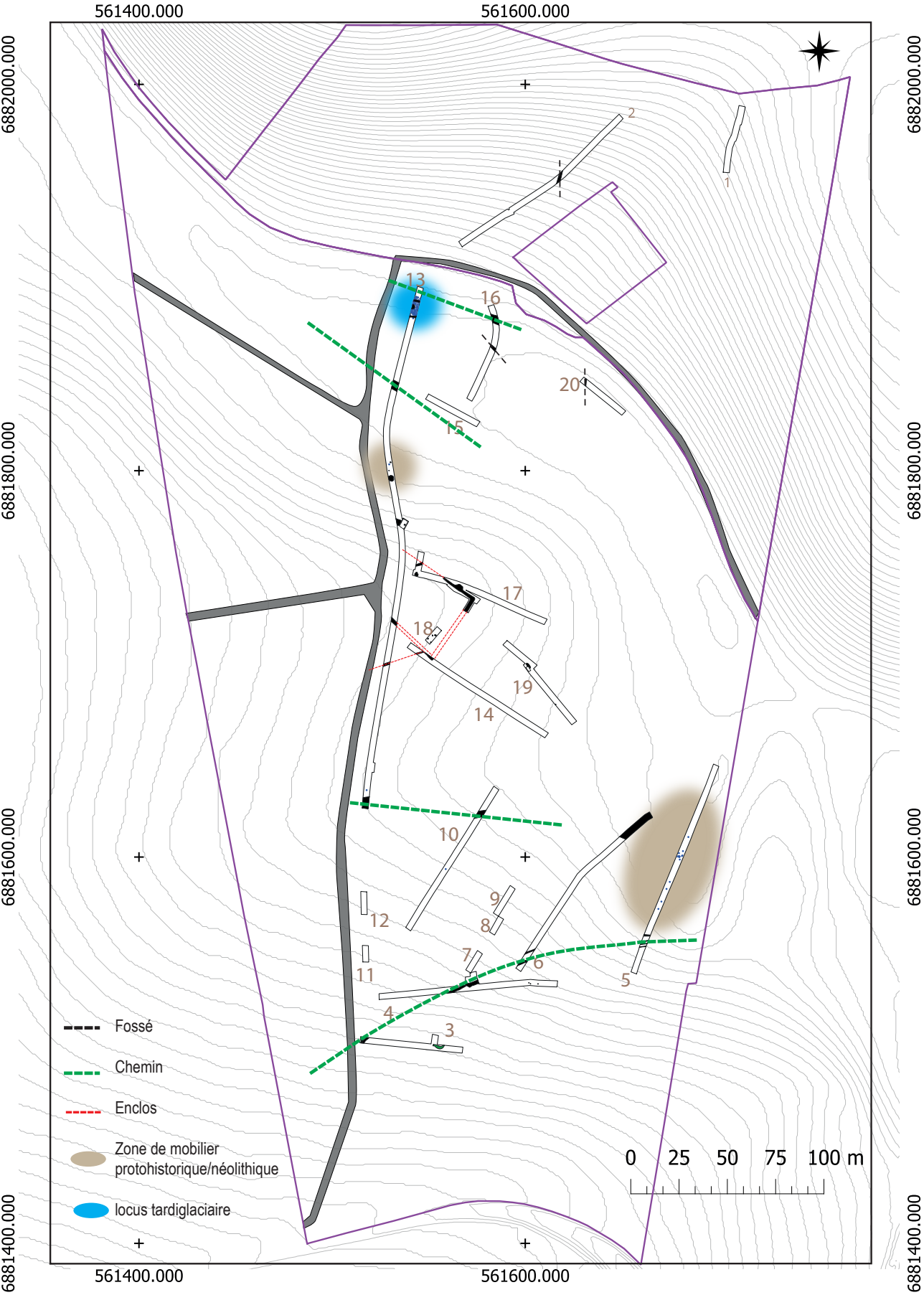


Figure 16 - Synopsis de l'opération

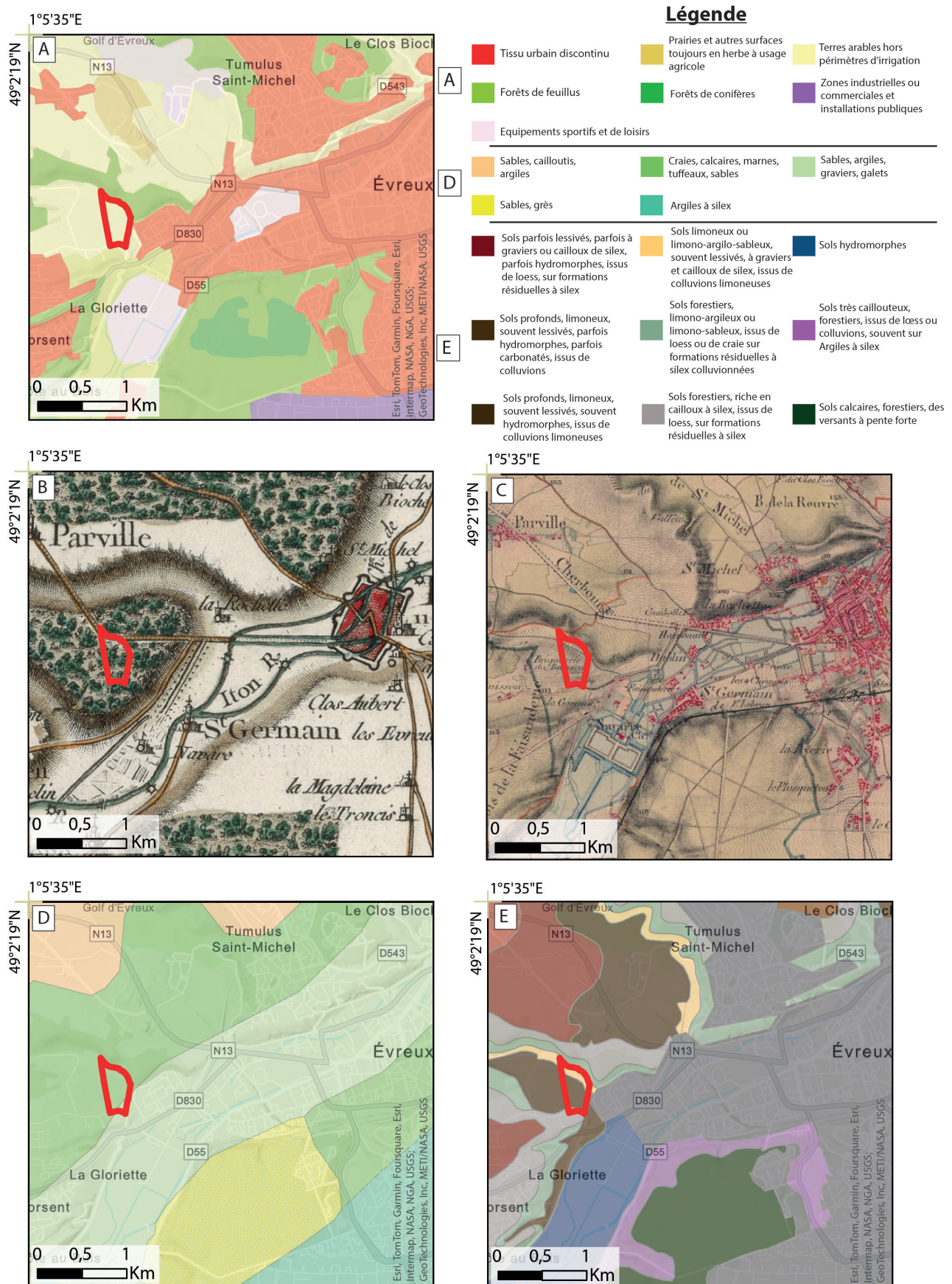


Figure 17 - Contexte général du site :

[A] : Carte d'occupation des sols (source : CORINE Land Cover – France Métropolitaine, 2012)

[B] : Carte de Cassini (source : disponible sur Géoportail)

[C] : Carte d'Etat-Major (source : disponible sur Géoportail)

[D] : Carte géologique métropolitaine au 1/1 000 000 (source : BRGM)

[E] : Carte du Référentiel Régional Pédologique Haute-Normandie (RRP) - Pédopaysages au 1/250 000 (source : Conservatoire d'Espaces Naturels Normandie Seine) (légendes modifiées)



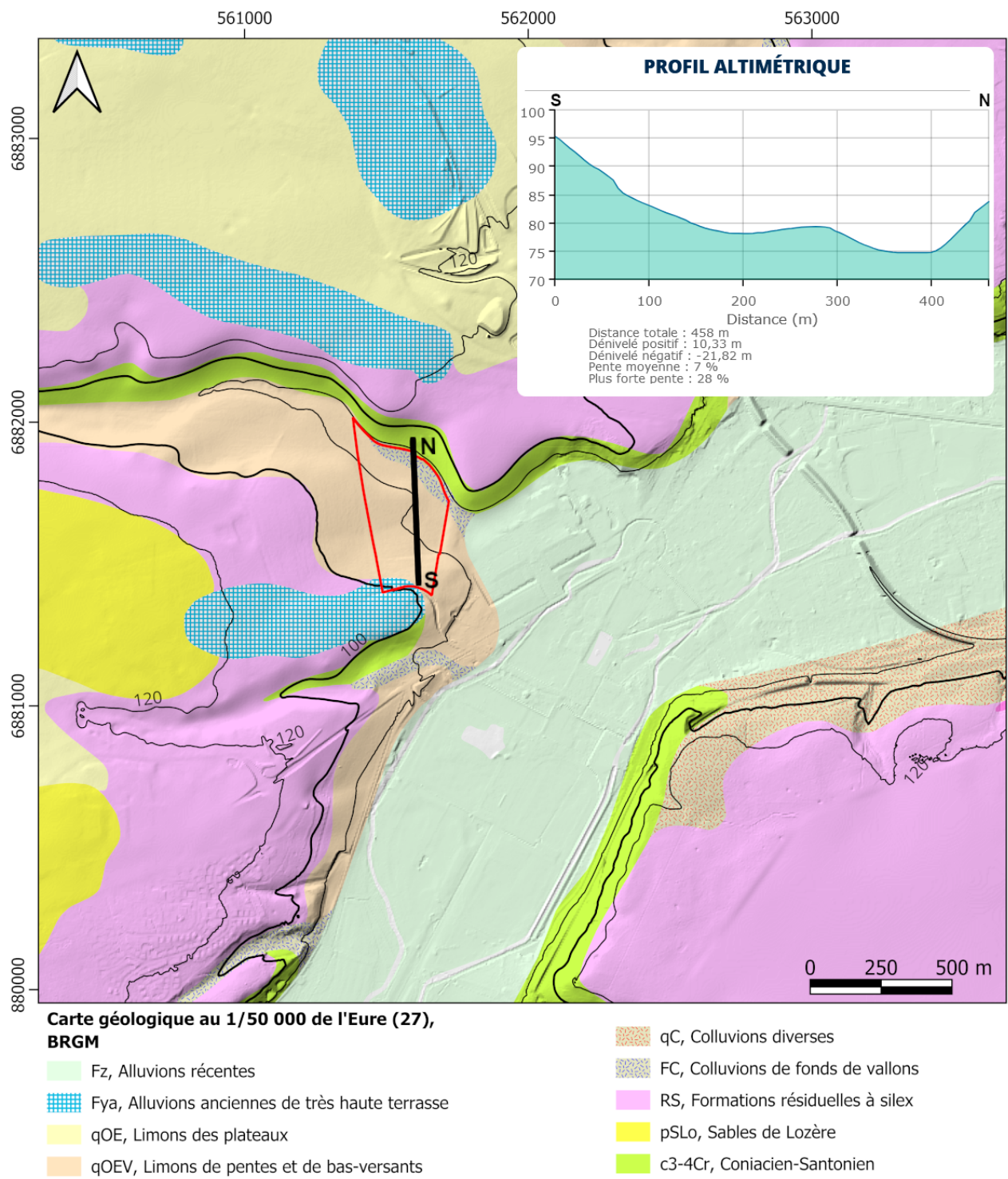


Figure 18 - Emprise de l'opération et localisation du profil altimétrique. (MNT RGE ALTI 5m de l'IGN et carte géologique au 1/50000 vectorisée et harmonisée de l'Eure, BRGM)



La carte géologique métropolitaine au 1/1 000 000 (BRGM, 6ème édition révisée) montre que l'emprise du diagnostic se situe dans un contexte de craies, calcaires, tuffeaux et sables avec quelques présence possible de sables, argiles, graviers et galets (**figure 17D**). Le contexte géologique régional (carte au 1/50000 de l'Eure vectorisée et harmonisée, BRGM) montre que le substrat principal est représenté par des limons de pentes et de bas-versants reposant sur un plateau crayeux du santonien-coniacien. L'origine de ces limons semble à la fois éolienne et colluviale d'après la bibliographie ( V. Deloze dans Jégo, 2010).

### 2.1.3. MÉTHODOLOGIE

Une description détaillée de la coupe 9 a été effectuée jusqu'à 4,6 mètres de profondeur. Bien que d'autres coupes et logs aient été relevés en toute fin de journée, ceux-ci avaient déjà été décrits par les équipes de la MADE, nous ne les présenterons donc pas dans ce rapport. Les logs précédemment relevés par la MADE ont cependant été utilisés afin de réaliser *a posteriori* de notre venue sur le terrain des transects sédimentaires (**figure 19**)

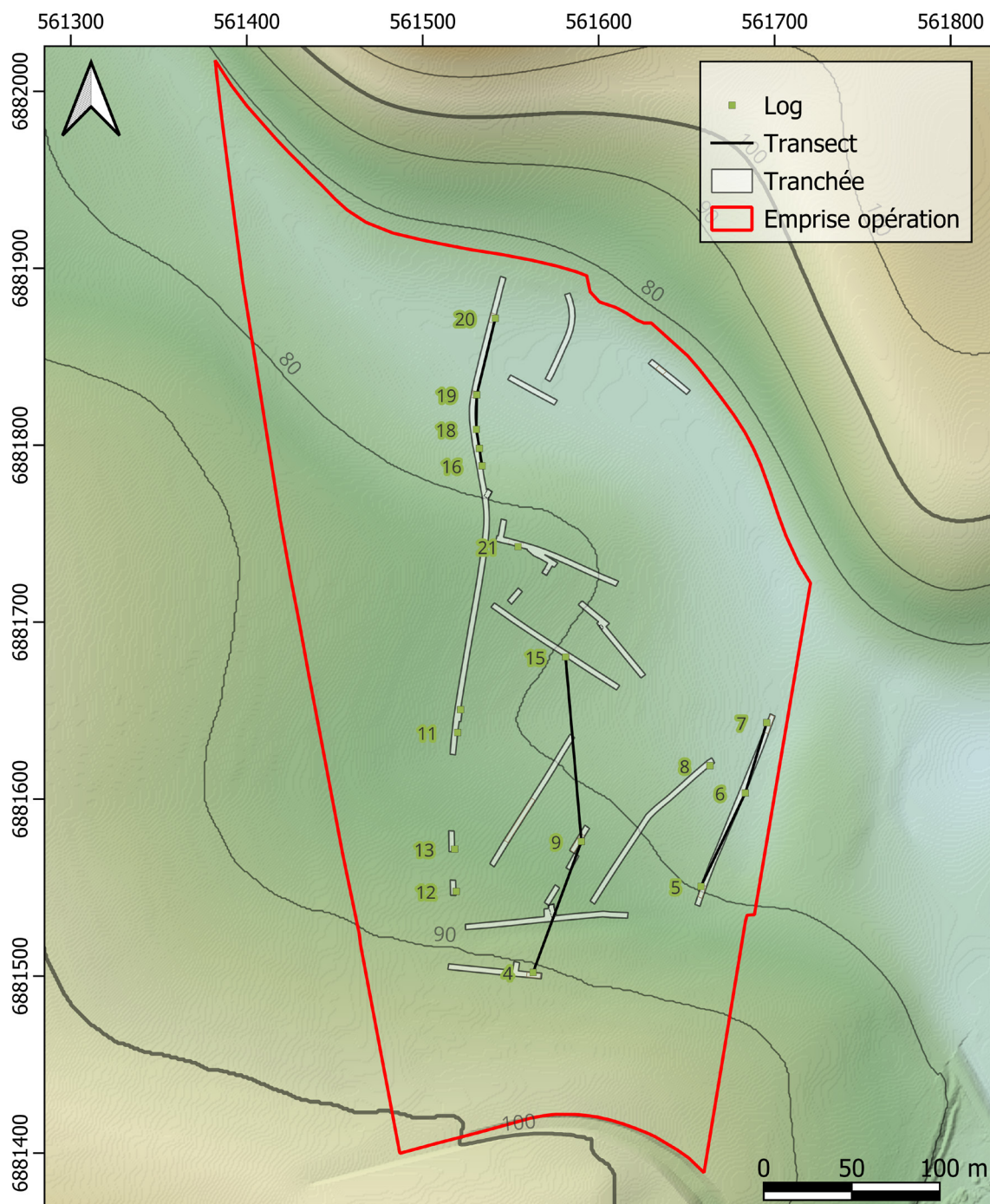


Figure 19 - Localisation des logs et tranchées réalisés par la MADE, et transects choisis pour la corrélation des logs. (Données de localisation acquises par la MADE, MNT RGE ALTI à 5 mètres de l'IGN)

La coupe 9 a donc été finement décrite et prise en photogrammétrie afin de pouvoir présenter une belle orthophotographie et lever un log. Des prélèvements sédimentaires, au sein de plusieurs unités stratigraphiques des différentes coupes, en vrac d'un volume d'environ 200 grammes ont été réalisés dans des sachets plastiques. Ces prélèvements en sachet ont été complétés par des prélèvements en colonne sur l'intégralité de la puissance de la coupe 9, à l'aide de demi-tubes PVC, permettant ainsi de préserver la stratigraphie du log en cas d'analyses futures, ou pour archivage. La susceptibilité magnétique du log a aussi été mesurée de la base de la coupe jusqu'à 4,2 mètres à l'aide d'une sonde MPP (GDD instrumentation) effectuant des mesures en  $10^{-3}$  SI. Ces mesures ont été réalisées tous les 5 centimètres sur l'intégralité de la séquence de la coupe 9. Il s'agit d'appliquer un champ magnétique au sédiment et de mesurer, en retour, la valeur de son aimantation volumique acquise. Les mesures de susceptibilité magnétique ont été réalisées en complément de la description de la coupe, des prélèvements en demi-tubes et en sachet, afin d'éventuellement mettre en évidence la présence de corps ou minéraux ferromagnétiques, ou bien des changements de tendances dans les valeurs appuyant l'identification des unités lithostratigraphique.

Des tubes pour des datations OSL ont été effectués, sur la base des descriptions des logs. La localisation de chaque tube a été pensée et définie afin de pouvoir dater des unités stratigraphiques particulières (paléosol, périodes froides, etc...).

## 2.1.4. RÉSULTATS

### 2.1.4.1. LA COUPE

Lors de la description et étude de la coupe 9, 11 unités lithostratigraphiques distinctes (numérotées de 1 à 11, de bas en haut de la séquence) ont pu être identifiées sur les 4,6 mètres composant la séquence. L'identification et la description de ces unités ont permis la réalisation d'un log, qu'il a été possible d'associer aux relevés de susceptibilité magnétique et à l'orthophotographie de la coupe (**figure 20**).

À la base de la séquence, l'unité 11 est formée d'un sédiment limono-argileux, brun clair à gris, où sont visibles ponctuellement des passées orange

à ocre. Quelques petits clastes siliceux anguleux, centimétriques, sont présents de façon éparse.

L'unité 10 correspond à un sédiment limono-argileux brun clair, homogène, sans clastes apparents.

L'unité 9 est formée d'un sédiment limono-argileux également, mais d'un brun foncé. Il n'y a pas de clastes apparents dans cette unité.

L'unité 8 correspond à un sédiment limono-argileux brun clair, avec de rares petits clastes siliceux subanguleux à anguleux, n'excédant pas un centimètre. Le sommet de cette unité est affecté de larges fentes, au sein desquelles s'insèrent les sédiments de l'unité 7.

L'unité 7 se compose d'un sédiment limoneux, peu argileux, massif, très brun. De petits clastes siliceux millimétriques à centimétriques subanguleux à anguleux sont présents. Ponctuellement, des lentilles de clastes très anguleux peuvent être observées, mais aussi des lentilles de sédiments plus grisâtres. La base de cette unité est formée de fentes et son sommet présente des convolutions centimétriques à déci centimétriques.

Ce type d'unité limoneuse, brune, présentant des fentes et/ou surfaces d'érosion ont déjà été repérées à proximité, bien qu'à des altitudes différentes (par exemple, l'unité 8 sur le site de Les Faulx (Aubry, 2015)) et à plusieurs occurrences sur le site Cambolle, le Golf à Evreux (Jego, 2010). Ces unités-là ont été associées à des chronologies différentes. Pour autant, les altitudes étant nettement différentes, il est difficile de corréler l'unité 7 observée sur ce site à ces unités précédemment décrites lors d'opérations précédentes.

La base de l'unité 6 repose sur les convolutions au sommet de l'unité 7 et est formée d'un sédiment limono-argileux brun présentant des clastes siliceux anguleux centimétriques à déci centimétriques. On y observe la présence de silex fissurés, gélifractés.

L'unité 5 correspond à un sédiment limoneux brun clair à jaune, gris, avec quelques clastes principalement siliceux épars, subanguleux, millimétriques à centimétriques.

L'unité 4 présente un léger litage horizontal et correspond à un sédiment limoneux brun. Il n'y a pas de clastes et ponctuellement cette unité est bioturbée, et des racines actuelles/subactuelles sont visibles.



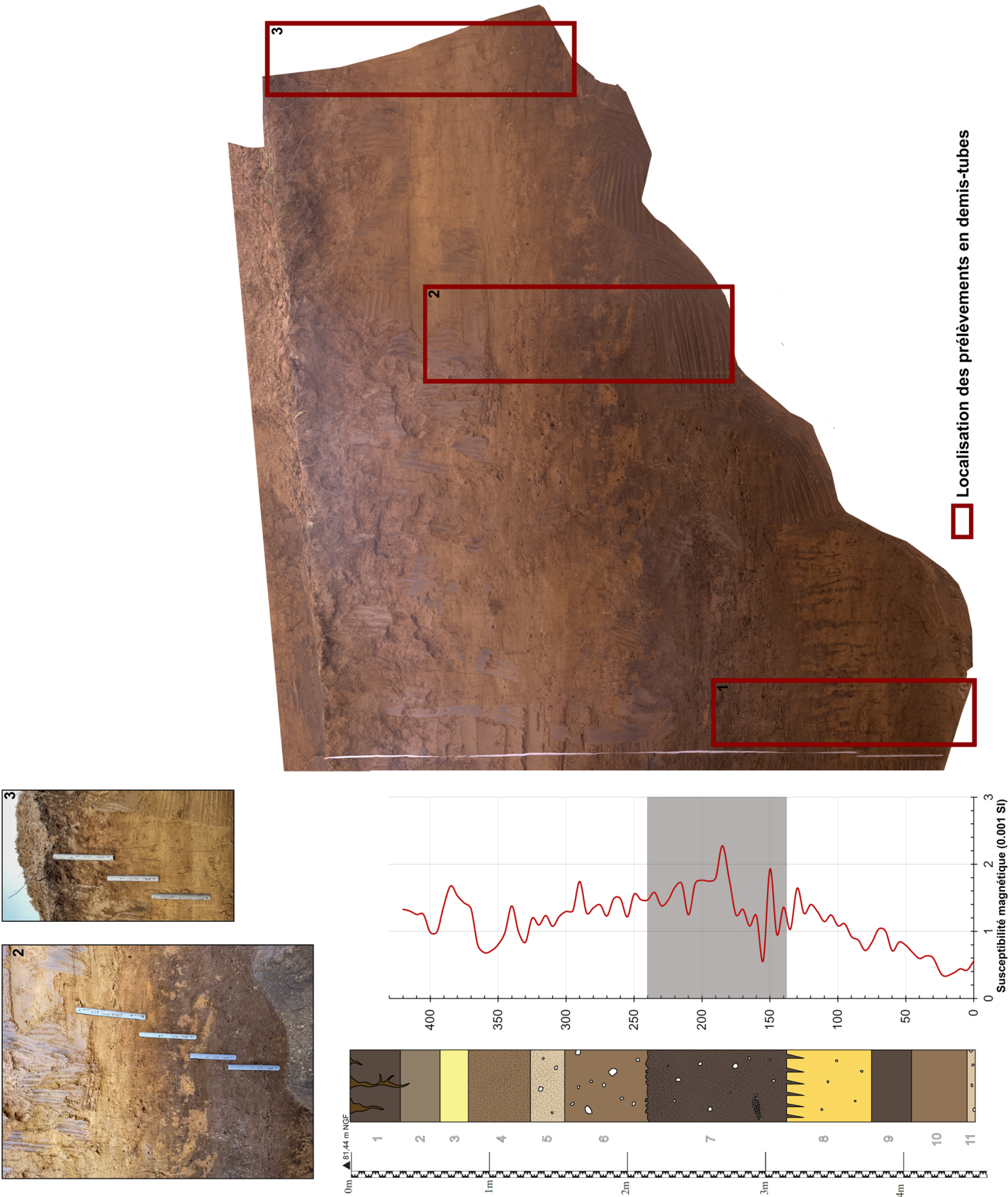


Figure 20 - Synthèse des études réalisées sur la coupe 9 : Orthophotographie corrélée au log et aux mesures de susceptibilité magnétique, localisation des emplacements des prélèvements en tube.

Le sédiment limoneux jaune à beige composant l'unité 3 ne comprend pas de clastes.

Enfin, les unités 1 et 2, respectivement brun foncé et brun correspondent aux histosol (terre végétale) actuel à subactuel avec la présence de nombreuses racines (bioturbation).

Les valeurs de susceptibilité magnétique relevées le long de la séquence semblent relativement homogènes avec des valeurs comprises dans un intervalle entre 0,4 et  $2,4 \times 10^{-3}$  SI. Il est cependant possible d'observer de légères variations de tendances des valeurs (ascendante et descendante) aux horizons des limites de l'unité 7. D'autres "pics" de valeurs plus importantes sont observés, leurs interprétations restent cependant incertaines et complexes. En effet, le signal peut se voir modifié par la présence et proximités de clastes ponctuels dans les sédiments.

#### 2.1.4.2. CORRÉLATION DES LOGS ET TRANSECTS

46

Un total de 22 logs ont été levés par les archéologues de la MADE. Les descriptions reçues ont permis de proposer trois transects provisoires (**figure 21**). La description fait correspondre pour chaque unité stratigraphique un faciès sédimentaire homogène (texture, couleur, structure, inclusions, ...) représenté par un aplat de couleur homogène.

Le premier transect concerne la partie Nord de l'emprise de fouille et se situe topographiquement plus bas que les autres. Le deuxième transect proposé se situe à l'Est de l'emprise tandis que le troisième est plutôt central.

Le premier transect met en évidence des séquences massives de colluvions loessiques qui viennent colmater le fond de la petite vallée sèche. Aucun phénomène de solifluxion n'a toutefois été repéré sur les coupes. Ces colluvions loessiques se développent sur un mélange de silex émoussés dans une matrice limoneuse sur de la craie pulvérulente.

Le deuxième transect propose une interprétation provisoire mettant en évidence un apport sédimentaire pour les deux logs les plus au nord. Cet apport sédimentaire est matérialisé par la ligne pointillée qui va dans le sens de la pente. Ainsi, d'un point de vue

archéologique et au regard des descriptions de terrains reçues, si des vestiges ont été retrouvés dans des unités du log 5, pour pouvoir espérer les retrouver à proximité du log 7, nous préconisons aux archéologues de décapier au moins 1 m.

Le troisième transect met en évidence les grandes séquences loessiques des coupes 9 et 15. Ces deux séquences ne semblent pas se corréliser simplement et mettent peut-être en évidence une variation locale.

#### 2.1.5. CONCLUSION

Les nombreux sondages profonds répartis sur l'ensemble de l'emprise de l'opération permettent une vision globale du contexte géomorphologique de la zone d'étude. Ainsi, nous avons pu réaliser d'après les relevés de logs de la MADE, des corrélations par le biais de transects sédimentaires et ainsi ébaucher une compréhension de la mise en place des diverses unités clés repérées.

Ce site présente des séquences massives de loess dont la datation semble complexe. Ceux-ci sont parfois remaniés et/ou colluvionnés, rendant difficile l'identification de la chronologie de mise en place de dépôts antérieurs.

Certaines unités s'apparentent à des paléosols, par exemple l'unité 7 décrite dans la coupe 9 et rappellent des unités identifiées dans d'autres opérations régionales. La réalisation de datations radiométriques et d'une analyse sédimentaire plus poussée semble essentielle afin de valider cette hypothèse et ces premières interprétations.

Ce site présente ainsi des intérêts archéologiques diachroniques et la poursuite des fouilles et études pourrait permettre la mise en évidence de l'utilisation des paysages et l'exploitation de leur morphologie au profit des installations humaines. Cela permettrait également de poursuivre les études géomorphologiques et géoarchéologiques pour préciser les conditions climatiques et phénomènes de versants lors des derniers épisodes glaciaires. Les séquences de loess massives ci observées demeurent rares ou difficiles d'accès en Normandie. Leur étude permet un archivage de ces séquences.



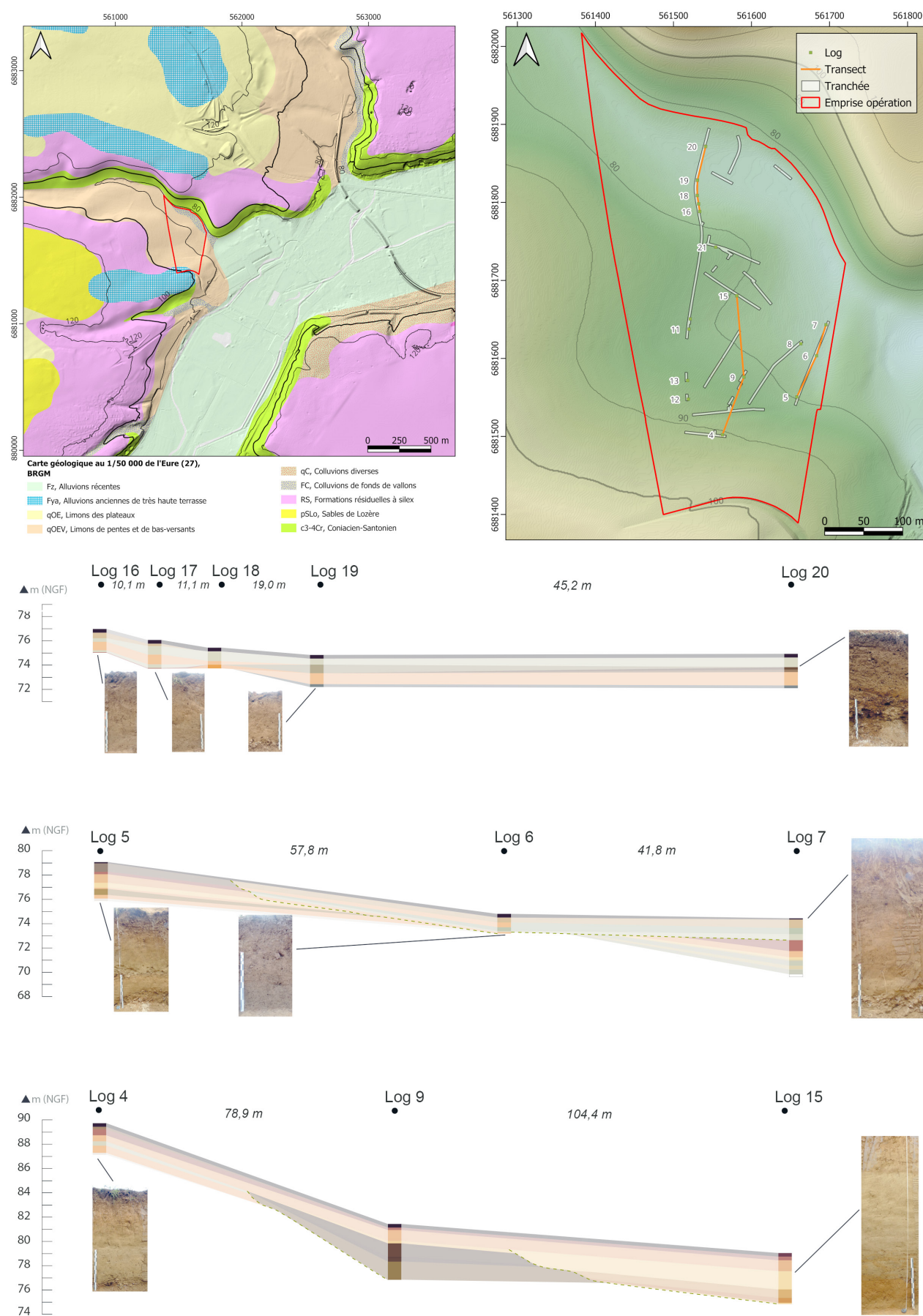


Figure 21 - TTransects réalisés à partir de la corrélation des logs levés par la MADE et localisation des transects d'après les points topographiques et relevés réalisés par la MADE. (MNT RGE ALTI 5m de l'IGN et carte géologique au 1/50000 vectorisée et harmonisée de l'Eure, BRGM)

## Références

AUBRY Bruno (2018) – Les Faulx - Rue d'Évreux (RD n°71). Rapport d'opération. Diagnostic archéologique. Inrap Grand-Ouest, 50 p.

DREAL Normandie (2011) – Atlas des paysages - Haute-Normandie, DREAL Normandie. <https://www.normandie.developpement-durable.gouv.fr/l-atlas-des-paysages-haute-normandie-r617.html>.

DREAL Normandie (2018) – Le plateau de l'Eure, DREAL Normandie. <https://www.normandie.developpement-durable.gouv.fr/le-plateau-de-l-eure-a1919.html>.

JEGO Laurence (2010) – Un « lotissement » gaulois sous le green... . Rapport final d'opération. Fouille archéologique. Cesson-Sévigné : Inrap Grand-Ouest, 277 p.

## 2.2. OBSERVATIONS ARCHÉOLOGIQUES

48

### 2.2.1. PALÉOLITHIQUE RÉCENT/FINAL

Une nappe d'objets lithiques, parfois associés à des restes fauniques très dégradés, a été reconnue sur une surface d'environ 30 m<sup>2</sup>, à l'extrémité nord de la tranchée 13 (**figures 22 à 24**). Cette nappe, constituée de 211 objets répartis en 171 points d'isolats, se trouve sous 1,30 m de sédiments colluviés, au sein d'un piège limoneux (**figure 25**). Ce piège semble correspondre à une paléo-ravine entaillant les formations alluviales anciennes, selon l'axe de la pente du versant nord (NNE/SSO). L'étendue exacte de cette paléo-ravine, et par extension celle de la nappe, n'est pas strictement reconnue à ce stade. En revanche, sa limite sud a été identifiée à l'endroit du log 20 et l'ouverture de la tranchée 16 a révélé son absence un peu plus à l'est, donnant ainsi une idée de sa possible extension. De même, le comblement limono-argileux de la ravine s'amenuise en pied de pente, à l'extrémité nord de la tranchée 13.

Ce locus a été abordé mécaniquement par passes fines, avec un pointage systématique des pièces au GPS. Certaines petites concentrations ont fait l'objet d'une fouille manuelle avant prélèvement. L'analyse spatiale montre une distribution relativement lâche, sans

concentrations significatives. Lorsqu'il y a regroupement d'éléments, ceux-ci montrent généralement un certain étalement, évoquant la possibilité de niveaux au moins légèrement flués.

Le pointage des objets en 3D a permis leur projection *a posteriori*, sur une coupe référente. Celle-ci illustre une dispersion verticale d'environ 0,40 m, où l'on peut toutefois distinguer des chapelets de pièces suivant un léger pendage nord/sud, traduisant d'éventuels remaniements par processus taphonomiques (ravinement, bioturbation) ou des phases de dépôts distinctes (**figure 26**). Ces variations sédimentaires observées lors du décapage et en coupe, ont ainsi généré un enregistrement du mobilier dans cinq couches successives (US 76 à 80).

En l'état, il reste difficile d'estimer si ces différentes couches sont révélatrices de phases d'occupation distinctes ou liées à des phénomènes de ravinements et/ou de bioturbations. Des éléments situés un peu plus en amont de la pente, mais liés à la même phase d'occupation, ont très bien pu subir des déplacements post-dépositionnels, scellant ainsi des niveaux potentiellement en place en fond de cuvette (US 79). L'homogénéité de la série prélevée n'est donc pas assurée, malgré l'apparente proximité technologique des pièces au premier abord. Le regroupement des pièces permet cependant d'établir la présence de niveaux au moins sub-en place, avec des déplacements, *a priori*, de faible ampleur.

Les pièces se répartissent comme suit au sein des différentes couches :

- US 76 : 2 pièces
- US 77 : 60 pièces
- US 78 : 48 pièces
- US 79 : 86 pièces
- US 80 : 15 pièces
- US 97 : 1 pièce dans un chablis

Les deux pièces de l'unité 76 sont remaniées dans les niveaux d'occupation supérieurs plus récents, l'une d'elle (iso 84) semble cependant pouvoir être rattachée au corpus principal. De la même manière, les éléments découverts dans l'unité 80 semblent liés à des processus de bioturbations entraînant quelques pièces de l'unité 79 plus profondément (US 80). Les unités 77, 78 et 79 sont celles qui fournissent le plus de maté-

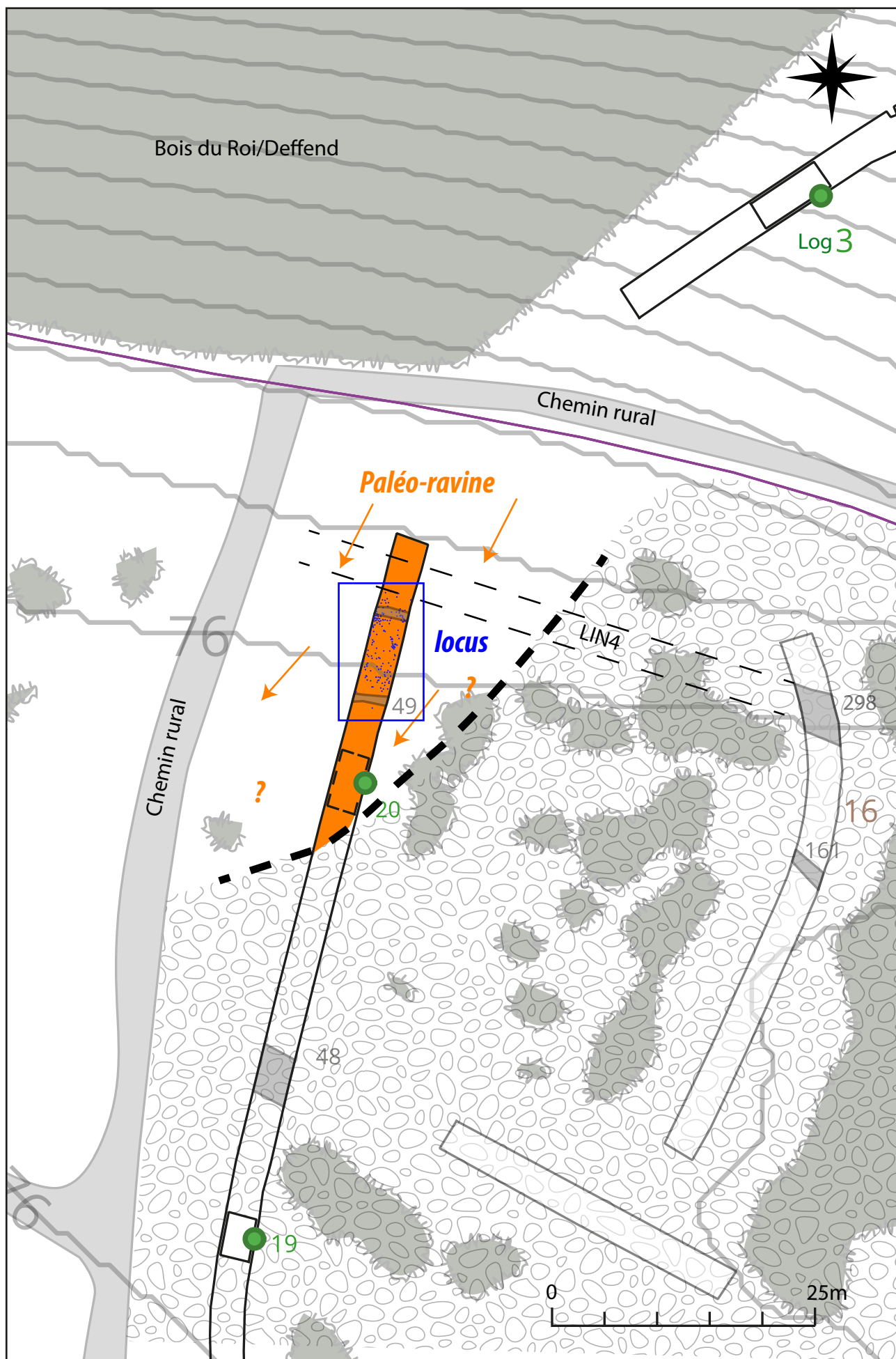


Figure 22 - Localisation du locus tardiglaciaire dans son contexte géomorphologique





*vue du sud*



*vue du nord-ouest*

Figure 23 - Localisation du locus, prises de vues su et nord-ouest

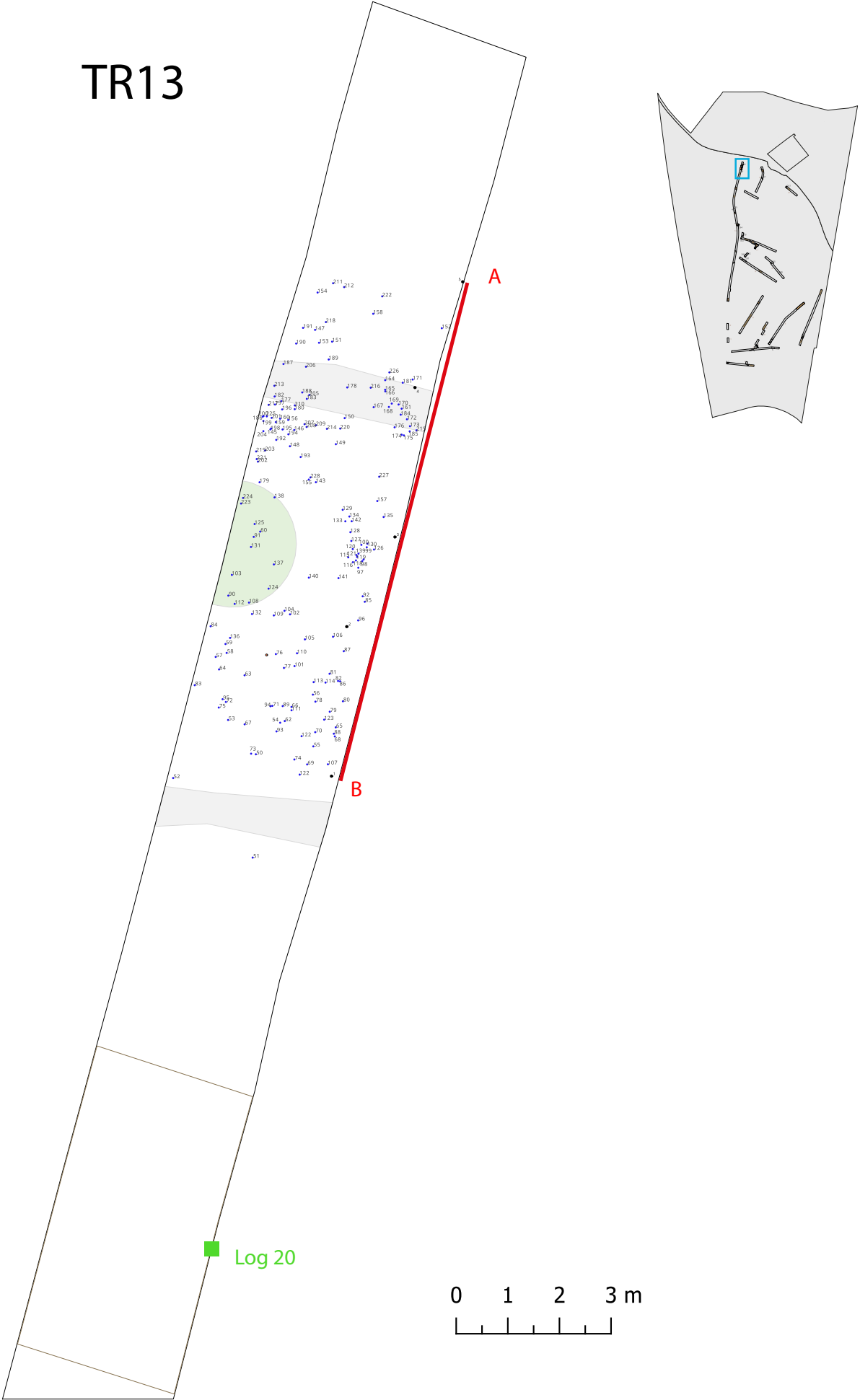


Figure 24 - Concentration lithique au 1-100e



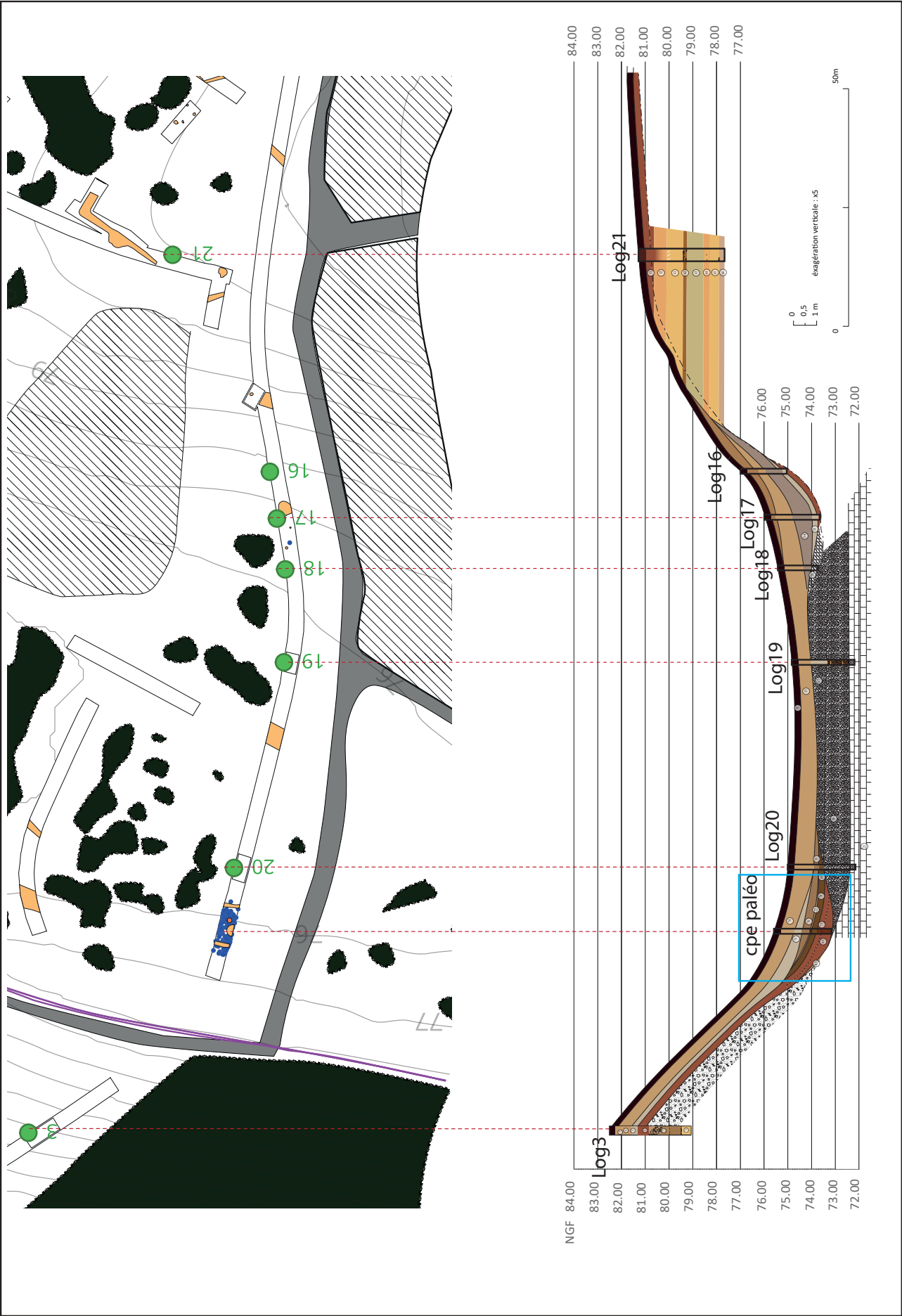
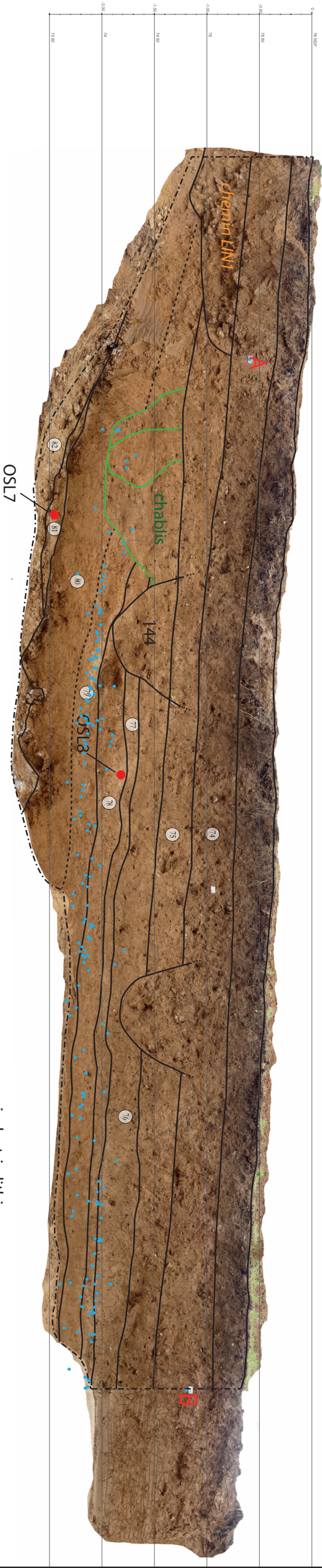


Figure 25 - Transect de la tranchée 13





- 74 : limon brun et cailloux de silex (coll. récente)
- 75 : limon brun clair avec charge plus faible en éléments grossiers, présence de nodules calcaires
- 76 : limon brun clair avec des cailloux de silex épars, quelques microcharbons, stigmates d'explorations racinaires
- 77 : limon beige hydromorphe et poches de limon argileux orangé, présence de manganèse, microcharbons et mobilier lithique (coll.)
- 78 : limon argileux orangé et poches de limon beige lessivé (bioturbation?), présence de manganèse et mobilier lithique
- 79 : limon argileux orangé compact avec quelques poches de limon beige (bioturbation?)
- 80 : limon argilo-sableux orangé plutôt meuble, présence de manganèse
- 81 : limon loessique carbonaté légèrement argileux à structure grumeleuse
- 82 : blocs de silex mêlés à du calcaire pulvérulent (toit altéré de la craie)

projection A. Leprince ; info N.Gautier

Figure 26 - Coupe référente et projection des objets



riel. La majorité des pièces de l'unité 77 se retrouve sur la moitié est de la coupe, où l'on perçoit une petite concentration relativement linéaire. Sur la moitié ouest, on note que le principal regroupement s'inscrit principalement dans l'unité 79. Si l'US 77 pourrait correspondre à un niveau de colluvions, les US 78 et 79 s'apparentent davantage à d'anciens niveaux de sol, la distinction nette de ces deux unités n'étant pas toujours claire.

L'analyse du mobilier prélevé, toutes US confondues, montre l'emploi d'une matière première semblable : un silex gris à brun gris, de qualité médiocre (nombreux défauts internes, géodes, reliquats calcitiques). Les nucléus à disposition évoquent également l'usage de blocs d'assez petit gabarit, compatibles avec les modules observés dans la pente, sous l'US 80, et qui recouvrent le toit altéré de la craie (US 82). De manière plus anecdotique, on note également l'usage d'un silex noir, fin, que l'on retrouve principalement dans l'US 77, plaçant peut-être en faveur d'industries distinctes.

La série présente quelques altérations de surface qui n'affectent cependant pas la "fraîcheur" du mobilier. Les pièces sont recouvertes d'une patine généralement bleutée, mais également parfois plus blanche et plus opaque. La surface de certaines pièces peut aussi comporter quelques concrétions calcaires, qui restent peu développées, ainsi que des points de manganèse. Les tranchants sont cependant généralement frais et secs.

On ajoutera que plusieurs pièces du corpus présentent des stigmates de chauffe, dix provenant de l'US 77 (huit éclats et deux lames), un proximal de lame pour l'US 78, deux éclats corticaux, dont un potentiel grattoir pour l'US 79 et un casson pour l'US 80.

Le décompte des pièces par US est résumé comme suit dans les **figures 27 à 31**

type	nb
casson	7
éclat	33
éclat de gel	6
lame	10
lamelle	4
	60

Figure 27 - Répartition du mobilier lithique de l'US 77

type	nb
nucléus	2
casson	3
chute de burin	2
éclat	24
éclat de gel	2
lame	11
lamelle	4
	48

Figure 28 - Répartition du mobilier lithique de l'US 78

type	nb
nucléus	4
casson	15
éclat	35
lame	22
lamelle	5
tablette	5
	86

Figure 29 - Répartition du mobilier lithique de l'US 79

type	nb
nucléus	1
casson	5
éclat	3
éclat de gel	1
lame	2
lamelle	2
tablette	1
	15

Figure 30 - Répartition du mobilier lithique de l'US 80

type	nb	%
nucléus	8	3,8
casson	30	14
chute de burin	2	1
éclat	95	45
éclat de gel	9	4,2
lame	46	22
lamelle	15	7
tablette	6	3
	211	100

Figure 31 - Répartition globale du mobilier lithique du sondage

Au total, on compte huit nucléus, deux en US 78 (iso 107 et 121 - **figures 32 et 33**), quatre en US 79 (iso 117 et 134 - **figure 32**), un en US 80 et un découvert dans les niveaux, mais au sein du comblement d'un



56

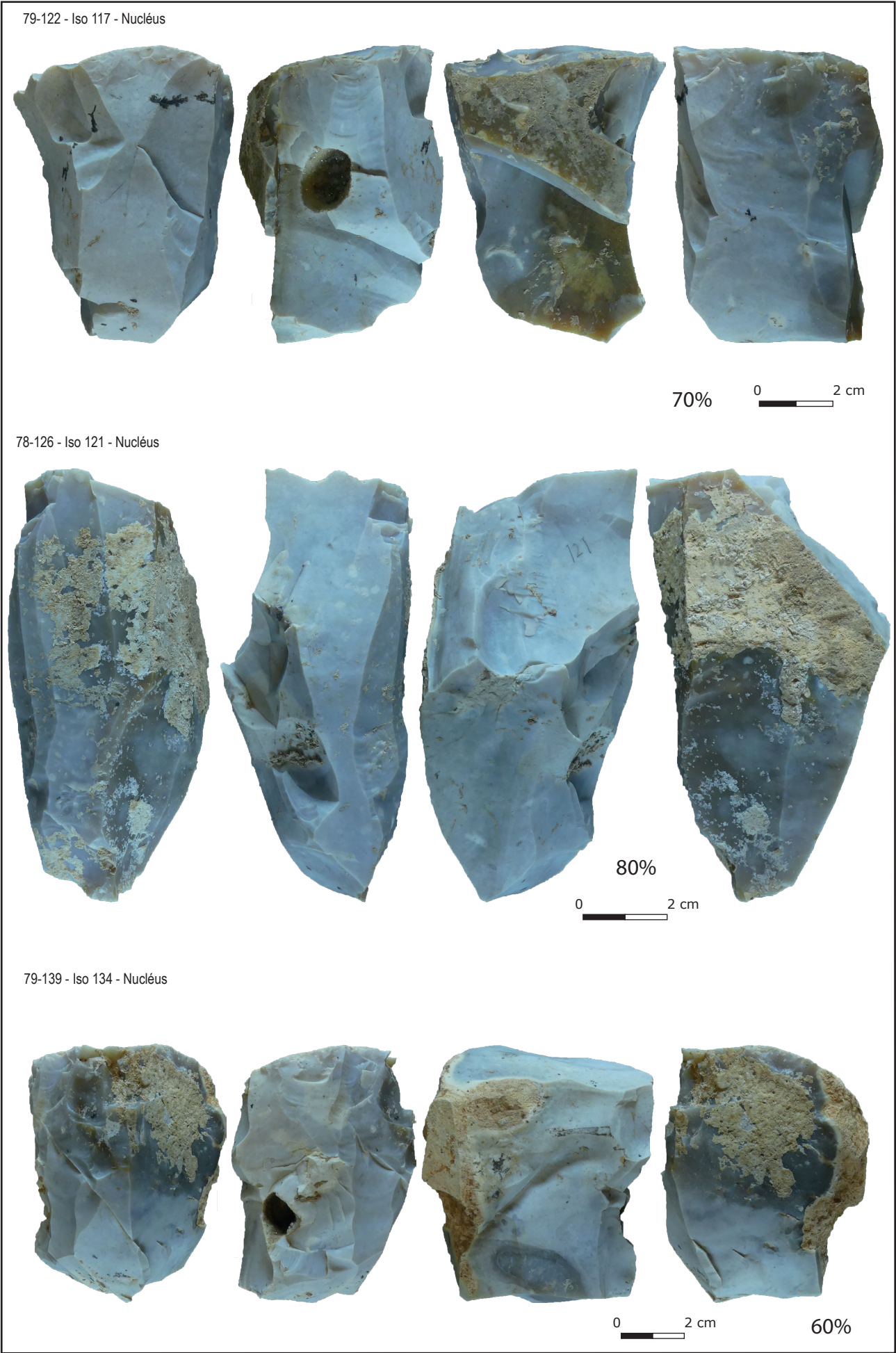


Figure 32 - Les nucléus



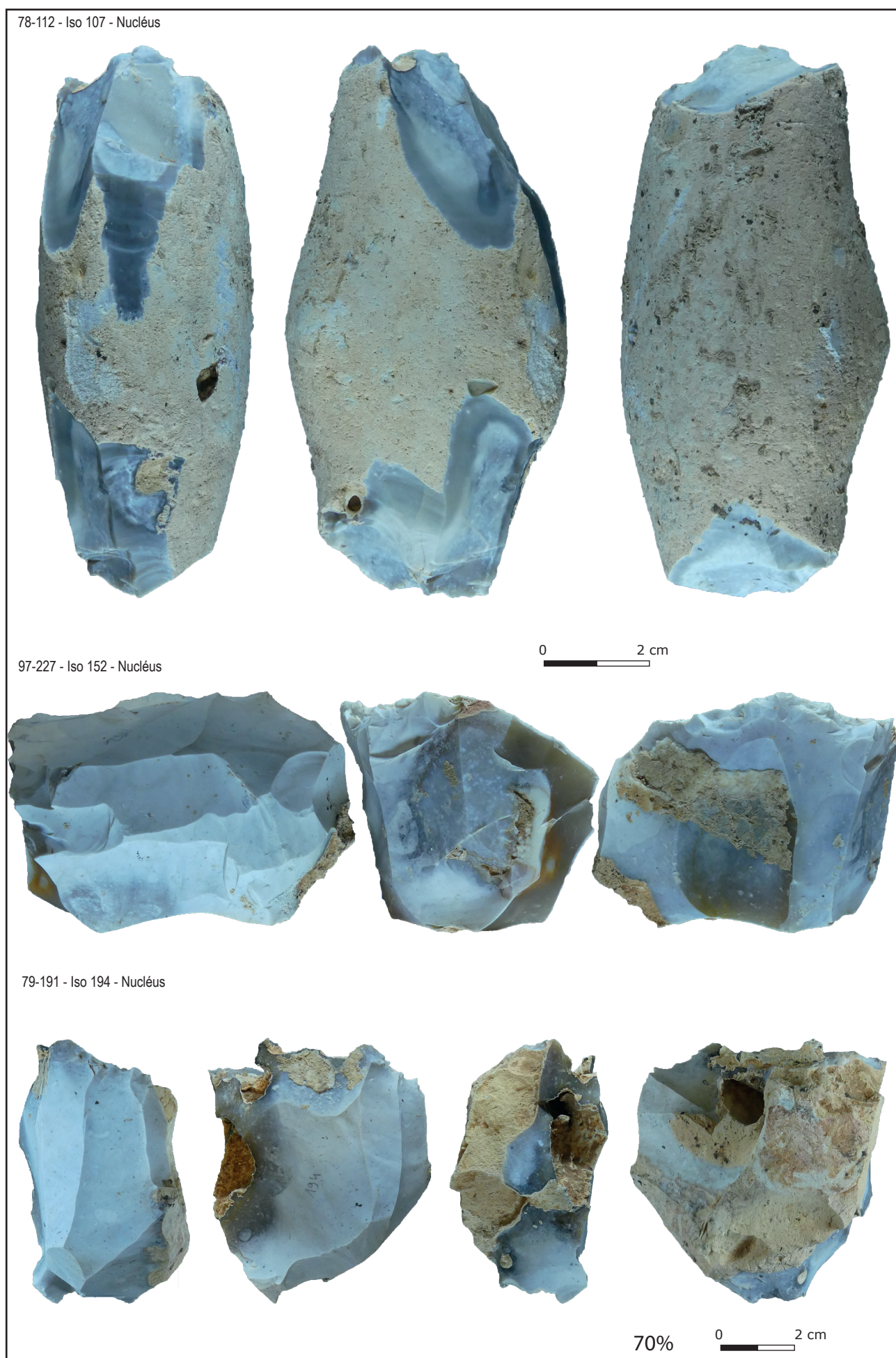


Figure 33 - Les nucléus (bis)

chablis (iso 152 - **figure 33**). La majorité présente des formes prismatiques à cylindriques, avec une gestion plutôt frontale pouvant envahir un peu les flancs et des plans de frappe lisses. Certains d’entre eux indiquent un débitage à deux plans de frappe opposés (bipolaire). Le débitage est orienté vers la production de lames, les éclats découverts, bien que majoritaires, semblant davantage associés à la préparation du bloc et son entretien. Malgré la présence d’éléments plus fins, lamelles ou petites lames au sein du corpus, on notera l’absence de nucléus dédié à cette production.

Étant donné le gabarit des blocs initiaux, ces lames sont généralement d’une longueur limitée, autour de 70 à 80 mm (**figure 34** - tableau). On note la présence de petites lames courtes et, à l’inverse, de quelques lames plus longues, dépassant les 100 mm, le plus grand gabarit avoisinant les 130 mm (iso 74 - **figure 36**). De nombreuses lames présentent un profil rectiligne à légèrement arqué (**figure 37**). Les profils plus courbes semblent généralement associés aux phases d’initiation du débitage laminaire (lames corticales). Les stigmates, identifiés par des spécialistes à l’occasion de l’école thématique du CNRS ATOL<sup>2</sup>, rendent compte de l’usage de la percussion directe organique (environ 30 %), mais également de la percussion directe à la pierre tendre. L’esquilletement du bulbe de l’isolat 99 tout comme son profil rectiligne, suggèrent en effet l’emploi d’une telle technique (**figure 37**).

L’outillage retouché est peu visible (ou lacunaire faute de reconnaissance) avec un seul burin sur éclat allongé découvert dans l’US 77 (iso 94), un autre dans l’US 78 qui compte également un éclat retouché (iso 115), ainsi qu’une lame présentant certainement

des retouches d’utilisation (iso 99 - **figure 37**). L’US 79 est celle qui fournit le plus d’éléments, avec neuf pièces retouchées, résumés sur la **figure 35**. Le corpus d’outils avérés est donc très limité, avec des pièces peu évocatrices d’un faciès en particulier. Les spécialistes ont toutefois perçu une volonté de générer des pièces à dos dans la production. L’US 79 fournit cependant une lame ou éclat allongé (au regard de sa morphologie trapue), présentant des retouches inverses relativement importantes, occupant le tiers central du tranchant et qui pourraient évoquer les pièces dites “mâchurées” (cf iso 215 - **figure 37**). Ces pièces diagnostiques font généralement partie des assemblages associés à des contextes de la fin du Paléolithique et notamment aux ensembles affiliés au Belloisien, bien qu’elles soient généralement découvertes en plus grand nombre. Ceci toutefois, ajouté à la technique de percussion (minéral tendre) et aux objectifs de débitage identifiés sur la série (production de lames au profil rectiligne), ne contredit pas l’orientation chronologique proposée, évoquant en tout cas plus généralement des contextes vraisemblablement tardiglaciaires.

À ce mobilier lithique est associé, dans l’US 79, des restes de faune très mal conservés, qui apparaissent davantage à l’état de trace dans le sédiment. Trois échantillons ont été prélevés, correspondant aux isolats 161, 173 et 174. Ils ont été découverts sur les pourtours d’un bloc de silex. Une dent de cheval a toutefois pu être identifiée parmi les restes prélevés (identification P.-A. Guesdon) [**figure 38**]. Malgré leur état de dégradation avancé, les témoins osseux sont d’une façon générale plutôt rarissimes dans les contextes paléolithiques et leur présence ici est donc notable.

58

US	L min	L max	L moy	l min	l max	l moy	é min	é max	é moy
77	45	128	80	16	30	24	5	11	8
78	26	108	70	19	35	27	6	14	9
79	38	112	79	19	39	28	6	17	9

Figure 34 - Gabarit des lames découvertes (en mm)

support	retouché	grattoir ?	burin/pointe	utilisation ?	coche ?	mâchurée
éclat allongé	1					
éclat cortical		2	1			
lame	1			2	1	1

Figure 35 - Outillage de l’US 79

2 Nous remercions chaleureusement Daniele Aureli et Roxane Rocca pour leur invitation et tous les spécialistes présents pour leurs observations.



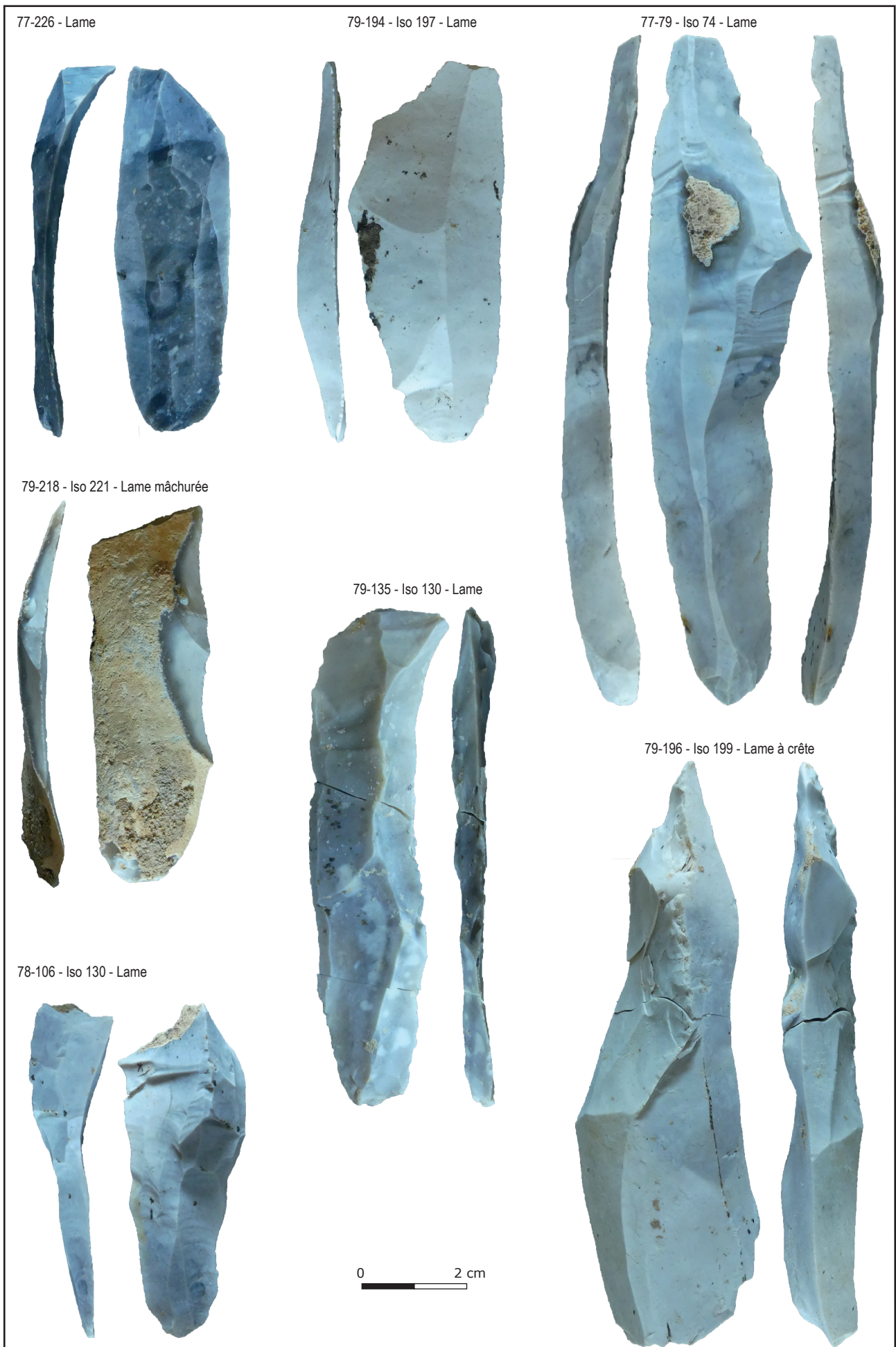


Figure 36 - Les lames

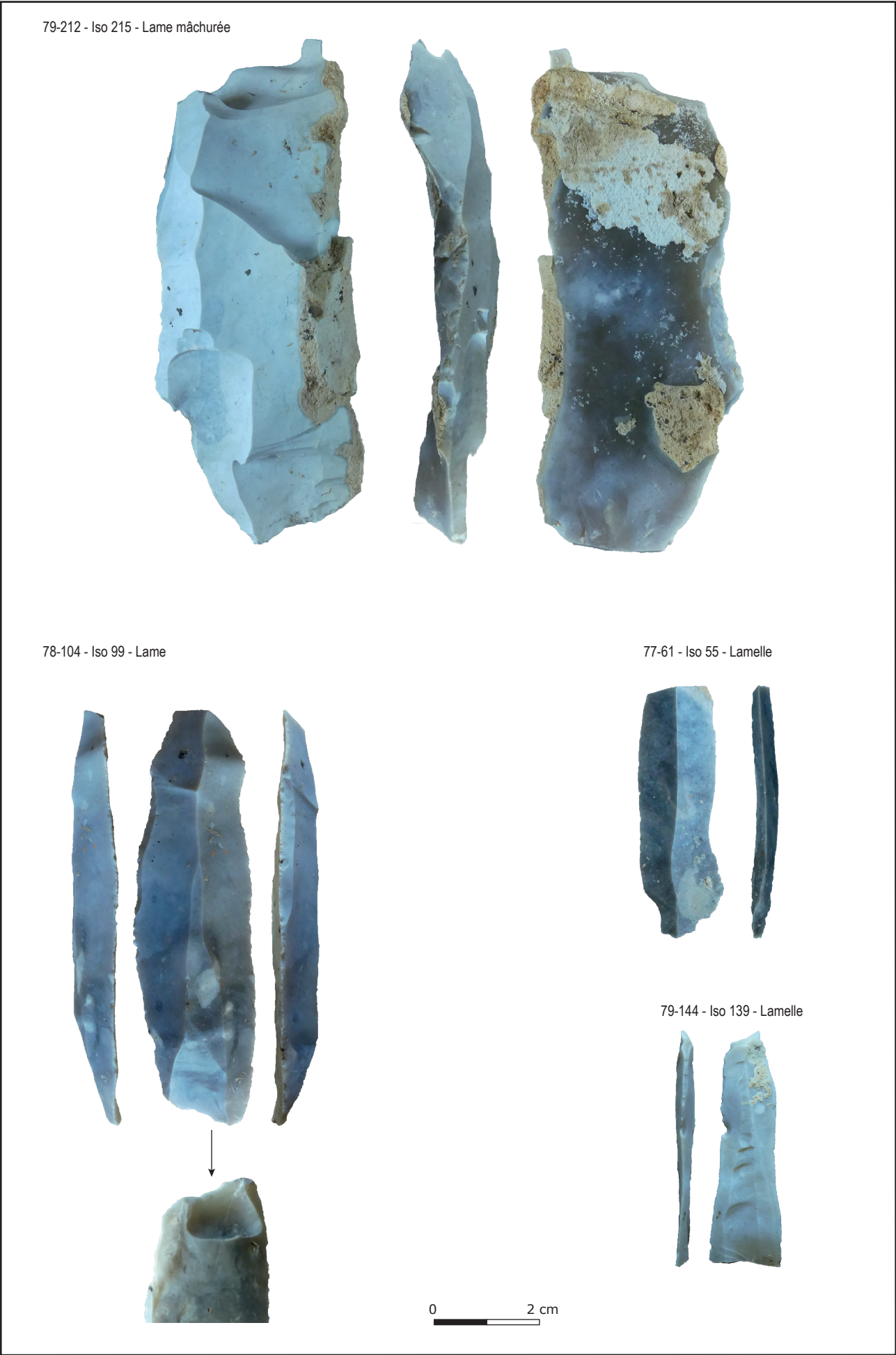


Figure 37 - Les lames et lamelles



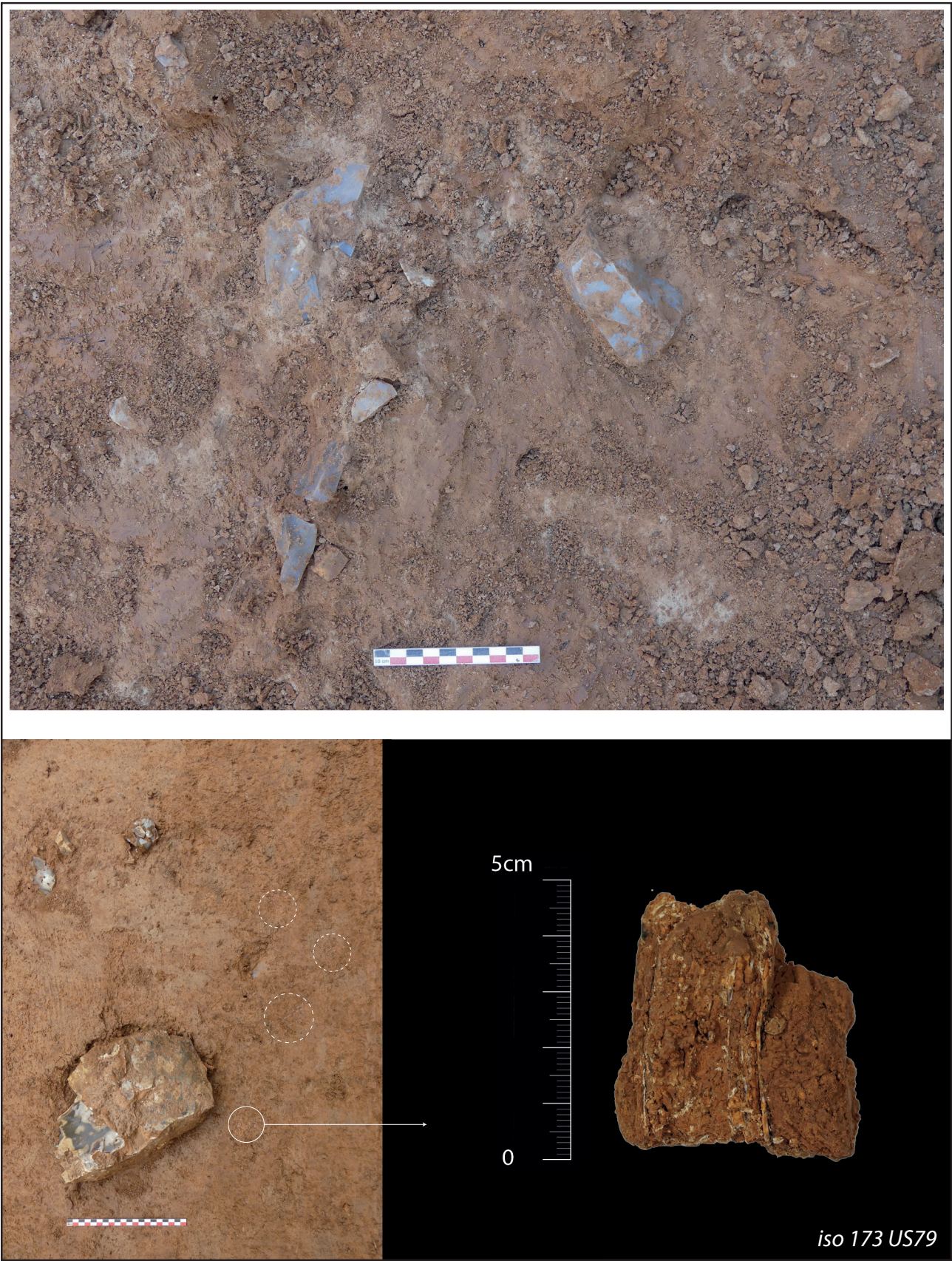


Figure 38 - Mobilier en place



Malgré la dispersion du matériel, une certaine homogénéité se dégage de la série permettant de supposer une relative concordance chronologique à cet ensemble, peut-être non stricte mais appartenant globalement à la fin du Paléolithique. À l'exception de la pièce mâchurée, l'outillage est peu représentatif et ce sont bien les modalités de débitage tout comme ses objectifs qui orientent vers des faciès tardiglaciaires et peut-être plus particulièrement vers une industrie à affinités belloisiennes. L'usage d'un percuteur tendre minéral est également assez évocateur de ces périodes, car il permet d'obtenir de grandes lames rectilignes. Ces éléments restent toutefois limités et permettent juste de proposer quelques orientations. En plus des témoins osseux potentiellement datables, plusieurs prélèvements OSL ont été effectués sur la coupe du sondage. Ils pourront permettre de confirmer ou non ces propositions de datation dans le cas d'une poursuite de l'étude du site.

2.2.2. MOBILIER ERRATIQUE NÉOLITHIQUE/  
PROTOHISTORIQUE ?

62

Ce mobilier a principalement été découvert dans les tranchées 5 et 13, sur le versant, à des endroits d'accélération du dénivelé présentant de forts apports colluviaux. Dans la tranchée 5, le mobilier provient du tiers central du sondage, pour la tranchée 13, il a été découvert dans l'accélération située après le replat à mi-versant.

La tranchée 5 compte 76 pièces, auxquelles on peut ajouter 12 pièces découvertes à proximité, dans la tranchée 6 (figure 39). Le mobilier, généralement prélevé dans les niveaux de colluvions (US 24), a été remanié, à l'exception de la petite concentration identifiée au centre de la tranchée (isolats 16 à 29 - figure 40). Les isolats n°16 à 29 ont été prélevés en place dans l'US 25 et correspondent aux éléments de décortilage gélifractés d'un bloc nucléus parmi lesquels on observe quelques remontages (iso 18, 20, 24 ; 19 et 23).

type	nb
nucléus	12
molette	1
percuteur	4
casson	21
éclat	41
éclat de gel	7
lame	2
Total	88
outils	9

Figure 39 - Mobilier lithique de la tranchée 5

Sur l'ensemble des pièces prélevées sur ce secteur, on compte un nombre relativement important de gros éléments, nucléus (12) et percuteurs (4). Les nucléus sont principalement à éclats (10), dont un exemplaire pourrait avoir servi au débitage laminaire et un deuxième comporte des traces d'enlèvements avant d'être utilisé comme percuteur. Ces blocs-nucléus sont généralement gélifractés et donc peu lisibles ; la gestion semble toutefois semi-tournante à partir d'un plan de frappe (un à gestion multifaciale).



Figure 40 - Détail isolats 16 à 23, tranchée 5

Les éclats (41) et cassons (21) restent toutefois majoritaires, mais on dénombre assez peu d'outils sur ces supports. Outre les quatre blocs-percuteurs, seuls trois grattoirs ont effectivement été prélevés. À cela s'ajoute la découverte d'une molette en grès présentant une face abrasée en lien avec son usage, ainsi que deux fragments de lames au profil rectiligne. Quelques éclats (9), dont un grattoir, présentent des altérations thermiques.

Ces éléments sont souvent peu représentatifs pour évaluer la datation des occupations afférentes. On notera cependant l'emploi d'une matière première assez homogène, vraisemblablement locale et de qualité médiocre (nombreuses imperfections internes). La taille semble également assez opportuniste.

À cela s'ajoute la découverte de plusieurs tessons associés au prélèvement du mobilier lithique. Leur faible quantité (sept : quatre dans l'iso 13, deux en iso 14 et un en iso 15), ainsi que leur fragmentation, ne permettent pas d'identification stricte autre qu'un spectre chronologique large allant du Néolithique à la Protohistoire. Leur aspect roulé traduit également leur déplacement au sein des colluvions.



Ce mobilier, bien que pour partie remanié dans les colluvions, est cependant révélateur d'une occupation *in situ* ou à proximité immédiate, au regard du nombre de pièces prélevées et de la présence, certes ténue, de tessons céramiques et d'une molette en grès qui caractérisent une vocation plus domestique. Reste que les structurations potentiellement associées à ce matériel n'ont pas été perçues dans la zone de prélèvement ou en périphérie.

Pour la petite concentration de la tranchée 13, 32 pièces ont été prélevées au niveau des isolats 37, 43, 46 et 47. Là encore, le mobilier est découvert dans les niveaux de colluvions (US 44 et 55). Les nucléus sont généralement fragmentaires et donc peu diserts. L'un d'entre eux montre une gestion semi-tournante, un autre une gestion bipolaire. Les éclats sont cette fois le

soutien d'une certaine variété d'outillage : coche/perçoir, éclat retouché, grattoir/denticulé, grattoir simple. Le nombre d'outils par rapport au volume du corpus est d'ailleurs relativement important, bien que les retouches restent souvent assez discrètes. Là encore les éléments à disposition restent peu spécifiques.

Quelques tessons ont également été prélevés dans ces niveaux (quatre en US 44 et un en US 55), dont un potentiel fragment de vase de stockage (US 55), qui ne permettent pas de fournir de précision de datation autre que la Protohistoire *lato sensu*.

Ces niveaux de colluvions surmontent en tout cas un chablis brûlé contenant du matériel lithique, ainsi que deux probables trous de poteaux, ST 44 et 45. Ce dernier, testé (**figure 41**), a fourni un éclat ainsi qu'un fragment de lame à crête présentant des retouches

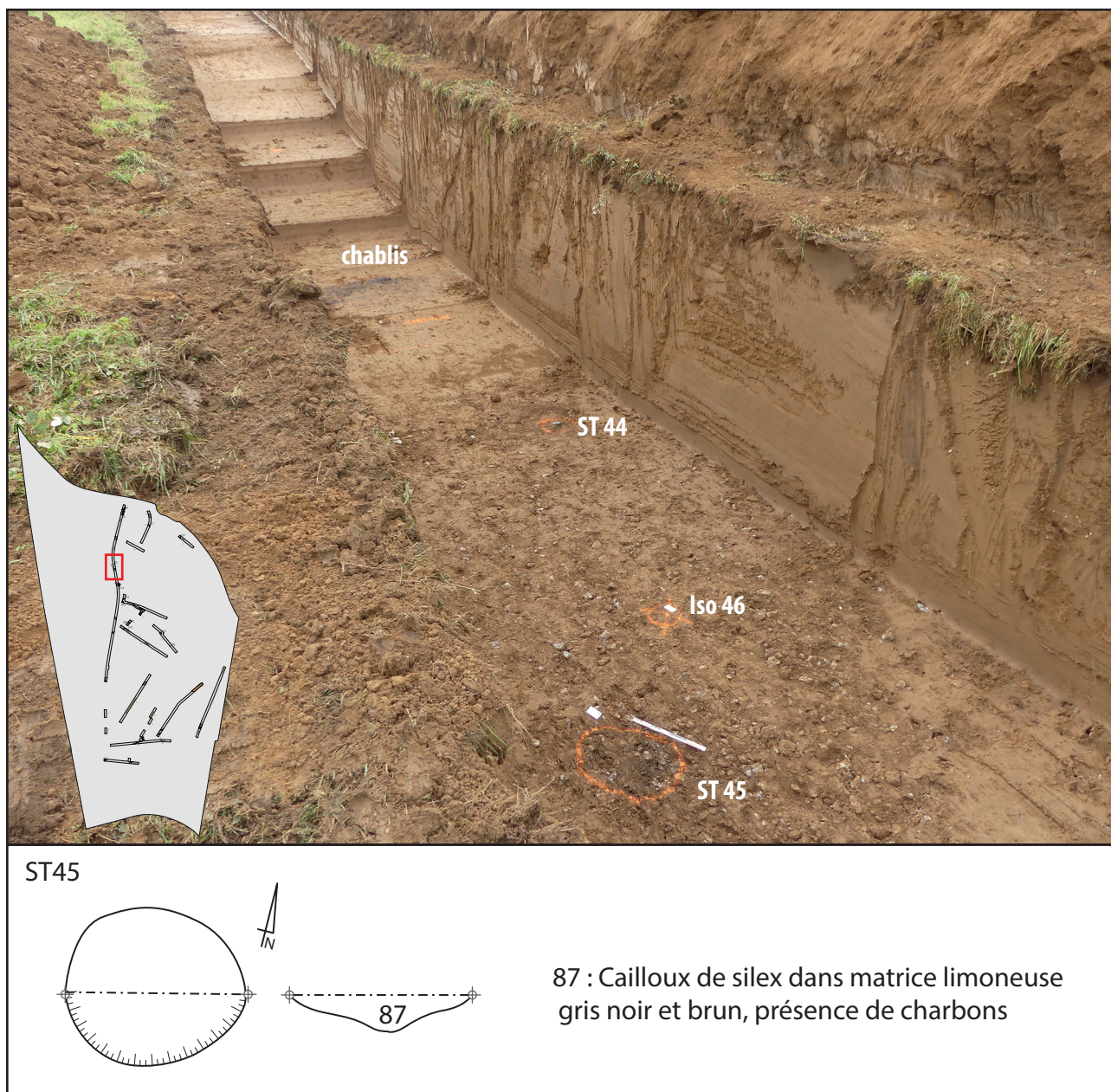


Figure 41 - Vue du NNE de la tranchée 13



inverses sur l'un de ses tranchants. Ces éléments associés au mobilier découvert pourraient caractériser une petite zone d'occupation qui reste cependant mal datée, peut-être en lien avec l'enclos immédiatement en amont, sur le replat ou pourraient traduire une occupation plus ancienne au cours du Néolithique.

### 2.2.3. L'ENCLOS GAULOIS (II<sup>e</sup> SIÈCLE AV. J.-C.)

À mi-pente du versant sud, sur une zone de replat correspondant à un dôme de lœss, a été découvert une partie d'un enclos quadrangulaire comportant des aménagements internes (**figure 44**).

#### 2.2.3.1. LES FOSSÉS DE L'ENCLOS

Il est constitué, à ce stade des découvertes, de trois fossés, dont deux sont espacés de 35 m, délimitant un espace interne provisoirement estimé à 1300 m<sup>2</sup>. *A priori* incomplet, il est possible que l'enclos se prolonge à l'ouest du chemin rural ou qu'il masque un retour d'angle débouchant sur une entrée au NO, ce qui expliquerait l'absence de retour visible dans cette région. Mais, si l'on considère l'emprise globale des parcelles prescrites - le large tiers ouest de la prescription n'étant pas traitée (hors emprise de la déviation et parcelles boisées) - l'enclos est certainement complet.

Sa façade sud-ouest est constituée des tronçons 40 (tr. 14) et 41 (tr. 13), orientés NO/SE. Le fossé 40 est incomplet mais semble correspondre à l'angle SE de l'enclos, amorçant la façade est de l'établissement (**figure 42**).



Figure 42 - Le fossé ST40 vu du SE

Le segment 41 permet, lui, d'observer sa largeur complète de 1,5 m (**figure 43**). Le comblement de surface

a livré de très nombreux fragments de céramiques (3,5 kg), principalement répartis au centre du comblement, permettant d'évoquer un colmatage au début de La Tène D (**figure 45**). À la céramique s'ajoutent quelques scories (611 g) et du minerai de fer, suggérant la pratique d'activités sidérurgiques sur le site, allant probablement de la transformation du minerai au forgeage.



Figure 43 - Le fossé ST41 vu du SE

La façade sud-est est matérialisée par les tronçons 40 (tr. 14) et 162 (tr. 17) orientés NE/SO (cf **figure 44**). La coupe du fossé 162, large de 2 m, a révélé un profil de creusement en "V", entaillant les limons lœssiques sur 1,5 m de profondeur depuis le sol actuel (**figure 48**). Il comporte au moins trois phases de comblements limoneux successifs, la dernière ayant livré près d'1 kg de tessons de céramique (US 92). À cela s'ajoutent quelques restes de faune mal conservés, essentiellement de la dent de grand ruminant sans plus de précision (60 g) et un fragment de peson en terre cuite.

Le suivi du tracé de ce fossé 162 qui matérialise également la façade NE de l'enclos, montre des proportions irrégulières passant de 0,8 m de largeur à 2 m avec une lisibilité croissante à mesure qu'il s'élargit.



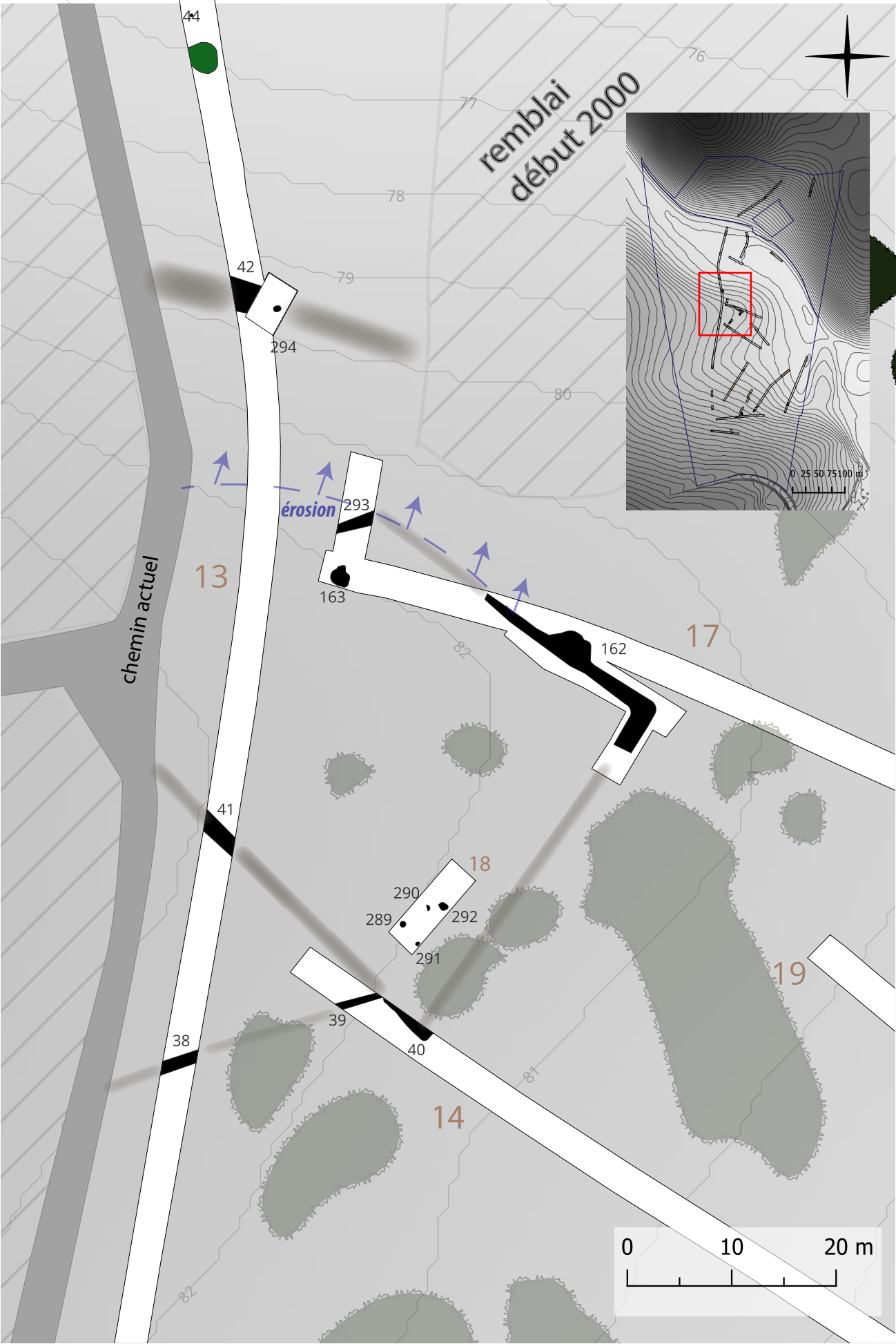


Figure 44 - L'enclos laténien au 1-500e

Cela pourrait s'expliquer par l'oblitération progressive de la structure suite à des épisodes érosifs importants à l'amorce du versant septentrional (**figure 46**).

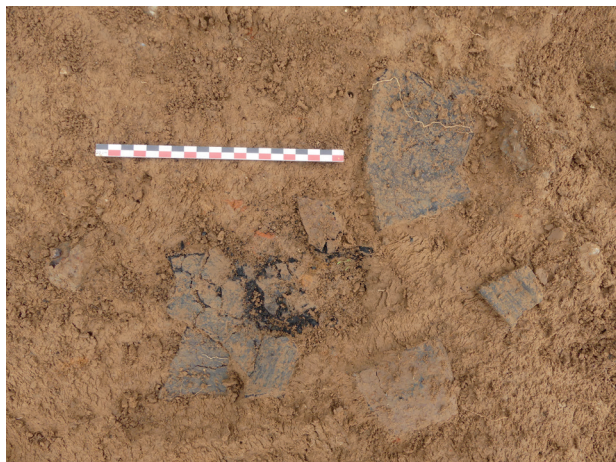


Figure 45 - Le mobilier céramique en place dans le fossé ST41

La continuité du fossé 162 vers le nord-ouest n'a pas été perçue et aucun segment découvert ne semble correspondre à son axe. Cependant, le tracé fugace n°293 repéré lors d'un agrandissement pourrait bien matérialiser un éventuel retour (**figure 47**). Il ne resterait alors que l'empreinte du fossé, dans le cas où ce dernier aurait totalement disparu dans la pente, par processus érosif. À moins que ce tracé fugace ne corresponde au

pointement d'une couche géologique sous-jacente, apparue à la faveur de la troncature existante à l'amorce du versant, mais l'observation du transect de la tranchée 13 ne semble pas aller dans ce sens (*cf.* **figure 25 transect de la tr 13**).



Figure 46 - Le fossé 162 vu du NE



Figure 47 - Le tracé fugace n°293 vu du NO

### 2.2.3.2. DES INDICES D'ACTIVITÉS MÉTALLURGIQUES

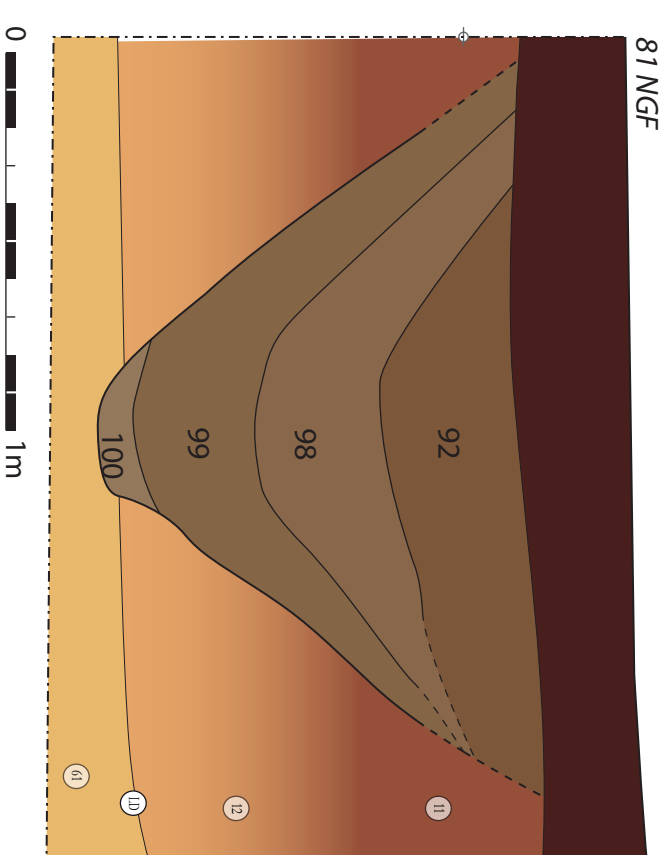
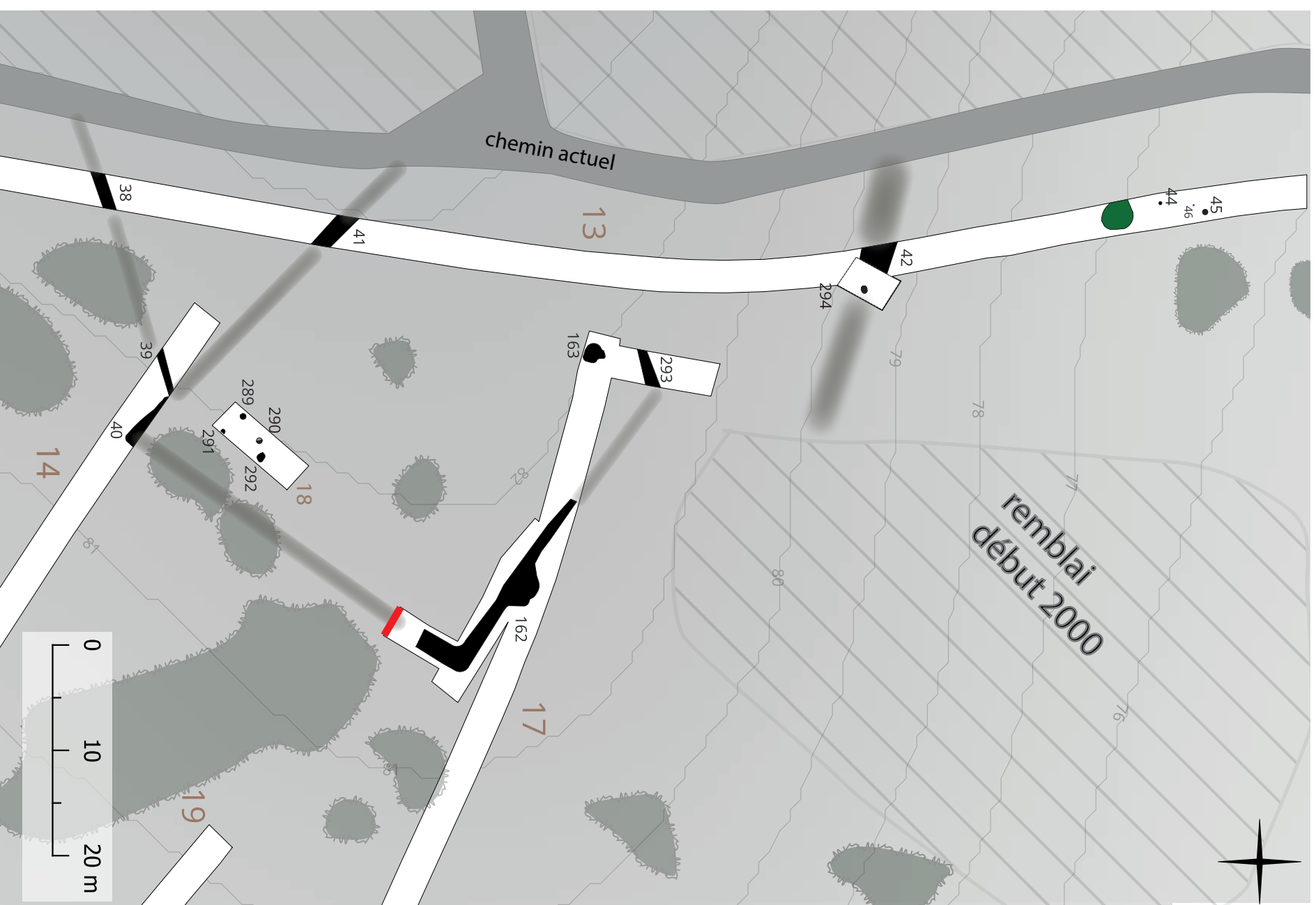
Quelques déchets suggèrent la pratique d'activités sidérurgiques sur le site, allant probablement de la transformation du minerai au forgeage. Parmi les déchets observés se trouvent un fragment de minerai magnétique brun-rouille, des fragments de brèche ferrugineuse non magnétiques (silex cimentés par des oxydes de fer) (**figure 49**) et d'autres fragments de type silcrète à cérithes pouvant comporter des plages ferrugineuses (**figure 50**) tels qu'observées à l'occasion d'opérations préventives dans le secteur du plateau de Madrie par exemple. Des silcrètes ferrugineux thermofractés ont en effet été retrouvés associés à des tessons de céramiques protohistoriques dans une fosse à Heudebouville (**figure 51**). Ils ont été interprétés comme des dé-



ST162



67



92 : limon pluriot argileux brun, silex au centre du comblement, nodules de terres brûlées épars, charbons et mobilier céramique

98 : limon plutôt argileux brun, présence de manganèse en fond d'unité  
99 : limon argileux orangé avec des traits d'hydromorphie blanchâtre,

présence de poches de sédiment argileux jaune en sommet de couche, de points de manganèse 100 : loess jaune à beige remanié avec des passées argileuses brun/orangé

Figure 48 - Le fossé d'enclos ST162







Figure 49 - Minerai de fer dans le fossé ST41

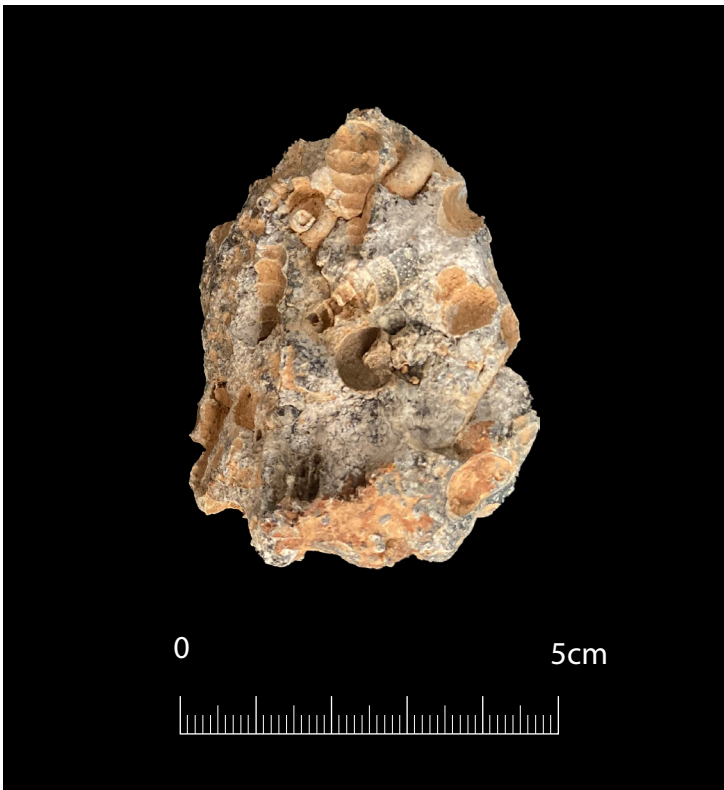


Figure 50 - Silicrète dans le fossé ST41



Figure 51 - silicrète thermofractée à Heudebouville (extrait de Gautier 2022)



chets liés à des activités de grillage (Gautier 2022). Dans cette même commune, mais en contexte alto-médiéval cette fois-ci, des silcrètes ferrugineuses ont été retrouvées sur le site d'extraction de minerai de fer au cœur du bourg, dans les rejets de structures de chauffe ayant justement servi au grillage (Gautier 2023) [figure 52]. Ce matériau répond en partie à la description du Lutétien supérieur qui est fréquemment silicifié d'après la notice de la carte géologique, apparaissant "sous forme de blocs épars dans les champs, ou éboulés au sommet des sables cuisiers (carrière d'Authenil en particulier). Le Lutétien supérieur semble déborder les assises du Lutétien moyen vers l'ouest

: on retrouve en effet dans les champs des blocs plus ou moins abondants silicifiés, avec des empreintes de *Cerithidae* près de Renilly. Toutefois, près de cette localité, le Lutétien supérieur à *Cerithes* n'a jamais été observé en place". Mais il n'est pas fait mention d'encroûtements ferrugineux, dont les origines sont peut-être pédogénétiques et karstiques, à l'instar des formations ferrugineuses du pays d'Ouche ou de la plaine de Saint-André, bien étudiées dans la thèse de J.-P. Fizaine notamment, et pour lesquelles l'auteur conclut que "la mise en place des indurations ferrugineuses s'est faite sous la double influence de la pédogenèse de surface et de la karstification de la craie en profondeur, par suite des effets conjugués du rejeu d'accidents tectoniques et d'un climat chaud et humide, au Tertiaire mais aussi au Quaternaire ancien" (Fizaine 2012 p. 390).

### 2.2.3.3. LE MOBILIER CÉRAMIQUE DES FOSSÉS (D. THÉOLAS)

La céramique du fossé 162 représente 49 tessons (1 kg) et quatre individus (figure 53). L'essentiel des fragments est en pâte grossière ou semi-grossière et ne peut être associé à aucun élément de forme. Les quatre éléments de forme sont relativement mal conservés, limitant leur identification et par conséquent les possibilités de comparaison. Deux correspondent à des formes ouvertes

71



Figure 52 - Silcrète thermofractée à Heudebouville (extrait de Gautier 2023)

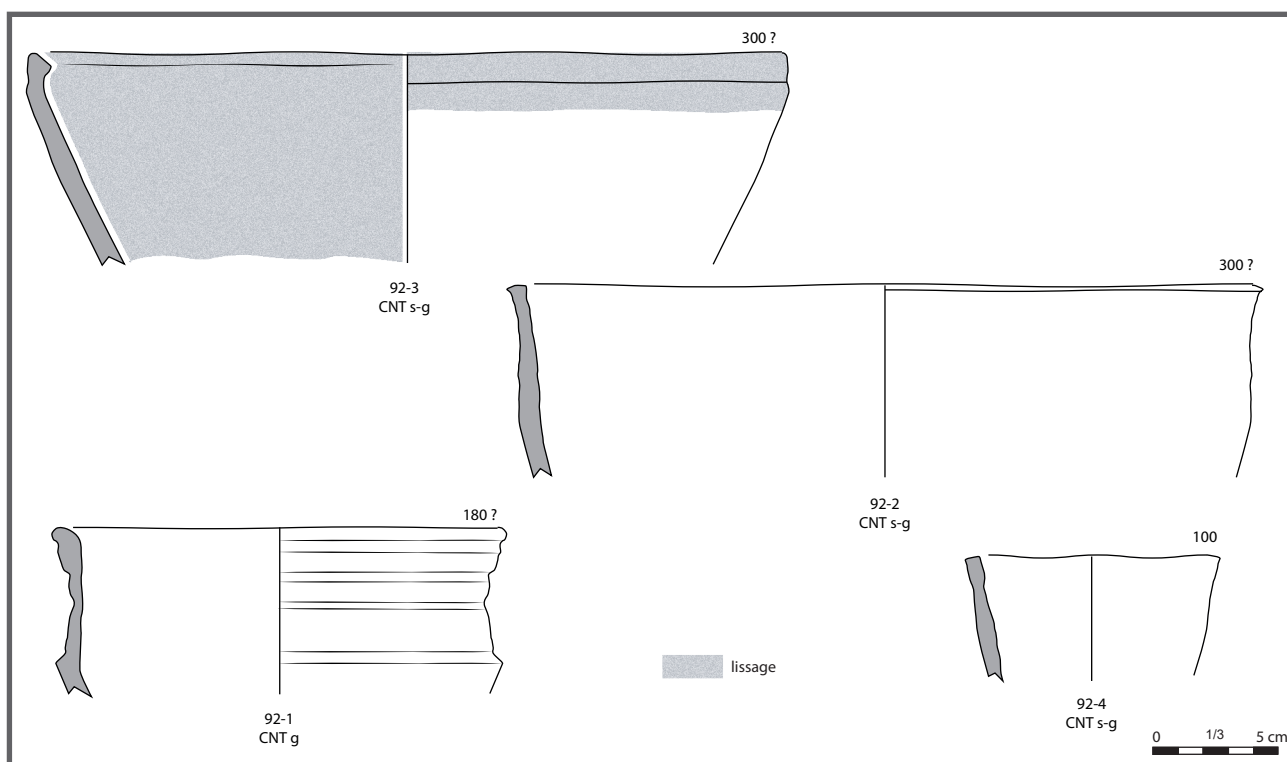


Figure 53 - Céramique du fossé 162

évasées de type jatte. La première est une forme à bord légèrement rentrant évoquant certaines formes de la fin du Hallstatt et du début de La Tène [92-3]<sup>3</sup>. La seconde, à bord non démarqué, et de facture plutôt grossière, ne présente pas de caractéristique assez spécifique pour en proposer une datation précise [92-2]. Il en est de même pour une forme de petit diamètre, peut-être un gobelet, dotée d'un bord simple légèrement évasé et aplani [92-4]. Un dernier vase évoque une forme haute, peut-être un vase situliforme, à col droit et carène saillante [92-1]. La lèvre forme un petit bourrelet souligné de cannelures. Si la forme ne trouve pas de parallèle exact, le type de décor n'est pas sans rappeler certains vases de La Tène D<sup>4</sup>.

Le nombre restreint d'éléments de forme et leur caractère peu discriminant permettent difficilement de proposer une datation précise de ce lot. La présence du vase à col cannelé semble néanmoins suggérer une chronologie axée sur La Tène finale, ce qui paraîtrait cohérent avec les données issues du second lot.

La céramique du fossé 41 représente 225 tessons (3,4 kg) et 13 individus (**figure 54**). Les céramiques à pâte grossière ou semi-grossière sont très nettement prédominantes, assorties de quelques productions plus fines, non tournées et tournées. Parmi les éléments potentiellement les plus anciens, on signalera deux fragments de grand récipient à bord oblique très évasé, dont un orné d'un décor à l'ongle sur le dessus [86-2 et 5]. Ce type de vase semble en effet apparaître dès la fin du premier Âge du Fer et perdurer au moins jusqu'à La Tène B<sup>5</sup>. Une jatte à bord rentrant pourrait éventuellement relever de cette même période de transition entre la fin du Hallstatt et le début de La Tène [86-6]<sup>6</sup>. Les autres éléments du corpus semblent s'inscrire plus exclusivement dans le second Âge du Fer. Les formes ouvertes évasées, de type jatte, sont les plus nombreuses et montrent des profils variés : bord droit et carène arrondie [86-1], bord éversé et carène saillante [86-4]. Les formes fermées peuvent correspondre à des pots ou des gobelets, à panse tronconique, bord non démarqué ou éversé et souligné d'une

carène. Si les vases à profil sinueux [86-3] circulent durant une large partie du second Âge du Fer, les formes à panse légèrement rentrante et petit bord arrondi [86-8] semblent plus caractéristiques de La Tène C et D. Deux vases en céramique tournée fine confortent cette ouverture chronologique vers La Tène finale. Le premier est une jatte à profil en S dont le col et la carène sont rehaussés de moulures [86-9]. Le second est une forme haute tronconique dont la panse est ornée de plusieurs fines moulures horizontales [86-10]. La surface externe, bien qu'assez mal conservée, présente des traces d'enduit noirâtre (engobe, poissage ?). Ce vase évoque notamment un exemplaire découvert à Louviers et daté de La Tène C2/D1<sup>7</sup>.

Une certaine impression d'hétérogénéité se dégage de ce petit lot, avec, outre des formes très ubiquistes, des formes potentiellement plus anciennes que d'autres. L'essentiel du lot semble néanmoins s'inscrire dans le second Âge du Fer, et peut-être plus particulièrement au cours de La Tène C ou D. Néanmoins, l'absence de certaines productions, et notamment d'amphore<sup>8</sup>, pourrait suggérer une chronologie antérieure à la fin de la période gauloise, et peut-être donc plutôt axée sur le IIe siècle avant notre ère.

#### 2.2.3.4. LES AMÉNAGEMENTS INTERNES

##### La fosse 163

Située à l'ouest de la tranchée 17, cette fosse aux contours diffus est apparue directement sous les labours. Large d'environ 1,9 x 1,8 m, elle présente dans sa moitié ouest une concentration de rognons de silex aux bords émoussés. Sans organisation apparente, ces rognons sont vraisemblablement en position détritique (**figure 55**). La partie est du comblement est quant à elle marquée par une forte présence d'éléments de terre cuite rubéfiée. Quelques tessons de céramique protohistorique, sans plus de précision, ont été découverts dans cette partie. La fonction de la fosse reste difficile à définir en l'état sans une fouille exhaustive. Il pourrait s'agir d'une structure de chauffe démantelée, mais les rognons ne comportent aucune trace de thermofraction, de rubéfaction ou d'encroûtements li-

3 (Moreau 2011 vol. 2, pl. 3, p. 396)

4 (Lukas 2013 pl. 104, n°1236) (Jégo 2010 fig. 109, n°5)

5 (Beurion 2012 vol. 1, fig. 95 et 98, p. 240/24) (Adrian 2015 vol. 1, fig. 67)

6 (Moreau 2011 vol. 2, pl. 3, p. 396)

7 (Le Saint Allain 2014 fig. 11, vase n°11).

8 Aucun fragment n'a été répertorié sur l'ensemble de la surface diagnostiquée.

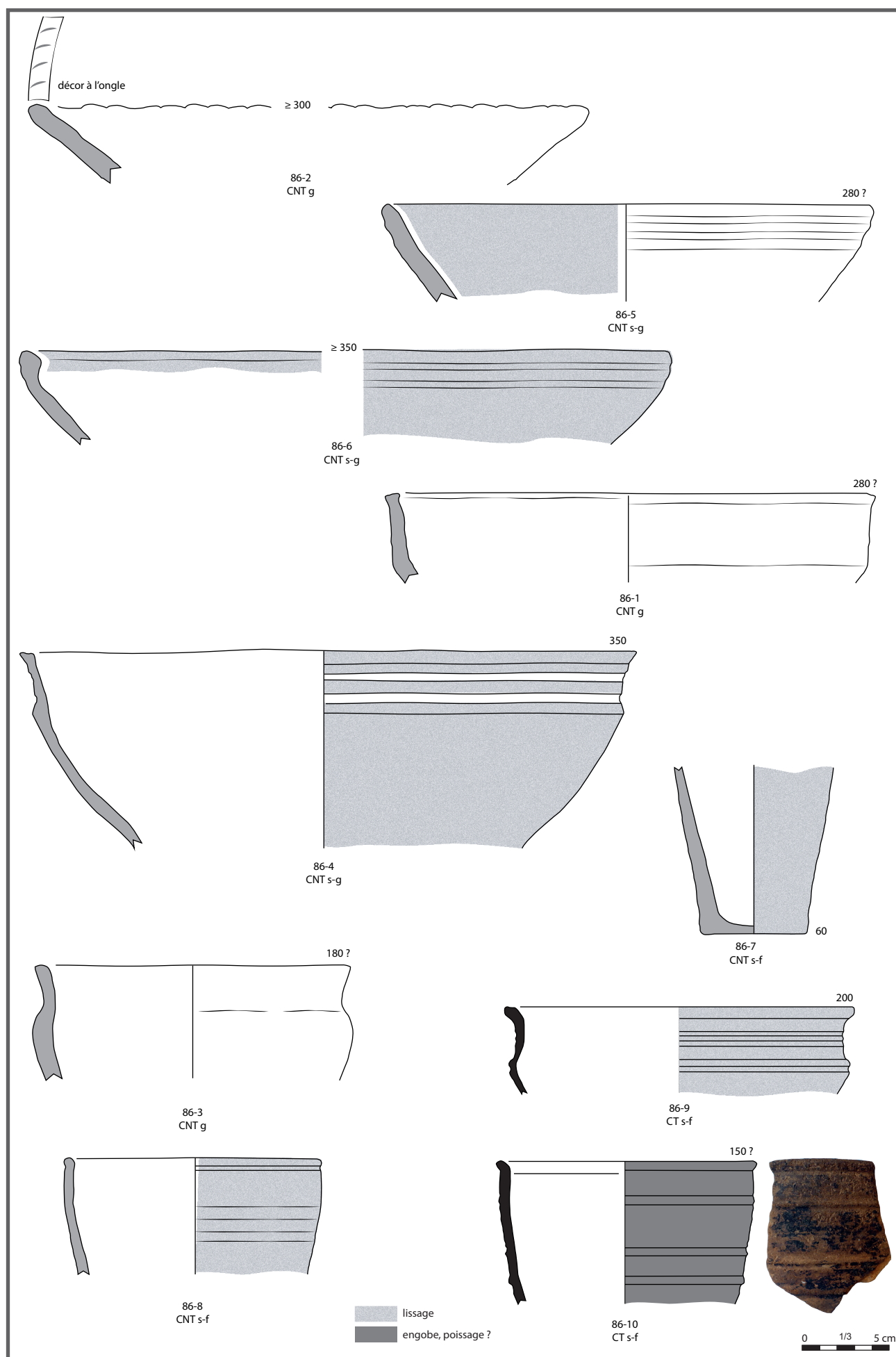


Figure 54 - Céramique du fossé 41



moneux rubéfiés en surface. L'hypothèse d'une simple fosse de prélèvement voire d'un chablis remblayé avec des matériaux du site est également possible.



Figure 55 - La structure 163

#### Un bâtiment ?

Une fenêtre exploratoire (tr. 18) a été effectuée dans le but de tester la présence d'aménagements. Plusieurs trous de poteaux ont effectivement été découverts, semblant relever d'un bâtiment au plan incomplet (**figure 56**). Le choix a été fait de ne pas le décaper entièrement dans l'éventualité d'une fouille. Au moins quatre trous de poteaux au gabarit relativement homogène ont été recensés dans la fenêtre (289 à 292). Deux d'entre eux (289 et 290) comportent un fantôme de poteau d'un diamètre de 25 cm (**figure 57**). La fouille du TP 290 montre un état de conservation satisfaisant, avec des dimensions de 60 x 50 cm pour une profondeur conservée de 15 cm (**figure 59**).



Figure 56 - Les trous de poteaux dans la fenêtre Tr.18



Figure 57 - le TP290

#### 2.2.3.5. LES STRUCTURES PÉRIPHÉRIQUES

Les tronçons 38-39 (tr. 13 et 14), larges de 1 et 0,60 m, forment un axe SO/NE rejoignant la façade SO de l'enclos au niveau de la berme (*cf.* **figure 58**, **figure 59**). Si leur relation stratigraphique n'a pu être établie, un tesson de céramique protohistorique a toutefois été découvert en surface de comblement du tronçon 38. Ce fossé peut participer à une parcellisation protohistorique en lien avec l'établissement laténien ou procéder d'un remaniement. On remarque aussi que son orientation est similaire à celle du tronçon fugace n°293 décrit plus haut.



Figure 58 - Le tronçon 38 vu du NE



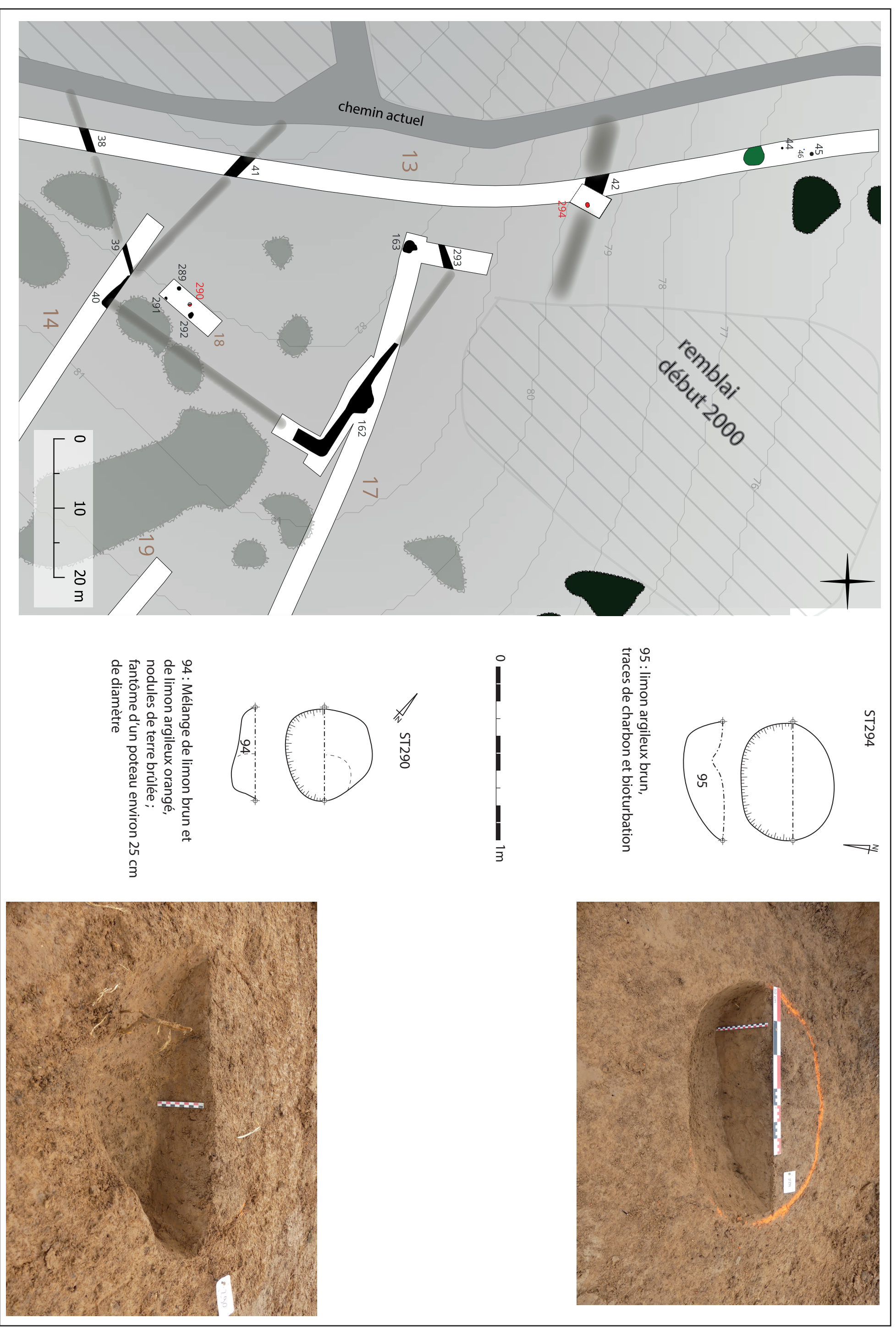


Figure 59 - Les trous de poteaux fouillés du secteur protohistorique





On peut mentionner également la structure linéaire 42 un peu plus au nord de la tranchée 13 (cf. figure 59). La morphologie du creusement n'est pas identique aux autres fossés constituant l'enclos puisqu'il est faiblement ancré, environ 0,5 m de profondeur et large de 3 m (figure 60). Le comblement est homogène et semble occulter de potentiels creusements sous-jacents ne semblant pas particulièrement correspondre à un aménagement palissadé en l'état des découvertes, bien que cette hypothèse ne puisse être totalement exclue. En l'occurrence la structure subcirculaire 294 demeure douteuse après fouille, malgré la découverte d'un tesson gallo-romain (cf. figure 59). Elle pourrait être d'origine naturelle ou liée à l'utilisation de la

structure linéaire 42. La morphologie de cette dernière serait en effet compatible avec celle d'une cave arasée dont l'origine est potentiellement gauloise, mais dont l'utilisation a pu perdurer durant l'Antiquité si l'on se fie à la présence du tesson de facture gallo-romaine.

#### 2.2.3.6. CONCLUSION

La découverte de cet enclos confirme le maillage important des fermes au second âge du Fer et particulièrement à La Tène D sur le secteur. Elle fait écho aux quatre enclos mis au jour sur le plateau du Neubourg, en amont de la déviation sud-ouest, sur le secteur de Parville (Roudié 2003) et de la ZAC de Cambolle (Jégo

2005) caractérisés par une faible distance inter-site, de l'ordre de 500 m. La moitié de ces enclos comporte des vestiges exclusivement gaulois et est abandonnée avant la fin du I<sup>er</sup> siècle av. J.-C., à l'instar du présent enclos, tandis que d'autres perdurent durant la période gallo-romaine ou sont réinvestis (*ibid*). On notera également l'occupation du Bois du Deffend bordant le nord de l'emprise avec ses trois silos probablement datés de La Tène D2, dont l'un est comblé à l'époque augustéenne et comporte une sépulture de "relégation".

77

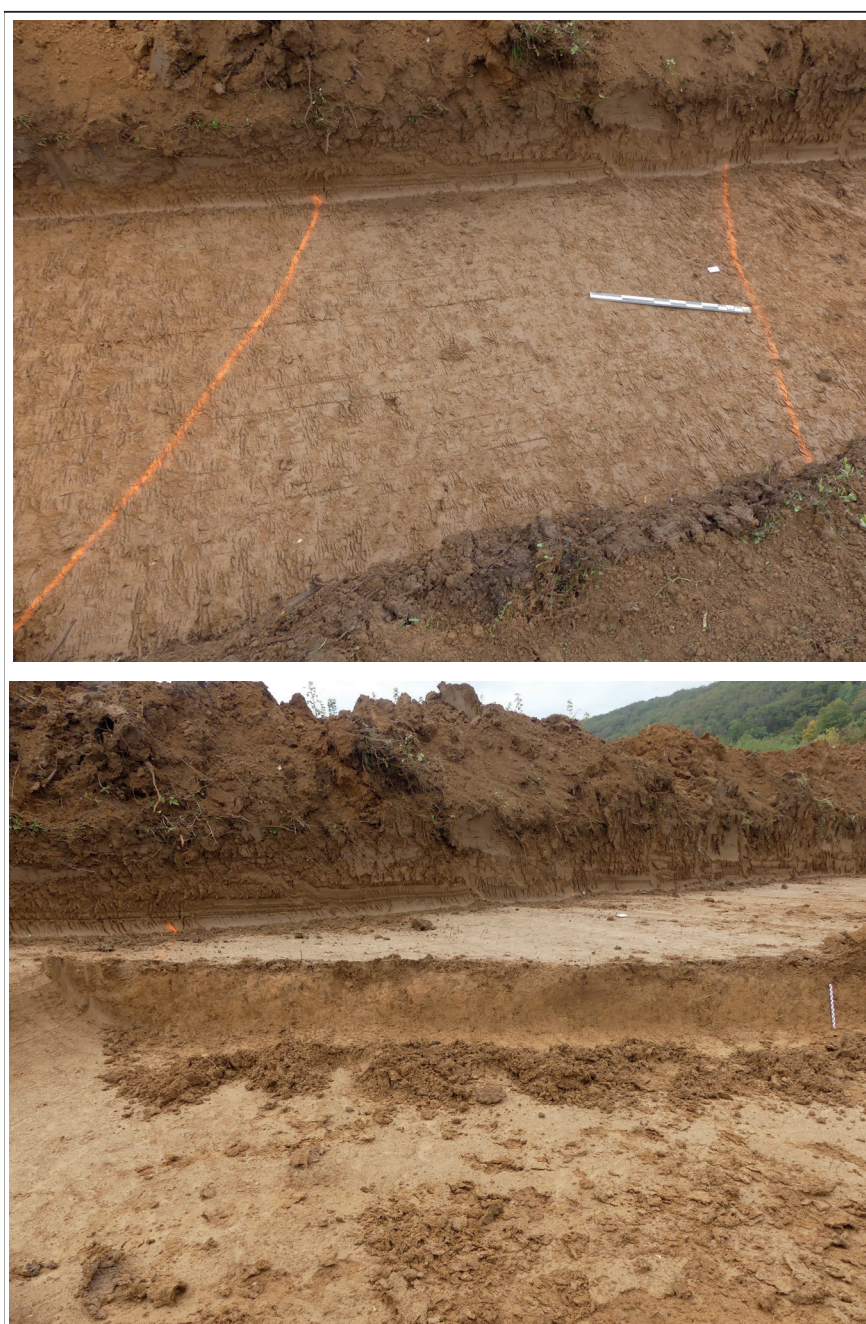


Figure 60 - La structure linéaire 42

L'enclos du site présente une taille modeste comparé à ses homologues du plateau, entre 1000 et 1300 m<sup>2</sup> contre plus de 8000 m<sup>2</sup> pour le site 1, 4000 m<sup>2</sup> pour le site 2 à Cambolle *le Golf* (Jégo 2010) et près de 9000 m<sup>2</sup> pour l'enclos du Bois du Deffend à Parville. Ce dernier, d'origine laténienne, a évolué en villa, perdurant ainsi jusqu'au IV<sup>e</sup> siècle ap. J.-C. (Lukas 2006). Malgré sa taille modeste, il s'agirait ici d'un petit enclos domestique dont le mobilier éclaire sur les activités qui y sont pratiquées, notamment sidérurgiques,



à travers des déchets suggérant une transformation du minerai sur place et du forgeage, et dont la faible quantité traduirait une production à caractère “domestique”. Des activités de tissage sont également représentées par la découverte d’un fragment de peson. Enfin, la panoplie de vaisselle céramique collectée semble correspondre aux usages courants d’un habitat domestique strictement gaulois. Elle est marquée, à ce stade des découvertes, par l’absence d’amphore, suggérant avec prudence une occupation centrée autour du II<sup>e</sup> siècle av. J.-C. et un abandon dans le courant du I<sup>er</sup> siècle av. J.-C.

#### 2.2.4. LES AXES DE CHEMINEMENTS HISTORIQUES

Plusieurs structures linéaires semblent correspondre à l’emplacement d’anciens chemins. Leur datation reste difficile et s’appuie sur la présence anecdotique de petits fragments de terre cuite architecturale de facture gallo-romaine ou moderne selon les cas, ainsi que sur leur figuration éventuelle sur le cadastre du XIX<sup>e</sup> siècle (**figure 63**). La présence de ces axes montre que le val-  
lon, par ses caractéristiques topographiques et géographiques, est une des voies de passage possibles menant à l’agglomération d’Évreux depuis l’ouest.

##### L’axe LIN 1

Le premier chemin identifié (LIN 1) est situé à l’extrémité sud d’emprise et composé des structures 3 (tr. 3), 4 (tr. 4), 30 et 31 (tr. 6) et 8 (tr. 5) formant un axe globalement NE/SO. Il est matérialisé par deux fossés bordiers souvent accompagnés, en partie centrale, par des traces d’ornières, pour une largeur totale de 3 m (5,2 m en incluant les fossés). Le fossé sud (ST 4) montre un profil en “V” évasé de 1,75 m de large pour 1,3 m de profondeur depuis le sol actuel (*cf.* **figure 61**). Le comblement comporte une charge importante de cailloux et cailloutis de silex. En amont de ce fossé (ST 3) a été trouvé un petit fragment de *tegulae* en surface de comblement. La présence de ce fragment ainsi que la morphologie de l’ensemble orienteraient vers un phasage antique, mais cela reste encore très hypothétique compte-tenu du peu d’éléments de datation disponibles.

##### L’axe LIN 2

Il comprend les structures 36 (tr. 13) et 35 (tr. 10). Les deux forment un axe linéaire cohérent, d’orientation E/O, d’une largeur de 3,20 m (**figures 61 et 63**). Le seul élément mobilier est un fragment de tuile plate moderne observé en surface de comblement de la structure 36.



Figure 61 - La structure 35 (LIN2)

##### L’axe LIN 3

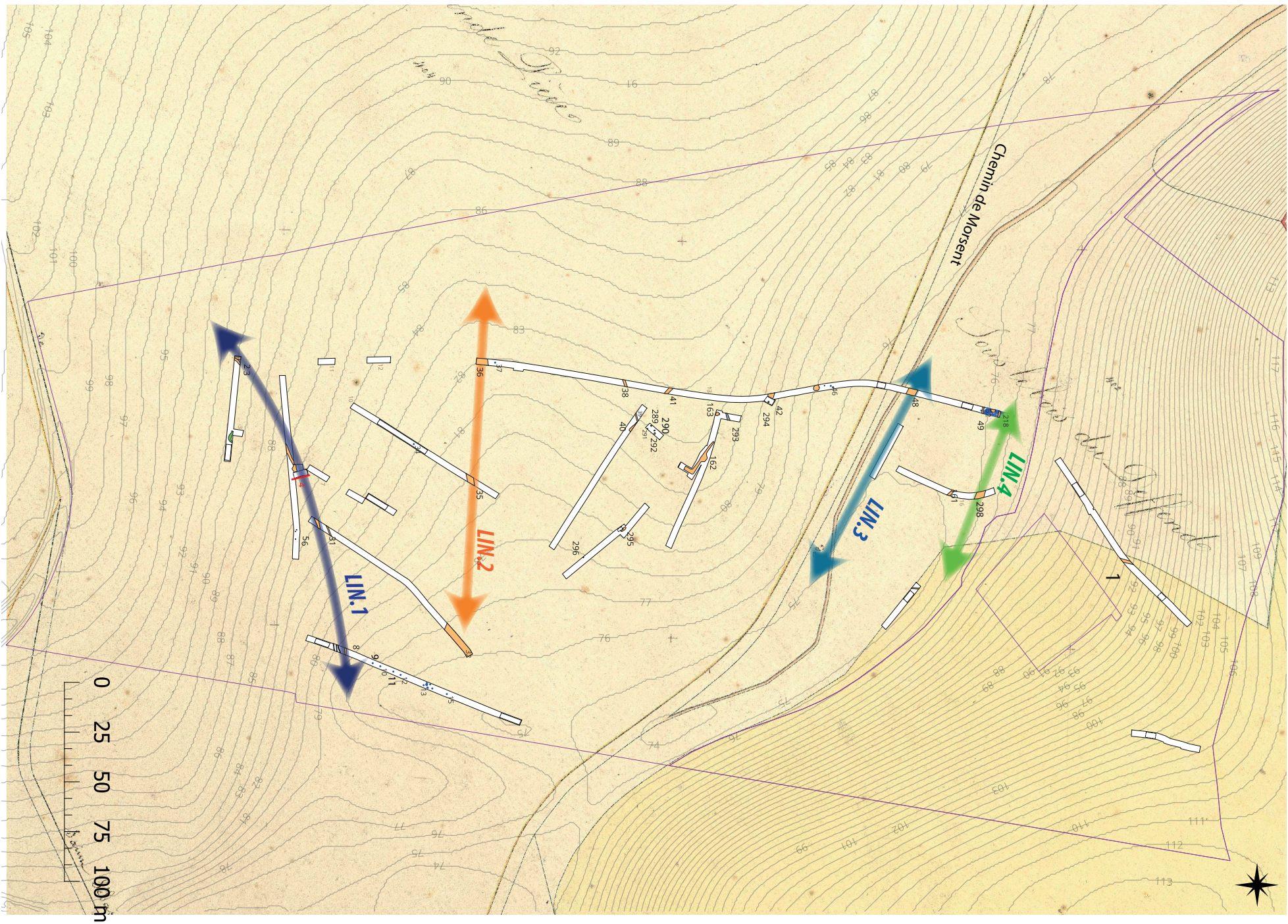
La structure linéaire 48 (tr. 13), large de 4,50 m, correspond vraisemblablement au *Chemin de Morsent* figuré sur le cadastre du XIX<sup>e</sup> siècle (**figures 62 et 63**). Des traces d’ornières ont été observées lors de son dégagement. Il a été observé à l’état de trace au niveau de la tranchée adjacente vers l’est, la bande de roulement étant située sur la grave alluviale compacte, son empreinte au sol s’en trouve limitée.



Figure 62 - La structure 48 (LIN3)



LIN1 : coupe du fossé ST4







### L'axe LIN 4

Observé à l'extrémité de la tranchée 13, ainsi que dans la tranchée 16, cet axe est matérialisé par une couche d'environ 4 m de large, constituée de cailloux et rognons de silex pauvres en sédiments interstitiels. Cette couche comble un creusement en partie observé dans la coupe référente du locus tardiglaciaire (tr. 13) [cf figure 25 p. 52] et semble bien correspondre à un chemin datant probablement de la période contemporaine, bordant l'ancienne limite du bois du Deffend (figure 64).

## 2.3. CONCLUSION

Cette ultime campagne de sondages archéologiques réalisée en amont de la déviation d'Évreux revêt un intérêt à la fois géomorphologique et archéologique. Elle a permis d'une part d'observer, au niveau du versant sud du vallon, une partie de la séquence séquanienne, avec des sols noirs conservés sur plus d'un mètre d'épaisseur et quasiment dépourvus d'artefacts. L'opportunité d'observer de telles séquences reste rare dans le secteur et l'étude préliminaire des géologues a montré tout l'intérêt de les étudier. Des analyses complémentaires impliquant des datations OSL seraient souhaitables afin de préciser la chronologie des dépôts, mais elles ne peuvent être réalisées à ce stade dans l'économie du diagnostic.

D'autre part, les résultats viennent combler le vide archéologique existant entre les occupations de la "Garenne de Navarre" au sud et celles du plateau au nord de l'emprise, à travers notamment la découverte d'une nappe associant industries lithiques et témoins fauniques se rapportant à un locus tardiglaciaire localisé en pied de versant nord. Les observations préliminaires du corpus lithique ont montré une certaine homogénéité malgré un possible palimpseste d'occupations, avec un débitage tourné vers la réalisation de produits majoritairement laminaires, employant notamment la percussion directe minérale tendre et organique orientant plutôt vers la fin du Paléolithique. Les témoins fauniques associés à ces industries sont dans un état de dégradation avancée, parfois même à l'état de trace, néanmoins l'identification d'une dent de cheval augure d'ores et déjà de belles perspectives de découvertes dans le cadre d'une fouille complé-

mentaire, avec peut-être une datation à la clef. Ces témoins osseux sont effectivement rarissimes dans les contextes paléolithiques d'une manière générale, et demeurent essentiels pour la compréhension des stratégies de subsistance des populations de ces périodes.

La suite des résultats concerne la découverte d'un enclos gaulois implanté sur un dôme de lœss, lui conférant une position dominante au sein du vallon. Les trois fossés mis au jour déterminent un espace quadrangulaire, *a priori* incomplet, provisoirement estimé à 1300 m<sup>2</sup>. Cet espace comporte, en l'état des découvertes, une possible structure de chauffe et au moins un bâtiment sur poteaux. Le mobilier collecté dans les fossés renseigne sur les activités pratiquées au sein de l'enclos, parmi lesquelles on devine des activités sidérurgiques, à travers des déchets suggérant une transformation du minerai sur place et des activités de forgeage, et dont la faible quantité traduirait une production "domestique". Des activités de tissage sont également représentées à travers la découverte d'un fragment de peson en terre cuite. D'autre part, la panoplie de vaisselle céramique collectée semble correspondre aux usages courants d'un habitat domestique strictement gaulois, marquée à ce stade des découvertes par l'absence d'amphore, suggérant une occupation centrée autour du II<sup>e</sup> siècle av. J.-C.

Enfin, la découverte de plusieurs axes de cheminement, datant pour la plupart de la période moderne à contemporaine, à l'exception d'un tracé peut-être antique, montrent à quel point ce vallon, par sa situation topographique et géographique, est un vecteur de circulation, une voie de passage privilégiée connectant la plaine du Neubourg à la vallée de l'Iton.



Figure 64 - Les vestiges sur fond de photo aérienne de 1921



## BIBLIOGRAPHIE

- Adrian Y.-M. 2005** – *Saint-Sébastien-de-Morsent, rue de la Garenne ou Le Buisson* (Eure - Haute Normandie), *Une officine gallo-romaine de terres cuites architecturales et de poteries*, Rapport final de fouille, Inrap Grand-Ouest, Juin 2005
- Adrian Y.-M. 2008** – *Arnières-sur-Iton "rue du Chantier des Flotteurs"* (Eure - Haute-Normandie), *À la périphérie de l'agglomération antique*, Rapport final d'opération, Inrap Grand-Ouest, Décembre 2008
- Brodeur J. 2006** – *Parville (27 Eure) « La Mare Prétrel »*, Rapport final d'opération, Inrap Grand-Ouest, janvier 2006
- Cliquet D. 1993** – *Les Bas-Fayaux à Évreux*, Rapport de sauvetage urgent, Évreux, décembre 1993
- Dartois V. 2014** – *Arnières-sur-Iton, Évreux (27) "Bassin 3b"*, Rapport final d'opération de diagnostic archéologique, MADE, mars 2014
- Dartois V. 2015** – *Arnières-sur-Iton (27), "Exutoire du Bassin 2"*, Rapport final d'opération de diagnostic archéologique, MADE, janvier 2015
- Dartois V. 2015** – *Évreux (27) "Traversée de la forêt"*, Rapport final d'opération de diagnostic archéologique, MADE, mars 2015
- Ferdière A. 2015** – « Essai de typologie des greniers ruraux de Gaule du Nord », *Revue archéologique du Centre de la France*, Tome 54, 2015
- Fizaine J.-P. 2012** – *Les paléokarsts et les formations ferrugineuses associées dans le Bassin parisien et ses bordures : caractérisation et évolutions géomorphologiques*, thèse de doctorat, Faculté des Lettres et Sciences Humaines de Nancy 2, Université de Lorraine, Livre I, 2012
- Gallien V. 2000** – *Évreux (27) « Cambolle »*, Rapport de diagnostic archéologique, Afan Grand-Ouest, novembre 2015
- Gautier N. 2022** – *Heudebouville (27) « A13, demi-diffuseur »*, Rapport de diagnostic archéologique, MADE, juin 2022
- Gautier N. 2023** – *Heudebouville (27) « Chemin des Pileux, rue de l'Ombre »*, Rapport de diagnostic archéologique, MADE, janvier 2023
- Godener M. 2023** – *Évreux (27) « Déviation Sud-ouest d'Évreux, section Les Fayaux - Cambolle, Le cimetière de l'hôpital de Navarre »*, Rapport de diagnostic archéologique, MADE, mars 2023
- Huet M. 2020** – *Évreux (27) « Cambolle »*, Rapport d'opération de diagnostic archéologique, MADE, janvier 2020
- Jégo L. 2005** – *Évreux/Parville (27), Zac de Cambolle*, Rapport de diagnostic archéologique, Inrap Grand-Ouest, avril 2005
- Jégo L. 2010** – *Évreux, Eure « Cambolle, Le Golf » – Un « lotissement » gaulois sous le green*, Rapport de fouille archéologique, Inrap Grand-Ouest, 2010
- Lukas D. 2009** – « L'occupation protohistorique et antique de *Parville (Eure)*, *Les résultats d'une fouille préventive menée au « Bois de Parville »* en 2006, *Journées archéologiques de Haute-Normandie*, Presses universitaires de Rouen et du Havre, 2009
- Lukas D. 2013** – « Les établissements protohistoriques et gallo-romain de la Butte Colas », Rapport d'opération de fouille archéologique, Inrap Grand-Ouest, Juin 2013
- Lukas D. 2014** – *Arnières-sur-Iton, "Le Village - Le Bois Nervet"*, Rapport d'opération de diagnostic archéologique, Inrap Grand-Ouest, Octobre 2014
- Marcigny C. (dir) 2006** - *Guichainville et le Vieil-Évreux (27), "Le Long Buisson"*, Rapport final d'opération, 8 vol., Inrap Grand-Ouest, Septembre 2007
- Maret C. 2006 (a)** - *Saint-Sébastien-de-Morsent, Avenue François Mitterrand (Eure - Haute-Normandie)*, rapport de diagnostic, Inrap Grand-Ouest, Mars 2006
- Maret C. 2006 (b)** - *Arnières-sur-Iton "Rue du Chantier des Flotteurs"* (Eure - Haute-Normandie), rapport de diagnostic, Inrap Grand-Ouest, Avril 2006

**Maret C. 2006 (c)** - *Saint-Sébastien-de-Morsent, Rue Lucie Aubrac (Eure - Haute-Normandie)*, rapport de diagnostic, Inrap Grand-Ouest, Octobre 2006

**Maret C. 2006 (d)** - *Saint-Sébastien-de-Morsent, Rue des Charitons, rue de la Garenne, rue de la Briqueterie (Eure - Haute-Normandie)*, rapport de diagnostic, Inrap Grand-Ouest, Novembre 2006

**Maret C. 2007** - *Saint-Sébastien-de-Morsent, ZAC du Vallon Fleuri (Eure - Haute-Normandie)*, rapport de diagnostic, Inrap Grand-Ouest, Juillet 2007

**Michel Myriam. 2008** - *Saint-Sébastien-de-Morsent, Avenue François Mitterand, rue de la Garenne*, rapport de fouille archéologique préventive, Archéopole, novembre 2008

**Pansiot R. 2019** – Évreux « La Garenne de Navarre, Contournement d'Évreux », Rapport d'opération de diagnostic archéologique, MADE, mai 2019

**Paupy C. et al 2020** – *Guichainville (27) « Long Buisson 3 (dernière partie) »*, Rapport final d'opération de diagnostic archéologique, MADE, juin 2020

**Prost D. 2022**, « Questions sur la persistance d'outils en silex à l'âge du Fer : exemples de cas normands », *Revue archéologique de l'Ouest*

**Renard C. 2014** – Évreux (27), “Chemin Potier - Phase 3, PS7, aire de préfabrication”, Rapport final de diagnostic archéologique, MADE, 2014

**Renard C. 2017** – *Angerville-La-Campagne “Rue de La Fosse au Bossu” (27)*, Rapport final de diagnostic archéologique, MADE, Avril 2017

**Riche C. 2008** – Évreux (27), ZAC de *Cambolle*, Rapport de fouille archéologique, Inrap, 2008

**Roudié N. 2003** – *Déviations Sud-Ouest d'Évreux – Communes d'Évreux, Arnières-sur-Iton et Parville (Eure)*, Rapport de diagnostic archéologique, Inrap Grand-Ouest, septembre 2003

**Wech P. 2010** – *Guichainville Zone de La Tourelle*, Rapport de fin d'opération de diagnostic archéologique, MADE, Mai 2010

## TABLE DES FIGURES

Figure 1 - Localisation de l'opération sur carte 1-250 000e.....	9
Figure 2 - Localisation de l'opération sur carte topographique 1-25000e.....	9
Figure 3 - Localisation de l'opération sur orthophotographie 1-10000e.....	10
Figure 4 - Localisation de l'opération sur fond de plan cadastral 1-10000e.....	10
Figure 5 - Plan du projet au 1-2500e.....	11
Figure 6 - Localisation de l'opération sur la carte géologique 1-25000e.....	27
Figure 7 - Plan des sondages et MNT.....	28
Figure 8 - Environnement archéologique.....	29
Figure 9 - Opérations archéologiques menées à proximité de l'emprise extrait de Godener 2023.....	29
Figure 10 - Surface et profondeur.....	32
Figure 11 - Plan des contraintes et localisation des sondages au 1-2500e.....	33
Figure 12 - Localisation des logs et MNT au 1-2500e.....	35
Figure 13 - Plan des vestiges au 1-2500e.....	37
Figure 14 - Résultats sur orthophotographie de l'emprise au 1-2500e.....	38
Figure 15 - Résultats sur fond de cadastral du XIXème au 1-2500e.....	39
Figure 16 - Synopsis de l'opération.....	40
Figure 17 - Contexte général du site :	
[A] : Carte d'occupation des sols (source : CORINE Land Cover – France Métropolitaine, 2012)	
[B] : Carte de Cassini (source : disponible sur Géoportail)	
[C] : Carte d'Etat-Major (source : disponible sur Géoportail)	
[D] : Carte géologique métropolitaine au 1/1 000 000 (source : BRGM)	
[E] : Carte du Référentiel Régional Pédologique Haute-Normandie (RRP) - Pédopaysages au 1/250 000 (source : Conservatoire d'Espaces Naturels Normandie Seine) (légendes modifiées).....	41
Figure 18 - Emprise de l'opération et localisation du profil altimétrique. (MNT RGE ALTI 5m de l'IGN et carte géologique au 1/50000 vectorisée et harmonisée de l'Eure, BRGM).....	42
Figure 19 - Localisation des logs et tranchées réalisés par la MADE, et transects choisis pour la corrélation des logs. (Données de localisation acquises par la MADE, MNT RGE ALTI à 5 mètres de l'IGN).....	43
Figure 20 - Synthèse des études réalisées sur la coupe 9 : Orthophotographie corrélée au log et aux mesures de susceptibilité magnétique, localisation des emplacements des prélèvements en tube.....	45
Figure 21 - TTransects réalisés à partir de la corrélation des logs levés par la MADE et localisation des transects d'après les points topographiques et relevés réalisés par la MADE. (MNT RGE ALTI 5m de l'IGN et carte géologique au 1/50000 vectorisée et harmonisée de l'Eure, BRGM).....	47
Figure 22 - Localisation du locus tardiglaciaire dans son contexte géomorphologique.....	49
Figure 23 - Localisation du locus, prises de vues su et nord-ouest.....	50
Figure 24 - Concentration lithique au 1-100e.....	51
Figure 25 - Transect de la tranchée 13.....	52
Figure 26 - Coupe référente et projection des objets.....	53
Figure 27 - Répartition du mobilier lithique de l'US 77.....	55
Figure 28 - Répartition du mobilier lithique de l'US 78.....	55
Figure 29 - Répartition du mobilier lithique de l'US 79.....	55
Figure 30 - Répartition du mobilier lithique de l'US 80.....	55



Figure 31 - Répartition globale du mobilier lithique du sondage .....	55
Figure 32 - Les nucléus .....	56
Figure 33 - Les nucléus (bis) .....	57
Figure 34 - Gabarit des lames découvertes (en mm) .....	58
Figure 35 - Outillage de l'US 79 .....	58
Figure 36 - Les lames .....	59
Figure 37 - Les lames et lamelles .....	60
Figure 38 - Mobilier en place .....	61
Figure 39 - Mobilier lithique de la tranchée 5 .....	62
Figure 40 - Détail isolats 16 à 23, tranchée 5 .....	62
Figure 41 - Vue du NNE de la tranchée 13 .....	63
Figure 42 - Le fossé ST40 vu du SE .....	64
Figure 43 - Le fossé ST41 vu du SE .....	64
Figure 44 - L'enclos laténien au 1-500e .....	65
Figure 45 - Le mobilier céramique en place dans le fossé ST41 .....	66
Figure 46 - Le fossé 162 vu du NE .....	66
Figure 47 - Le tracé fugace n°293 vu du NO .....	66
Figure 48 - Le fossé d'enclos ST162 .....	67
Figure 49 - Minerai de fer dans le fossé ST41 .....	69
Figure 50 - Silcrète dans le fossé ST41 .....	70
Figure 51 - silcrète thermofractée à Heudebouville (extrait de Gautier 2022) .....	70
Figure 52 - Silcrète thermofractée à Heudebouville (extrait de Gautier 2023) .....	71
Figure 53 - Céramique du fossé 162 .....	71
Figure 54 - Céramique du fossé 41 .....	73
Figure 55 - La structure 163 .....	74
Figure 56 - Les trous de poteaux dans la fenêtre Tr.18 .....	74
Figure 57 - le TP290 .....	74
Figure 58 - Le tronçon 38 vu du NE .....	74
Figure 59 - Les trous de poteaux fouillés du secteur protohistorique .....	75
Figure 60 - La structure linéaire 42 .....	77
Figure 61 - La structure 35 (LIN2) .....	78
Figure 62 - La structure 48 (LIN3) .....	78
Figure 63 - Les cheminements .....	79
Figure 64 - Les vestiges sur fond de photo aérienne de 1921 .....	82

# ÉTUDE DE LA CÉRAMIQUE





La céramique est peu abondante avec seulement 301 tessons (4,8 kg). Elle est en revanche relativement homogène, avec exclusivement des productions en céramique non tournée. La quasi-totalité des tessons provient de deux tronçons de fossé pouvant appartenir à un même enclos (fossé 41, tranchée 21 et fossé 162, tranchée 17), avec un total de 281 tessons (4,5 kg). Le mobilier présente un état de conservation médiocre. Les tessons sont souvent de petite taille, à la fragmentation initiale s'ajoutant régulièrement celle occasionnée par le prélèvement des fragments. Les surfaces sont régulièrement altérées, rendant difficile l'observation d'éventuels traitement de surface et/ou décors. Une quinzaine d'individus a néanmoins pu être comptabilisée, n'offrant pour la plupart que des profils très incomplets et donc difficilement identifiables. A de rares exceptions près, seules des céramiques non tournées ont été recensées. Formes ouvertes et fermées sont représentées, avec semble-t-il une plus grande représentation des formes ouvertes, même si la forte fragmentation ne permet pas toujours une identification certaine des bords.

D'un point de vue pétrographique, l'ensemble s'avère relativement homogène, avec une large prépondérance de pâtes à dominante sableuse, parsemées d'éclats de silex millimétriques à pluri-millimétriques. Elles semblent former un même groupe technique,

au sein duquel, la fréquence et la taille des inclusions détermine l'aspect plus ou moins grossier ou fin de la pâte. Si les surfaces offrent des teintes variées, du rouge-orangé au gris en passant par toute une gamme de brun, le cœur est presque toujours noir. La majorité des fragments montre un traitement de surface, souvent en adéquation avec le type de pâte : lissage grossier sur les pâtes les plus grossières, lissage plus fin à fin sur les pâtes plus fines. Les quelques céramiques tournées répertoriées montrent des caractéristiques pétrographiques assez similaires. Les pâtes, à fond sableux, présentent néanmoins beaucoup moins d'inclusions de silex pilé. Les tranches ont systématiquement un aspect « sandwich » (teinte brune sur les franges, gris-noir à cœur) et les surfaces sont toujours finement lissées.

**La céramique du fossé 162** représente 49 tessons (1 kg) et 4 individus. L'essentiel des fragments est en pâte grossière ou semi-grossière et ne peut être associé à aucun élément de forme. Les quatre éléments de forme sont relativement mal conservés, limitant leur identification et par conséquent les possibilités de comparaison. Deux correspondent à des formes ouvertes évasées de type jatte. La première est une forme à bord légèrement rentrant évoquant certaines formes de la fin du Hallstatt et le début de la Tène [92-3]<sup>1</sup>. La

89

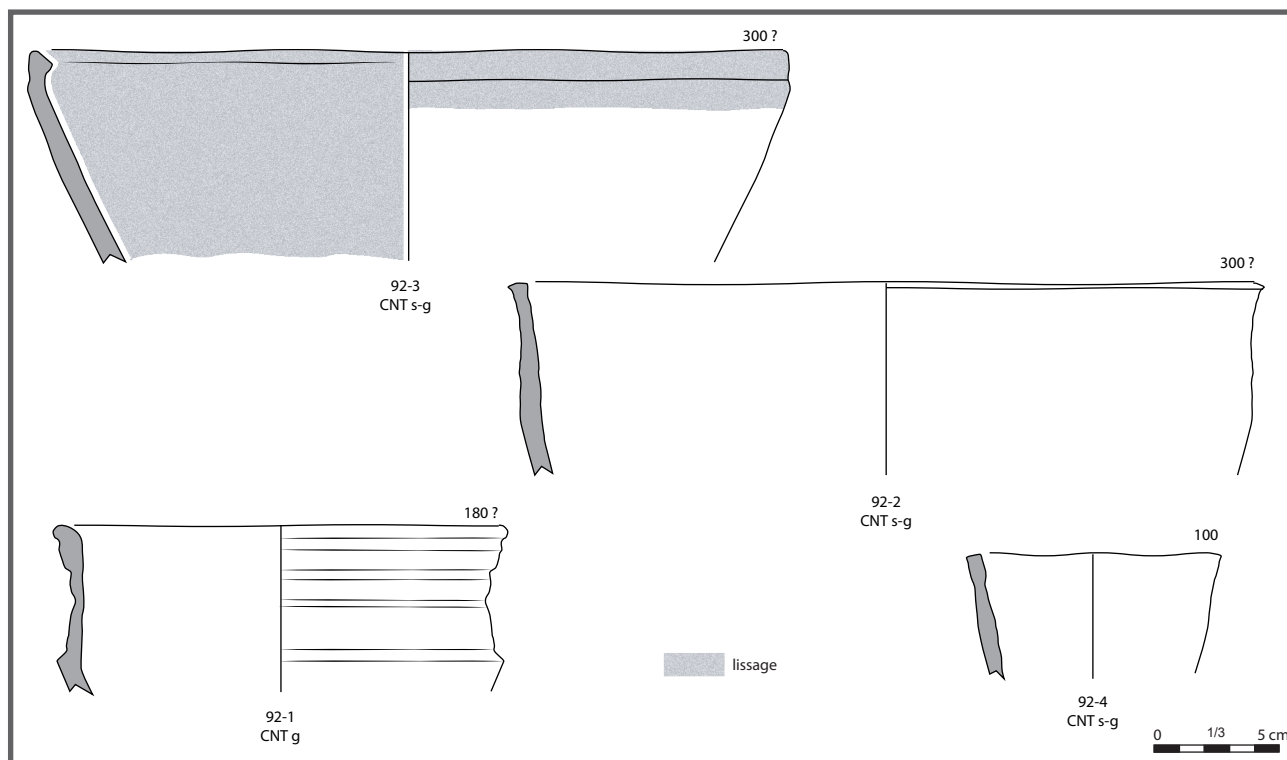


Figure 1 - Céramique du fossé 162

1 (Moreau 2011 vol.2, pl.3, p.396)



seconde, à bord non démarqué, et de facture plutôt grossière ne présente pas de caractéristique assez spécifique pour en proposer une datation précise [92-2]. Il en est de même pour une forme de petit diamètre, peut-être un gobelet, dotée d'un bord simple légèrement évasé et aplani [92-4]. Un dernier vase évoque une forme haute, peut-être un vase situliforme, à col droit et carène saillante [92-1]. La lèvre forme un petit bourrelet souligné de cannelures. Si la forme ne trouve pas de parallèle exact, le type de décor n'est pas sans rappeler certains vases de la Tène D<sup>2</sup>.

► Le nombre restreint d'éléments de forme et leur caractère peu discriminant permettent difficilement de proposer une datation précise de ce lot. La présence du vase à col cannelé semble néanmoins suggérer une chronologie axée sur la Tène finale, ce qui paraîtrait cohérent avec les données issues du second lot.

**La céramique du fossé 41** représente 225 tessons (3,4 kg) et 13 individus. Les céramiques à pâte grossière ou semi-grossière sont très nettement prédominantes, assorties de quelques productions plus fines, non tournées et tournées. Parmi les éléments potentiellement les plus anciens, on signalera deux fragments de grand récipient à bord oblique très évasé, dont un orné d'un décor à l'ongle sur le dessus [86-2 et 5]. Ce type de vase semble en effet apparaître dès la fin du premier Âge du Fer et perdurer au moins jusqu'à la Tène B<sup>3</sup>. Une jatte à bord rentrant pourrait éventuellement relever de cette même période de transition entre la fin du Hallstatt et le début de la Tène [86-6]<sup>4</sup>. Les autres éléments du corpus semblent s'inscrire plus exclusivement dans le second Âge du Fer. Les formes ouvertes évasées, de type jatte, sont les plus nombreuses et montrent des profils variés : bord droit et carène arrondie [86-1], bord éversé et carène saillante [86-4]. Les formes fermées peuvent

correspondre à des pots ou des gobelets, à panse tronconique, bord non démarqué ou éversé et souligné d'une carène. Si les vases à profil sinueux [86-3] circulent durant une large partie du second Âge du Fer, les formes à panse légèrement rentrante et petit bord arrondi [86-8] semblent plus caractéristiques de La Tène C et D. Deux vases en céramique tournée fine confortent cette ouverture chronologique vers la Tène finale. Le premier est une jatte à profil en S dont le col et la carène sont rehaussés de moulures [86-9]. Le second est une forme haute tronconique dont la panse est ornée de plusieurs fines moulures horizontales [86-10]. La surface externe, bien qu'assez mal conservée, présente des traces d'enduit noirâtre (engobe, poissage ?). Il évoque notamment un exemplaire découvert à Louviers et daté de la Tène C2/D1<sup>5</sup>.

► Une certaine impression d'hétérogénéité se dégage de ce petit lot, avec, outre des formes très ubiquistes, des formes potentiellement plus anciennes que d'autres. L'essentiel du lot semble néanmoins s'inscrire dans le second Âge du Fer, et peut-être plus particulièrement au cours de la Tène C ou D. Néanmoins, l'absence de certaines productions, et notamment d'amphore<sup>6</sup>, pourrait suggérer une chronologie antérieure à la fin de la période gauloise, et peut-être donc plutôt axée sur le II<sup>e</sup> siècle avant notre ère.

2 (Lukas 2013 pl.104, n°1236) (Jego 2010 fig.109, n°5)

3 (Beurion 2012 vol.1, fig.95 et 98, p.240/24) dont seule la partie méridionale a pu être explorée sur 4000 m<sup>2</sup>. Sa façade orientale massive, avec un fossé de près de 4,5 m de large pour une profondeur de 2 m, accueillait très certainement l'entrée principale et devait offrir un aspect magistral aux arrivants. Le cimetière se trouvait ainsi placé le long de la voie d'accès à la résidence. L'enceinte accueillait des constructions d'architectures variées dont un édifice monumental à plusieurs nefs d'une surface au sol de 160 m<sup>2</sup> qui peut sûrement être considéré comme la résidence des propriétaires du domaine. Par ailleurs, la qualité de certains mobiliers (fragments d'amphore, monnayage (Adrian 2015 vol.1, fig.67)

4 (Moreau 2011 vol.2, pl.3, p.396)

5 (Le Saint Allain 2014 fig.11, vase n°11).

6 Aucun fragment n'a été répertorié sur l'ensemble de la surface diagnostiquée

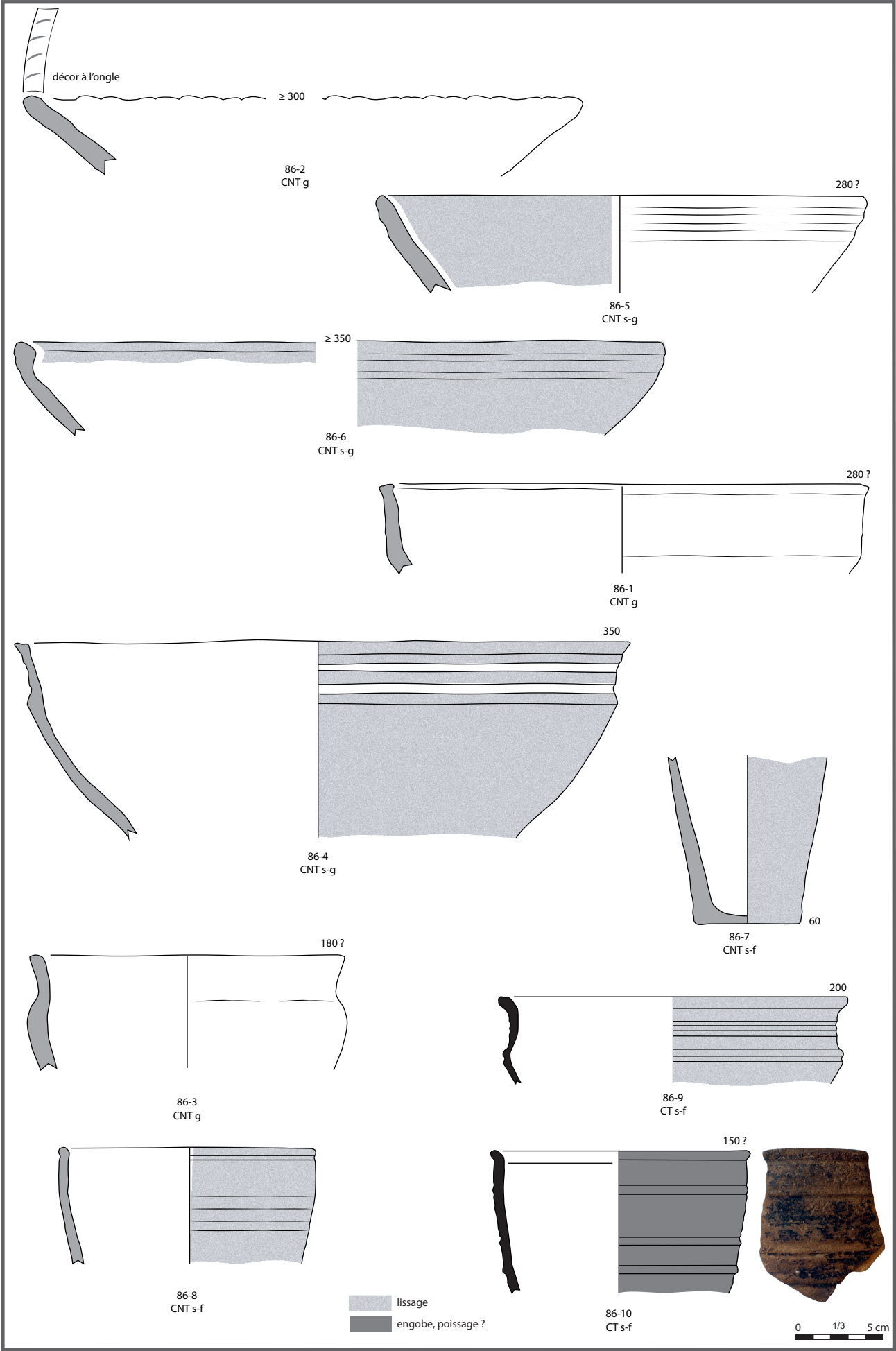


Figure 2 - Céramique du fossé 41

**Adrian 2015**

ADRIAN Y.-M., *Haute-Normandie, Eure (27) Val-de-Reuil «Le Chemin aux Errants» - Zone C - Volume I : du Néolithique au 1er âge du Fer*, Rapport de fouille, s.l. : INRAP.

**Beurion 2012**

BEURION C., *Val-de-Reuil, La Communière ZAC des Portes (Eure, Haute-Normandie). Un établissement rural de La Tène finale et une nécropole gauloise et gallo-romaine (IIe s. av. - IVe s. ap. notre ère)*, Rapport de fouille, s.l. : INRAP.

**Jego 2010**

JEGO L., *Evreux, Eure « Cambolle, Le Golf ». Un « lotissement » gaulois sous le green...*, Rapport de fouille, s.l. : INRAP.

**Le Saint Allain 2014**

LE SAINT ALLAIN M., « Louviers (Eure), rue des Oiseaux : d'une occupation de l'âge du bronze à un établissement rural de l'âge du fer », in *Journées archéologiques de Haute-Normandie*, Rouen, 24-26 mai 2013, Mont-Saint-Aignan : Presses universitaires de Rouen et du Havre.

**Lukas 2013**

LUKAS D., *Haute-Normandie, Eure, Heudebouville, Éco-parc 2 Les établissements protohistorique et gallo-romain de la « Butte Colas »*, Rapport de fouille, s.l. : INRAP.

**Moreau 2011**

MOREAU C., *Région Haute-Normandie - Département de l'Eure Val-de-Reuil, Le Chemin aux Errants*, Rapport de fouille, s.l. : Archéodunum.

US	ST	Lot	Catég.	Forme	NI	B	F	P	Description	Phase	Datation	Illustr.
86	41	3	CNT g	jatte ?	1	1			forme ouverte carénée - bord légèrement évasé simple à parement supérieur aplani, carène douce à mi-panse	PRO	La Tène ?	86-1
86	41	3	CNT g	plat, jatte	1	1			forme ouverte très évasée - bord oblique simple à parement supérieur aplani orné d'un décor à l'ongle, lissage int grossier, ext plus fin	PRO	Hallstatt D/ La Tène B ?	86-2
86	41	3	CNT g	pot	1	2			forme haute à épaulement marqué - bord légèrement évasé simple à parement supérieur aplani, liaison col/panse marquée d'un ressaut	PRO	La Tène ?	86-3
86	41	3	CNT s-g	jatte	1	2			5 forme ouverte évasée - bord simple à parement supérieur aplani, col mouluré, à carène haute et saillante, lissage ext assez fin	PRO	La Tène C/D ?	86-4
86	41	3	CNT s-g	plat, jatte	1	2			forme ouverte évasée - bord simple souligné de moulures, lissage int assez fin	PRO	Hallstatt D/ La Tène A ?	86-5
86	41	3	CNT s-g	plat, jatte	1	1			2 forme ouverte évasée - bord rentrant souligné de moulures, parement supérieur aplani	PRO	Hallstatt D/ La Tène A ?	86-6
86	41	3	CNT s-f	pot, gobelet	1	1			3 forme haute tronconique - petit fond plat, lissage int grossier, ext assez fin	PRO	La Tène C/D ?	86-7
86	41	3	CT s-f	vase indét.	1	2			4 forme haute tronconique - bord droit simple, extrémité arrondie soulignée d'une rainure, stries grossières sur le haut de panse, lissage int/ext assez fin	PRO	La Tène C/D ?	86-8
86	41	3	CT s-f	jatte	1	4			3 forme ouverte carénée - profil en S, lèvre éversée aplanie sur le dessus, col mouluré, carène arrondie soulignée d'une rainure, lissage int assez fin, ext fin	PRO	La Tène D ?	86-9
86	41	3	CT s-f	vase indét.	1	1			forme haute tronconique ? - bord droit à extrémité éversée arrondie, panse cannelée, sorte d'engobe ou poissage de la surface ext	PRO	La Tène C/D ?	86-10
	162	10	CNT g	vase indét.	1	1			forme haute situliforme ? - bord droit à extrémité arrondie, col cannelé, carène saillante	PRO	La Tène D ?	92-1
92	162	10	CNT s-g	jatte ?	1	1			forme ouverte à bord non démarqué - bord droit, parement supérieur aplani, panse indifférenciée, lissage int/ext grossier	PRO	La Tène ?	92-2
92	162	10	CNT s-g	jatte	1	1			forme ouverte évasée - bord légèrement rentrant, épaulement légèrement marqué, panse tronconique, lissage assez fin à l'int et sur le rebord ext	PRO	La Tène ?	92-3
92	162	10	CNT s-g	gobelet ?	1	1			forme haute tronconique - bord évasé simple à parement supérieur aplani, lissage int/ext grossier	PRO	La Tène C/D ?	92-4

Figure 3 - Catalogue des formes des fossés 41 et 162



## Abréviation utilisées

CODE	CATEGORIE	PRECISIONS	CHRONOLOGIE
<b>Céramiques non tournées</b>			
<b>CNT g</b>	céramique non tournée grossière	inclusions : Si (silex), Ca (calcaire), FeO (oxydes de fer), Qz (quartz), mica (Mi)	Pré/Protohistoire
<b>CNT s-g</b>	céramique non tournée semi-grossière		Pré/Protohistoire
<b>CNT s-f</b>	céramique non tournée semi-fine		Pré/Protohistoire
<b>CNT f</b>	céramique non tournée fine		Pré/Protohistoire
<b>CT g</b>	céramique tournée grossière		Pré/Protohistoire
<b>CT f</b>	céramique tournée fine		Pré/Protohistoire
<b>COMPTAGE</b>			
<b>NR</b>	nombre de restes	nombre de fragments, hors cassures fraîches	
<b>NMI</b>	nombre minimum d'individus	déterminé à partir du nombre de bords après recollage	
<b>NI</b>	nombre d'individus	déterminé à partir de tout élément identifiable	
<b>B</b>	bord		
<b>F</b>	fond		
<b>P</b>	panse		
<b>A</b>	anse		
<b>M (g)</b>	masse	en grammes	
<b>PHASES CHRONOLOGIQUES</b>			
<b>PRO</b>	protohistoire	Âge du Cuivre, du Bronze, du Fer	
<b>GR</b>	époque gallo-romaine	27 avt J.-C. / 486 apr. J.-C.	
<b>HMA</b>	haut Moyen Age	Ve-Xe s.	
<b>MAC</b>	Moyen Age central/ classique	XIe-XIIIe s.	
<b>MAT</b>	Moyen Age tardif/ bas Moyen Age	XIVe-XVe s.	
<b>MOD</b>	époque moderne	XVIe/ XVIIIe s.	
<b>CTP</b>	époque contemporaine	post. à 1789	

Annexe 0 - Abréviations utilisées

Les vases dont le N° de ST est en italique correspondent à du mobilier isolé

US	ST	Lot	Catég.	Forme	Pâte	Traitement de surface/décor	Commentaires	NR	NMI	B	F	P	M (g)	Phase	Datation
24	13	26	CNT s-g	IND	brun-orangé à gris-noir, éclats de Si mm à plurimm		très petits fgts roulés	4					4	PRO	
24	14	27	CNT s-g	IND	brun-orangé à gris-noir, nombreux éclats de Si mm à plurimm, qq Qz	lissage int grossier	surface ext altérée	1					1	PRO	
24	14	27	CNT s-g	IND	brun-orangé à gris-noir, éclats de Si mm à plurimm		surfaces altérées	1					1	PRO	
24	15	29	CNT s-g	IND	brun-orangé à brun, éclats de Qz et Si mm à plurimm		très petits fgt roulé	1					1	PRO	
Total US 24								7	0				92	Protohistoire indét.	
44	37	49	CNT s-g	IND	brun-orangé à gris-noir, nombreux éclats de Si mm à plurimm, fins Qz et/ou Mi	lissage int/ext grossier		1					1	PRO	
44	37	49	CNT s-g	IND	brun-orangé à brun, éclats de Si mm à plurimm		2 très petits fgts, surfaces altérées	3					3	PRO	
Total US 44								4	0				33	Protohistoire indét.	
55	46	53	CNT s-g	F	vase de stockage ?	lissage int/ext grossier	bord massif quasi horizontal, extrémité affinée	1	1	1			1	PRO	
Total US 55								1	1				66	Protohistoire indét.	
76	83	88	CNT s-g	IND	brun-orangé à gris-noir, éclats de Si mm à plurimm, possibles FeO		petits fgts, surfaces altérées	2					2	PRO	
Total US 76								2	0				14	Protohistoire indét.	
86	41	3	CNT g	IND	brun-gris, assez légère, éclats de Si mm à plurimm, parfois semi-cm		6 très petits fgts, surfaces altérées	11					11	PRO	
86	41	3	CNT g	O	jatte ?	lissage int/ext grossier	Vase 86-1 - surfaces altérées	1	1	1				PRO	
86	41	3	CNT g	O	plat, jatte	lissage int/ext grossier	Vase 86-2	1	1	1				PRO	
86	41	3	CNT g	F	pot	lissage int/ext grossier	Vase 86-3	2	1	2				PRO	
86	41	3	CNT s-g	O	jatte	lissage ext assez fin	Vase 86-4 - surface int altérée	7	1	2			5	PRO	
86	41	3	CNT s-g	O	plat, jatte	lissage int assez fin	Vase 86-5	2	1	2				PRO	
86	41	3	CNT s-g	O	jatte	lissage int/ext fin	Vase 86-6	3	1	1			2	PRO	
86	41	3	CNT s-g	O	jatte	lissage int/ext fin	5 très petits, 6 petits fgts, même vase qu'Iso 6 ?	15					15	PRO	
86	41	3	CNT s-g	IND	gris-noir, surfaces brun-orangé, brunes ou gris-noir, fond sableux, éclat de Si mm à plurimm en densité plus ou moins importante	lissage int/ext grossier à assez fin, qqes fgts ac traces de bouchon végétal	vrac indéterminable, nombreux très petits fgts non comptabilisés	73	3	3	6		64	PRO	
86	41	3	CNT s-g	IND	gris-noir, surface int brun-orangé, ext brune à gris-noir, fond sableux, éclat de Si mm à plurimm	lissage int/ext grossier à assez fin en partie haute, nombreux fgts ac traces de bouchon végétal	même vase ? (dt très petits fgts non comptabilisés)	63	1	4	5		54	PRO	
86	41	3	CNT s-f	F	"sandwich" brun rouge à cœur gris, surfaces rouge-orangé à brun-rouge, fond sableux, petites vacuoles	lissage int/ext assez fin	Vase 86-7 - 13 très petits fgts, fond complet, même vase	22			1		21	PRO	
86	41	3	CT s-f	F	pot, gobelet	lissage int/ext assez fin	Vase 86-8 - même vase	6	1	2			4	PRO	
86	41	3	CT s-f	O	jatte	lissage int assez fin, ext fin	Vase 86-9 - même vase	7	1	4			3	PRO	
86	41	3	CT s-f			lissage int assez fin, ext fin, engobe noirâtre à l'ext	Vase 86-10 - même vase ?	12	1	1			11	PRO	
Total US 86								225	13				3 461	La Tène C/D ?	
92	162	10	CNT g	IND	int gris-noir, ext brun clair à brun-rouge, éclats de Si mm à plurimm, parfois semi-cm	lissage int/ext grossier	Vase 92-1 - surfaces altérées	6	1	1	1		4	PRO	
92	162	10	CNT s-g	O	jatte ?	lissage int/ext grossier	Vase 92-2	1	1	1				PRO	

US	ST	Lot	Catég.	Forme	Pâte	Traitement de surface/ décor	Commentaires	NR	NMI	B	F	P	M(g)	Phase	Datation
92	162	10 CNT s-g	O	jatte	int gris-noir, ext brun à gris-noir, fins Qz, nombreux éclats de Si mm à plurimm	lissage ext grossier, int assez fin	Vase 92-3	1	1	1	1			PRO	
92	162	10 CNT s-g	F	gobelet ?	int gris-noir, ext brun foncé, fins Qz, nombreux éclats de Si mm à plurimm	lissage int/ext grossier	Vase 92-4	1	1	1	1			PRO	
92	162	10 CNT s-g	IND		int gris-noir, ext brun foncé, fins Qz, nombreux éclats de Si mm à plurimm	lissage int/ext grossier, fgts ac traces de bouchon végétal	vrac indéterminable (dt très petits fgts non comptabilisés)	33				33		PRO	
92	162	10 CNT s-f	IND		int gris-noir, ext brun-rouge à gris-noir, fond sableux, qq éclats de Si mm	lissage int grossier, ext assez fin	dt 3 larges fgts d'un même fond	7			3	4		PRO	
92	162	10 CNT s-f	IND		int gris-noir, ext brun foncé, fins Qz, éclats de Si mm	lissage int/ext assez fin	petits fgts, même vase ?	7				7		PRO	
Total US 92								56	4				977	La Tène C/D ?	
93	163	15 CNT s-g	IND		brun-orangé à gris-noir, éclats de Si mm à plurimm	1 fgt ac décor au peigne	1 très petit fgt roulé	2				2		PRO	
93	163	15 CNT s-f	IND		brun-rouge à brun-noir, fins Qz et/ou Mi	lissage int/ext assez fin		1				1		PRO	
Total US 93								3	0				67	Protohistoire indét.	
95	294	18 CS sa	IND		int rosé, ext gris foncé, fins Qz et/ou Mi		petit fgt	1				1		GR ?	
Total US 95								1	0				7	Antique indét.	
97	—	228 CNT s-g	IND		brun clair à cœur noir, éclats de Si mm à semi-cm	lissage int/ext grossier	fgts d'un même fond épais	2			2			PRO	
Total US 97								2	0				100	Protohistoire indét.	
TOTAL								301	18	28	18	255	4 817		

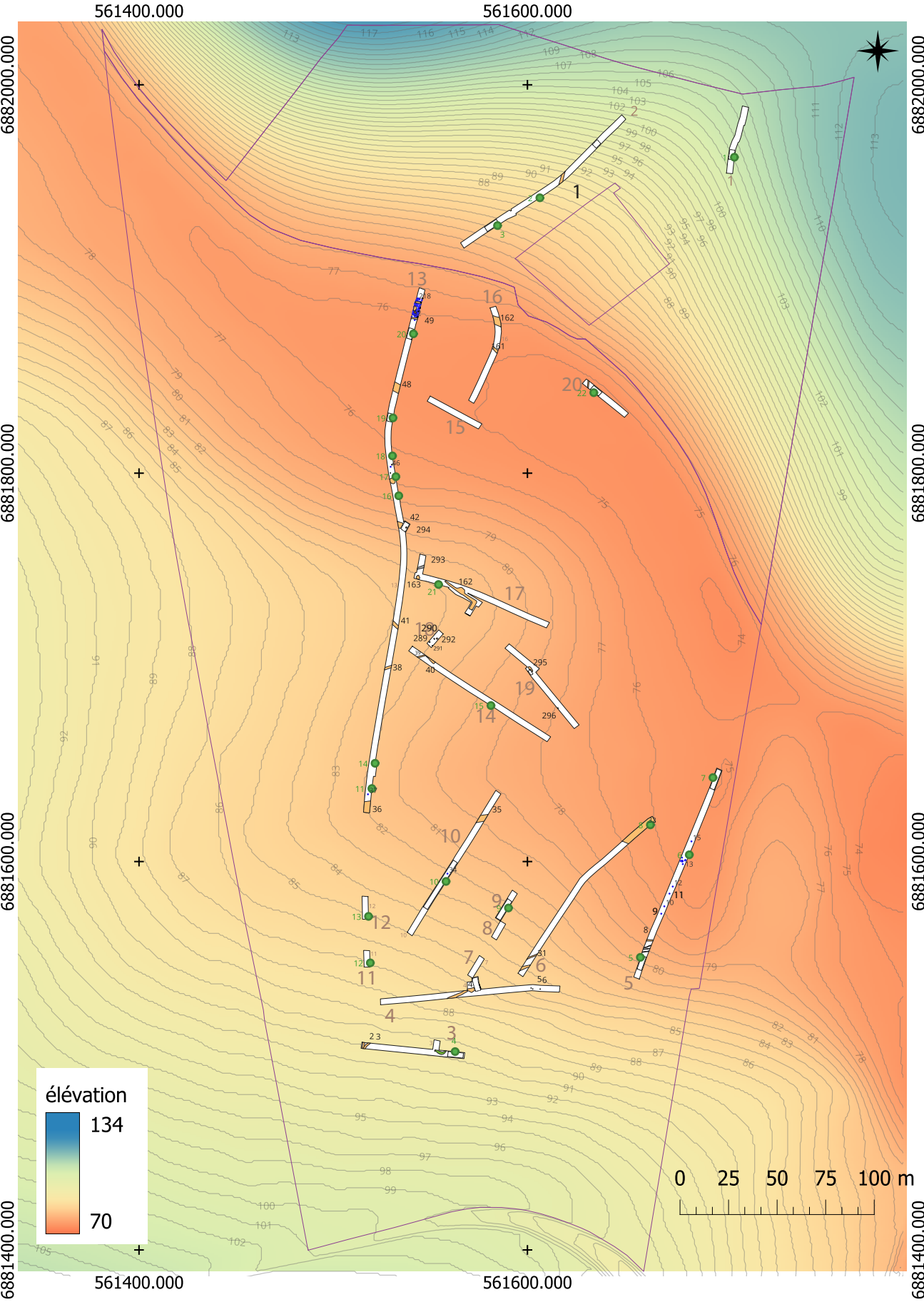




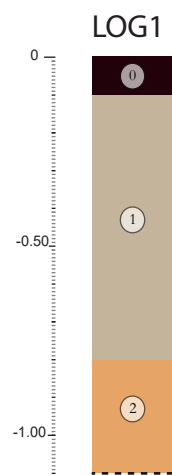
## LES LOGS







Carte de localisation des LOGS



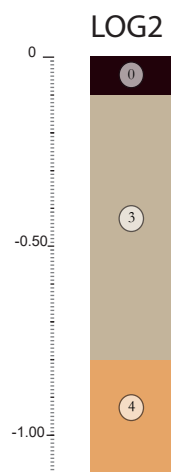
0 : humus

1 : cailloux et cailloutis de silex émoussés, roulés, dans une matrice sablo-limoneuse gris (p2?)

2 : cailloux et cailloutis de silex émoussés, roulés, dans une matrice sableuse jaune ocre à orangé, présence de gros rognons de silex en fond d'unité

100

LOG1\_Tr1

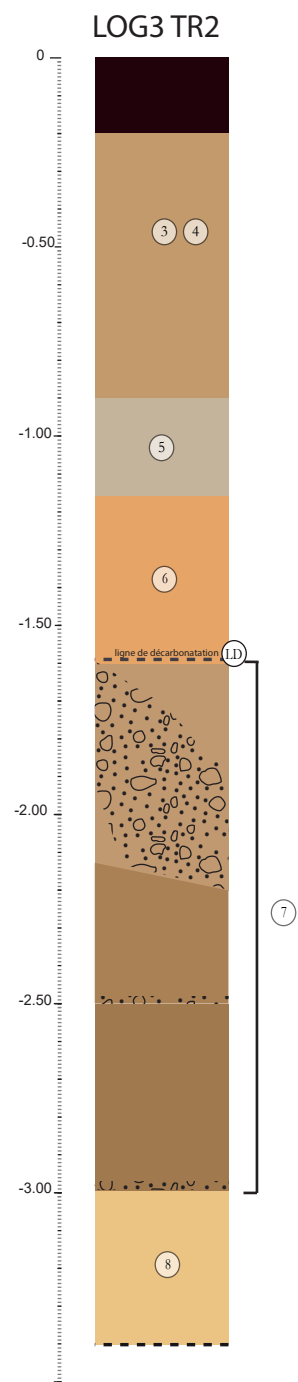


3 : cailloux et cailloutis de silex émoussés, roulés, mêlés à des rognons de silex à bords anguleux, dans une matrice de limon sableux brun (colluvion récente)

4 : rognons de silex pluricentimétriques et cailloux de silex dans une matrice sablo-limoneuse beige à gris (colluvion ancienne)

LOG2\_Tr2



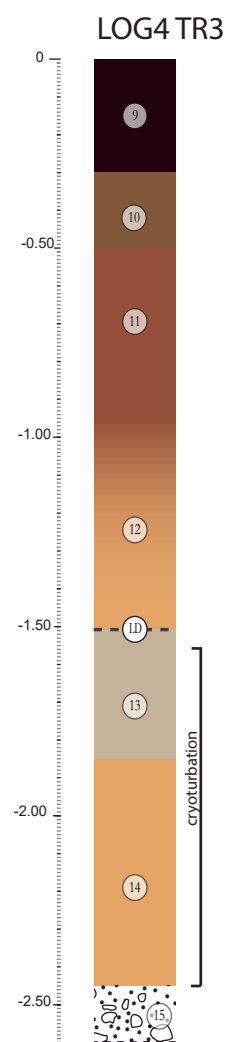
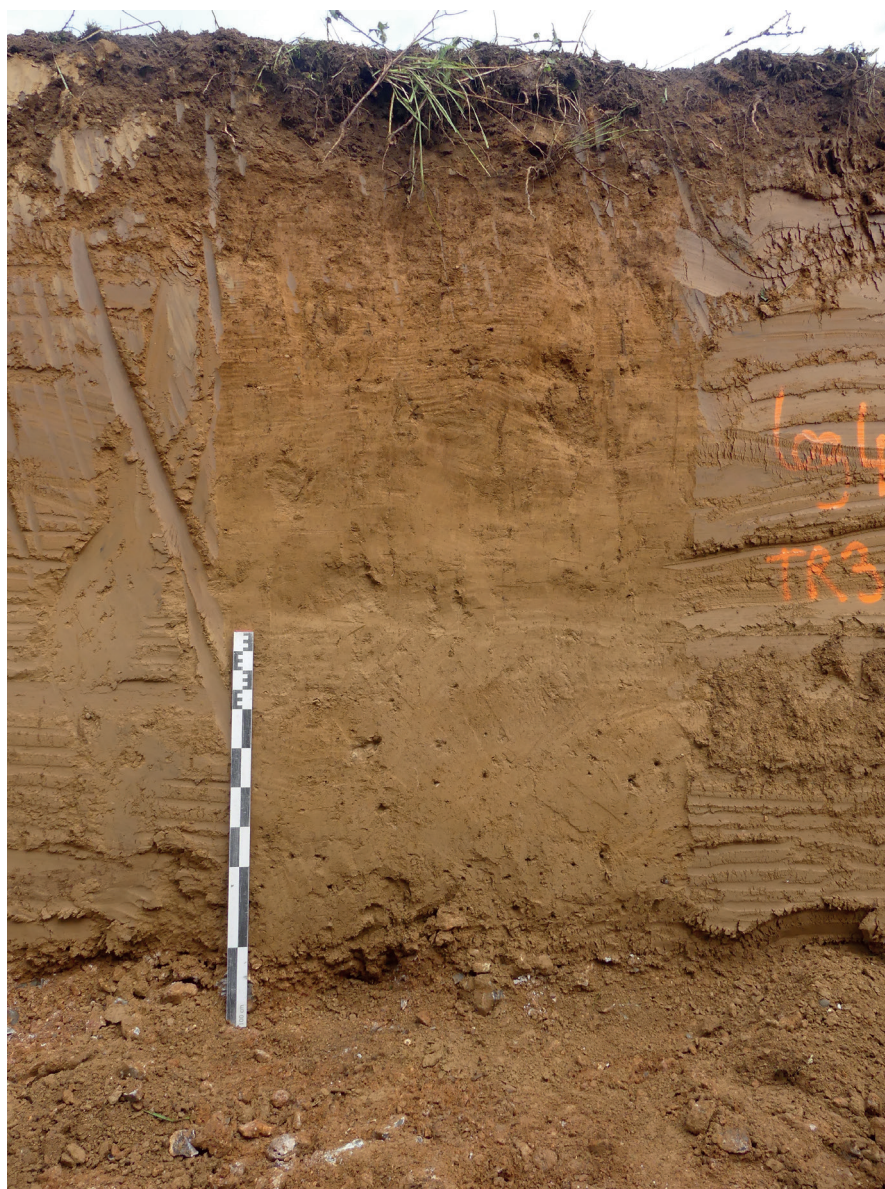


101

- 5 : mélange de limon argileux orangé et limon brun avec des inclusions de cailloux de silex anguleux (colluvion ancienne)
- 6 : limon argileux orangé à jaune, compact, inclusions de rares cailloux de silex émoussés, gélivés et cailloutis de silex (Bt sur colluvion de loess)
- 7 : alternance de limon loessique jaune carbonaté avec inclusions de cailloutis de silex millimétrique et de couches détritiques d'épaisseur variable constituées de rognons de silex émoussés provenant de l'unité 1 (glacis pliocène) [colluvions]
- 8 : loess jaunâtre, fin, lité, comportant des granules de calcite

LOG3\_Tr2



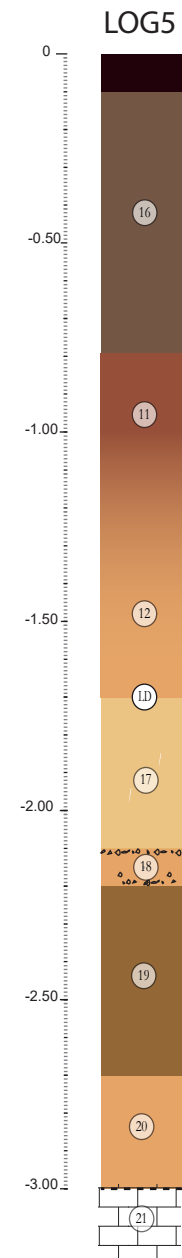
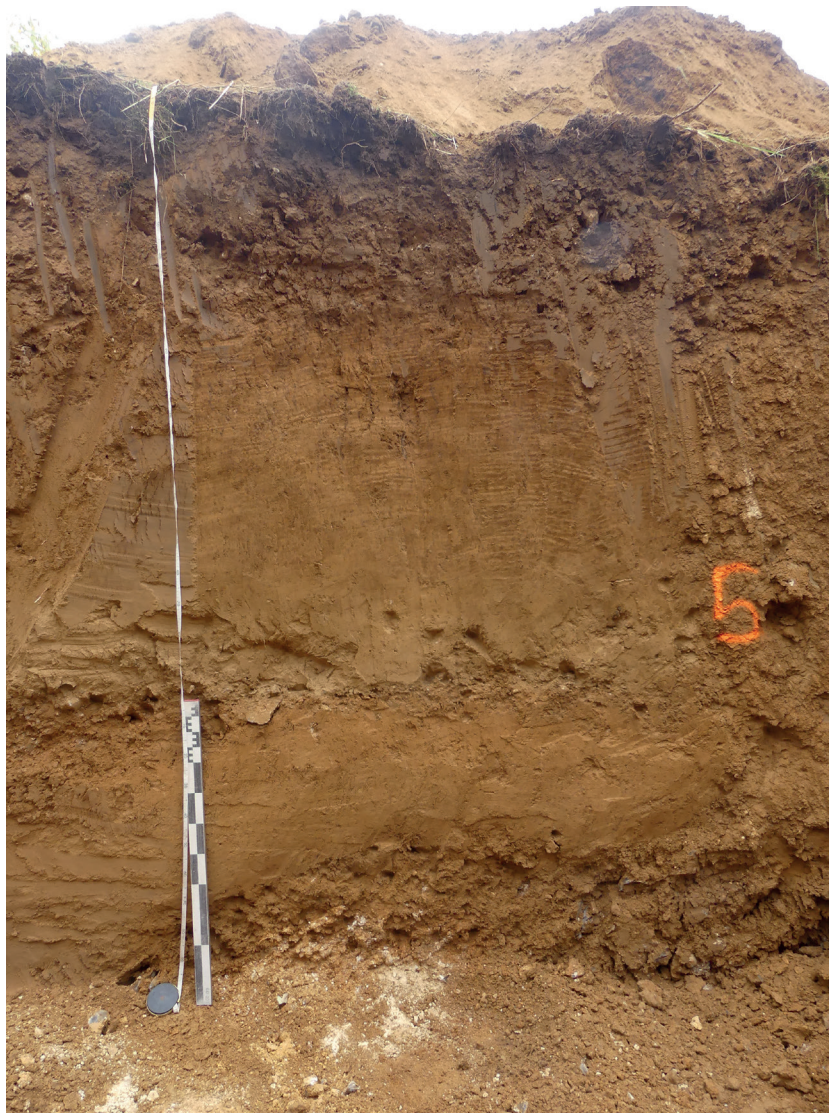


102

- 9 : limon brun meuble et cailloux de silex (horizon labouré)  
 10 : limon brun et orangé bioturbé, cailloux de silex épars (colluvion)  
 11 : limon argileux orangé à jaune pouvant comportant des graviers siliceux gélivés (Hbt sur colluvion de loess)  
 12 : loess brun-jaune-beige légèrement argileux en sommet d'unité, présence de cailloutis de silex gélivés épars (charge faible) et manganèse, exploration racinaire (colluvion de loess décarbonaté)  
 13 : limon loessique beige à gris avec charge faible de graviers siliceux, présence de manganèse (horizon cryoturbé)  
 14 : limon loessique beige à gris et limon brun orangé en forme de nid d'abeille avec charge faible de graviers siliceux, présence de manganèse (horizon cryoturbé)  
 15 : argilo-sableux orangé et rognons de silex d'aspect émoussé, roulé (bief?)

LOG4\_Tr3

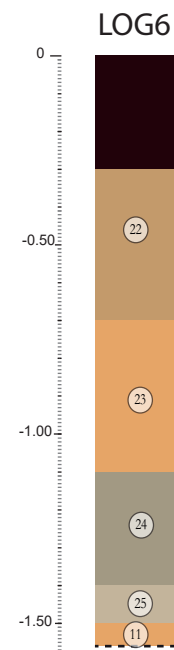




- 16 : cailloux et cailloutis de silex dans une matrice limoneuse brun (colluvion récente)  
 17 : limon loessique jaune à gris carbonaté (loess carbonaté)  
 18 : cailloux et cailloutis de silex gélivés dans matrice de limon loessique brun orangé (couche détritique)  
 19 : limon loessique brun orangé à jaune, présence de manganèse (colluvion de loess)  
 20 : cailloux et cailloutis de silex gélivés dans matrice de limon loessique brun orangé (couche détritique)  
 21 : craie pulvérulente (toit de la craie)

LOG5\_Tr5

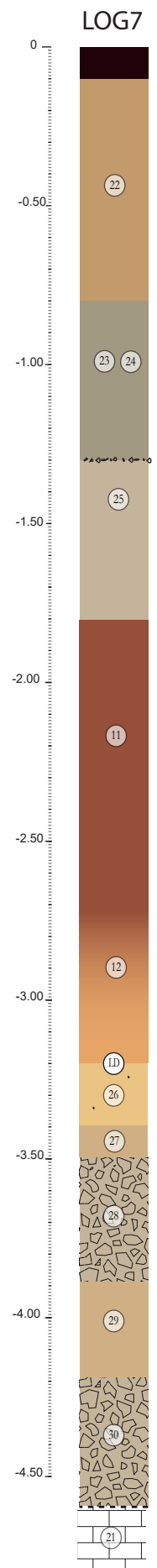
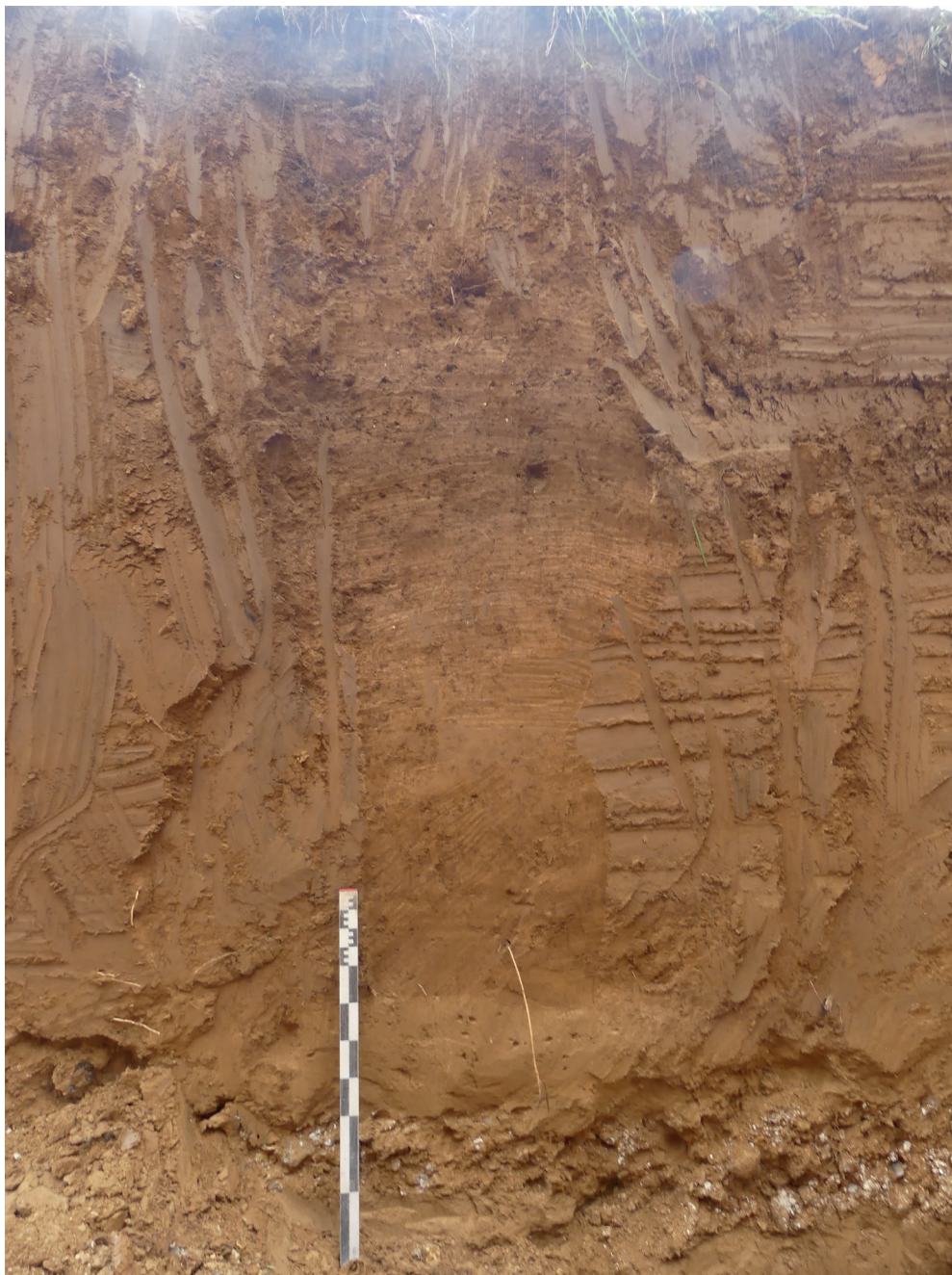
104



- 22 : limono-argileux brun avec cailloux de silex, bioturbation (colluvion récente)  
23 : limon brun homogène avec de rares silex infradécimétriques (colluvion)  
24 : limon brun-gris hydromorphe, cailloutis de silex épars (colluvion)  
25 : limon brun-gris hydromorphe, cailloutis de silex épars et mobilier lithique (colluvion)

LOG6\_Tr5

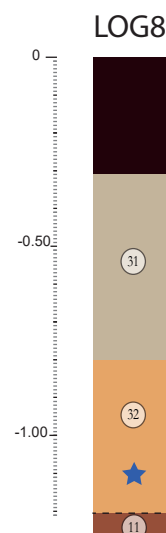




105

- 26 : limon loessique microlité, carbonaté, rares cailoutis de silex et poupées de calcite  
 27 : limons à doublets (limons à doublets)  
 28 : rognons de silex et fragments de craie dans matrice sablo-limoneuse (couche détritique)  
 29 : limon loessique microlité, passées argileuse (alluvions?)  
 30 : rognons de silex et fragments de craie dans matrice sablo-limoneuse (couche détritique)

LOG7\_Tr5



106

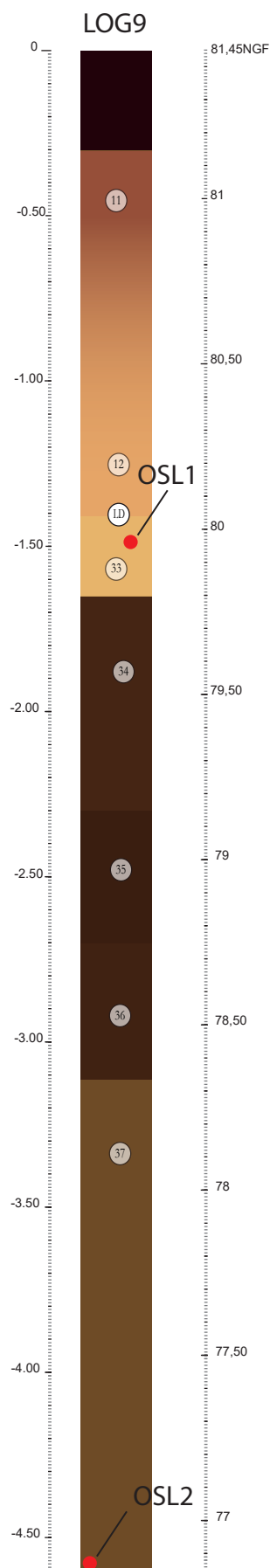
31 : limon légèrement argileux brun, charge moyenne de cailloux de silex (colluvion)  
32 : limon légèrement argileux brun-gris, comporte des éléments lithiques (colluvion)

LOG8\_Tr6



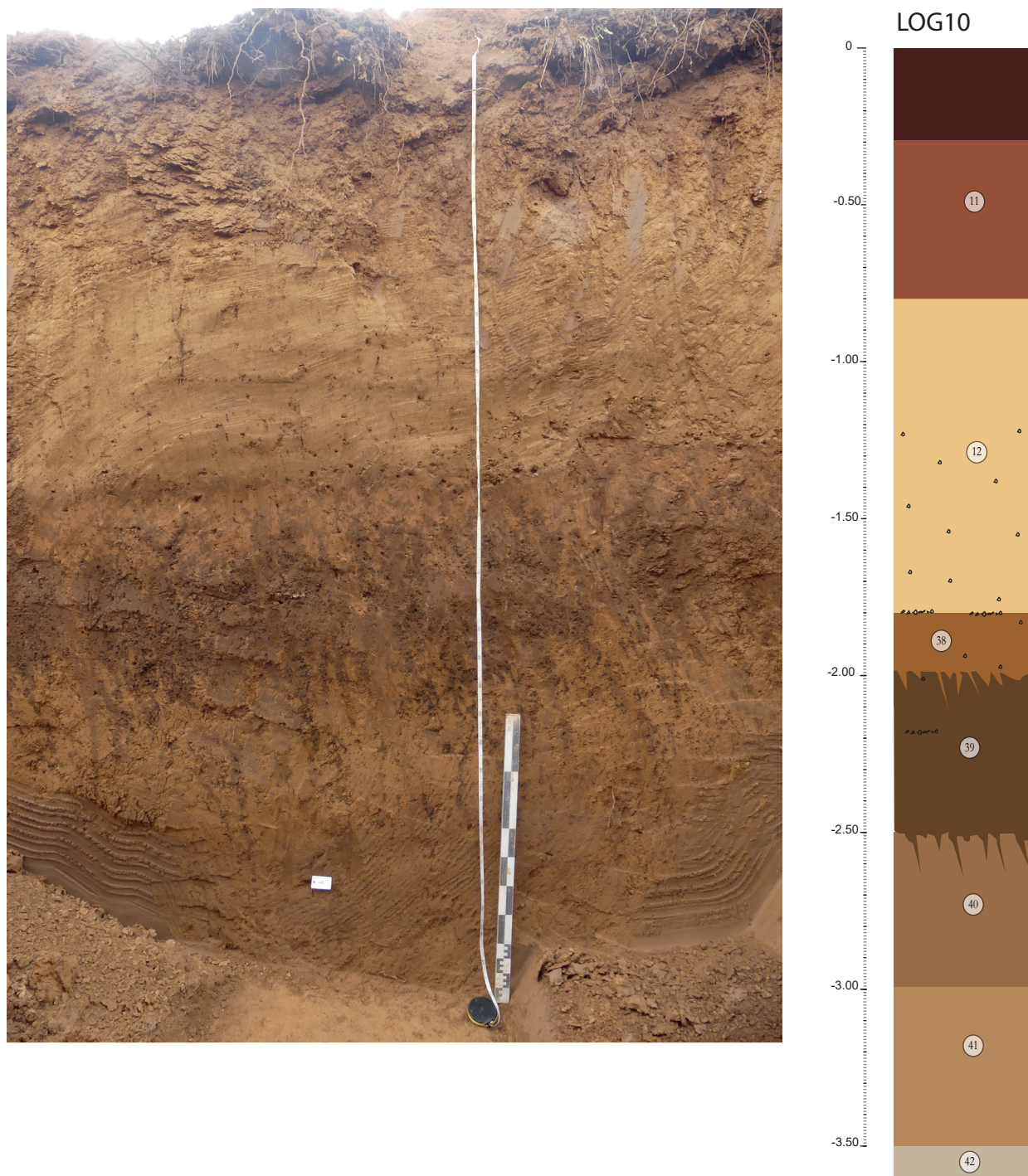


- 33 : limon loessique carbonaté avec des graviers siliceux patinés, émoussés, oxydés, présence de manganèse et de granules de calcite (colluvion de loess)
- 34 : limono-sableux jaune orangé, poches de limon gris noir, inclusions de cailloutis siliceux centimétrique, un silex taillé découvert en sommet d'unité (horizon cryoturbé)
- 35 : limon loessique gris noir avec des inclusions de gravier siliceux gélivés, patinés, émoussés (sol)
- 36 : limon loessique noir à gris à texture grumeleuse avec des inclusions de gravier siliceux gélivés, patinés, émoussés (sol)
- 37 : limono-argileux brun orangé, traces d'oxydation ferro-manganique





108



- 38 : limono-sableux jaune orangé, rares inclusions de cailloutis de silex gélivés centimétriques (phase érosive)  
 39 : limon brun noir à texture grumeleuse rares cailloutis siliceux gélivés selon une ligne discontinue (sol)  
 40 : limon argileux jaune orangé, présence de manganèse  
 41 : limon argileux brun jaunâtre, présence de manganèse  
 42 : limon argileux orangé, inclusions de cailloutis de silex gélivés centimétriques et poupées de calcite

LOG10\_Tr10



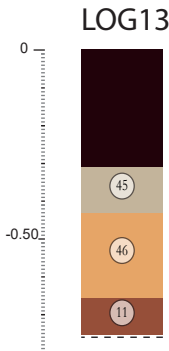
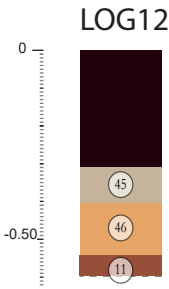


109

43 : limono-argileux brun, inclusions de cailloux et cailloutis de silex (coll.)

44 : limon gris-brun, traits d'hydromorphie, bioturbation, cailloutis de silex épars et mobilier NEO/PROTO (coll.)

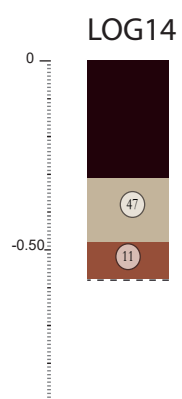
LOG11\_Tr13



- 45 : limono-argileux orangé à brun et cailloutis de silex (coll.)  
46 : limono-argileux brun-orangé et cailloutis de silex épars (coll.)

LOG12&13\_Tr11

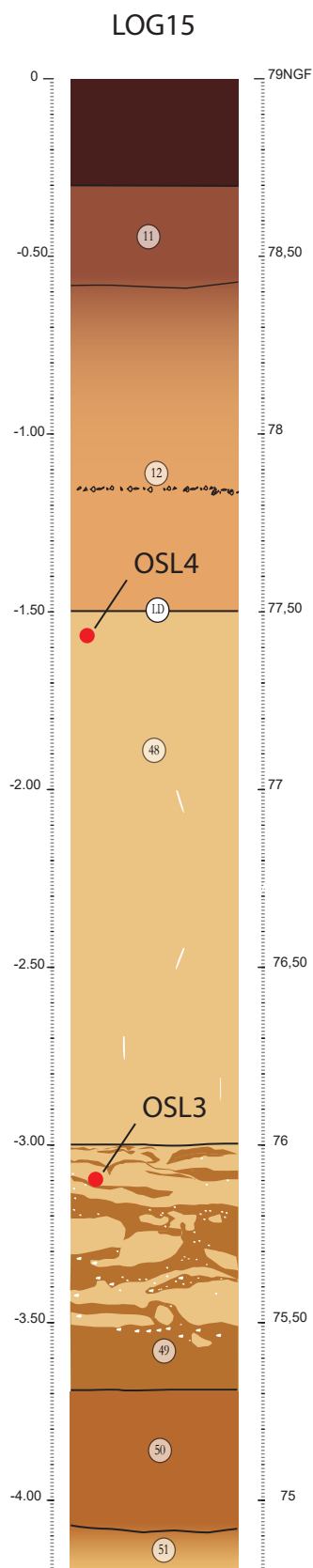




47 : limono-argileux brun à brun orangé (coll.)

LOG14\_Tr13

112



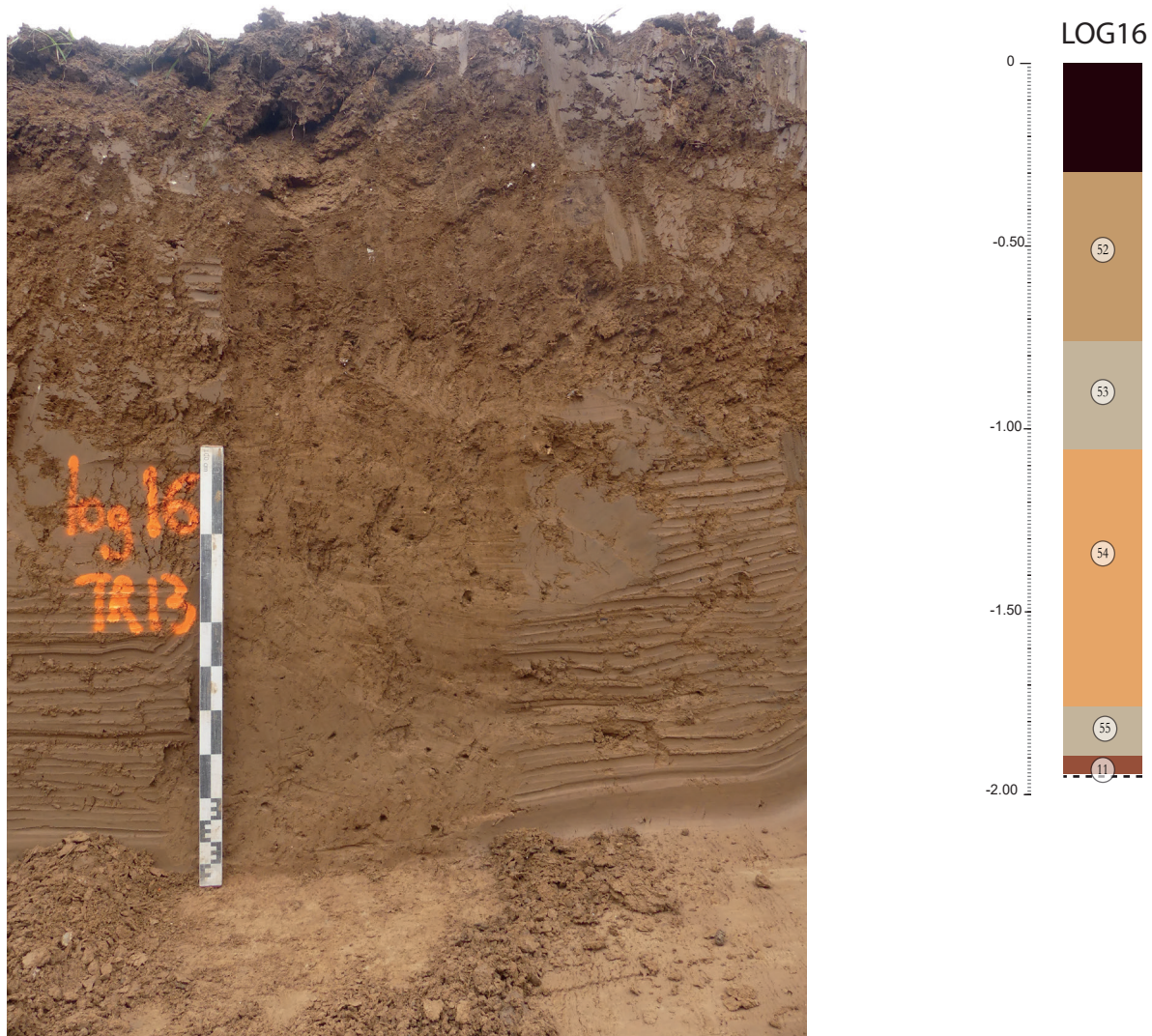
48 : loess jaune carbonaté, présence de tubulures de calcite (loess carbonaté)

49 : alternance de limon loessique gris-jaune hydromorphe et limon loessique légèrement argileux orangé, passées sableuses en partie haute, nombreux lits de cailloutis de silex centimétriques gélivés (horizon cryoturbé)

50 : limon loessique sablo-argileux orangé

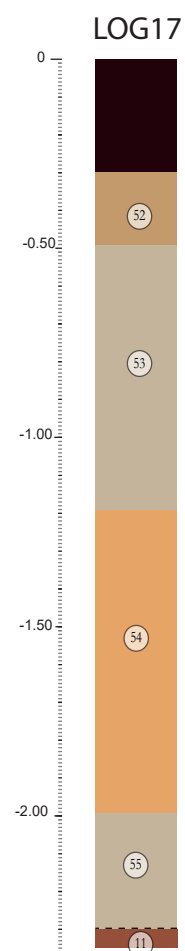
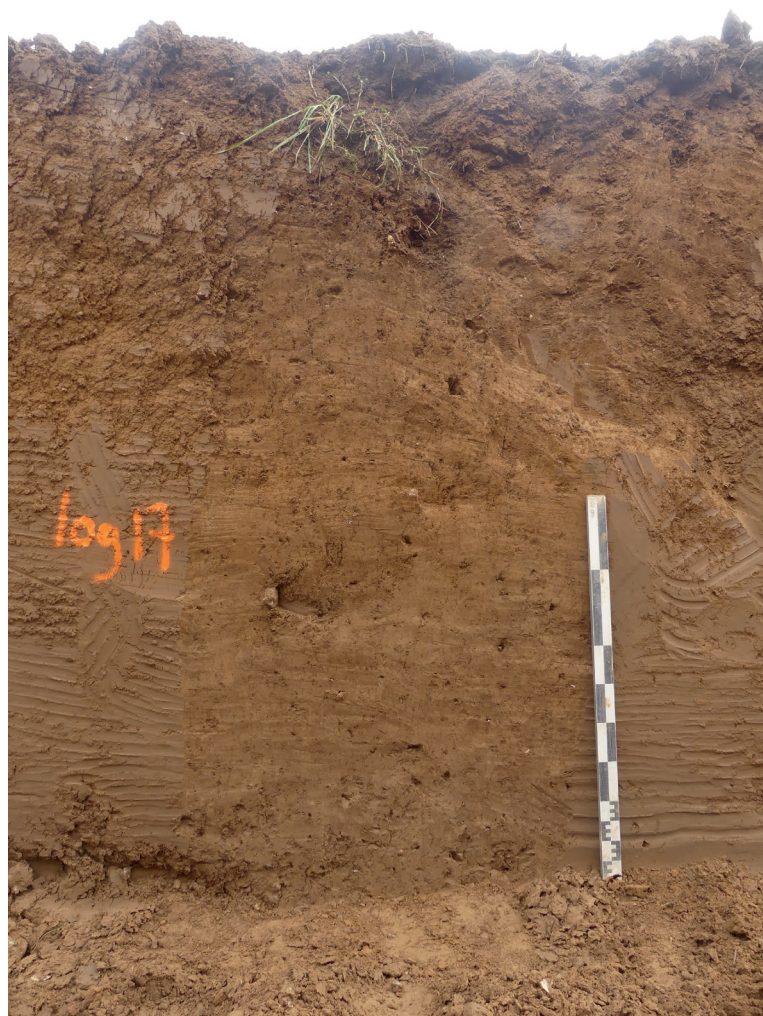
51 : limono-argilo-sableux jaunâtre transition graduelle avec unité sus-jacente





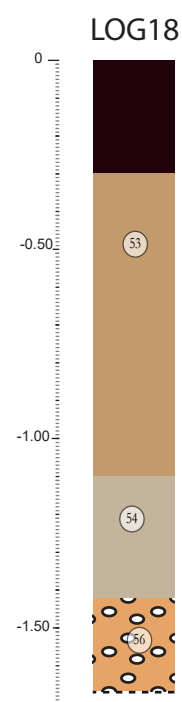
- 52 : imono-argileux brun orangé, rognons de silex et calcaire épars (coll récente)  
 53 : limono-argileux orangé brun avec cailloux et cailloutis de silex (coll récente)  
 54 : limon légèrement argileux gris-brun (coll.)  
 55 : mélange de limon argileux orangé et limon gris-beige lessivé, présence de cailloutis et points de manganèse (coll.)





114

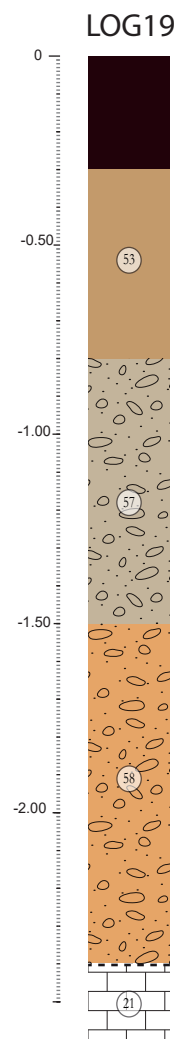
LOG17\_Tr13



56 : cailloux et rognons de silex plutôt émoussés dans matrice limoneuse brun (coll.)

LOG18\_Tr13





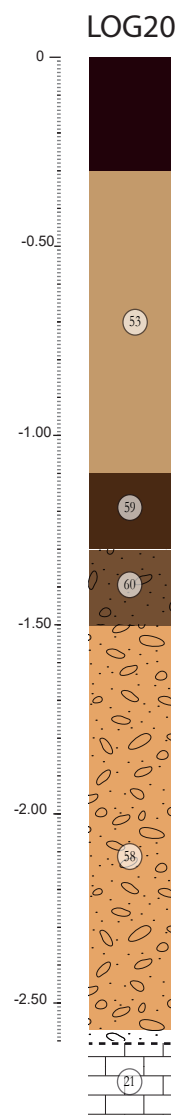
115

57 : cailloutis de silex millimétrique à centimétrique, rognons de silex émoussés et anguleux dans une matrice limono-sableuse brun (coll. ancienne)  
 58 : rognons de silex (<5-30cm>) émoussés, roulés, dépourvus de cortex et cailloutis de silex gélivé (fraction grossière et sableuse) [géo]

LOG19\_Tr13



116



59 : limon beige et cailloutis de silex gélivés (coll.)

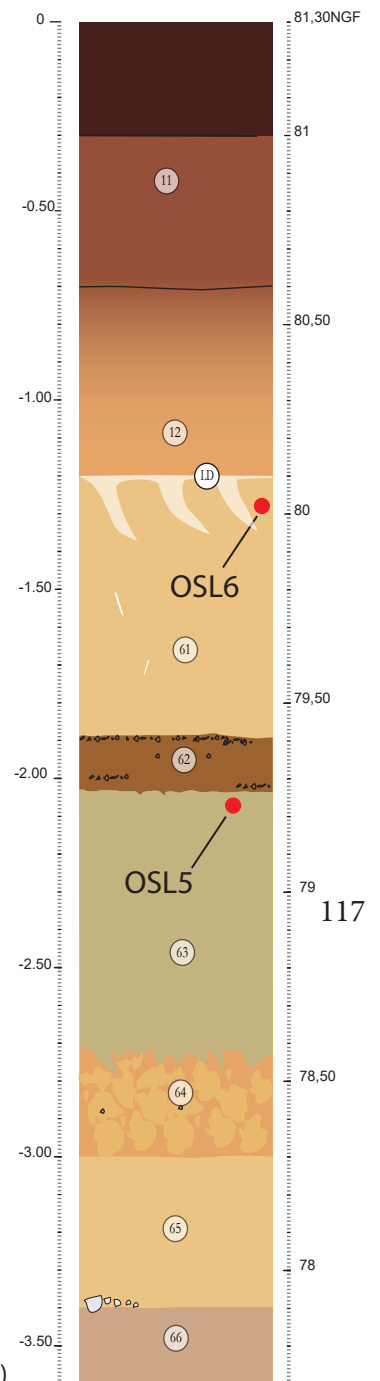
60 : épaisseur fluctuante de limon argileux orangé compact avec des inclusions de cailloutis de silex gélivés (coll.)

LOG20\_Tr13





## LOG21



61 : limon loessique jaunâtre affecté par des fentes de gel en partie supérieure, présence de manganèse jusqu'à -1,30m, de tubulures de calcite, de cailloutis épars de silex gélivés et oxydés (colluvions de loess, horizon cryoturbé)

62 : limono-sableux jaune orangé avec des litages de cailloutis de silex centimétriques gélivés (phase érosive)

63 : limon loessique brun-grisâtre légèrement argileux

64 : limon loessique jaune, argileux, ponctué d'auréoles diffuses de limon brun-gris avec de très rares cailloutis de silex centimétriques

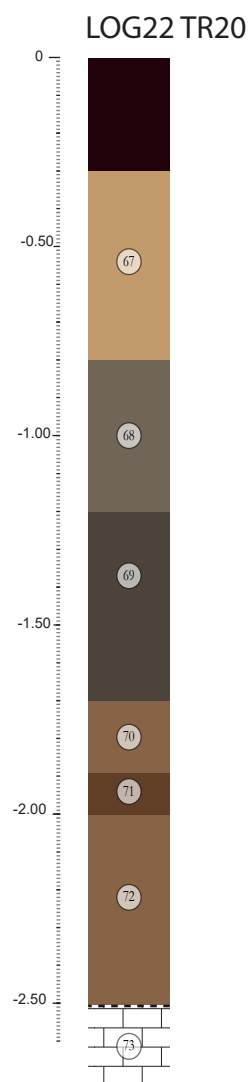
65 : limon loessique grisâtre, légèrement argileux, présence de tubulures de calcite et de très rares cailloutis de silex gélivés

66 : limon loessique grisâtre légèrement argileux, nombreux traits ou tubulures de calcite, de rognons de silex émoussés, roulés, dépourvus de cortex.

certains rognons cryofractés ont une couleur bleuté d'aspect lustré et d'autres sont cacholonnés



118



67 : limon brun légèrement argileux et cailloux de silex, présence de fragments de tuile plate (coll. récente)

68 : calloutis et cailloux de silex gélivés dans une matrice limono-argileuse brun

69 : calloutis et cailloux de silex gélivés dans une matrice de limon argilo-sableux

70 : calloutis de silex gélivés jusqu'à la fraction sableuse et silex roulés, émoussés dans une matrice argilo-sableuse orangé-rouille

71 : poche de limon loessique sableux jaune

72 : alternance de sable rouille, loess sableux jaunâtre et calloutis de silex emballés dans une gangue d'argile orangé-rouille

73 : lit de blocs de silex émoussés supérieurs à 30cm (toit du calcaire altéré)

LOG22\_Tr20

## LES INVENTAIRES





## INVENTAIRE DU LITHIQUE

US	fait	Tr	n°ordre	support	outil/retouche	nucléus	dimensions (LxIx mm)	matériau	nombre	Brûlé	Patine	état de surface	description
24	Iso 9	5	21	bloc	percuteur	/	/	silex	1	N	blanche	émoussé	Bloc plutôt plat dont le pourtour porte des stigmates de percussion
24	Iso 9	5	21	bloc	percuteur	/	/	silex	1	?	N	frais	Casson, possibles traces de percussions - fragment de nucléus ?
24	Iso 9	5	21	casson	/	/	/	silex	1	O	rougeâtre	frais	
24	Iso 9	5	21	éclat de gel ?	/	/	/	silex	3	N	2 opaque	frais	
24	Iso 10	5	22	éclat	/	/	/	silex	3	N	N	frais	Éclats partiellement corticaux, silex brun gris
24	Iso 10	5	22	éclat	retouché	/	/	silex	1	N	N	frais	Éclat cortical, silex brun gris, esquillements sur le tranchant
24	Iso 10	5	22	casson	/	/	/	silex	1	O	N	frais	Silex gris à reliquats calcitiques, format tranchet
24	Iso 10	5	22	bloc	percuteur	/	/	silex	1	N	N	frais	Bloc incomplet cassé en 2 fragments, stigmates de percussions
24	Iso 10	5	22	bloc	/	à éclats	/	silex	2	N	N	frais	Blocs géoliffés qui semblent initialement avoir servi de nucléus
24	Iso 10	5	22	casson	/	/	/	silex	4	N	N	frais	Silex gris à reliquats calcitiques
24	Iso 10	5	22	éclat	/	/	/	silex	6	N	N	frais	Fragments géoliffés
24	Iso 10	5	22	bloc	molette	/	/	grès	1	N	N	frais	3 corticaux, 3 plein débitage
24	Iso 10	5	22	bloc	/	/	/	silex	1	N	N	frais	Silex gris et silex opaque veiné rougeâtre à reliquats calcitiques
24	Iso 10	5	22	bloc	/	/	/	silex	1	N	N	frais	L'une des faces semble avoir servi : aspect poli et touché lisse
24	Iso 11	5	24	bloc	/	à éclats	/	silex	4	N	N	frais	Gros blocs pour certains géoliffés présentant des enlèvements plutôt allongés et une gestion semi tournante pour 2 d'entre eux
24	Iso 11	5	24	casson	/	/	/	silex	5	N	N	frais	Usage qui semble assez opportuniste
24	Iso 11	5	24	casson	/	/	/	silex	2	O	N	frais	Éléments fragmentés ou géoliffés provenant certainement de nucléus
24	Iso 11	5	24	éclat	/	/	/	silex	6	N	N	frais	Silex gris à reliquats calcitiques
24	Iso 13	5	25	bloc	/	/	/	silex	1	N	N	frais	Fragments brûlés
24	Iso 13	5	25	bloc	/	/	/	silex	1	N	N	frais	1 cortical, 2 partiellement cortical
24	Iso 13	5	25	bloc	/	/	/	silex	1	N	N	frais	Silex gris, 1 silex veiné rouille
24	Iso 13	5	25	bloc	/	/	/	silex	1	N	N	frais	Bloc éclaté ou géoliffé, silex gris



US	fait	Tr	n°ordre	support	outil/retoche	nucléus	dimensions (LxIx mm)	matériau	nombre	Brûlé	Patine	état de surface	description
24	Iso 13	5	25	bloc	/	à éclats	/	silex	1	N	N	frais	Bloc gélifracé, un plan de frappe semi tournant Silex gris à reliquats calcitiques
24	Iso 13	5	25	casson/éclat de gel	/	/	/	silex	5	N	N	frais	Silex gris à reliquats calcitiques
24	Iso 13	5	25	éclat	/	/	/	silex	2	O	N	frais	
24	Iso 13	5	25	éclat	/	/	/	silex	2	N	1 patine blanche	frais	1 cortical silex gris, 1 plein débitage patine blanche de format allongé
24	Iso 13	5	25	éclat	grattoir	/	/	silex	1	N	N	frais	Cortical, silex brun
24	Iso 14	5	28	éclat	/	/	/	silex	2	N	N	frais	1 petit éclat plein débitage 1 fragment d'éclat cortical
24	Iso 14	5	28	éclat	grattoir	/	/	silex	1	?	N	frais	Éclat cortical gélifracé ou fracturé ; silex présentant de nombreux reliquats calcitiques
24	Iso 15	5	30	bloc	/	à éclats	/	silex	1	N	N	frais	Cassé en 2 fragments, silex brun gris, cortex envahissant 1 éclat du lot remonte, 1 autre semble provenir du même bloc
24	Iso 15	5	30	éclat	/	/	/	silex	2	N	N	frais	Éclats corticaux Même matière première que le nucléus, celui avec plus de cortex remonte sur le bloc
24	Iso 15	5	30	éclat	/	/	/	silex	1	N	N	frais	Silex gris à reliquats calcitiques
24	Iso 15	5	30	lame	/	/	27 (inc.) x 20 x 5	silex	1	N	N	frais	Fragment de lame, plutôt rectiligne
24	Iso 25	5	40	éclat de gel	/	/	/	silex	1	N	N	frais	Silex gris à reliquats calcitiques identique aux iso 20 21 et 22
24	Iso 26	5	41	bloc	/	à éclats/ laminaire ?	/	silex	1	N	N	frais	Silex brun gris, quelques restes de cortex Dernier plan de frappe semi-tournant présentant des enlèvements allongés et 1 autre plan de frappe perpendiculaire suggérant un changement dans l'exploitation du bloc
24	Iso 27	5	42	lame	/	/	46 (inc.) x 22 x 7	silex	1	N	léger voile	frais	Fragment de lame très partiellement cortical en silex brun gris Profil très rectiligne

US	fait	Tr	n°ordre	support	outil/retouche	nucléus	dimensions (LxIx mm)	matériau	nombre	Brûlé	Patine	état de surface	description
24	Iso 29	5	44	éclat	grattoir	/	/	silex	1	O	rosée	frais	Eclat de réaménagement du plan de frappe retouché sur son extrémité distale en grattoir
25	Iso 16	5	31	éclat	/	/	/	silex	1	O	N	émoussé	Petit éclat cortical brûlé, surface adoucie émoussée
25	Iso 17	5	32	éclat de gel	/	/	/	silex	1	N	N	frais	Même matériel que les isolats alentours = même bloc nucléus géolfracté
25	Iso 18	5	33	casson/éclat de gel	/	/	/	silex	1	N	N	frais	Remonte avec iso 20 et 25
25	Iso 19	5	34	éclat	/	/	/	silex	1	N	N	frais	Cortical, cassé en 2 fragments ; remonte sur le nucléus 22
25	Iso 20	5	35	éclat de gel	/	/	/	silex	1	N	N	frais	Gros éclat de décortilage ou casson ; cortex Même matière première que iso 22, 21 et 25 ; remonte avec iso 18 et 24
25	Iso 21	5	36	éclat ?	/	/	/	silex	1	N	N	frais	Gros éclat de décortilage ou casson ; cortex Même matière première que iso 20, 22 et 25
25	Iso 22	5	37	bloc	/	à éclats	/	silex	1	N	N	frais	Silex gris à reliquats calcitiques importants (qualité médiocre), même matériel que iso 20, 21 et 25 Reste de cortex Bloc qui paraît éclaté, gestion multifaciale
25	Iso 23	5	38	éclat de gel	/	/	/	silex	1	N	N	frais	Remonte sur iso 19
25	Iso 24	5	39	bloc	/	à éclats	/	silex	1	N	N	frais	Cassé par le gel, remonte avec iso 20
25	Iso 28	5	43	éclat ? cortical	/	/	/	silex	1	N	N	frais	Silex brun gris
32	Iso 32	6	45	bloc	percuteur	à éclats ?	/	silex	1	N	N	frais	Bloc éclaté ou géolfracté ; silex gris à reliquats calcitiques
32	Iso 32	6	45	casson	/	/	/	silex	2	N	N	frais	Silex gris
32	Iso 32	6	45	éclat	/	/	/	silex	9	1	2 blanche	frais	5 corticaux Silex gris à gris bleuté

US	fait	Tr	n°ordre	support	outil/retouche	nucléus	dimensions (LxIx mm)	matériau	nombre	Brûlé	Patine	état de surface	description
34	log 9	9	232	éclat cortical allongé	/	/	/	silex	1	N	blanche face sup. et translucide à blanche face inf.	frais	
39	Iso 34	10	47	éclat	retouché ?	/	/	silex	1	N	blanche	émoussé	Petit éclat peu lisible avec la patine
41	Iso 33	10	46	éclat	retouché ?	/	/	silex	1	N	blanche	émoussé	Petit éclat de forme triangulaire très partiellement cortical, possibles retouches sur les tranchants
44	Iso 37	13	48	bloc	/	à éclats	/	silex	2	N	N	frais	1 plus net de format quadrangulaire, gestion tournante sur un plan de frappe ; l'autre présente peu d'enlèvements
44	Iso 37	13	48	casson	/	/	/	silex	2	O	N	frais	
44	Iso 37	13	48	éclat	/	/	/	silex	7	N	N	frais	Éclats plein débitage, silex gris
44	Iso 37	13	48	éclat	coche et perçoir	/	/	silex	1	N	N	émoussé	Cortical, silex brun gris 1 coche côté cortical et petites retouches sur l'extrémité distale
44	Iso 37	13	48	éclat de gestion de surface	/	/	/	silex	1	O	N	frais	Éclat latéral de réaménagement ayant emporté une partie du précédent plan de frappe
44	Iso 37	13	48	éclat	retouché ?	/	/	silex	1	?	N	émoussé	Silex gris bleuté à reliquats calcitiques
44	Iso 37	13	48	éclat	retouché	/	/	silex	1	N	N	frais	Silex brun gris, cortical Petites retouches inverses sur l'extrémité distale, possibles retouches sur les tranchants et possible enlèvement burinant au niveau du talon
54	Iso 43	13	51	bloc	/	?	/	silex	1	O	N	frais	Fragment de nucléus ?
54	Iso 43	13	51	casson	/	/	/	silex	2	N	N	frais	Fragments de nucléus ?
54	Iso 43	13	51	bloc	/	à éclats	/	silex	1	N	N	frais	Fragment de nucléus présentant au moins 2 plans de frappe opposé
55	Iso 46	13	52	bloc	perçuteur	testé ?	/	silex	1	N	N	frais	Gros bloc en silex gris avec importantes plages de reliquats calcitiques ; possibles enlèvements volontaires ; traces de percussions
55	Iso 46	13	52	casson	/	/	/	silex	1	O	gris noir	frais	Petit fragment
55	Iso 46	13	52	éclat	grattoir/denticulé	/	/	silex	1	N	opaque et points noirs	frais	Retouches sur les tranchants et retouches principales inverses au niveau du bulbe



US	fait	Tr	n°ordre	support	outil/retouche	nucléus	dimensions (LxIx mm)	matériau	nombre	Brûlé	Patine	état de surface	description
55	Iso 47	13	54	éclat	/	/	/	silex	4	O	N	émoussé	Éclats et fragments d'éclat brûlé ?
55	Iso 47	13	54	casson	/	/	/	silex	2	N	blanche	émoussé	
55	Iso 47	13	54	éclat	retouché (1)	/	/	silex	1	N	blanche	émoussé	Silex brun gris ; peu lisible, petite zone retouchée sur le tranchant gauche
55	Iso 47	13	54	éclat	retouché (2)	/	/	silex	1	N	blanche	émoussé	Retouches inverses
55	Iso 47	13	54	éclat	grattoir	/	/	silex	1	N	moucheté noir	émoussé	Retouches distales légères ; silex gris
55	Iso 47	13	54	casson	coche et retouches	/	/	silex	1	N	brune	émoussé	Petit élément, coche et extrémité retouchée
76	Iso 60	13	66	éclat cortical	retouché	/	/	silex	1	N	voile blanc	émoussé	Éclat allongé et assez épais, d'aspect roulé ; retouches sur le tranchant gauche ; pièce peut-être plus récente que le reste du corpus de ce sondage
76	Iso 84	13	89	lame	/	/	63 x 22 x 8	silex	1	N	gris blanc	frais	Profil légèrement courbe ; percussion directe dure ? ; silex à reliquats calcitiques ; concrétions calcaires face inf.
77	Iso 50	13	55	lame	/	/	84 x 30 x 10	silex	1	N	bleutée	frais	Fracturée au décapage Plutôt plate mais avec une irrégularité "en escalier" face inf. ; possible percussion dure
77	Iso 50	13	55	lamelle	/	/	24 (inc) x 14 x 3	silex	1	N	N	frais	Silex gris noir de bonne facture Profil rectiligne
77	Iso 50	13	55	éclat allongé	/	/	/	silex	1	N	N	frais	Fin et cortical, silex noir translucide
77	Iso 50	13	55	éclat	/	/	/	silex	2	N	blanche	frais	1 fragment d'éclat et 1 de format plutôt allongé
77	Iso 50	13	55	casson	/	/	/	silex	1	N	blanche	frais	
77	Iso 50	13	55	éclat	/	/	/	silex	5	O	N	frais	1 éclat et 4 petits fragments brûlés
77	Iso 50	13	56	éclat	/	/	/	grès	2	?	N	frais	Aspect rosé par place lié au feu ? Concrétions calcaires en surface des pièces
77	Iso 51	13	57	éclat cortical	/	/	/	silex	1	N	bleutée face sup. et blanche bleutée face inf.	frais	Grand éclat cortical de décortilage ; concrétions calcaires face inf.

US	fait	Tr	n°ordre	support	outil/retouche	nucléus	dimensions (Lxlxe mm)	matériau	nombre	Brûlé	Patine	état de surface	description
77	Iso 52	13	58	éclat cortical	/	/	/	silex	1	O	Blanche bleutée	surface lisse mais tranchants frais	
77	Iso 53	13	59	éclat	/	/	/	silex	1	O	N	frais	Fragment d'éclat ou plus probablement de lame ; 1 cassure fraîche et 1 cassure volontaire ou liée au feu ? Pourrait correspondre à une volonté d'armature
77	Iso 54	13	60	lamelle	/	/	32 (inc.) x 15 x 3	silex	1	N	blanche translucide	frais	Cassure fraîche Profil plutôt rectiligne, 3 pans - percussion directe minérale tendre ?
77	Iso 55	13	61	lamelle	/	/	48 (inc.) x 15 x 4	silex	1	N	bleutée	frais	Cassure fraîche Profil plutôt rectiligne ; 2 pans - percussion directe minérale tendre ?
77	Iso 56	13	62	lame corticale	/	/	71 (inc.) x 24 x 9	silex	1	N	bleutée	frais	Manque talon ; épaisse ; 2 pans Profil légèrement courbe
77	Iso 57	13	63	lame	/	/	72 x 30 x 11	silex	1	O	rougeâtre et brune	frais	Enlèvement lié au feu au niveau du bulbe ; épaisse ; profil légèrement courbe ; 3 pans
77	Iso 58	13	64	éclat	/	/	/	silex	1	N	blanche	frais	Petit éclat plein débitage
77	Iso 59	13	65	éclat	/	/	/	silex	1	N	blanche	frais	Petit éclat plein débitage
77	Iso 62	13	67	éclat	/	/	/	silex	1	N	gris opaque	frais	Petit éclat plein débitage ; quelques concrétions calcaires en surface
77	Iso 63	13	68	éclat de gel ?	/	/	/	silex	1	N	blanche	frais	Cortical Silex gris à reliquats calcitiques
77	Iso 64	13	69	éclat cortical	/	/	/	silex	1	N	Blanche bleutée	frais	Petit éclat
77	Iso 64	13	69	éclat de gel	/	/	/	silex	1	N	blanche	émoussé	
77	Iso 65	13	70	casson	/	/	/	silex	1	N	Blanche bleutée	frais	Lié à éclatement ?
77	Iso 66	13	71	casson	/	/	/	silex	1	N	Blanche bleutée	émoussé	Petit élément épais et cortical
77	Iso 67	13	72	lame corticale	/	/	37 (inc.) x 18 x 5	silex	1	N	Blanche bleutée	frais	Cassure fraîche ; profil courbe ; 2 pans
77	Iso 68	13	73	éclat de gel ?	/	/	/	silex	1	N	blanche	frais	Cortical, points de manganèse

US	fait	Tr	n°ordre	support	outil/retouche	nucléus	dimensions (LxIx mm)	matériau	nombre	Brûlé	Patine	état de surface	description
77	Iso 69	13	74	éclat	/	/	/	silex	1	N	N	frais	Petit éclat allongé de réaménagement du plan de frappe ?
77	Iso 70	13	75	casson	/	/	/	silex	1	N	blanche	frais	Cortical, points de manganèse
77	Iso 71	13	76	casson	/	/	/	silex	1	N	blanche	frais	
77	Iso 72	13	77	éclat	/	/	/	silex	1	N	blanche	émoussé	Petit élément, surface lisse, concrétions calcaires face sup.
77	Iso 73	13	78	éclat de gel	/	/	/	silex	1	?	blanche	frais	Cortical ; éclat de gel ou lié au feu
77	Iso 74	13	79	lame corticale	/	/	128 x 30 x 9	silex	1	N	blanche face inf. et bleutée face sup.	frais	Grande lame courbe avec petite zone de cortex résiduel ; points de manganèse face inf. ; 3 pans
77	Iso 75	13	80	casson	/	/	/	silex	1	N	blanche	frais	Fragment d'éclat ?
77	Iso 76	13	81	éclat	/	/	/	silex	1	N	bleutée	frais	Petit éclat ; points de manganèse face inf.
77	Iso 77	13	82	casson	/	/	/	silex	1	N	N	frais	Fragment d'éclat ? - cortical
77	Iso 78	13	83	éclat cortical/gel ?	/	/	/	silex	1	N	Blanche bleutée	frais	
77	Iso 79	13	84	éclat cortical	/	/	/	silex	1	O	gris rosé	frais	Partiellement cortical
77	Iso 80	13	85	éclat	/	/	/	silex	2	N	blanche	frais	1 petit éclat/esquille avec points de manganèse face sup. 1 fragment d'éclat, cassure ancienne ou gel
77	Iso 81	13	86	éclat de gel	/	/	/	silex	1	N	blanche	frais	Cortical
77	Iso 82	13	87	lame	/	/	48 (inc.) x 23 x 9	silex	1	O	grise/translucide	frais	Manque partie proximale ; profil rectiligne ; 3 pans
77	Iso 85	13	90	éclat cortical	/	/	/	silex	1	N	bleuté/voile	frais	Points de manganèse face sup.
77	Iso 86	13	91	éclat cortical	/	/	/	silex	1	N	blanche	frais	Silex à reliquats calcitiques ; points de manganèse face inf.
77	Iso 87	13	92	lame	/	/	45 x 23 x 8	silex	1	N	gris blanc	frais	Profil plutôt rectiligne ; 3 pans ; points de manganèse face inf.
77	Iso 88	13	93	éclat cortical	/	/	/	silex	1	?	bleutée	frais	Silex gris noir



US	fait	Tr	n°ordre	support	outil/retoche	nucléus	dimensions (Lxlxe mm)	matériau	nombre	Brûlé	Patine	état de surface	description
77	Iso 89	13	94	lamelle corticale	/	/	47 (inc.) x 9 x 5	silex	1	N	bleutée	frais	Silex noir ; 3 pans
77	Iso 90	13	95	éclat cortical	/	/	/	silex	1	N	blanche	frais	Eclat de réaménagement du plan de frappe
77	Iso 91	13	96	éclat	/	/	/	silex	1	N	blanche	frais	Petit éclat
77	Iso 92	13	97	éclat	/	/	/	silex	1	?	blanche	frais	Cassure fraîche
77	Iso 93	13	98	éclat cortical	/	/	/	silex	1	N	blanche	frais	Géode interne
77	Iso 94	13	99	éclat allongé	burin	/	/	silex	1	?	voile	frais	Silex brun gris à reliquats calcitiques ; enlèvement burinant sur le tranchant droit
77	Iso 95	13	100	éclat allongé	/	/	/	silex	1	N	blanche face inf. et bleutée face sup.	frais	Eclat montrant des enlèvements laminaires précédents et suggérant un débitage à deux plans de frappe opposé
77	passé sous St 49	13	226	éclat cortical	/	/	/	silex	1	?	translucide	frais	Petit fragment d'éclat, silex gris
77	passé sous St 49	13	226	lame	/	/	71 x 20 x 8	silex	1	N	bleutée	frais	Profil courbe, régulière ; terminaison en pointe
77	passé sous St 49	13	226	lame	/	/	37 (inc.) x 16 x 5	silex	1	N	translucide	frais	Cassure fraîche, silex brun gris
77	passé sous St 49	13	226	lame (proximal)	/	/	/	silex	1	N	blanche	frais	Cassure fraîche
78	Iso 96	13	101	éclat	/	/	/	silex	1	N	blanche	frais	Fragment de lamelle ?
78	Iso 97	13	102	éclat cortical	/	/	/	silex	1	N	voile	frais	Cassé en 2 fragments
78	Iso 98	13	103	lame	/	/	51 (inc.) x 26 x 6	silex	1	N	voile à blanche	frais	Cassé en 2 fragments et fractures fraîches ; profil rectiligne
78	Iso 99	13	104	lame	utilisation	/	79 x 22 x 9	silex	1	N	bleutée	frais	Lame régulière et rectiligne ; esquillement des tranchants correspondant à des retouches ou retouches d'utilisation ; 3 pans ; percussion à la pierre tendre
78	Iso 100	13	105	lame (proximal)	/	/	25 (inc.) x 31 x 10	silex	1	N	Blanche bleutée	frais	Cassure ancienne

US	fait	Tr	n°ordre	support	outil/retouche	nucléus	dimensions (LxIx mm)	matériau	nombre	Brûlé	Patine	état de surface	description
78	Iso 101	13	106	lame corticale	/	/	64 x 23 x 14	silex	1	N	Blanche bleutée	frais	Lame courbe et fine au niveau proximal et qui s'épaissit en partie distale
78	Iso 101	13	106	casson ?	/	/	/	silex	1	N	N	émoussé	Silex brun, cortical
78	Iso 102	13	107	lame corticale	/	/	81 x 30 x 9	silex	1	N	Blanche bleutée	frais	Cassé en 3 fragments, cassures fraîches, silex brun gris ; profil courbe
78	Iso 102	13	107	casson	/	/	/	silex	1	N	N	frais	
78	Iso 103	13	108	éclat	/	/	/	silex	1	N	N	frais	
78	Iso 104	13	109	lame corticale	/	/	72 (inc.) x 34 x 11	silex	1	N	gris blanc	frais	Cassure fraîche, manque extrémité proximale, silex gris ; profil légèrement courbe ; 2 pans ; concrétions calcaires
78	Iso 105	13	110	lame	/	/	108 x 35 x 10	silex	1	N	Blanche bleutée	frais	Lame d'initialisation, sous crête ? Profil courbe ; concrétions calcaires face sup ; cassure fraîche au niveau du talon : silex gris brun
78	Iso 106	13	111	lame (proximal)	/	/	/	silex	1	N	Blanche bleutée	frais	Cassure fraîche, silex gris ; profil rectiligne ; percussion à la pierre tendre
78	Iso 107	13	112	bloc	/	testé/à lames	/	silex	1	N	bleutée	frais	Rognon de silex cortical allongé à deux plans de frappe opposés ; arrêt rapide du débitage après enlèvements de quelques éclats allongés sur les plans
78	Iso 108	13	113	lamelle corticale	/	/	20 (inc.) x 13 x 3	silex	1	N	gris blanc	frais	Cassure fraîche, silex brun ; profil rectiligne ; 3 pans
78	Iso 109	13	114	éclat cortical	/	/	/	silex	1	N	Blanche bleutée	frais	Gros éclat cortical
78	Iso 110	13	115	éclat	/	/	/	silex	1	N	translucide	frais	Cassure fraîche, silex brun
78	Iso 111	13	116	lamelle	/	/	20 (inc.) x 12 x 4	silex	1	N	blanche	frais	Cassure fraîche, silex gris ; profil rectiligne
78	Iso 112	13	117	éclat cortical	/	/	/	silex	1	N	translucide	frais	Modalité de taille laminaire ?
78	Iso 113	13	118	lame	/	/	64 x 23 x 7	silex	1	N	gris blanc	frais	Très partiellement corticale ; profil légèrement torse/courbe
78	Iso 114	13	119	lame corticale	/	/	26 x 19 x 6	silex	1	N	blanche	frais	Loupé de lame ? - rebroussé
78	Iso 115	13	120	éclat	/	/	/	silex	1	N	blanche	frais	Petit éclat allongé
78	Iso 115	13	120	éclat	retouché	/	/	silex	1	N	bleutée	frais	Retouches sur le tranchant ? Cassure fraîche, silex gris ; possible distal de lamelle

US	fait	Tr	n°ordre	support	outil/retouche	nucléus	dimensions (LxIx mm)	matériau	nombre	Brûlé	Patine	état de surface	description
78	Iso 116	13	121	éclat	/	/	/	silex	2	N	bleutée	frais	
78	Iso 116	13	121	éclat cortical	/	/	/	silex	1	N	translucide	frais	Petit éclat
78	Iso 118	13	123	éclat	/	/	/	silex	1	N	gris blanc	frais	Très partiellement cortical
78	Iso 119	13	124	éclat	/	/	/	silex	1	N	gris blanc	frais	
78	Iso 120	13	125	éclat cortical	/	/	/	silex	1	N	blanche	frais	
78	Iso 121	13	126	bloc	/	à lames	/	silex	1	?	bleutés	frais	Format allongé prismatique à cylindrique ; deux plans de frappe opposés ; éclatement du bloc sur le dos de la pièce ; concrétions calcaires
78	Iso 122	13	127	chute de burin	/	/	/	silex	1	N	N	frais	Silex brun
78	Iso 124	13	129	éclat allongé	/	/	/	silex	1	N	Blanche bleutée	frais	Cassure fraîche, silex gris
78	Iso 125	13	130	lame (proximal)	/	/	/	silex	1	O	rosée blanche	frais	Cassures fraîche et ancienne ; semble correspondre à un proximal de lame
78	Iso 126	13	131	éclat allongé	burin ?	/	/	silex	1	N	bleutée	frais	Enlèvement burinant pour dégager une pointe distale ou fracture ancienne ? Points de manganèse
78	Iso 128	13	133	éclat	/	/	/	silex	1	N	Blanche bleutée	frais	Cassé en deux fragments ; silex gris
78	Iso 129	13	134	éclat de gel	/	/	/	silex	1	N	Blanche	frais	Cortical
78	Iso 131	13	136	éclat cortical	/	/	/	silex	1	N	Blanche	frais	
78	Iso 135	13	140	éclat allongé	/	/	/	silex	1	N	translucide à blanche	frais	Très partiellement cortical ; quelques concrétions calcaires ; très fin
78	Iso 136	13	141	casson	/	/	/	silex	1	N	blanche	émoussé	Concrétions calcaires
78	Iso 138	13	143	éclat cortical	/	/	/	silex	1	N	blanche	frais	Cassure fraîche, silex brun
78	Iso 145	13	149	éclat	/	/	/	silex	1	N	Blanche bleutée	frais	Éclat fracturé anciennement ; matière première à reliquats calcitiques importants
78	Iso 146	13	150	éclat cortical	/	/	/	silex	1	N	gris blanc	frais	



US	fait	Tr	n°ordre	support	outil/retouche	nucléus	dimensions (Lxlxe mm)	matériau	nombre	Brûlé	Patine	état de surface	description
78	Iso 148	13	152	éclat cortical	/	/	/	silex	1	N	gris blanc	frais	Partiellement cortical
78	Iso 149	13	153	éclat	/	/	/	silex	1	N	blanche	frais	Fragment d'éclat, cassure ancienne ; cassé en 2 fragments
78	Iso 150	13	154	éclat de gel	/	/	/	silex	1	N	blanche	frais	Partiellement cortical
78	Iso 156	13	159	lamelle ?	/	/	/	silex	1	N	blanche	frais	Cassures fraîches, silex brun ; fragment de lamelle ?
78	Iso 159	13	162	chute de burin	/	/	/	silex	1	N	blanche	frais	
78	Iso 177	13	174	lamelle	/	/	26 x 11 x 2,5	silex	1	N	Blanche bleutée	frais	Profil plutôt rectiligne
79	Iso 117	13	122	bloc	/	à lames	/	silex	1	N	Blanche bleutée	frais	Bloc prismatique ; gestion semi tournante ; à exhaustion, défauts interne ayant généré éclatements ? - plus de convexités
79	Iso 123	13	128	lame	/	/	38 x 30 x 7	silex	1	N	gris blanc	frais	Loupé de lame - rebroussé
79	Iso 127	13	132	éclat cortical	/	/	/	silex	1	N	translucide et bleutée opaque	frais	Gros éclat
79	Iso 130	13	135	éclat cortical	/	/	/	silex	1	O	gris rosé	émoussé	
79	Iso 130	13	135	éclat cortical	/	/	/	silex	4	N	bleutée	frais	Fragments d'éclats, cassures fraîches, silex brun
79	Iso 130	13	135	lame (proximal)	/	/	/	silex	1	N	translucide à gris	frais	Loupé de lame ? Points de manganèse
79	Iso 130	13	135	lamelle	/	/	24 (inc.) x 10 x 4	silex	1	N	Blanche	frais	Cassure fraîche, silex gris ; profil légèrement courbe ; concrétions calcaires et manganèse
79	Iso 130	13	135	lame corticale	/	/	68 x 22 x 6	silex	1	N	translucide à bleutée	frais	Profil rectiligne ; 3 pans ; cassée en deux fragments, silex gris
79	Iso 130	13	135	lame	retouché	/	96 x 21 x 6	silex	1	?	translucide	frais	Cassée en 3 fragments Possibles retouches sur l'extrémité distale et utilisation des tranchants ? Profil rectiligne ; concrétions calcaire et manganèse
79	Iso 132	13	137	éclat cortical	/	/	/	silex	1	N	Blanche bleutée	frais	

US	fait	Tr	n°ordre	support	outil/retouche	nucléus	dimensions (Lxlxe mm)	matériau	nombre	Brûlé	Patine	état de surface	description
79	Iso 133	13	138	éclat	/	/	/	silex	1	N	Blanche bleutée	frais	Concrétions calcaires
79	Iso 134	13	139	bloc	/	à lames ?	/	silex	1	N	Blanche bleutée	frais	Bloc prismatique à vocation certainement laminaire, 1 plan de frappe ; matière première présentant de nombreuses irrégularités internes ; même type de silex et de volume que iso 130
79	Iso 137	13	142	lame	/	/	/	silex	1	N	translucide	frais	Fragment de lame ?
79	Iso 139	13	144	lamelle	/	/	45 (inc.) x 13 x 3	silex	1	N	translucide	frais	Cassure fraîche, silex gris, manque extrémité proximale ; profil rectiligne
79	Iso 140	13	145	lame	/	/	81 x 32 x 10	silex	1	N	Blanche bleutée	frais	Profil légèrement courbe ; concrétions calcaires et points de manganèse
79	Iso 140	13	145	casson	/	/	/	silex	1	N	blanche	frais	Petit élément avec concrétions calcaires
79	Iso 141	13	146	éclat cortical	retouché/ grattoir ?	/	/	silex	1	N	N	frais	Petit éclat silex brun gris, retouches discrètes sur le tranchant droit
79	Iso 142	13	147	éclat cortical	/	/	/	silex	1	N	translucide	frais	Cassure fraîche, silex brun
79	Iso 143	13	148	éclat cortical	/	/	/	silex	1	N	Blanche bleutée	frais	
79	Iso 147	13	151	lamelle	/	/	/	silex	1	N	blanche	frais	Proximal de lamelle, cassure ancienne
79	Iso 151	13	155	éclat cortical	/	/	/	silex	1	N	Blanche bleutée	frais	Concrétions calcaires face inf.
79	Iso 153	13	156	éclat cortical	/	/	/	silex	1	N	blanche	émoussé	Petit éclat
79	Iso 154	13	157	lame corticale	/	/	/	silex	1	N	translucide à blanche	frais	Cassure fraîche, silex brun gris ; reste partie proximale
79	Iso 155	13	158	lame corticale	/	/	69 x 26 x 7	silex	1	N	grise à blanche	frais	Cassure ancienne, manque extrémité distale ; profil courbe ; concrétions calcaires
79	Iso 157	13	160	éclat	/	/	/	silex	1	N	translucide à blanche	frais	Lié à débitage laminaire
79	Iso 158	13	161	tablette	/	/	/	silex	1	N	blanche	frais	Éclat épais de ravivage du plan de frappe ? Silex à importants reliquats calcitiques ; forte concrétion calcaire

US	fait	Tr	n°ordre	support	outil/retoche	nucléus	dimensions (LxIxe mm)	matériau	nombre	Brûlé	Patine	état de surface	description
79	Iso 160	13	163	lame corticale (proximal)	/	/	/	silex	1	N	bleutée	frais	Cassure ancienne
79	Iso 165	13	165	casson	/	/	/	silex	1	N	blanche	frais	Cortical
79	Iso 166	13	166	casson	/	/	/	silex	1	N	blanche	frais	Cortical
79	Iso 167	13	167	lame	coche ?	/	/	silex	1	N	bleutée	frais	Cassure ancienne ; reste partie proximale ; concrétions calcaires
79	Iso 168	13	168	éclat cortical	/	/	/	silex	1	N	Blanche bleutée	frais	Cassé en 2 fragments
79	Iso 169	13	169	casson	/	/	/	silex	1	N	grise bleutée	frais	Cortical
79	Iso 170	13	170	bloc	/	/	à éclats	silex	1	N	Blanche bleutée	frais	Petit bloc fragmenté appartenant certainement à un plus gros nucléus initial, deux enlèvements visibles
79	Iso 170	13	170	éclat	/	/	/	silex	1	N	blanche	frais	Petit fragment, cassure fraîche, silex brun
79	Iso 170	13	170	casson	/	/	/	silex	5	N	grise à blanche	frais	Cassures fraîches, éléments pouvant appartenir au nucléus
79	Iso 172	13	172	éclat cortical	retouché/ grattoir ?	/	/	silex	1	O	rosée à bleutée	frais	Possibles retouches sur extrémité distales ; peu lisible
79	Iso 175	13	173	éclat cortical	/	/	/	silex	1	N	bleutée	émoussé	Possibles retouches sur les tranchants mais peu lisible
79	Iso 178	13	175	éclat cortical	/	/	/	silex	1	N	bleutée	frais	Fragment d'éclat épais et très partiellement cortical
79	Iso 178	13	175	lame (distal)	/	/	/	silex	1	N	blanche	frais	Fragment de lame ? Cassure ancienne
79	Iso 179	13	176	tablette	/	/	/	silex	1	N	bleutée	frais	Eclat assez épais qui enlève une large partie de l'ancien plan de frappe
79	Iso 180	13	177	lame	/	/	58 (inc.) x 19 x 8	silex	1	N	Blanche bleutée	frais	Manque partie proximale, cassure fraîche, silex gris brun à reliquats calcitiques
79	Iso 182	13	179	tablette	/	/	/	silex	1	N	Blanche bleutée	frais	Silex avec importants reliquats calcitiques
79	Iso 183	13	180	éclat cortical	/	/	/	silex	1	N	blanche	frais	
79	Iso 184	13	181	éclat allongé	/	/	/	silex	1	N	blanche	frais	Cassure fraîche, silex brun
79	Iso 185	13	182	casson	/	/	/	silex	1	N	grise à blanche	frais	Cortical



US	fait	Tr	n°ordre	support	outil/retouche	nucléus	dimensions (LxIx mm)	matériau	nombre	Brûlé	Patine	état de surface	description
79	Iso 186	13	183	lame	/	/	69 (inc.) x 19 x 10	silex	1	N	blanche	frais	Cassures ancienne et fraîche, manque les deux extrémités ; silex brun ; profil légèrement courbe
79	Iso 187	13	184	éclat	/	/	/	silex	1	N	blanche	frais	
79	Iso 188	13	185	éclat cortical	/	/	/	silex	1	N	blanche	frais	
79	Iso 192	13	189	éclat allongé	retouché	/	/	silex	1	N	blanche	frais	Éclat assez large présentant des enlèvements laminaires précédents ; éclat permettant certainement de reprendre la surface de débitage après des enlèvements rebroussés ; possibles retouches discrètes sur le tranchant gauche, en partie proximale
79	Iso 193	13	190	éclat cortical	burin/pointe ?	/	/	silex	1	N	blanche	frais	Éclat fracturé anciennement ou burin pour créer une pointe ? + cassure fraîche, silex brun
79	Iso 194	13	191	bloc	/	à lames/ lamelles	/	silex	1	N	Blanche bleutée	frais	Petit rognon, un plan de frappe avec enlèvements allongés, un autre, presque opposé qui semble lié à l'aménagement du bloc ; exploitation frontale
79	Iso 195	13	192	lame corticale	/	/	81 x 25 x 9	silex	1	N	Blanche bleutée	frais	Légèrement torse ; bloc initial ayant pu servir de percuteur
79	Iso 196	13	193	éclat cortical	/	/	/	silex	1	N	Blanche bleutée	frais	
79	Iso 197	13	194	lame	utilisation ?	/	73 x 29 x 7	silex	1	N	blanche	frais	Profil rectiligne ; esquillements sur le tranchant droit : utilisation ? Quelques concrétions calcaires et manganèse
79	Iso 198	13	195	lamelle	/	/	44 x 15 x 5	silex	1	N	Blanche bleutée	frais	Profil rectiligne
79	Iso 199	13	196	lame à crête	/	/	112 x 34 x 14	silex	1	N	Blanche bleutée	frais	Profil légèrement courbe, terminaison distale en pointe
79	Iso 200	13	197	éclat	/	/	/	silex	1	N	blanche	frais	Eclat de gestion de convexités Concrétions calcaires
79	Iso 201	13	198	lame à crête	/	/	88 x 36 x 17	silex	1	N	Blanche bleutée	frais	Corticale, nombreux points de manganèse face inf.

US	fait	Tr	n°ordre	support	outil/retouche	nucléus	dimensions (LxIxe mm)	matériau	nombre	Brûlé	Patine	état de surface	description
79	Iso 202	13	199	éclat	/	/	/	silex	1	N	Blanche bleutée	frais	Grand éclat pour réaménagement du nucléus ? Silex avec géodes internes ; concrétions calcaires
79	Iso 203	13	200	casson	/	/	/	silex	1	N	Blanche bleutée	frais	Cortical, cassure fraîche, silex brun
79	Iso 204	13	201	éclat cortical	/	/	/	silex	1	N	Blanche bleutée	frais	
79	Iso 205	13	202	casson	/	/	/	silex	1	N	Blanche bleutée	frais	
79	Iso 207	13	204	éclat cortical	/	/	/	silex	1	N	Blanche bleutée	frais	
79	Iso 208	13	205	casson	/	/	/	silex	1	N	blanche	frais	
79	Iso 209	13	206	éclat cortical	/	/	/	silex	1	N	blanche	frais	
79	Iso 210	13	207	lamelle	/	/	30 (inc.) x 15 x 5	silex	1	N	blanche	frais	Cassure fraîche, silex gris ; profil rectiligne
79	Iso 213	13	210	lame corticale	/	/	86 x 31 x 12	silex	1	N	Blanche bleutée	frais	Plutôt rectiligne ; cassures fraîches, silex gris
79	Iso 214	13	211	casson	/	/	/	silex	1	N	Blanche bleutée	frais	Cortical
79	Iso 215	13	212	lame corticale	mâchuré	/	96 x 39 x 13	silex	1	N	translucide face inf. blanche face sup.	frais	Retouches inverses sur le tranchant pouvant correspondre aux pièces dites mâchurées ; importante concrétion calcaire face inf.
79	Iso 217	13	214	lame	/	/	63 x 28 x 8	silex	1	N	Blanche bleutée	frais	Irrégulière, profil rectiligne
79	Iso 219	13	216	tablette	/	/	/	silex	1	N	Blanche bleutée	frais	Éclat épais et cortical
79	Iso 220	13	217	lame (proximal)	/	/	/	silex	1	N	blanche	frais	Cassure ancienne ; plate
79	Iso 221	13	218	lame corticale	utilisation ?	/	74 (inc.) x 23 x 7	silex	1	N	blanche	frais	Profil plutôt rectiligne, esquillement du tranchant droit : utilisation ? Régulière ; concrétions calcaires face sup. ; cassure fraîche, silex brun gris
79	Iso 221	13	218	éclat	/	/	/	silex	2	N	translucide et bleutée	frais	

US	fait	Tr	n°ordre	support	outil/retoche	nucléus	dimensions (LxIx mm)	matériau	nombre	Brûlé	Patine	état de surface	description
79	Iso 223	13	220	éclat cortical	/	/	/	silex	1	N	voile	frais	Éclat pouvant provenir d'un percuteur ; concrétions calcaires
79	Iso 224	13	221	casson	/	/	/	silex	1	N	blanche	frais	Cortical
79	Iso 225	13	222	tablette	/	/	/	silex	1	N	Blanche bleutée	frais	Cortical ; concrétions calcaires face sup. et points de manganèse face inf.
79	Iso 228	13	225	éclat	/	/	/	silex	1	N	Blanche bleutée	frais	Fragment de lame ? Cassure ancienne
80	Iso 164	13	164	bloc	/	à lames/lamelles	/	silex	1	N	Blanche bleutée	frais	Fragment de nucléus (reste plan de frappe), éclatement du bloc lié à défaut interne ? Gestion frontale Concrétions calcaires
80	Iso 171	13	171	casson	/	/	/	silex	1	N	blanche	frais	Cortical
80	Iso 181	13	178	casson	/	/	/	silex	1	O	Blanche bleutée	émoussé	Traces possibles de percussions
80	Iso 181	13	178	lame corticale	/	/	68 x 25 x 7	silex	1	N	brune à blanche	frais	Profil torse ; points de manganèse
80	Iso 189	13	186	lame (distal)	/	/	/	silex	1	N	blanche	frais	Fragment de lame ? Cassure fraîche, silex gris
80	Iso 190	13	187	éclat de gel	/	/	/	silex	1	N	Blanche bleutée	frais	Cortical, même patine et aspect que pièces taillées
80	Iso 191	13	188	casson	/	/	/	silex	1	N	blanche	frais	Cortical
80	Iso 206	13	203	éclat	/	/	/	silex	1	N	translucide	frais	Fragment de lame/lamelle ?
80	Iso 211	13	208	éclat cortical	/	/	/	silex	1	N	Blanche bleutée	frais	Concrétions calcaires face inf.
80	Iso 212	13	209	casson	/	/	/	silex	1	N	Blanche bleutée	frais	Cortical
80	Iso 216	13	213	casson	/	/	/	silex	1	N	Blanche bleutée	frais	Fragment d'éclat cortical ? Cassure fraîche, silex gris
80	Iso 218	13	215	lamelle corticale	/	/	35 x 15 x 7	silex	1	N	translucide à blanche	frais	Légèrement courbe
80	Iso 222	13	219	éclat cortical	/	/	/	silex	1	N	blanche	frais	Possible éclat de gel
80	Iso 226	13	223	lamelle	/	/	28 (inc.) x 15 x 5	silex	1	N	translucide	frais	Cassure fraîche ; silex brun gris ; possibles traces de lustre face sup.



US	fait	Tr	n°ordre	support	outil/retoche	nucléus	dimensions (LxIx mm)	matériau	nombre	Brûlé	Patine	état de surface	description
80	Iso 227	13	224	tablette ?	grattoir	/	/	silex	1	N	Blanche bleutée	frais	Éclat cortical épais qui semble lié au réaménagement du plan de frappe ; les enlèvements pourraient cependant correspondre à son usage en tant qu'outil ; possibles retouches inverses sur la partie proximale pour servir de grattoir et retouches sur l'extrémité distale qui pourrait correspondre à un usage de grattoir
85	St 38	13	2	éclat	denticulé (a)	/	/	silex	1	N	N	émoussé	Gros éclat partiellement cortical Silex gris à reliquats calcitiques Aspect lisse, traces de rouille ; retouches inverses
85	St 38	13	2	éclat de gel	denticulé (b)	/	/	silex	1	?	N	rugueux	Éclat de gel ou d'éclatement ; retouches sur une extrémité, silex gris
85	St 38	13	2	éclat	retouché	/	/	silex	1	N	N	émoussé	Fragment d'éclat, petites retouches inverses : grattoir ? Silex gris
87	St 45	13	8	lame à crête ?	retouché	/	/	silex	1	N	N	émoussé	Fragment de lame à crête ? Silex gris à reliquats calcitiques Retouches inverses sur l'un des tranchants
87	St 45	13	8	éclat	/	/	/	silex	2	N	N	frais	Silex gris ; très petits éclats
90	St 144	13	9	éclat	/	/	/	silex	3	N	2 blanche opaque 1 translucide	frais	Au moins deux éléments (patine blanche) peuvent être associés au niveau d'occupation paléolithique 1 pourrait correspondre à un talon de lame
92	St 162	17	12	éclat	retouché ?	/	/	silex	1	N	N	frais	Silex gris Possibles retouches sur le tranchant
92	St 162	17	12	éclat	/	/	/	silex	1	O	N	frais	Petit fragment d'éclat brûlé
92	St 162	17	12	éclat	grattoir	/	/	silex	1	N	N	émoussé	Silex brun à veines translucides blanches, retouches sur l'extrémité distale

US	fait	Tr	n°ordre	support	outil/retouche	nucléus	dimensions (LxIxe mm)	matériau	nombre	Brûlé	Patine	état de surface	description
92	St 162	17	12	éclat	denticulé	/	/	silex	1	N	blanche face sup	frais	Fragment de grand éclat allongé ; coche sur l'extrémité distales et quelques petites retouches inverses sur les tranchants (dont une coche) possible reprise d'un éclat ancien : les zones retouchées ne présentant pas la même patine
92	St 162 SD	17	12	éclat	/	/	/	silex	6	N	1 blanche	frais	4 éclats corticaux 1 possible éclat de gel à patine blanche Silex brun et gris
92	St 162 SD	17	12	éclat	grattoir	/	/	silex	1	N	translucide	émoussé	Silex gris à reliquats calcitiques ; tranchants frais mais surface lisse émoussée Petite zone retouchée sur l'extrémité distale (grattoir) et possibles petites retouches inverses sur le tranchant gauche
93	St 163	17	17	éclat	/	/	/	silex	1	N	N	frais	Silex gris
97	Iso 152	13	227	bloc	retouché/ grattoir	à lames/lamelles	/	silex	1	N	blanche/ bleutée	frais	Nucléus à exhaustion réemployé en outil ; 2 plans de frappe perpendiculaires ; Cassures fraîches, silex brun gris

## INVENTAIRE DES FAITS ET DES UNITÉS STRATIGRAPHIQUES

Fait	TR	US	Identification	Dimensions (m)		Prof. (m) ss le sol actuel	Forme / orientation	Description du comblement de surface	Mobilier associé	Chrono proposée	Test	Commentaires
				L	I							
1	2	83	Fossé		1,4	0,3	N/S à NNE/SSO	Cailloutis et cailloux de silex dans une matrice limono-sableuse Le comblement semble bipartite (une bande plus sombre au nord et une bande similaire à l'encaissant au sud) et semble constitué de deux bandes accolées correspondant à une différence de comblement ou à la présence de deux fossés	TCR	Moderne		
2	3		Fossé		0,95		N/S	Cailloux et cailloutis de silex au sein d'un limon brun beige hydromorphe ; fragment de TCA antique non prélevé <i>Coupé par le fossé 3</i>	TCA	GR ?		
3	3		Fossé bordier		1		NE/SO	Cailloux et cailloutis de silex au sein d'un limon beige à gris hydromorphe <i>Coupe le fossé 2</i> <i>Tracé légèrement courbe qui pourrait rejoindre le tracé 4, tranchée 4, 30 et 31, tranchée 6 et 8 tranchée 5</i>		GR ?		
4	4	84	Fossé bordier		1,25	0,55	NE/SO	Cailloux et cailloutis de silex au sein d'un limon beige à gris hydromorphe Profil en V évasé de 1,3 m de profondeur depuis le niveau de sol actuel <i>Même axe que 30 et 31 tranchée 6 et 8 tranchée 5 et certainement 3 tranchée 3</i>		GR ?	SD méca	
5	4		TP	0,3	0,3	0,5	circulaire	Cailloutis de silex centimétriques et limon gris beige				
6	4		TP	0,35	0,3	0,5	ovalaire	Cailloutis de silex centimétriques et limon gris beige, rares charbons				
7	4		TP	0,4	0,35	0,5	ovalaire	Cailloutis de silex centimétriques et limon gris beige				
8	5		Fossé bordier		0,6	0,95	ENE/OSO	Limon brun jaune à gris, hydromorphe, silex Fossé bordier nord d'un chemin ? S'accompagne au sud de plusieurs tracés peu lisibles semblables à des ornières <i>Même axe que 4 tranchée 4, 30 et 31 tranchée 6 et certainement 3 tranchée 3</i>		GR ?		
9	5	24	Mobilier isolé			0,8 à 1,1		Dans colluvions de pente - 0,8 à 1,1 m de profondeur	CIN/RLT	PRO		
10	5	24	Mobilier isolé			1,2 à 1,3		Dans colluvions de pente - 1,2 à 1,3 m de profondeur	RLT	PRO/NEO		
11	5	24	Mobilier isolé			1,2 à 1,3		Dans colluvions de pente - 1,2 à 1,3 m de profondeur	RLT	PRO/NEO		



Fait	TR	US	Identification	Dimensions (m)		Prof. (m) ss le sol actuel	Forme / orientation	Description du comblement de surface	Mobilier associé	Chrono proposée	Test	Commentaires
				L	I							
12	5	24	Mobilier isolé			1,2 à 1,3		- 1,2 à 1,3 m de profondeur	RLT	PRO/NEO		
13	5	24	Mobilier isolé			1,3			TCR/RLT	PRO/NEO		
14	5	24	Mobilier isolé			1,4			TCR/RLT	PRO/NEO		
15	5	24	Mobilier isolé			1,4		Base des colluvions, sur horizon Bt	TCR/RLT	PRO/NEO		
16	5	25	Mobilier isolé			1,5			RLT	PRO/NEO		
17	5	25	Mobilier isolé			1,5			RLT	PRO/NEO		
18	5	25	Mobilier isolé			1,5			RLT	PRO/NEO		
19	5	25	Mobilier isolé			1,5			RLT	PRO/NEO		
20	5	25	Mobilier isolé			1,5			RLT	PRO/NEO		
21	5	25	Mobilier isolé			1,5			RLT	PRO/NEO		
22	5	25	Mobilier isolé			1,5			RLT	PRO/NEO		
23	5	25	Mobilier isolé			1,5			RLT	PRO/NEO		
24	5	25	Mobilier isolé			1,5			RLT	PRO/NEO		
25	5	24	Mobilier isolé			1,4			RLT	PRO/NEO		
26	5	24	Mobilier isolé			1,4			RLT	PRO/NEO		
27	5	24	Mobilier isolé			1,4			RLT	PRO/NEO		
28	5	25	Mobilier isolé			1,5			RLT	PRO/NEO		
29	5	24	Mobilier isolé			1,45			RLT	PRO/NEO		
30	6		Fossé bordier		1,15		NE/SO	Comblement proche de l'encaissant : colluvions de loess beige orangé et cailloux de silex Fossé bordier nord de la voirie/chemin <i>Même axe que 4 tranchée 4, 8 tranchée 5 et certainement 3 tranchée 3</i>		GR ?		
31	6		Fossé bordier		0,65		NE/SO	Limon argileux brun et cailloux de silex Fossé bordier sud de la voirie/chemin ; l'emprise de ces deux fossés forme un axe d'au moins 5,2 m de largeur (avec les fossés) et un peu plus de 3 m pour l'axe de cheminement en lui-même <i>Même axe que 4 tranchée 4, 8 tranchée 5 et certainement 3 tranchée 3</i>		GR ?		
32	6	32	Mobilier isolé			1,26			RLT	PRO/NEO		
33	10	41	Mobilier isolé			3,2		Dans limon loessique orangé	RLT	PALÉO		
34	10	39	Mobilier isolé			2		Sur sol noir	RLT	PALÉO		

Fait	TR	US	Identification	Dimensions (m)	Prof. (m) ss le sol actuel	Forme / orientation	Description du comblement de surface	Mobilier associé	Chrono proposée	Test	Commentaires
				L I							
35	10		Chemin creux	3,2	0,7	ENE/OSO	Limon brun beige, inclusions de rognons de silex décimétriques épars, fragments de TCU <i>Même axe que st 36, tranchée 13</i>		Moderne ?		
36	13		Chemin creux	inc. 4 v.			Limon brun clair lessivé, blocs de silex et de calcaire présentant des ornères comblées de cailloutis de silex d'environ 30 cm de largeur ; 1 fragment de tuile moderne non prélevé. <i>Même axe que st 35, tranchée 10</i>		Moderne ?		
37	13	44	Mobilier isolé				Dans colluvions de 0,6 à 1,1 m	RLT/TCR/ OFA	PRO/NEO		
38	13	85	Fossé	1,1	0,5	NE/SO	Limon argileux brun, cailloux et quelques blocs de silex, quelques charbons, mobilier lithique et céramique <i>Même axe que le fossé 39, tranchée 14 - Portion d'enclos fonctionnant et se raccordant avec l'enclos 1 ?</i>	TCR/RLT	PRO		
39	14		Fossé	0,6	0,5	NE/SO	Même comblement que st 38 avec moins d'éléments grossiers <i>Même axe que le fossé 38, tranchée 13 - Portion d'enclos fonctionnant et se raccordant avec l'enclos 1 ?</i>		PRO		
40	14		Fossé d'enclos	inc. 1,1	0,45	NO/SE	Limon brun, traces de lessivage, blocs de silex et petits nodules de calcaire épars, traces d'oxydation ; traces de micro fragments de céramique non tournée non prélevé <i>Forme un enclos avec les segments de fossé 41 tr 13 (façade sud) et 162 tr 21 (façade nord et est)</i>		PRO		
41	13	86	Fossé d'enclos	1,5	0,35	NO/SE	Limon brun, poches de loess beige, terres brûlées, charbons, blocs de silex, torchis, silex brûlés et nombreux fragments de céramique non tournée au centre du comblement, <i>Forme un enclos avec les segments de fossé 40 tr 14 (façade sud) et 162 tr 21 (façade nord et est)</i>	TCR/OFA/T AC/RXX/ CIN	PRO		
42	13		Fossé ?	2,9	0,3	NO/SE	Limon brun gris homogène, rares silex Très peu profond, possibles trous de poteaux sous le creusement, <i>L'orientation pourrait plus ou moins correspondre à celui du fossé d'enclos 162 tranchée 17</i>			SD méca	
43	13	54	Mobilier isolé		1,3		Colluvions	RLT	PRO/NEO		

Fait	TR	US	Identification	Dimensions (m)		Prof. (m) ss le sol actuel	Forme / orientation	Description du comblement de surface	Mobilier associé	Chrono proposée	Test	Commentaires
				L	I							
44	13		TP ?	0,35	0,3	1,8	ovalaire	Limon gris beige homogène, quelques petits cailloux de silex, manganèse		PRO/NEO		
45	13	87	TP ?	0,5	0,42	1,8	ovalaire	Cailloux de silex mêlé de limon gris noir et de limon brun, charbons	RLT	PRO/NEO	SD man	
46	13	55	Mobilier isolé			1,8			RLT/TCR	PRO/NEO		
47	13	55	Mobilier isolé			1,8			RLT	PRO/NEO		
48	13	88	Chemin		4,5	0,6	NO/SE	Limon brun clair, cailloux de silex et de calcaire épars, possibles traces d'ornières comblées de cailloux et de poches de sédiment lessivé		Moderne		
49	13	89	Fossé		0,7	1,3		Limon argileux brun rouille, cailloux de silex				
50	13	77	Mobilier isolé			1,3		Dans loess remanié - lot	RLT	PALÉO		
51	13	77	Mobilier isolé			1,35		A plat	RLT	PALÉO		
52	13	77	Mobilier isolé			1,15			RLT	PALÉO		
53	13	77	Mobilier isolé			1,44		A plat	RLT	PALÉO		
54	13	77	Mobilier isolé			1,44		en biais	RLT	PALÉO		
55	13	77	Mobilier isolé			1,5		Face sup., à plat	RLT	PALÉO		
56	13	77	Mobilier isolé			1,43		Face inf.	RLT	PALÉO		
57	13	77	Mobilier isolé			1,41		A plat	RLT	PALÉO		
58	13	77	Mobilier isolé			1,4		Vertical	RLT	PALÉO		
59	13	77	Mobilier isolé			1,38		Biais, face inf.	RLT	PALÉO		
60	13	76	Mobilier isolé			1,32		Face inf.	RLT	PALÉO		
61	13	77	Mobilier isolé			1,38		Prv CB	RLT	PALÉO		
62	13	77	Mobilier isolé			1,47		Biais, face sup.	RLT	PALÉO		
63	13	77	Mobilier isolé			1,42		Biais face inf.	RLT	PALÉO		
64	13	77	Mobilier isolé			1,41		Biais face inf.	RLT	PALÉO		
65	13	77	Mobilier isolé			1,45		A plat	RLT	PALÉO		
66	13	77	Mobilier isolé			1,44		Face inf.	RLT	PALÉO		
67	13	77	Mobilier isolé			1,52		Face sup.	RLT	PALÉO		
68	13	77	Mobilier isolé			1,49		Biais, face sup.	RLT	PALÉO		
69	13	77	Mobilier isolé			1,53		Biais, face sup.	RLT	PALÉO		
70	13	77	Mobilier isolé			1,49		Biais	RLT	PALÉO		



Fait	TR	US	Identification	Dimensions (m)		Prof. (m) ss le sol actuel	Forme / orientation	Description du comblement de surface	Mobilier associé	Chrono proposée	Test	Commentaires
				L	I							
71	13	77	Mobilier isolé			1,47			RLT	PALÉO		
72	13	77	Mobilier isolé			1,46			RLT	PALÉO		
73	13	77	Mobilier isolé			1,56		A plat, face inf.	RLT	PALÉO		
74	13	77	Mobilier isolé			1,56		A plat, face inf.	RLT	PALÉO		
75	13	77	Mobilier isolé			1,52		Face inf.	RLT	PALÉO		
76	13	77	Mobilier isolé			1,43		Face sup.	RLT	PALÉO		
77	13	77	Mobilier isolé			1,44		Face sup.	RLT	PALÉO		
78	13	77	Mobilier isolé			1,47		Biais	RLT	PALÉO		
79	13	77	Mobilier isolé			1,49		éclat brûlé	RLT	PALÉO		
80	13	77	Mobilier isolé			1,47			RLT	PALÉO		
81	13	77	Mobilier isolé			1,45		Vertical	RLT	PALÉO		
82	13	77	Mobilier isolé			1,45		Vertical	RLT	PALÉO		
83	13	76	Mobilier isolé			1,32		céramique	TCR	PRO/NEO		
84	13	76	Mobilier isolé			1,26			RLT	PALÉO		
85	13	77	Mobilier isolé			1,34		Face inf.	RLT	PALÉO		
86	13	77	Mobilier isolé			1,53			RLT	PALÉO		
87	13	77	Mobilier isolé			1,47		Face inf.	RLT	PALÉO		
88	13	77	Mobilier isolé			1,59		Biais	RLT	PALÉO		
89	13	77	Mobilier isolé			1,54		A plat, face sup.	RLT	PALÉO		
90	13	77	Mobilier isolé			1,37		Vertical	RLT	PALÉO		
91	13	77	Mobilier isolé			1,4			RLT	PALÉO		
92	13	77	Mobilier isolé			1,39		Face inf.	RLT	PALÉO		
93	13	77	Mobilier isolé			1,64		Face sup.	RLT	PALÉO		
94	13	77	Mobilier isolé			1,58		Face sup.	RLT	PALÉO		
95	13	77	Mobilier isolé			1,61		Face inf.	RLT	PALÉO		
96	13	78	Mobilier isolé			1,56		Biais	RLT	PALÉO		
97	13	78	Mobilier isolé			1,53		Face inf.	RLT	PALÉO		
98	13	78	Mobilier isolé			1,54		Face inf.	RLT	PALÉO		
99	13	78	Mobilier isolé			1,49		Face inf.	RLT	PALÉO		
100	13	78	Mobilier isolé			1,63		Face inf.	RLT	PALÉO		

Fait	TR	US	Identification	Dimensions (m)		Prof. (m) ss le sol actuel	Forme / orientation	Description du comblement de surface	Mobilier associé	Chrono proposée	Test	Commentaires
				L	I							
101	13	78	Mobilier isolé			1,64		Face inf.	RLT	PALÉO		
102	13	78	Mobilier isolé			1,58		Face sup.	RLT	PALÉO		
103	13	78	Mobilier isolé			1,57		Face sup.	RLT	PALÉO		
104	13	78	Mobilier isolé			1,58		Face sup.	RLT	PALÉO		
105	13	78	Mobilier isolé			1,64		Face inf.	RLT	PALÉO		
106	13	78	Mobilier isolé			1,61		Face inf.	RLT	PALÉO		
107	13	78	Mobilier isolé			1,47		Nucléus	RLT	PALÉO		
108	13	78	Mobilier isolé			1,58		Face inf.	RLT	PALÉO		
109	13	78	Mobilier isolé			1,61		Face inf.	RLT	PALÉO		
110	13	78	Mobilier isolé			1,65		Face inf.	RLT	PALÉO		
111	13	78	Mobilier isolé			1,71		Face sup.	RLT	PALÉO		
112	13	78	Mobilier isolé			1,59		Face sup. - dans chablis	RLT	PALÉO		
113	13	78	Mobilier isolé			1,69		Face inf.	RLT	PALÉO		
114	13	78	Mobilier isolé			1,68		Vertical	RLT	PALÉO		
115	13	78	Mobilier isolé			1,71			RLT	PALÉO		
116	13	78	Mobilier isolé			1,71			RLT	PALÉO		
117	13	78	Mobilier isolé			1,72			RLT	PALÉO		
118	13	78	Mobilier isolé			1,7			RLT	PALÉO		
119	13	78	Mobilier isolé			1,69			RLT	PALÉO		
120	13	78	Mobilier isolé			1,66			RLT	PALÉO		
121	13	78	Mobilier isolé			1,72			RLT	PALÉO		
122	13	78	Mobilier isolé			1,77		Vertical	RLT	PALÉO		
123	13	79	Mobilier isolé			1,81		Vertical	RLT	PALÉO		
124	13	78	Mobilier isolé			1,66		Face inf.	RLT	PALÉO		
125	13	78	Mobilier isolé			1,64		Face inf.	RLT	PALÉO		
126	13	78	Mobilier isolé			1,64		A plat	RLT	PALÉO		
127	13	79	Mobilier isolé			1,7		Face inf.	RLT	PALÉO		
128	13	78	Mobilier isolé			1,67		Face sup.	RLT	PALÉO		
129	13	78	Mobilier isolé			1,55		Face sup.	RLT	PALÉO		
130	13	79	Mobilier isolé			1,69		Lot éclats, surtout face sup.	RLT	PALÉO		

Fait	TR	US	Identification	Dimensions (m)		Prof. (m) ss le sol actuel	Forme / orientation	Description du comblement de surface	Mobilier associé	Chrono proposée	Test	Commentaires
				L	I							
131	13	78	Mobilier isolé			1,75		Face inf.	RLT	PALÉO		
132	13	79	Mobilier isolé			1,69		Vertical	RLT	PALÉO		
133	13	79	Mobilier isolé			1,67		Biais	RLT	PALÉO		
134	13	79	Mobilier isolé			1,69		Nucléus	RLT	PALÉO		
135	13	78	Mobilier isolé			1,63		Face inf.	RLT	PALÉO		
136	13	78	Mobilier isolé			1,73		A plat, face inf.	RLT	PALÉO		
137	13	79	Mobilier isolé			1,65		Dans chablis	RLT	PALÉO		
138	13	78	Mobilier isolé			1,64		Face inf.	RLT	PALÉO		
139	13	79	Mobilier isolé			1,76		Face inf.	RLT	PALÉO		
140	13	79	Mobilier isolé			1,71		Face sup.	RLT	PALÉO		
141	13	79	Mobilier isolé			1,75		Face inf.	RLT	PALÉO		
142	13	79	Mobilier isolé			1,72		Face inf.	RLT	PALÉO		
143	13	79	Mobilier isolé			1,6		Face inf.	RLT	PALÉO		
144	13	90	Fossé			0,90	ONO/ESE	Limon brun rouille et blocs de silex	RLT	PALÉO		
145	13	78	Mobilier isolé			1,45		Face inf.	RLT	PALÉO		
146	13	78	Mobilier isolé			1,43		Face inf.	RLT	PALÉO		
147	13	79	Mobilier isolé			1,38			RLT	PALÉO		
148	13	78	Mobilier isolé			1,48		Vertical	RLT	PALÉO		
149	13	78	Mobilier isolé			1,43		Vertical	RLT	PALÉO		
150	13	78	Mobilier isolé			1,41		Vertical	RLT	PALÉO		
151	13	79	Mobilier isolé			1,47		Face inf.	RLT	PALÉO		
152	13	97	Mobilier isolé			1,44		Nucléus - dans chablis	RLT	PALÉO		
153	13	79	Mobilier isolé			1,47		Face inf.	RLT	PALÉO		
154	13	79	Mobilier isolé			1,35		Face inf.	RLT	PALÉO		
155	13	79	Mobilier isolé			1,66		Face inf.	RLT	PALÉO		
156	13	78	Mobilier isolé			1,52		Face inf.	RLT	PALÉO		
157	13	79	Mobilier isolé			1,67		Vertical	RLT	PALÉO		
158	13	79	Mobilier isolé			1,44		A plat	RLT	PALÉO		
159	13	78	Mobilier isolé			1,55		A plat, face inf.	RLT	PALÉO		
160	13	79	Mobilier isolé			1,57			RLT	PALÉO		



Fait	TR	US	Identification	Dimensions (m)		Prof. (m) ss le sol actuel	Forme / orientation	Description du comblement de surface	Mobilier associé	Chrono proposée	Test	Commentaires
				L	I							
161	14	80	Mobilier isolé			1,58		Limons bruns argileux et cailloux de silex ; un élément mobilier en fer, <i>Peut-être la suite de l'un des tracés tranchée 13, st 49 ou 154</i>	RLT	PALÉO		
161 bis	16	91	Fossé		1,2	0,95	NO/SE					
162	17	92, 98, 99, 100	Fossé		0,8 à 1,8	0,5	NO/SE et NE/SO	Angle des branches nord et est de l'enclos. Limons plutôt argileux bruns, silex au centre du comblement, nodules de terres brûlées épars, charbons épars et mobilier à mesure que l'on progresse vers l'angle. <i>Forme un enclos avec les tracés 40 tranchée 14 et 41 tranchée 13 qui constituent la façade sud</i>	TCR/OFA/RLT/CIN/TAC	PRO	SD méca	
163	17	93	Fosse	1,9	1,8	0,2	pseudo circulaire	Limites claires peu nettes Limons légèrement plus bruns que l'enceinte et concentration de blocs de silex sur la moitié ouest ; zones présentant des concentrations de terres brûlées ; fragments de céramique non tournée	TCR/TAC/RLT	PRO		
164	13	80	Mobilier isolé			1,69		Nucléus	RLT	PALÉO		
165	13	79	Mobilier isolé			1,69			RLT	PALÉO		
166	13	79	Mobilier isolé			1,7			RLT	PALÉO		
167	13	79	Mobilier isolé			1,71			RLT	PALÉO		
168	13	79	Mobilier isolé			1,73		Face inf.	RLT	PALÉO		
169	13	79	Mobilier isolé			1,72			RLT	PALÉO		
170	13	79	Mobilier isolé			1,73			RLT	PALÉO		
171	13	80	Mobilier isolé			1,66			RLT	PALÉO		
172	13	79	Mobilier isolé			1,75			RLT	PALÉO		
173	13	79	Mobilier isolé			1,75			OFA	PALÉO		
174	13	79	Mobilier isolé			1,79			OFA	PALÉO		
175	13	79	Mobilier isolé			1,78			RLT	PALÉO		
176	13		Mobilier isolé					Annulé				
177	13	78	Mobilier isolé			1,7		Face inf.	RLT	PALÉO		
178	13	79	Mobilier isolé			1,69		Face inf.	RLT	PALÉO		
179	13	79	Mobilier isolé			1,77		Vertical	RLT	PALÉO		

Fait	TR	US	Identification	Dimensions (m)	Prof. (m) ss le sol actuel	Forme / orientation	Description du comblement de surface	Mobilier associé	Chrono proposée	Test	Commentaires
				L I							
180	13	79	Mobilier isolé		1,75		Vertical	RLT	PALÉO		
181	13	80	Mobilier isolé		1,66		Nucléus + éclat	RLT	PALÉO		
182	13	79	Mobilier isolé		1,74		Vertical	RLT	PALÉO		
183	13	79	Mobilier isolé		1,73		Vertical	RLT	PALÉO		
184	13	79	Mobilier isolé		1,73		Face inf.	RLT	PALÉO		
185	13	79	Mobilier isolé		1,78			RLT	PALÉO		
186	13	79	Mobilier isolé		1,77		Vertical	RLT	PALÉO		
187	13	79	Mobilier isolé		1,7		Vertical	RLT	PALÉO		
188	13	79	Mobilier isolé		1,73		A plat	RLT	PALÉO		
189	13	80	Mobilier isolé		1,68			RLT	PALÉO		
190	13	80	Mobilier isolé		1,65		A plat, face sup.	RLT	PALÉO		
191	13	80	Mobilier isolé		1,61		Face inf.	RLT	PALÉO		
192	13	79	Mobilier isolé		1,69		A plat, face inf.	RLT	PALÉO		
193	13	79	Mobilier isolé		1,71			RLT	PALÉO		
194	13	79	Mobilier isolé		1,69		Nucléus	RLT	PALÉO		
195	13	79	Mobilier isolé		1,7		De chant	RLT	PALÉO		
196	13	79	Mobilier isolé		1,66			RLT	PALÉO		
197	13	79	Mobilier isolé		1,65		A plat	RLT	PALÉO		
198	13	79	Mobilier isolé		1,68		Face inf.	RLT	PALÉO		
199	13	79	Mobilier isolé		1,67		A plat, face sup.	RLT	PALÉO		
200	13	79	Mobilier isolé		1,67		A plat	RLT	PALÉO		
201	13	79	Mobilier isolé		1,65		Face sup.	RLT	PALÉO		
202	13	79	Mobilier isolé		1,74		A plat, face sup.	RLT	PALÉO		
203	13	79	Mobilier isolé		1,71		A plat, face sup.	RLT	PALÉO		
204	13	79	Mobilier isolé		1,71		De chant	RLT	PALÉO		
205	13	79	Mobilier isolé		1,65		De chant	RLT	PALÉO		
206	13	80	Mobilier isolé		1,74		De chant	RLT	PALÉO		
207	13	79	Mobilier isolé		1,69		A plat, face sup.	RLT	PALÉO		
208	13	79	Mobilier isolé		1,68		De chant, face inf.	RLT	PALÉO		
209	13	79	Mobilier isolé		1,67		A plat, face sup.	RLT	PALÉO		

Fait	TR	US	Identification	Dimensions (m)	Prof. (m) ss le sol actuel	Forme / orientation	Description du comblement de surface	Mobilier associé	Chrono proposée	Test	Commentaires
				L   I							
210	13	79	Mobilier isolé		1,65		Vertical	RLT	PALÉO		
211	13	80	Mobilier isolé		1,51		A plat, face sup.	RLT	PALÉO		
212	13	80	Mobilier isolé		1,54		De chant	RLT	PALÉO		
213	13	79	Mobilier isolé		1,77		De chant	RLT	PALÉO		
214	13	79	Mobilier isolé		1,73		De chant	RLT	PALÉO		
215	13	79	Mobilier isolé		1,67			RLT	PALÉO		
216	13	80	Mobilier isolé		1,66			RLT	PALÉO		
217	13	79	Mobilier isolé		1,68		A plat	RLT	PALÉO		
218	13	80	Mobilier isolé		1,74		Vertical	RLT	PALÉO		
219	13	79	Mobilier isolé		1,73			RLT	PALÉO		
220	13	79	Mobilier isolé		1,73			RLT	PALÉO		
221	13	79	Mobilier isolé		1,75			RLT	PALÉO		
222	13	80	Mobilier isolé		1,67		A plat, face sup.	RLT	PALÉO		
223	13	79	Mobilier isolé		1,81			RLT	PALÉO		
224	13	79	Mobilier isolé		1,81		Face inf.	RLT	PALÉO		
225	13	79	Mobilier isolé		1,77			RLT	PALÉO		
226	13	80	Mobilier isolé		1,92		A plat	RLT	PALÉO		
227	13	80	Mobilier isolé		1,86		Nucléus	RLT	PALÉO		
228	13	79	Mobilier isolé		1,8		A plat	RLT	PALÉO		
229- 288	non attribués suite à une erreur de lecture										
289	18		TP	0,6	0,54	ovalaire	Mélange de limon brun et de limon argileux orangé, nodules de terres brûlées ; possible trace du poteau d'environ 25 cm de diamètre. Forme certainement un bâtiment avec st 290, 291 et 292 de la même tranchée		PRO ?		
290	18	94	TP	0,55	0,35	ovalaire profil en cuvette/12 cm de profondeur	Mélange de limon brun et de limon argileux orangé, nodules de terres brûlées ; possible trace du poteau d'environ 25 cm de diamètre. Forme certainement un bâtiment avec st 290, 291 et 292 de la même tranchée		PRO ?	SD man	
291	18		TP	inc. 0,35	0,35	/	Mélange de limon argileux brun et orangé ; racinaire		PRO ?		



Fait	TR	US	Identification	Dimensions (m)		Prof. (m) ss le sol actuel	Forme / orientation	Description du comblement de surface	Mobilier associé	Chrono proposée	Test	Commentaires
				L	I							
292	18		TP	0,9	0,68	0,35	ovalaire	Mélange de limon argileux brun et orangé ; racinaire		PRO ?		
293	17		Fossé ?		1	0,4	NE/SO	Possible leurre, très peu lisible Limon et loess orangé				
294	13	95	TP	0,6	0,5	0,8	ovalaire/20 cm de profondeur/profil en cuvette	Limon argileux brun, traces de charbon et de racinaire	TCR	GR ?		
295	19	96	Fosse/Nat	3,1	1,18	0,35		Limon argileux brun à brun orangé, quelques cailloux de silex au centre de la structure, rares charbons, petits fragments de scories et de céramique protohistorique (très petit fragment non conservé)	CIN		SD méca	
296	19		TP ?	0,55 inc.	0,4	0,6	incomplet	Limon brun clair, cailloutis de silex épars				
297	20		Fossé		0,5	1,4	N/S	Cailloux et cailloutis de silex dans une matrice de limon brun				
298	16		chemin		4		E/O	Rognons de silex dans matrice limono-sableuse				



## INVENTAIRE GÉNÉRAL DU MOBILIER ARCHÉOLOGIQUE

DONNÉES SCIENTIFIQUES									
Catégorie matériau	UE	US	N°ordre	Matériau	Dénomination	Lot	Nb	Masse (g)	Chronologie
TCR	38	85	173672-85-1	céramique			1	13,20	Protohistoire
RLT	38	85	173672-85-2	silex	éclats retouchés		3	195,84	Protohistoire
TCR	41	86	173672-86-3	céramique				3461,00	Protohistoire
OFA	41	86	173672-86-4	os animal			2	1,07	
TAC	41	86	173672-86-5	terre rubéfiée	Petits fragments – torchis/paroi ?		10	40,48	
RXX	41	86	173672-86-6	roche indéterminée	silicrète ? Brûlé		6	137,36	
CIN	41	86	173672-86-7	scorie			4	611,07	
RLT	45	87	173672-87-8	silex	éclats		3	18,70	
RLT	144	90	173672-90-9	silex	éclats		3	54,54	
TCR	162	92	173672-92-10	céramique		oui		976,78	Protohistoire
OFA	162	92	173672-92-11	os animal	dents	oui		60,34	
RLT	162	92	173672-92-12	silex	éclats/éclats retouchés – 1 brûlé	oui	4	238,70	
CIN	162	92	173672-92-13	scorie	Dont 1 paroi de four	oui	6	248,08	
TAC	162	92	173672-92-14	TAC	dont peson ?	oui	8	149,59	
TCR	163	93	173672-93-15	céramique			3	66,78	Protohistoire
TAC	163	93	173672-93-16	TAC				120,06	
RLT	163	93	173672-93-17	silex	éclat		1	2,53	
TCR	294	95	173672-95-18	céramique			1	7,34	
CIN	295	96	173672-96-19	CIN	éléments incertains		2	4,82	
CIN	Iso 9	24	173672-24-20	scorie			1	21,13	
RLT	Iso 9	24	173672-24-21	silex	Éclats – 0,8 à 1,1 m de p.		6	498,53	
RLT	Iso 10	24	173672-24-22	silex	Éclats, percuteur (cassé en 2 fragments) – 1,2 à 1,3 m de p.		6	390,93	
RLT	Iso 11	24	173672-24-23	silex	nucléus, éclats – 1,2 à 1,3 m de p.		17	3300,58	
RLT	Iso 12	24	173672-24-24	silex	1 grès, éclats, cassons – 1,2 à 1,3 m de p.		13	1205,55	
RLT	Iso 13	24	173672-24-25	silex	éclats et nucléus		12	1773,00	
TCR	Iso 13	24	173672-24-26	céramique				19,55	



DONNÉES SCIENTIFIQUES									
Catégorie matériau	UE	US	N°ordre	Matériau	Dénomination	Lot	Nb	Masse (g)	Chronologie
TCR	Iso 14	24	173672-24-27	céramique				70,72	
RLT	Iso 14	24	173672-24-28	silex			3	107,44	
TCR	Iso 15	24	173672-24-29	céramique			1	2,00	
RLT	Iso 15	24	173672-24-30	silex			6	291,90	
RLT	Iso 16	25	173672-25-31	silex			1	5,00	
RLT	Iso 17	25	173672-25-32	silex			1	9,00	
RLT	Iso 18	25	173672-25-33	silex			1	91,00	
RLT	Iso 19	25	173672-25-34	silex			2	37,00	
RLT	Iso 20	25	173672-25-35	silex			1	171,21	
RLT	Iso 21	25	173672-25-36	silex			1	247,95	
RLT	Iso 22	25	173672-25-37	silex			1	429,30	
RLT	Iso 23	25	173672-25-38	silex	éclat		1	34,70	
RLT	Iso 24	25	173672-25-39	silex	nucélus		1	166,13	
RLT	Iso 25	24	173672-24-40	silex	éclat		1	34,19	
RLT	Iso 26	24	173672-24-41	silex	nucélus		1	180,52	
RLT	Iso 27	24	173672-24-42	silex	lame		1	7,30	
RLT	Iso 28	25	173672-25-43	silex			1	4,30	
RLT	Iso 29	24	173672-24-44	silex	Grattoir – brûlé		1	48,05	
RLT	Iso 32	32	173672-32-45	silex	nucélus, éclats		12	822,12	
RLT	Iso 33	41	173672-41-46	silex	Éclat – 3,2 m de profondeur		1	2,87	
RLT	Iso 34	39	173672-39-47	silex	Éclat – sur sol noir		1	4,56	
RLT	Iso 37	44	173672-44-48	silex	nucélus, éclats			715,01	
TCR	Iso 37	44	173672-44-49	céramique				33,17	
OFA	Iso 37	44	173672-44-50	os animal			1	8,38	
RLT	Iso 43	54	173672-54-51	silex			4	755,77	
RLT	Iso 46	55	173672-55-52	silex	nucélus, éclats – niveau de blocs		3	722,63	
TCR	Iso 46	55	173672-55-53	céramique				66,33	
RLT	Iso 47	55	173672-55-54	silex	éclats		10	219,62	
RLT	Iso 50	77	173672-77-55	silex	Lame, lamelle, éclats – 1,3 à 1,5 m de profondeur		11	75,40	Paléolithique supérieur final
RLT	Iso 50	77	173672-77-56	grès	éclats		2	77,71	
RLT	Iso 51	77	173672-77-57	silex	éclat		1	89,51	Paléolithique supérieur final

## DONNÉES SCIENTIFIQUES

Catégorie matériau	UE	US	N°ordre	Matériau	Dénomination	Lot	Nb	Masse (g)	Chronologie
RLT	Iso 52	77	173672-77-58	silex	éclat		1	24,54	Paléolithique supérieur final
RLT	Iso 53	77	173672-77-59	silex	éclat		1	1,13	Paléolithique supérieur final
RLT	Iso 54	77	173672-77-60	silex	lamelle		1	1,82	Paléolithique supérieur final
RLT	Iso 55	77	173672-77-61	silex	lamelle		1	2,99	Paléolithique supérieur final
RLT	Iso 56	77	173672-77-62	silex	lame		1	22,19	Paléolithique supérieur final
RLT	Iso 57	77	173672-77-63	silex	Lame - brûlé		1	22,59	Paléolithique supérieur final
RLT	Iso 58	77	173672-77-64	silex	éclat		1	4,75	Paléolithique supérieur final
RLT	Iso 59	77	173672-77-65	silex	éclat		1	1,91	Paléolithique supérieur final
RLT	Iso 60	76	173672-76-66	silex	éclat retouché		1	45,70	
RLT	Iso 62	77	173672-77-67	silex	éclat		1	3,74	Paléolithique supérieur final
RLT	Iso 63	77	173672-77-68	silex	éclat de gel		1	16,25	Paléolithique supérieur final
RLT	Iso 64	77	173672-77-69	silex	éclat et casson		2	5,02	Paléolithique supérieur final
RLT	Iso 65	77	173672-77-70	silex	casson		1	20,94	Paléolithique supérieur final
RLT	Iso 66	77	173672-77-71	silex	casson		1	10,44	Paléolithique supérieur final
RLT	Iso 67	77	173672-77-72	silex	lame		1	4,28	Paléolithique supérieur final
RLT	Iso 68	77	173672-77-73	silex	éclat de gel ?/lame ?		1	5,99	Paléolithique supérieur final
RLT	Iso 69	77	173672-77-74	silex	éclat ? Brûlé ?		1	3,00	Paléolithique supérieur final
RLT	Iso 70	77	173672-77-75	silex	éclat/casson		1	8,29	Paléolithique supérieur final
RLT	Iso 71	77	173672-77-76	silex	éclat		1	5,27	Paléolithique supérieur final
RLT	Iso 72	77	173672-77-77	silex	éclat		1	1,89	Paléolithique supérieur final
RLT	Iso 73	77	173672-77-78	silex	casson		1	32,80	Paléolithique supérieur final
RLT	Iso 74	77	173672-77-79	silex	lame		1	29,58	Paléolithique supérieur final
RLT	Iso 75	77	173672-77-80	silex	éclat		1	2,70	Paléolithique supérieur final
RLT	Iso 76	77	173672-77-81	silex	éclat		1	0,83	Paléolithique supérieur final
RLT	Iso 77	77	173672-77-82	silex	casson		1	2,00	Paléolithique supérieur final
RLT	Iso 78	77	173672-77-83	silex	éclat		1	30,20	Paléolithique supérieur final
RLT	Iso 79	77	173672-77-84	silex	éclat brûlé		1	14,49	Paléolithique supérieur final
RLT	Iso 80	77	173672-77-85	silex	éclat		2	8,16	Paléolithique supérieur final
RLT	Iso 81	77	173672-77-86	silex	éclat de gel		1	11,40	Paléolithique supérieur final
RLT	Iso 82	77	173672-77-87	silex	lame		1	8,55	Paléolithique supérieur final
TCR	Iso 83	76	173672-76-88	céramique				13,93	
RLT	Iso 84	76	173672-76-89	silex	lame		1	10,29	Paléolithique supérieur final

## DONNÉES SCIENTIFIQUES

Catégorie matériau	UE	US	N°ordre	Matériau	Dénomination	Lot	Nb	Masse (g)	Chronologie
RLT	Iso 85	77	173672-77-90	silex	éclat		1	9,62	Paléolithique supérieur final
RLT	Iso 86	77	173672-77-91	silex	éclat		1	8,12	Paléolithique supérieur final
RLT	Iso 87	77	173672-77-92	silex	lame		1	5,86	Paléolithique supérieur final
RLT	Iso 88	77	173672-77-93	silex	éclat		1	11,25	Paléolithique supérieur final
RLT	Iso 89	77	173672-77-94	silex	lamelle		1	4,21	Paléolithique supérieur final
RLT	Iso 90	77	173672-77-95	silex	éclat ravinage ou crête		1	8,66	Paléolithique supérieur final
RLT	Iso 91	77	173672-77-96	silex	éclat		1	0,75	Paléolithique supérieur final
RLT	Iso 92	77	173672-77-97	silex	éclat		1	2,08	Paléolithique supérieur final
RLT	Iso 93	77	173672-77-98	silex	éclat		1	5,96	Paléolithique supérieur final
RLT	Iso 94	77	173672-77-99	silex	éclat allongé – burin ?		1	14,14	Paléolithique supérieur final
RLT	Iso 95	77	173672-77-100	silex	Éclat – mise en forme		1	44,32	Paléolithique supérieur final
RLT	Iso 96	78	173672-78-101	silex	lamelle		1	0,64	Paléolithique supérieur final
RLT	Iso 97	78	173672-78-102	silex	éclat (cassé en 2 fragments)		1	31,93	Paléolithique supérieur final
RLT	Iso 98	78	173672-78-103	silex	lame (cassée en 2 fragments)		1	7,46	Paléolithique supérieur final
RLT	Iso 99	78	173672-78-104	silex	lame retouchée		1	14,98	Paléolithique supérieur final
RLT	Iso 100	78	173672-78-105	silex	talon de lame		1	7,86	Paléolithique supérieur final
RLT	Iso 101	78	173672-78-106	silex	lame et éclat		2	13,48	Paléolithique supérieur final
RLT	Iso 102	78	173672-78-107	silex	lame (en 3 fragments) et éclat		2	22,99	Paléolithique supérieur final
RLT	Iso 103	78	173672-78-108	silex	éclat		1	6,05	Paléolithique supérieur final
RLT	Iso 104	78	173672-78-109	silex	lame		1	25,39	Paléolithique supérieur final
RLT	Iso 105	78	173672-78-110	silex	lame		1	32,19	Paléolithique supérieur final
RLT	Iso 106	78	173672-78-111	silex	talon de lame		1	1,26	Paléolithique supérieur final
RLT	Iso 107	78	173672-78-112	silex	nucléus		1	308,13	Paléolithique supérieur final
RLT	Iso 108	78	173672-78-113	silex	lamelle		1	1,16	Paléolithique supérieur final
RLT	Iso 109	78	173672-78-114	silex	éclat		1	77,95	Paléolithique supérieur final
RLT	Iso 110	78	173672-78-115	silex	éclat		1	2,52	Paléolithique supérieur final
RLT	Iso 111	78	173672-78-116	silex	distal lamelle		1	0,84	Paléolithique supérieur final
RLT	Iso 112	78	173672-78-117	silex	éclat		1	3,01	Paléolithique supérieur final
RLT	Iso 113	78	173672-78-118	silex	lame		1	7,26	Paléolithique supérieur final
RLT	Iso 114	78	173672-78-119	silex	éclat		1	2,69	Paléolithique supérieur final
RLT	Iso 115	78	173672-78-120	silex	éclat et fragment de lamelle ?		2	1,73	Paléolithique supérieur final
RLT	Iso 116	78	173672-78-121	silex	éclat		3	34,45	Paléolithique supérieur final



**DONNÉES SCIENTIFIQUES**

Catégorie matériau	UE	US	N°ordre	Matériau	Dénomination	Lot	Nb	Masse (g)	Chronologie
RLT	Iso 117	79	173672-79-122	silex	nucléus		1	347,25	Paléolithique supérieur final
RLT	Iso 118	78	173672-78-123	silex	éclat		1	4,19	Paléolithique supérieur final
RLT	Iso 119	78	173672-78-124	silex	éclat		1	1,17	Paléolithique supérieur final
RLT	Iso 120	78	173672-78-125	silex	éclat		1	2,67	Paléolithique supérieur final
RLT	Iso 121	78	173672-78-126	silex	nucléus		1	279,02	Paléolithique supérieur final
RLT	Iso 122	78	173672-78-127	silex	chute de burin		1	0,38	Paléolithique supérieur final
RLT	Iso 123	79	173672-79-128	silex	loupé de lame		1	8,56	Paléolithique supérieur final
RLT	Iso 124	78	173672-78-129	silex	éclat		1	3,77	Paléolithique supérieur final
RLT	Iso 125	78	173672-78-130	silex	éclat		1	2,44	Paléolithique supérieur final
RLT	Iso 126	78	173672-78-131	silex	éclat		1	3,31	Paléolithique supérieur final
RLT	Iso 127	79	173672-79-132	silex	éclat		1	69,91	Paléolithique supérieur final
RLT	Iso 128	78	173672-78-133	silex	éclat (cassé en 2 fragments)		1	6,67	Paléolithique supérieur final
RLT	Iso 129	78	173672-78-134	silex	éclat		1	4,67	Paléolithique supérieur final
RLT	Iso 130	79	173672-79-135	silex	2 lames (1 cassée en 4), 1 lamelle, 2 talons de lame, 1 casson brûlé, 4 éclats		10	49,02	Paléolithique supérieur final
RLT	Iso 131	78	173672-78-136	silex	éclat		1	12,91	Paléolithique supérieur final
RLT	Iso 132	79	173672-79-137	silex	éclat		1	6,31	Paléolithique supérieur final
RLT	Iso 133	79	173672-79-138	silex	éclat		1	17,70	Paléolithique supérieur final
RLT	Iso 134	79	173672-79-139	silex	nucléus		1	381,56	Paléolithique supérieur final
RLT	Iso 135	78	173672-78-140	silex	éclat		1	3,82	Paléolithique supérieur final
RLT	Iso 136	78	173672-78-141	silex	éclat		1	7,15	Paléolithique supérieur final
RLT	Iso 137	79	173672-79-142	silex	éclat		1	3,19	Paléolithique supérieur final
RLT	Iso 138	78	173672-78-143	silex	éclat		1	3,42	Paléolithique supérieur final
RLT	Iso 139	79	173672-79-144	silex	lamelle		1	1,78	Paléolithique supérieur final
RLT	Iso 140	79	173672-79-145	silex	lame et éclat		2	26,72	Paléolithique supérieur final
RLT	Iso 141	79	173672-79-146	silex	éclat		1	3,15	Paléolithique supérieur final
RLT	Iso 142	79	173672-79-147	silex	éclat		1	5,76	Paléolithique supérieur final
RLT	Iso 143	79	173672-79-148	silex	éclat		1	7,64	Paléolithique supérieur final
RLT	Iso 145	78	173672-78-149	silex	éclat		1	22,90	Paléolithique supérieur final
RLT	Iso 146	78	173672-78-150	silex	éclat		1	3,17	Paléolithique supérieur final
RLT	Iso 147	79	173672-79-151	silex	talon de lamelle		1	1,31	Paléolithique supérieur final
RLT	Iso 148	78	173672-78-152	silex	éclat		1	32,51	Paléolithique supérieur final

**DONNÉES SCIENTIFIQUES**

Catégorie matériau	UE	US	N°ordre	Matériau	Dénomination	Lot	Nb	Masse (g)	Chronologie
RLT	Iso 149		78	silex	éclat (cassé en 2 fragments)		1	14,01	Paléolithique supérieur final
RLT	Iso 150		78	silex	éclat de gel		1	4,71	Paléolithique supérieur final
RLT	Iso 151		79	silex	éclat		1	30,83	Paléolithique supérieur final
RLT	Iso 153		79	silex	éclat		1	3,01	Paléolithique supérieur final
RLT	Iso 154		79	silex	éclat/lame		1	5,39	Paléolithique supérieur final
RLT	Iso 155		79	silex	lame		1	10,88	Paléolithique supérieur final
RLT	Iso 156		78	silex	éclat		1	0,96	Paléolithique supérieur final
RLT	Iso 157		79	silex	éclat		1	1,66	Paléolithique supérieur final
RLT	Iso 158		79	silex	éclat/casson		1	69,50	Paléolithique supérieur final
RLT	Iso 159		78	silex	chute de burin		1	0,47	Paléolithique supérieur final
RLT	Iso 160		79	silex	lame		1	7,71	Paléolithique supérieur final
RLT	Iso 164		80	silex	nucléus		1	71,26	Paléolithique supérieur final
RLT	Iso 165		79	silex	éclat de gel		1	7,98	Paléolithique supérieur final
RLT	Iso 166		79	silex	éclat		1	4,39	Paléolithique supérieur final
RLT	Iso 167		79	silex	lame		1	6,57	Paléolithique supérieur final
RLT	Iso 168		79	silex	éclat (cassé en 2 fragments)		1	34,11	Paléolithique supérieur final
RLT	Iso 169		79	silex	casson		1	19,89	Paléolithique supérieur final
RLT	Iso 170		79	silex	fragment de nucléus et éclats		7	135,71	Paléolithique supérieur final
RLT	Iso 171		80	silex	éclat de gel		1	14,07	Paléolithique supérieur final
RLT	Iso 172		79	silex	éclat brûlé		1	35,88	Paléolithique supérieur final
RLT	Iso 175		79	silex	éclat retouché ?		1	16,02	Paléolithique supérieur final
RLT	Iso 177		78	silex	éclat		1	0,68	Paléolithique supérieur final
RLT	Iso 178		79	silex	casson et éclat		2	39,66	Paléolithique supérieur final
RLT	Iso 179		79	silex	tablette		1	66,75	Paléolithique supérieur final
RLT	Iso 180		79	silex	lame		1	7,43	Paléolithique supérieur final
RLT	Iso 181		80	silex	casson brûlé et lame		2	157,98	Paléolithique supérieur final
RLT	Iso 182		79	silex	tablette		1	61,04	Paléolithique supérieur final
RLT	Iso 183		79	silex	éclat		1	8,23	Paléolithique supérieur final
RLT	Iso 184		79	silex	éclat		1	1,81	Paléolithique supérieur final
RLT	Iso 185		79	silex	casson		1	5,90	Paléolithique supérieur final
RLT	Iso 186		79	silex	lame		1	11,60	Paléolithique supérieur final
RLT	Iso 187		79	silex	éclat		1	11,09	Paléolithique supérieur final

**DONNÉES SCIENTIFIQUES**

Catégorie matériau	UE	US	N°ordre	Matériau	Dénomination	Lot	Nb	Masse (g)	Chronologie
RLT	Iso 188	79	173672-79-185	silex	éclat		1	2,14	Paléolithique supérieur final
RLT	Iso 189	80	173672-80-186	silex	fragment de lame ?		1	2,52	Paléolithique supérieur final
RLT	Iso 190	80	173672-80-187	silex	éclat de gel ?		1	26,08	Paléolithique supérieur final
RLT	Iso 191	80	173672-80-188	silex	éclat de gel		1	13,64	Paléolithique supérieur final
RLT	Iso 192	79	173672-79-189	silex	éclat allongé épais issu débitage laminaire		1	66,92	Paléolithique supérieur final
RLT	Iso 193	79	173672-79-190	silex	éclat		1	1,05	Paléolithique supérieur final
RLT	Iso 194	79	173672-79-191	silex	nucléus		1	193,29	Paléolithique supérieur final
RLT	Iso 195	79	173672-79-192	silex	lame		1	17,39	Paléolithique supérieur final
RLT	Iso 196	79	173672-79-193	silex	éclat		1	8,09	Paléolithique supérieur final
RLT	Iso 197	79	173672-79-194	silex	lame		1	12,56	Paléolithique supérieur final
RLT	Iso 198	79	173672-79-195	silex	lamelle		1	2,46	Paléolithique supérieur final
RLT	Iso 199	79	173672-79-196	silex	lame à crête		1	46,27	Paléolithique supérieur final
RLT	Iso 200	79	173672-79-197	silex	éclat		1	31,28	Paléolithique supérieur final
RLT	Iso 201	79	173672-79-198	silex	lame à crête		1	43,58	Paléolithique supérieur final
RLT	Iso 202	79	173672-79-199	silex	fragment de nucléus/éclat ?		1	150,93	Paléolithique supérieur final
RLT	Iso 203	79	173672-79-200	silex	casson		1	12,77	Paléolithique supérieur final
RLT	Iso 204	79	173672-79-201	silex	éclat		1	42,36	Paléolithique supérieur final
RLT	Iso 205	79	173672-79-202	silex	éclat		1	14,87	Paléolithique supérieur final
RLT	Iso 206	80	173672-80-203	silex	fragment de lame ?		1	1,56	Paléolithique supérieur final
RLT	Iso 207	79	173672-79-204	silex	éclat		1	3,29	Paléolithique supérieur final
RLT	Iso 208	79	173672-79-205	silex	éclat de gel		1	3,40	Paléolithique supérieur final
RLT	Iso 209	79	173672-79-206	silex	éclat		1	17,71	Paléolithique supérieur final
RLT	Iso 210	79	173672-79-207	silex	lamelle		1	1,90	Paléolithique supérieur final
RLT	Iso 211	80	173672-80-208	silex	éclat		1	20,60	Paléolithique supérieur final
RLT	Iso 212	80	173672-80-209	silex	casson		1	32,71	Paléolithique supérieur final
RLT	Iso 213	79	173672-79-210	silex	lame		1	34,11	Paléolithique supérieur final
RLT	Iso 214	79	173672-79-211	silex	éclat de gel		1	12,21	Paléolithique supérieur final
RLT	Iso 215	79	173672-79-212	silex	éclat allongé		1	48,87	Paléolithique supérieur final
RLT	Iso 216	80	173672-80-213	silex	casson		1	19,06	Paléolithique supérieur final
RLT	Iso 217	79	173672-79-214	silex	éclat allongé		1	11,10	Paléolithique supérieur final
RLT	Iso 218	80	173672-80-215	silex	lamelle		1	3,20	Paléolithique supérieur final
RLT	Iso 219	79	173672-79-216	silex	tablette ?		1	60,23	Paléolithique supérieur final



DONNÉES SCIENTIFIQUES									
Catégorie matériau	UE	US	N°ordre	Matériau	Dénomination	Lot	Nb	Masse (g)	Chronologie
RLT	Iso 220		79	silex	talon de lame		1	1,83	Paléolithique supérieur final
RLT	Iso 221		79	silex	lame et éclats		3	18,34	Paléolithique supérieur final
RLT	Iso 222		80	silex	éclat		1	33,98	Paléolithique supérieur final
RLT	Iso 223		79	silex	éclat		1	47,84	Paléolithique supérieur final
RLT	Iso 224		79	silex	éclat		1	12,54	Paléolithique supérieur final
RLT	Iso 225		79	silex	éclat		1	16,89	Paléolithique supérieur final
RLT	Iso 226		80	silex	lamelle		1	2,41	Paléolithique supérieur final
RLT	Iso 227		80	silex	éclat		1	221,06	Paléolithique supérieur final
RLT	Iso 228		79	silex	éclat		1	2,19	Paléolithique supérieur final
RLT			77	silex	lames et éclats – iso correspondant à une passe de pelle sous le fossé 49, avant prélèvement individualisé		4	17,25	Paléolithique supérieur final
RLT	Iso 152		97	silex	nucélus		1	146,67	Paléolithique supérieur final
TCR			97	céramique				99,92	
OFA	Iso 173		79	équidé	dent avec sédiment	oui		131,57	PALEO
OFA	Iso 161		79	os animal	fragments d'os de faune avec sédiment	oui		285,85	PALEO
OFA	Iso 174		79	os animal	fragments d'os de faune avec sédiment	oui		445,00	PALEO
RLT	Log 9		34	silex	éclat laminaire		1	36,40	PALEO



Cette intervention marque la fin des campagnes de diagnostics réalisées en amont du projet de contournement d'Évreux. Débutées en 1992 par l'AFAN, puis dans les années 2000 par l'INRAP et la MADE, plusieurs d'entre elles ont débouché sur des fouilles complémentaires, dont certaines sont en cours de réalisation, apportant de nouveaux éclairages sur les dynamiques d'occupation du bassin versant de l'Iton dès le Paléolithique.

Cette dernière portion à diagnostiquer s'inscrit au cœur du vallon sec La Queue d'Hirondelle, correspondant à un profond talweg évoluant parallèlement à la vallée de l'Iton sur 6 km, selon une direction SO/NE, avant de s'y connecter non loin de l'emprise. D'après la carte géologique, ce talweg d'âge Pliocène est comblé par des limons de pente et de bas de versant (LE). Plusieurs sondages profonds réalisés dans ces dépôts ont permis de documenter une séquence séquanienne, comprenant des sols noirs du Weichsélien ancien conservés sur plus d'un mètre d'épaisseur. Ces niveaux sont dépourvus d'artefacts, à l'exception d'un petit éclat lithique non discriminant et probablement remanié. Une telle séquence a été enregistrée, dans un contexte similaire à moins d'un kilomètre au NE, lors du suivi archéologique de la ZAC de Cambolle, mais elle reste malgré tout rarement observée.

D'un point de vue archéologique, l'emprise s'inscrit dans une zone "sensible", à la jonction entre les sites protohistoriques de la "Garenne de Navarre" au sud et du "Bois du Deffend" au nord, dont ce dernier a également livré de l'industrie lithique tardiglaciaire (fouilles de B. Aubry, INRAP, respectivement 2022 et 2024).

Ainsi, les résultats du présent diagnostic viennent confirmer l'intérêt archéologique du secteur, avec tout d'abord la découverte d'un locus tardiglaciaire inédit localisé en pied de versant nord. Le locus se présente sous la forme d'une nappe d'objets lithiques, parfois associés à des restes fauniques mal conservés, s'étendant sur une surface reconnue d'environ 30 m<sup>2</sup> dans la tranchée. Malgré l'état de dégradation avancé des témoins osseux, leur présence n'en demeure pas moins notable pour la période. Une dent de cheval a ainsi pu être identifiée parmi les restes prélevés. La nappe de vestiges est conservée dans un piège limoneux correspondant à une paléo-ravine, sous une épaisseur d'environ 1,30 m de sédiments colluviés. Le pointage des objets et leur projection en coupe montrent une dispersion verticale des objets sur environ 0,40 m avec quelques concentrations linéaires suggérant des remaniements par processus taphonomiques ou des phases de dépôt distinct.

Les observations préliminaires du corpus lithique, constitué de 211 pièces, illustrent un débitage lamino-lamellaire réalisé, notamment, par percussion directe à la pierre tendre, compatible avec les industries de la fin du Paléolithique. L'autre résultat significatif concerne la découverte d'un enclos gaulois implanté sur un dôme de loess, lui conférant une position dominante au sein du vallon. Les trois fossés mis au jour, dont deux sont espacés de 35 m, déterminent un espace interne a priori incomplet, provisoirement estimé à 1300 m<sup>2</sup>. Cet espace comporte, en l'état des ouvertures, une possible structure de chauffe et au moins un bâtiment sur poteaux. Le dégagement des tronçons de fossés a permis de collecter plus de 4 kg de mobilier céramique en surface, appuyant une utilisation aux II<sup>e</sup> et I<sup>er</sup> siècles av. J.-C.

Enfin, plusieurs axes de cheminements, datant pour la plupart de la période moderne à contemporaine, à l'exception d'un tracé, peut-être antique, montrent à quel point ce vallon, par sa situation topographique et géographique, est un vecteur de circulation, une voie de passage privilégiée connectant la plaine du Neubourg à la vallée de l'Iton.

PATRIARCHE N° (17) 3672  
CODE INSEE N° 27229  
PRESCRIPTION N° 28-2021-680  
OPÉRATION N° AP070J

**MADE**  
8, RUE DES THERMES  
27930 LE VIEIL-EVREUX  
02 32 31 94 78